



В.Г. Коновалов

Таяние
и сток
с ледников
в бассейнах
рек
Средней
Азии

2 р. 40 к.

Решается проблема определения основных элементов гидрологического режима ледниковых и речных бассейнов, а именно: теоретическое обоснование и построение физико-статистической модели процесса таяния и стока, методические основы численной реализации модели на ЭВМ, количественное описание и анализ пространственной изменчивости основных статистических параметров гидрологического режима следования Средней Азии, методы прогнозов ледникового стока и численную модель оптимального искусственного воздействия на таяние и водоотдачу ледников. Приведены также данные о суммарном таянии и ледниковом стоке в бассейнах рек Средней Азии, региональные формулы и карты для расчета климатических факторов следования, норм и коэффициентов вариации гидрологического режима следования.



Ленинград
Гидрометеоиздат
1985

ГОСУДАРСТВЕННЫЙ КОМИТЕТ СССР ПО ГИДРОМЕТЕОРОЛОГИИ
И КОНТРОЛЮ ПРИРОДНОЙ СРЕДЫ

СРЕДНЕАЗИАТСКИЙ РЕГИОНАЛЬНЫЙ НАУЧНО-ИССЛЕДОВАТЕЛЬСКИЙ
ГИДРОМЕТЕОРОЛОГИЧЕСКИЙ ИНСТИТУТ им. В. А. БУГАЕВА

В.Г. Коновалов

**Таяние и сток
с ледников
в бассейнах рек
Средней Азии**

Под редакцией
канд. геогр. наук В. Ф. СУСЛОВА



ЛЕНИНГРАД ГИДРОМЕТОИЗДАТ 1985

Изложено решение проблемы определения основных элементов гидрологического режима множества ледников в речных бассейнах: теоретические обоснование и построение физико-статистической модели процесса таяния в стока для множества ледников в бассейне, методические основы численной реализации модели на ЭВМ, количественное описание и анализ пространственной изменчивости основных статистических параметров гидрологического режима следования Средней Азии, методы прогнозов ледникового стока и численную модель оптимального искусственного воздействия на таяние и водоотдачу ледников.

Приведены данные о суммарном таянии и ледниковом стоке в бассейнах рек Средней Азии, регressive формулы и карты для расчета климатических факторов следования (суммарная радиация, общая облачность, альбедо, продолжительность периода таяния льда и др.), гори и коэффициентов вариации элементов гидрологического режима следования.

Для научных работников в области гидрологии, гляциологии в географии, специалистов проектных и подсобных организаций.

По данным Каталога ледников СССР в бассейнах рек Чу, Талас, Асса, оз. Иссык-Куль, Сырджа, Зеравшан и Амударья насчитывается около 16 500 ледников общей площадью примерно 18 000 км² [61, 179]. В ледниках Средней Азии по предварительным сведениям [61, 141, 179] содержится от 1100 до 1430 км³ пресной воды.

Площадь следования Средней Азии составляет всего лишь 4,5 % общей площади речных бассейнов на этой территории. Однако средняя стокосформирующая цепость ледников Средней Азии по оценкам работ [93, 141, 221] в 3—4 раза превышает их относительную площадь для годового стока рек Средней Азии и почти в 10 раз для летнего стока.

Близким по значению определения среднего многолетнего вклада ледникового питания в годовом и сезонном стоке рек Средней Азии приводятся в работах В. Л. Шульца, А. О. Кеммериха, А. Н. Кренке и др. Указанные сведения представляют собой начальный уровень описания режима следования. Качественно новых и необходимых уровнях описания гидрологического режима следования Средней Азии является характеристика внутригодовой и многолетней изменчивости этого режима. Данной проблеме посвящена работа автора.

Для описания и расчета процесса суммарного таяния ледников и ледникового стока все множество $N_{\text{лл}}$ ледников ($N_{\text{лл}} \geq 2$), находящихся в некотором речном бассейне, рассматривается как единая гляциальная область. В зависимости от размеров бассейна в пределах гляциальной области выделяется k групп ледников, объединяющих произвольное количество и однородных единичных ледников ($n \geq 1$)

$$N_{\text{лл}} = n_1 + n_2 + n_3 + \dots + n_k. \quad (1.1)$$

При определении внутригодового и многолетнего режима гляциальных областей учитываются все основные особенности и закономерности процессов аккумуляции и таяния, установленные на отдельных ледниках. Это положение представляет собой научную основу разработанного автором метода расчета составляющих суммарного таяния ледников и ледникового стока как элементов гидрологического режима гляциальных областей Средней Азии.

Методической основой для определения основных параметров внутригодового и многолетнего гидрологического режима следования Средней Азии является региональная физико-статистическая модель процесса таяния и стока для множества ледников в бассейнах рек и их отдельных частях.

Предложенная автором модель включает ряд новых теоретических и практических положений и результатов. В частности:

1. Предложена и обоснована статистическая модель гляциальной области для обобщения морфометрических показателей дискретного множества ледников и расчетов режима оттаяния. Статистическая модель гляциальной области включает группировку или классификацию множества ледников и определение средних и средних взищенных по площади характеристики следования в каждой из однородных групп ледников.

Предлагается, что такие осредненные показатели как площадь, абсолютные высоты верхнего и нижнего концов ледника, фирновой границы, площадь морены, распределение площади ледника по высоте, экспозиция и угол поверхности принадлежат некоторому условному «среднему леднику». Методической основой определения комплекса численных характеристик является условие равенства объема таяния на «среднем леднике» помноженному на количество ледников — суммарному объему таяния ледников в отдельном районе гляциальной области. Это положение доказано теоретически и подтверждено путем специального численного эксперимента.

Преимущество использования «средних ледников» по сравнению с построением кривых распределения соответствующих показателей заключается в упрощении и уменьшении громоздкой обработки карт, программирования и продолжительности счета на ЭВМ, в возможности применения результатов расчета таяния для анализа специфических вопросов режима ледников, зависящих от формы, соотношения площадей аккумуляции и абляции и т. д.

2. Введено понятие индекса баланса аккумуляции и таяния в гляциальных областях, которое играет важную роль в расчетах и прогнозах суммарного таяния ледников и ледникового стока, установлены закономерности пространственной изменчивости компонентов индекса баланса по территории Средней Азии.

3. На основе понятия индекса баланса разработан метод реконструкции и прогноза многолетнего ряда максимальных высот сезонной снежной граници для отдельных ледников и их групп.

Сведение о максимальной высоте Z_{\max} сезонной снежной граници на поверхности ледников в конце аблиционного периода является весьма содержательным показателем, прямо или опосредованно характеризующим различные элементы режима гляциальной области. В региональной физико-статистической модели процесса суммарного таяния этот показатель используется как косвенная характеристика зимней аккумуляции снега в области абляции «среднего ледника», учитывая свойство Z_{\max} маркировать площадь ледника, где земный снег становится полностью.

Определение Z_{\max} в районах произвольной гляциальной области выполняется посредством разработанного автором метода реконструкции многолетнего ряда к прогнозу Z_{\max} по данным на-

блюден за температурой воздуха, осадками и облачностью на метеорологических станциях.

4. Поставленная задача расчета гидрологического режима гляциальных областей предусматривает разделенную оценку таяния зимнего и летнего снега, старого фирна, облаженного льда и льда под мореной с учетом временной изменчивости площадей перечисленных типов поверхности ледника в течение мая—октября. Для определения этих площадей необходимы морфометрические параметры «среднего ледника» и данные о движении сезонной снежной граници (ССГ) на поверхности ледника. Методической основой получения таких данных является предлагаемая в работе модель движения сезонной снежной граници на леднике. В этой модели учтена возможность выпадения на произвольных высотах и таяния пастшего снега.

5. С целью оптимизации и обоснования состава аргументов в формулах интенсивности таяния снега и льда детально проанализированы различные варианты уравнений теплового баланса и многофакторная зависимость таяния от метеорологических элементов (солнечной радиации, температуры воздуха, общей облачности, относительной и абсолютной влажности воздуха и др.).

6. Определены и тщательно проверены на геометрическом материале параметры двухфакторных и однофакторных локальных и региональных формул интенсивности таяния снега и льда в условиях Средней Азии и Кавказа.

7. Получена универсальная функция ослабления таяния снега и льда под морской различной толщиной и предложен способ расчета среднего слоя морены на концах ледников.

8. Получены практические региональные решения и формулы для определения дат начала и конца аблиции, пространственно-временной изменчивости альбедо различных типов поверхности снега и льда, времени восхода и захода солнца на ледниках, прямой радиации и суммарной радиации в реальных условиях облачности.

9. Разработаны региональные методы расчета интегрального за период аблиции коэффициента стока с учетом максимальной высоты сезонной снежной граници на ледниках и разделенного определения объема ледникового стока, формирующегося на изымах и в фирмовых областях ледников.

Расчеты многолетних рядов объемов суммарного таяния ледников и ледникового стока были выполнены в бассейнах рек Малая Алматинка, Алаэрча, Талис, Псыкем, Исфара, Зеравшан (Матта), Коксу (ледник Абрамова), Сарыджас, Муксу, Сельдар. Сопоставление непосредственных измерений отдельных составляющих и суммарного таяния в целом в группе Тулоксубийских ледников за 1967—1974 гг. и на леднике Абрамова за 1968—1975 гг. с результатами расчета показало хорошее их совпадение.

С целью изучения возможностей применения разработанного автором метода расчета суммарного таяния ледников за пределами горной территории Средней Азии было выполнено опреде-

лешие месячных объемов таяния льда, фирна, зимнего и летнего снега на ледниках Большого Кавказского хребта в бассейнах рек Тerek и 1950—1974 гг. и Илгур и 1951—1975 гг. Анализ полученных результатов показал в обоих случаях хорошее согласование между объемами таяния и ледникового стока в отдельных районах гляциальных областей бассейнов рек Тerek и Илгур.

Итогом анализа и обобщения полученных автором данных о внутригодовом и многолетнем ходе суммарного таяния ледников V_m и ледникового стока W_{tg} являются следующие новые результаты.

а) Получены региональные зависимости и аналитические выражения для определения доли ледникового пития в годовом в сезонном стоке рек Средней Азии и Кавказа, а также для расчетов коэффициентов вариации ледникового стока к продолжительности периода таяния льда, определена величина отношения коэффициентов асимметрии и вариации.

В общем виде рассмотрены закономерности пространственной изменчивости коэффициента вариации многолетних рядов ледникового стока $C_v(W_{tg})$ в бассейнах рек Средней Азии. Показано, что зависимость $C_v(W_{tg})$ от высоты местности является обратно пропорциональной.

С помощью перечисленных формул нетрудно рассчитать кривую распределения ледникового стока в любом бассейне Средней Азии, что существенно упрощает региональные исследования гидрологического режима плодородия. Эти же формулы использованы для построения карт распределения по площади бассейнов рек Памиро-Алая доли ледникового питания в годовом стоке и коэффициентов вариации ледникового стока.

б) Определены ординаты корректированных интегральных разностных кривых для годовых объемов суммарного таяния ледников и ледникового стока в бассейнах рек Средней Азии. Установлена продолжительность маловодной и многоводной фаз в многолетнем режиме V_m и W_{tg} , выявлена синхронность разных пиков в гидрологическом режиме плодородия.

в) Расчет многолетних рядов такой важнейшей характеристики режима гляциальных областей как максимальная высота Z_{max} сезонной снеговой границы на ледниках впервые позволил разработать методику долгосрочного прогноза Z_{max} .

В общем виде поставлена и решена задача долгосрочного прогноза суммарного таяния ледников и ледникового стока. Определены бассейны рек Средней Азии, где эффективным предиктором для прогноза ледникового стока является сумма зимних высот ледников. Получены зависимости и формулы для раздельного прогноза ледниковой и снеговой составляющих стока вследствие этого периода. Рассмотрены возможности прогноза V_m и W_{tg} на основе уравнений авторегрессии и множественной регрессии.

г) Разработана численная модель оптимального искусственного воздействия на таяние всего множества ледников в бассейне с целью увеличения объема стока. В модели предусматривается

минимизация отрицательных последствий от воздействия для естественного режима ледников, используя ряд новых зависимостей, обеспечивающих повышение экономической эффективности мероприятия. Реализация модели в бассейнах рек Средней Азии позволила впервые разработать метод долгосрочного прогноза возможного дополнительного объема ледникового стока при искусственном усиении таяния ледников.

Для выполнения всех численных процедур автором разработан комплекс программ и алгоритмов для ЭВМ, обеспечивающих автоматизированное определение внутригодового (май—октябрь) и многолетнего режима декадных и месячных объемов таяния зимнего и летнего снега, фирна, обнаженного льда в льда под коренной в производственной гляциальной области Средней Азии. Особенности климата, рельефа и следования в каждом конкретном бассейне учитывались на стадии подготовки данных для ЭВМ.

Для придания методу расчета таяния ледников большей универсальности предусмотрено, что входной информацией являются в основных данных стандартные измерения температуры воздуха, облачности, осадка на сети метеорологических станций и материалы по морфометрии ледников, содержащиеся в Каталоге ледников СССР. Все дополнительные параметры, необходимые для выполнения счета на ЭВМ, определяются заранее и составляют часть входной информации с тем, чтобы полностью исключить зависимость вычислительного процесса от любых параллельных измерений на ледниках.

Основные условные обозначения

- A_b — процесс и годовой объем аблиции (единицы объема или массы)
 A_k — процесс и годовой объем аккумуляции на ледниках (единицы объема или массы)
 A_s — албедо поверхности льда или снега в коротковолновой части спектра солнечной радиации (проценты или доли единицы)
 A_{ki} — албедо искусственно запыленной поверхности льда или снега
 $\Delta A_{ki}, \epsilon f$ — эффект изменения албедо снега или льда в результате загрязнения поверхности (грометры или доли единицы)
 B — годовой баланс аккумуляции и аблиции на ледниках (единицы объема или массы)
 B_k — дневная сумма или интенсивность коротковолновой солнечной радиации, поглощенной поверхностью
 B_e — дневная сумма или интенсивность балансирующей радиации излучения поверхности и противоположного излучения атмосферы
 ΔB_k — изменение поступки радиации B_k после искусственного загрязнения поверхности
 C_n — балл нижней облачности
 C_o — балл общей облачности
 C_p — коэффициент вариации
 C_s — коэффициент асимметрии
 $C_v(W_{cd})$ — коэффициент вариации ледникового стока
 $C_v(T_d)$ — коэффициент вариации продолжительности периода таяния льда на ледниках
 c_p — удельная теплоемкость воздуха при постоянных давлениях
 c_s — удельная теплота плавления льда
 D — дневная сумма или интенсивность рассеянной радиации
 d_{np} — календарная дата начала расчетного периода
 d_{nf} — календарная дата конца расчетного периода
 d_{ns} — календарная дата начала периода таяния льда
 d_{nt} — календарная дата конца периода таяния льда; в региональной модели процессы суммарного таяния ледников d_{ns} и d_{nt} выражаются числом дней с начала гидрологического года

- $\frac{\partial T}{\partial z}$ — вертикальный градиент абсолютной температуры воздуха
 $\frac{\partial q^*}{\partial z}$ — вертикальный градиент удельной влажности воздуха
 E — суточная величина или интенсивность испарения
 E_a — длиноволновое излучение атмосферы, направленное к поверхности земли
 E_s — длинноволновое излучение земли
 E_{so} — эффективное излучение
 e — упругость водяного пара
 F_c — площадь сезонного снежного покрова на леднике
 F_{lo} — площадь льда и фирна на леднике
 $f_i(C)$ — функция ослабления сухимарной сплошной радиации в зависимости от баллов облачности
 $f_b(C)$ — функция прироста эффективного излучения в зависимости от баллов облачности
 H_c — средняя толщина снегопокрытия на конде ледника
 h_s — изменившие высоты поверхности ледника вследствие таяния
 h_c — толщина слоя морены на поверхности ледника
 h_e — угловая высота солнца
 h — относительная влажность воздуха
 I_{Ab} — индекс аблиции, некоторая характеристика, имеющая генетическую и статистическую связь с годовой аблицией на ледниках (например, аномалии сухих температур воздуха за последние месяцы)
 I_{Ad} — индекс аккумуляции — некоторая характеристика, имеющая генетическую и статистическую связь с годовой аккумуляцией на ледниках (например, аномалия суммы зимне-весенних осадков)
 I_B — индекс баланса. Равен аттебрической сумме индексов аккумуляции и аблиции
 J — прямая солнечная радиация на вертикальную поверхность
 J' — прямая солнечная радиация на горизонтальную поверхность
 J_0 — метеорологическая солнечная постоянная
 K_e, K_o — коэффициенты турбулентного переноса температуры (Θ) и влаги (e)
 $K_{fr_{cd}}$ — модульный коэффициент толкового объема ледникового стока
 L — удельная теплота фазового перехода
 t — толщина деятельного слоя, м, на поверхности

ледника
 M — интенсивность таяния
 $M(B_n, \Theta)$ — интенсивность таяния как функция потенциальной радиации B температуры воздуха
 $M(t, t_0)$ — интенсивность таяния как функция цикла t , характеризующего пространственное положение точки на леднике
 \tilde{M}_w — определенная по эмпирической формуле граничия за декаду интенсивность таяния
 \tilde{M}_{w_0} — то же в среднем за месяц
 M_s — интенсивность таяния запыленной поверхности ледника
 $M(h_0)$ — интенсивность таяния льда под слоем морен
 $M_{sc}(\Delta z, t)$ — средняя интенсивность таяния летнего снега на леднике в интервале Δz
 N_{ls} — множество ледников, расположенные в пределах некоторого речного бассейна
 Q_k — радиационный баланс деятельного слоя
 Q_a — турбулентный поток тепла в придонниковом слое воздуха
 Q_e — турбулентный перенос тепла с водяным паром
 Q_o — выделение тепла жидких осадков на поверхности ледника
 Q_k — конвективный перенос тепла из деятельного слоя в глубь ледника
 Q_f — расход тепла на нагревание деятельного слоя до точки плавления
 Q_{ϕ} — суммарная радиация при отсутствии облученности
 q — сумма атмосферных осадков
 $q_k(\Delta z, t)$ — средний слой снежинопадающего летнего снега в интервале высот Δz
 q_* — слой твердых атмосферных осадков
 R — радиационный баланс на поверхности ледника
 r — вектор, характеризующий положение точки на поверхности ледника
 r_{xx} — автокорреляционная функция процесса $x(t)$
 S — площадь ледника
 $s(z)$ — функция распределения площади ледника в зависимости от высоты
 S_c, S_{sc} — площадь сплошной морены на поверхности ледника
 S_l — площадь открытого льда
 S_f — площадь фрэза
 S_{sc} — площадь поверхности ледника покрытая засыпанным снегом
 S_{lc} — площадь поверхности ледника подсыпанная листочным снегом

S_{te} — общая площадь ледников в пределах некоторого речного бассейна
 S_{soc} — площадь бассейна, расположенная выше замерзающего гидростроя
 S_x — площадь языка ледника, расположенная между высотами конца ледника и средней границы плавания
 S_r — площадь области питания ледника, расположенная между высотами начала ледника и средней границы питания
 T_u — абсолютная температура поверхности ледника ($^{\circ}\text{K}$)
 T_{200} — абсолютная температура воздуха на высоте 200 см
 T — продолжительность суток, равная 1440 мин
 T_s — продолжительность года, равная 365 сут
 T_d — дневная продолжительность солнечного сияния
 T_s — первая суммирующая осадки, обусловленный заблаговременностью прогноза суммирующего таяния и ледникового стока
 T_p — продолжительность периода таяния льда
 t — время в течение года
 t_i — время в течение суток
 v — скорость ветра
 $f(w)$ — ветровая функция
 V_M — суммарный объем таяния за период май—октябрь для всего множества ледников в некотором бассейне реки. Включает объемы таяния льда под мореной, открытого льда, старого фриза, зимнего и летнего снега
 V_{M_0}, W_0 — суммарный объем ледникового стока за период май—октябрь, что почти эквивалентно годовому стоку. Включает объемы таяния льда под мореной, открытого льда и старого фриза
 V_{M_0} — суммарный объем таяния на площади S_x языка ледника
 V_{M_0} — суммарный объем таяния на площади S_{sc} области шторма
 $\tilde{V}_{M_0}, \tilde{V}_{M_0}$ — протекающие величины суммарного таяния ледников и ледникового стока
 V_{Φ}, V_{sc}, V_{lc} — суммарные за период май—октябрь объемы таяния
 V_{Φ}, V_{sc}, V_{lc} — льда под мореной (лм), открытого льда (л), старого фриза (ф), зимнего (зс) и летнего снега (лс)
 v_0 — суммарный объем таяния сезонного снега на леднике за время от максимума антагонизма до начала таяния льда на конце ледника

v_c — суммарный объем таяния сезонного снега на леднике за время от начала до окончания периода таяния льда на конце ледника
 v_s — суммарный объем таяния сезонного снега на леднике за время от окончания периода таяния льда до конца расчетного периода
 $V_{\text{ж}}(t), V_{\text{ж}, \text{с}}(t)$ — суммарные объемы таяния для всего множества ледников. Размерность — объем в единицу времени
 $v_{\text{ж}}(t), v_{\text{ж}, \text{с}}(t)$, $v_{\text{ж}}(t), v_{\text{ж}, \text{с}}(t)$ — отдельные составляющие суммарных объемов $V_{\text{ж}}(t)$ и $V_{\text{ж}, \text{с}}(t)$. Размерность — объем в единицу времени
 $W, W_{\text{бас}}$ — объем стока в бассейне за год или сезон
 $W_{\text{ж}}$ — объем ледникового стока в бассейне
 $W_{\text{ж,с}}$ — сезонная снеговая составляющая общего стока
 $W_{\text{ж}}$ — объем стока с площади языка ледника
 $W_{\text{ж}}$ — объем стока с площади области питания
 $W_{\text{ж}}$ — суммарный объем стока с площади гляциальной области
 $Z_{\text{нис}}$ — максимальная высота сезонной снеговой трансформации на леднике
 $Z_{\text{с}}$ — абсолютная высота начала ледника
 $Z_{\text{к}}$ — абсолютная высота конца ледника
 $Z_{\text{ср}}$ — средняя высота снегостояния абсолютная высота фирновой границы на леднике
 $Z_{\text{мор}}$ — абсолютная высота верхней границы стопынной морены на леднике
 $Z_{\text{ж}}(t), Z_{\text{ж,с}}(t)$, $Z_{\text{тг}}(t)$ — текущая абсолютная высота границы сезонного спекшего покрова на леднике
 $\Delta Z_{\text{ макс}}$ — максимальное превышение снеговой границы над концом ледника
 z — вертикальная координата
 \bar{z} — средняя взведенная по площади абсолютная высота участка поверхности ледника
 z_r — характеристика шероховатости поверхности
 α — угол поверхности ледника
 β — коэффициент потери тепла радиации
 ϕ_d — характеристика фракционного состава утолщенной шапки
 β_d — коэффициент, характеризующий увеличение скорости движения снеговой границы на леднике после искусственного зашлакования его поверхности
 β, β_i — коэффициенты потери тепла в слое морены
 γ — вертикальный градиент температуры воздуха
 b — склонение солнца
 $b_{\text{ж}}$ — вклад индекса залежания в описание дисперсии стока за июнь—сентябрь

$b_{\text{ж,ж}}$ — вклад индекса залежания в описание дисперсии стока за июнь—сентябрь
 $b_{\text{ж,п}}$ — вклад ледникового питания в годовой сток в бассейне реки
 $b_{\text{ж,с,р}}$ — вклад ледникового питания в сезонный сток (VI—IХ) в бассейне реки
 η — интегрированный коэффициент стока для суммарного объема таяния
 $\eta_{\text{ж}}$ — коэффициент стока для суммарного объема таяния на площади языка ледника
 $\eta_{\text{ж,с}}$ — коэффициент стока для суммарного объема таяния на площади области питания
 Θ — температура воздуха
 $\theta(z, t)$ — внутрьгодовой ход температуры воздуха на высоте z
 z — излучательная способность поверхности снега и льда
 ε — коэффициент, характеризующий относительный вклад потоков тепла (кроме излучающей радиации $B_{\text{ж}}$) в уравнение теплового баланса
 λ — интегральная характеристика прозрачности атмосферы
 ρ — плотность
 R^2 — квадрат коэффициента корреляции
 σ — среднеквадратическое отклонение
 σ^2 — дисперсия
 σ_1 — постоянная Стефана—Больцмана
 $t_{\text{ж}}, d_{\text{ж}}$ — дата начала периода таяния льда на конце ледника
 $t_{\text{ж,с}}, d_{\text{ж,с}}$ — дата окончания периода таяния льда на конце ледника
 τ_1 — часовой угол солнца
 τ_2 — время выхода солнца на линию горизонта
 τ_3 — время захода солнца за горизонт
 φ — географическая широта
 ψ — средняя орбитальная ледника
 ω — средний суточный расход воды
 w_{10} — средний декадный расход воды
 Φ — функция устойчивости вертикального распределения метеорологического элемента (температура воздуха, влажность воздуха, скорость ветра) в приземном слое

Глава 1

Физико-статистическая региональная модель процесса таяния для всего множества ледников в бассейне реки

1.1. Общая характеристика проблемы и пути ее решения

Сформулируем вначале ряд общих положений, необходимых для уточнения постановки задачи моделирования процесса суммарного таяния ледников и ледникового стока в бассейнах рек Средней Азии.

1. Ледники представляют собой многолетние цельные природные образования, состоящие из льда и фирна. Лед — это твердое кристаллическое вещество с постоянной плотностью порядка 0,90—0,91 г/см³. Фирном называется свое возрастом от 1 года и более с широким диапазоном колебаний плотности. На поверхности ледника существует четкая граница между областями преобладающего распределения льда и фирна.

2. Внутриводовой гидрологический режим ледника включает периоды преобладающей аккумуляции и абляции сезонного снежного покрова на поверхности ледника и период абляции льда и фирна. Продолжительность периодов аккумуляции и абляции сезонального снега для любой элементарной площадки на поверхности ледника зависит от ее планово-высотных координат. Во внутриводовом ходе процессов аккумуляции и абляции сезонального снежного покрова на любой элементарной площадке имеет место последовательная смена максимума и минимума этих процессов. Процесс абляции льда и фирна может прерываться в результате образования временного снежного покрова на поверхности ледника. Нашей раздела между областями абляции льда и фирна и сезонального снежного покрова является снеговая граница на поверхности ледника.

3. В результате многолетних колебаний интенсивности и продолжительности процессов аккумуляции и абляции сезонального снежного покрова на поверхности ледника площадь, где имеет место абляция льда и фирна, изменяется от нуля до всей поверхности ледника.

4. Ледниковое питание реки формируется в результате таяния льда и фирна в течение интервала времени, когда высота сезональной снеговой границы превышает отдаленность конца ледника. Сток от таяния сезонального снега на поверхности ледника относится к сезонному снеговому питанию реки. Такая трактовка понятия «ледниковый сток» обусловлена тем, что объем таяния льда и фирна не является элементом годового баланса твердых атмосферных осадков на поверхности водосбора.

С учетом сформулированных выше положений запишем общие выражения для определения суммарных объемов таяния сезо-

ного снега $v_{\text{сн}}$ и льда и фирна $v_{\text{льф}}$ за соответствующие периоды преобладающей абляции:

$$v_{\text{сн}} = \int_{t_0}^{t_n} \int_{F_c} M(r, t) dF_c dt \quad (1.2)$$

и

$$v_{\text{льф}} = \int_{t_0}^{t_n} \int_{F_{\text{льф}}} M(r, t) dF_{\text{льф}} dt, \quad (1.3)$$

где t_0 и t_n — моменты максимумов аккумуляции, разделенные во времени периодом преобладающей абляции; F_c — площадь сезонного снежного покрова на леднике; M — интенсивность таяния; r — вектор, характеризующий пространственное положение точки на леднике; t_0 и t_n — моменты начала и окончания таяния льда и на конце ледника; $F_{\text{льф}}$ — площадь льда и фирна; dF_c и $dF_{\text{льф}}$ — элементарные площадки на поверхности снега и льда и фирна.

Поскольку площади F_c и $F_{\text{льф}}$, в течение периодов t_0 — t_n и t_n — t_0 являются однозначными функциями высоты сезональной снеговой границы $Z_{\text{сн}}$ на леднике, выражения (1.2) и (1.3) можно записать в форме, более удобной для численного интегрирования. Так, для интервала времени, когда $Z_{\text{тая}} < Z_n$, т. е. от момента максимума аккумуляции снега на леднике до начала периода абляции льда и фирна

$$v_{\text{сн}}(t_n) = \int_{t_0}^{t_n} \int_{Z_n}^{Z_{\text{тая}}} M(z, t) \frac{dF}{dz} dz dt \quad (1.4)$$

при $Z_n < Z_{\text{тая}}(t) \leq Z_n$ или в течение периода абляции льда и фирна

$$v_{\text{льф}}(t_n) = \int_{t_0}^{t_n} \int_{Z_{\text{тая}}(t_n)}^{Z_n} M(z, t) \frac{dF}{dz} dz dt, \quad (1.5)$$

$$v_{\text{льф}}(t_n) = \int_{t_0}^{t_n} \int_{Z_n}^{Z_{\text{тая}}(t_n)} M(z, t) \frac{dF}{dz} dz dt \quad (1.6)$$

и после окончания периода абляции льда и фирна, когда постоянно сохраняется условие $Z_{\text{тая}}(t) < Z_n$

$$v_{\text{сн}}(t_n) = \int_{t_0}^{t_n} \int_{Z_n}^{Z_n} M(z, t) \frac{dF}{dz} dz dt. \quad (1.7)$$

В выражениях (1.4)–(1.7) Z_n и Z_n — абсолютные высоты соответственно конца в начале ледника.

Поскольку интегрирование по z и t для отдельного ледника, а тем более их множества в пределах бассейна реки даже в упрощенных формулах (1.4) — (1.7) возможно только численными методами, замкнутою систему Методов определения для множества ледников пространственно-временной изменчивости лат. начала и конца периода таяния льда и фирна, интенсивности таяния снега, льда и фирна, высот сезонной сугубой границы и площадей различных типов поверхности ледника в течение периода $\tau_{\text{л}}$ будем называть далее физико-статистической региональной моделью процесса таяния и ледникового стока.

Степень приближения модели гидрологического режима следования определяется в данном случае объективными причинами: уровнем научности пространственно-временной изменчивости основных факторов, от которых зависит интенсивность таяния, полнотой и представительностью исходной метеорологической информации об условиях таяния и сведений по морфологии ледников, образующих гляциальную область.

Хорошо известно, какой сложной и пестрой в условиях реального рельефа становится картина распределения осадков, облачности, атмосферной циркуляции, солнечной радиации, температуры воздуха и других метеорологических элементов. Пока что бассейны рек Средней Азии, где сосредоточены основные площади современного следования, в метеорологическом отношении представляются крайне недостаточно. Подавляющее большинство станций Госсоколометра, приводящихся в метеорологических наблюдениях, расположены до высот не более 2000 м над уровнем моря. В диапазоне высот от 2000 до 3000 м таких станций всего лишь около 10 на всю горную территорию Средней Азии, а выше 3000 м количество метеорологических стационаров составляет только 23.

Условия существования следования Средней Азии изучены также неравномерно. Если сейчас на равнинах и в предгорьях на всех реках и каналах делается учет стока и водопользования, то о реальных многолетних запасах снега и льда в областях питания рек передко имеются приблизительные, необъяснимые или устаревшие сведения. Недостаток данных непосредственных измерений на ледниках особенно ощущается в бассейне р. Нары, на восточном и юго-западном Памире, в хребтах Заалайском, Петра Первого, Царвазском, Язгулемском и др.

Основным источником данных о количестве, расположении и киргизии ледников Средней Азии являются выпуски 13 и 14 томов «Каталога ледников СССР». При составлении каталогов ледников широко используются аэрофотосъемка и крупномасштабные карты, поэтому они четко отражают количественную картину современного следования. Весьма существенным недостатком этой картины является ее статичность и ограниченность состава характеристик ледников.

Таким образом, оценки обоснованности исходной информации, которая необходима для расчета процесса $M(r, t)$, показывают,

что для получения решения, пригодного для широкого использования, требуется некоторое упрощение первоначальной постановки задачи.

Качество расчета v_m , v_{mf} и диапазон применимости исключенной методики в целом во многом зависят от способа определения интенсивности таяния. Физическая сторона процесса поступает в преобразование энергии снега и льда в настоящее время представляется достаточно ясной.

Обобщения результатов непосредственных измерений составляющих теплового баланса на поверхности ледников Средней Азии и других горных стран содержатся в работах [16, 26, 28, 59, 87, 110, 132, 144, 153—156, 165, 161, 197, 201, 232, 244, 245] и многих других, которые невозможно здесь пересчитать. Некоторые исследователи в СССР и за рубежом рассматривают в своих работах способы пространственной экстраполяции метеорологических элементов, необходимых для расчета компонентов теплового баланса в горных условиях.

Анализ этих работ показывает, что использование уравнения теплового баланса для оперативных расчетов таяния в гляциальных областях является нецелесообразным из-за недостатка или отсутствия исходной метеорологической информации (температура поверхности, влажность и прозрачность воздуха, продолжительность солнечного сияния и т. д.), слабой изученности процесса турбулентного переноса тепла и идти в приледниковых слоях воздуха, исключительной сложности ветрового режима в высокогорных долинах.

В этой ситуации для построения модели режима следования вполне очевидной становится необходимость:

а) получения статистическими методами эмпирических формул интенсивности таяния, учитывающих отформированную значимость коэффициентов теплового баланса и пригодных для широкого применения в условиях следования Средней Азии;

б) использования при выводе эмпирических формул осредненных запасных функций и аргументов с целью сглаживания случайных ошибок измерений;

в) суммирования рассчитанных значений $V_m(t)$ за интервалы времени от декады до месяца — также для элиминирования погрешностей.

Гляциальные области в бассейнах рек Средней Азии состоят из десятков и сотен ледников самых различных форм, размеров, с произвольным расположением, широким диапазоном микрорельефа и мезорельефов режима аккумуляции и абляции. В связи с этим важнейшей частью региональной модели гидрологического режима следования является сплошное изучение вопроса о получении суммарных величин таяния для всего множества N_r ледников, образующих гляциальную область. Причем заранее ясно, что раздельное вычисление v_m и последующее складывание результатов — неэффективный и практически нереализуемый путь.

В дополнение к уже упомянутым наиболее крупным новым задачам следует назвать: а) вопросы трансформации объемов суммарного таяния в гляциальных областях в ледниковый сток, б) разработку методики долговечного прогноза ледникового стока, в) определение для сценария Средней Азии статистических параметров (средние, коэффициент вариации и коэффициент асимметрии), характеризующих многолетние колебание сухумарного таяния ледника и ледникового стока в бассейнах рек региона, г) численное моделирование искусственного воздействия на таяние ледников с целью получения дополнительного объема ледникового стока.

Длительное время оценки вклада ледниковых вод как источника питания рек Средней Азии определялись путем анализа составляющих уравнения среднего многолетнего годового водного баланса. Результаты расчетов средних величин ледникового таяния и стока приводятся в работах В. Л. Шульца [22], А. О. Кемерита [93, 94], Б. А. Камалова [88], А. С. Щетинникова [230], А. Н. Кренке [141] и других авторов. Хотя проработки этих исследователей исключительно заслуживают положительной оценки, тем не менее определение единого лишь параметра гидрометрического режима сценария Средней Азии в настоящее время явно недостаточно. Как уже было отмечено ранее, для научных и практических целей необходимы: средние значения V_{st} и \bar{W}_{st} за год и отдельные месяцы абляционного периода, коэффициенты вариации и асимметрии, авто- и кроскорреляционные функции элементов гидрологического режима.

Наиболее перспективным способом научения и количественной оценки таяния и ледникового стока как элементов режима гляциальной области является разработка математических моделей, учитывающих структуру уравнений теплового и водного баланса в ледниковых бассейнах и пространственно-временную изменчивость интенсивности процессов аккумуляции и таяния снега и льда. Принципиальное отличие математических моделей от упомянутых ранее методов расчета V_{st} и \bar{W}_{st} состоит в том, что в модели рассматривается замкнутая система уравнений и спираль, последовательно описывающих основные этапы процесса формирования стока.

1.2. Статистическая модель гляциальной области для расчета суммарного таяния ледников

Современное плодотворное в бассейнах рек Средней Азии и крупных горных стран состоит из десятков и сотен ледников различных размеров и форм. Наряду с изучением режима отдельных объектов, основной проблемой гляциоидрологии является получение общих, характеризующих элементы режима всего множества ледников или гляциальной области в пределах некоторого бассейна рек. Определению внутригодового и многолетнего режима гляциальных областей естественно должны учитывать все основ-

ные особенности и закономерности процессов аккумуляции и аблаций, установленные на отдельных ледниках. Это положение представляет собой научную основу разработанного автором метода расчета суммарного таяния ледников как одного из элементов режима гляциальных областей Средней Азии [119, 121].

Региональная гляциология проблема потребовала соответствующей исходной информации, методик и методов для описания процесса таяния. На всей площади дисперсного множества ледников. Независимо от варианта решения в целом проблемы расчета внутридевового и многолетнего режима суммарного таяния одним из приоритетных вопросов является обобщение морфометрических показателей множества ледников.

Разработанная автором статистическая модель гляциальной области [117, 123] представляет собой количественную форму тикизации в однородных районах гляциальной области основных морфометрических показателей множества отдельных объектов: площади ледника и склонной корены, индивидуального распределения площади в зависимости от высоты, отметок начала и конца ледника, фирновой границы, верхней границы сплошного покрова снега, средних значений ориентации и уклона поверхности ледника.

Метод тикизации обеспечивает получение на типичном объекте или «среднем леднике» данных о внутридевовом и многолетнем режиме суммарного таяния, относящихся ко всему множеству ледников в пределах рассматриваемого бассейна реки. Достоинством метода тикизации является также возможность применения результатов расчета таяния для анализа характеристик режима ледников, зависящих от соотношения площадей аккумуляции и аблации. Например, процесс ледникового стока.

Рассмотрим далее в общем виде статистическую модель гляциальной области для расчета суммарного таяния ледников и результаты численного эксперимента, характеризующего качество модели.

Сначала напишем полное выражение сухумарного объема таяния в момент t на поверхности некоторого ледника:

$$v_M(t) = \int M(\mathbf{r}, t) dF, \quad (1.8)$$

где $v_M(t)$ — сухумарный объем таяния, размерность которого — объем в единицу времени; M — интенсивность таяния; \mathbf{r} — вектор, характеризующий пространственное положение точки на леднике (включает планово-высотные координаты, ориентацию и угол поверхности ледника); F — площадь ледника.

Определение $v_M(t)$ по полному выражению (1.8) невозможно из-за аналитической, поскольку функция $M(\mathbf{r}, t)$ неизвестна, и численная методика шунду отсутствия необходимых исходных данных. Для получения практической применимого метода расчета

$v_M(t)$ заменим $M(z, t)$ одномерной функцией высоты местности z . Тогда

$$v_M(t)_x = \int_{z_x}^{z_n} M(z, t) s(z) dz, \quad (1.9)$$

где Z_n — абсолютная высота начала ледника; Z_x — отметка конца ледника; $s(z)$ — функция распределения площади ледника в зависимости от высоты местности.

Применив к интегралу от произведения двух функций $M(z)$ и $s(z)$ обобщенную теорему о среднем [204], получим

$$v_M(t)_x = M(\bar{z}, t) \int_{z_x}^{z_n} s(z) dz, \quad (1.10)$$

а поскольку

$$\int_{z_x}^{z_n} s(z) dz = S, \quad (1.11)$$

то

$$v_M(t)_x = M(\bar{z}, t) S, \quad (1.12)$$

где z — некоторая высота в интервале Z_x, Z_n ; S — общая площадь ледника.

Перейдем затем от единичного ледника к их однородному подмножеству $n_k \geq 1$ из множества $N_{\text{лг}} \geq 2$. Множество ледников $N_{\text{лг}}$, состоящее из одного или нескольких однородных внутри себя подмножеств, называется гляциальной областью в некотором речном бассейне

$$N_{\text{лг}} = n_1 + n_2 + \dots + n_k. \quad (1.13)$$

Общее упрощенное выражение суммарного объема таяния ледников в момент времени t в целом для гляциальной области имеет вид:

$$V_M(t) = n_1 \frac{1}{n_k} \sum_{i=1}^{n_k} M(\bar{z}_i, t) S_i + n_2 \frac{1}{n_k} \sum_{i=1}^{n_k} M(\bar{z}_i, t) S_i + \dots + n_k \frac{1}{n_k} \sum_{i=1}^{n_k} M(\bar{z}_i, t) S_i, \quad (1.14)$$

где

$$\frac{1}{n_k} \sum_{i=1}^{n_k} M(\bar{z}_i, t) S_i = \overline{M}_k(\bar{z}, t) \overline{S}_k = \overline{W}_k \quad (1.15)$$

представляет собой средний суммарный объем таяния в подмножестве n_k .

В итоге, учитывая (1.15), для определения суммарного объема таяния ледников в гляциальной области получаем:

$$V_M = n_1 \overline{W}_1 + n_2 \overline{W}_2 + \dots + n_k \overline{W}_k. \quad (1.16)$$

Выражение (1.15) для \overline{W}_k является средним произведением двух переменных, которые, согласно известной [21] теореме умножения математических ожиданий, равны:

$$\overline{W}_k = \overline{M}_k(\bar{z}) \overline{S}_k + \text{cov} M_k S_k, \quad (1.17)$$

где $\text{cov} M_k S_k$ — корреляционный момент перечленных M_k и S_k . Вполне очевидно, что

$$\text{cov} M_k S_k = 0, \quad (1.18)$$

поскольку интенсивность таяния $M_k(z)$ никаким образом не зависит от размеров имеющейся ледники. Тогда вместо (1.17) запишем

$$\overline{W}_k = \overline{M}_k(\bar{z}) \overline{S}_k, \quad (1.19)$$

где математическое ожидание S_k определяется весьма просто по лаками о площадях отдельных ледников:

$$\overline{S}_k = \frac{1}{n_k} \sum_{i=1}^{n_k} S_i. \quad (1.20)$$

Для нахождения математического ожидания другого сомножителя в формуле (1.19) представим интенсивность таяния на высоте z , как это часто делается в гляциологических расчетах, в виде линейной функции температуры воздуха Θ :

$$M(z) = a\Theta(z) + b, \quad (1.21)$$

где a и b — параметры. Как известно [21], математическое ожидание любой линейной функции равно той же линейной функции от математического ожидания аргумента. В данном случае —

$$\text{Mo}[M(z)] = a \text{Mo}[\Theta(z)] + b, \quad (1.22)$$

а поскольку температура воздуха в свою очередь является линейной функцией высоты местности

$$\Theta(z) = \Theta(z_0) - \gamma(z - z_0) \quad (1.23)$$

(здесь $\Theta(z_0)$ — известная температура воздуха на высоте z_0 , γ — вертикальный градиент температуры), математическое ожидание $\Theta(z)$ находится так же, как для $M(z)$, т. е.

$$\text{Mo}[\Theta(z)] = \Theta(z_0) - \gamma \text{Mo}(z - z_0). \quad (1.24)$$

Подставим (1.24) в (1.22), получим

$$\text{Mo}[M(z)] = c_k - a\gamma \text{Mo}(z), \quad (1.25)$$

где параметр c_M является обобщенной характеристикой коэффициентов a , b , γ и заданного значением $\Theta(z_0)$

$$c_M = a[\Theta(z_0) + \gamma z_0] + b. \quad (1.26)$$

Таким образом, вместо (1.14) и (1.16) получено выражение

$$V_M(t) = n_1 [c_M - a\gamma M_0(\tilde{z}_1)] \bar{S}_1 + n_2 [c_M - a\gamma M_0(\tilde{z}_2)] \bar{S}_2 + \dots + n_k [c_M - a\gamma M_0(\tilde{z}_k)] \bar{S}_k. \quad (1.27)$$

$$M_0(\tilde{z}_k) = \sum_{i=1}^{n_k} \tilde{z}_i p_i \quad (1.28)$$

(p_i — весовой множитель), которое может быть использовано для расчетов суммарного таяния ледников за различные интервалы времени, если известно, что $M(z)$ является линейной функцией высоты. В этом случае, как показано в работе [170], \tilde{z} должно быть средней взвешенной высотой ледника в интервале Z_n-Z_k , что обеспечивает равенство

$$M(\tilde{z}) = \frac{1}{Z_n - Z_k} \int_{Z_k}^{Z_n} M(z) dz. \quad (1.29)$$

Параметр c_M в формуле (1.27) определяется сразу для всей гляциальной области непосредственно к высоте z_0 и в зависимости от параметров в формуле интенсивности таяния и периода определения температуры воздуха на высоте z_0 .

Итак, первый, самый простой, вариант статистической модели гляциальной области для расчетов суммарного таяния ледников состоит всего лишь из двух характеристик: средней площади ледника в некотором подмножестве n_k гляциальной области и математического ожидания средних взвешенных высот ледников в том же подмножестве n_k . Можно показать также, что параметр c_M включает интенсивность таяния на высоте z_0 . Как уже было сказано, формула (1.27) применяется для определения V_M при условии линейности $M(z)$ в интервале Z_n-Z_k .

В рассматриваемой фирмуле для определения суммарного таяния ледников невозможно априорно установить, поскольку точно вычисляется во времени и пристранстве условие линейности $M(z)$. Поэтому целесообразно разделить интервал Z_n-Z_k на отдельные части, в которых функция $M(z)$ зашедочно была бы линейной. Тогда вместо (1.27) напишем

$$V_M(t) = n_1 \sum_{j=1}^m [c_M - a\gamma M_0(\tilde{z}_{1j})] \bar{S}_{1j} + n_2 \sum_{j=1}^m [c_M - a\gamma M_0(\tilde{z}_{2j})] \bar{S}_{2j} + \dots + n_k \sum_{j=1}^m [c_M - a\gamma M_0(\tilde{z}_{kj})] \bar{S}_{kj}, \quad (1.30)$$

где m — число частей в интервале Z_n-Z_k . Количество этих частей примем равным пяти, чтобы определение суммарного объема таяния ледников вылилось в расчет основных составляющих V_M — объемов таяния: 1) седа под мореной (v_m), 2) открытого льда (v_o), 3) старого фирна (v_f), 4–5) зимисто (v_{ac}) и летнего снега (v_{as}). В формуле (1.30) через знак \tilde{z} обозначает среднюю взвешенную высоту в интервале высот для соответствующего типа поверхности ледника.

Для практических пределений V_M по формуле (1.30) цепочки [117, 119, 121] следующие сведения по морфометрии ледников: площадь ледника и сливной морены; распределение площасти в зависимости от высоты; абсолютные высоты начала и конца ледника, фирновой границы, верхней границы сплошного моренного покрова; средние взвешенные по площади значения ориентации и уклона поверхности ледника. Все обобщенные взвешенные характеристики ледников должны быть средними взвешенными по площади, данные по площадям — просто средними.

Комплекс морфометрических показателей, получаемых по данным Каталога ледников СССР, образует портрет «среднего ледника» для каждой из однородных групп ледников в некоторой гляциальной области. Затем характеристики средних ледников используются в расчетах суммарного таяния по формуле (1.30). Очевидно, что методический подход к определению V_M , основанной на понятии «среднего ледника», существенно упрощает и облегчает расчеты суммарного таяния в гляциальных областях, включаяющих сугробы и тычины ледников.

В качестве примеров статистических моделей в табл. 1.1 приведены морфометрические характеристики средних ледников по районам (группам ледников) специальных областей в бассейнах рек Пекем, Чарышан (Матча) и Муску. Включенные в число этих показателей средние взвешенные значения уклона и ориентации ледников определены по методике А. О. Щетинникова [226, 227] и используются для расчета когнитивной схематической разбивки как аргумента формулы интенсивности таяния. Метод расчета средней толщины морены на краях ледников разработан автором [119] и рассмотрен в разделе 2.4.

Методический основой выделения районов-подмножеств в гляциальных областях является условие однородности отдельных участков бассейна в прографическом и климатическом отношении. Иногда в бассейнах рек с развитым седловинным неоднородностью один или несколько своеобразных районов рассматривать как самостоятельные гляциальные области и выделять в них однородные группы ледников. Ярким примером является бассейн ледника Федченко, который для расчетов таяния выделен в самостоятельную гляциальную область в бассейне р. Муску. В свою очередь, в бассейне ледника Федченко морфометрические характеристики основных стволов ледников Федченко и Бицанного несколько своеобразны, что оба этих объекта входят в статистич-

скую модель гляциальной области бассейна Федченко как самостоятельные подмощества.

Для оценки качества расчетов V_m в гляциальной области по обобщенным морфометрическим параметрам среднего ледника выполнена следующий численный эксперимент. Сначала по морфометрическим характеристикам каждого ледника были рассчитаны за спроектированный ряд лет слагаемые суммарного объема таяния 7 ледников в течение мая—октября. Затем для этой группы ледников были определены высотные и площадные показатели сред-

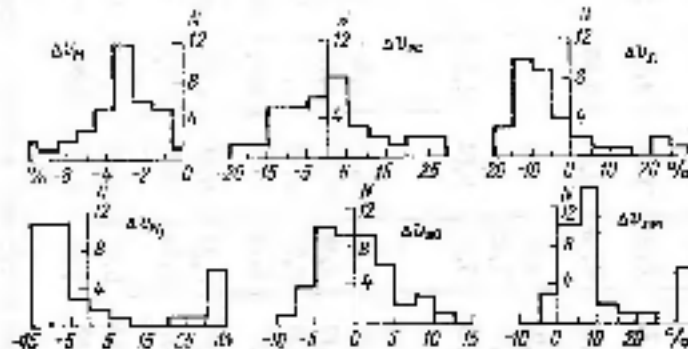


Рис. 1.1. Распределения относительных отклонений объемов V_m , V_mn , V_mn , V_m , V_mn , V_mn , полученных на основе статистической модели гляциальной области от аналогичных характеристик, определенных путем суммирования результатов расчета таяния для каждого ледника в группе.

вого ледника в расчет слагаемых суммарного объема таяния по модели (1.30) был повторен за те же годы.

На рис. 1.1 показаны распределения относительных отклонений слагаемых объемов V_m и их сумм, полученных на основе статистической модели гляциальной области от аналогичных характеристик, определенных путем суммирования результатов расчета для каждого ледника в группе. Сформулируем ряд выводов на основе анализа этих распределений.

1. Распределение повторяемости относительных относительных отклонений от количества на всех графиках имеет более или менее симметричный характер, что указывает на случайность процесса.

2. Значения моды распределений близки к нулю для относительных отклонений объемов таяния зимнего и летнего снега, равны $+7\%$ и -7% соответственно для объемов таяния открытого льда и льда над морскими, составляют -10% для суммы объемов v_{m+mn} и -3% для суммы всех пяти слагаемых V_m .

3. Вид функций распределения и средние значения относительных отклонений для суммарного объема таяния V_m и его составляющих, полученных с использованием морфометрических сред-

него ледника, подтверждают обоснованность метода статистической модели гляциальной области и вполне удовлетворительное качество расчетов одиночно из основных элементов режима современного следования.

Причины неприведения относительных отклонений с положительными или отрицательными знаками специально не рассматриваются. Возможно, наблюдаемые на рис. 1.1 небольшие систематические завышения или занижения результатов расчета таяния на среднем леднике обусловлены тем, что поточная разница в формуле интенсивности таяния была определена только на одной постоянной высоте, а не для различных значений h_m .

Выходы

1. Сформулирована проблема определения основных показателей вещественного баланса отледения, суммарного таяния ледников (V_m) и ледникового стока (W_m) в бассейнах рек Средней Азии. В число этих показателей входят: продолжительность периода таяния льда и формирования ледникового стока; максимальная высота сезонной снеговой границы на ледниках; месячные, годовые и средние многолетние объемы V_m и W_m ; коэффициенты вариации многолетних рядов V_m , W_m и других характеристики их авто- и кросскорреляционные функции.

2. При современной гляциолитической и гидрометеорологической изученности высокогорной территории Средней Азии необходимо упрощение полного выражения суммарного таяния на леднике.

В случаях, когда аккумуляция, абляция и другие показатели гидрометеорологического режима следования являются функциями высоты местности, одномерная физико-статистическая региональная модель процесса таяния и ледникового стока предусматривает: обобщение морфометрических характеристик для всего множества ледников в бассейне; определение для этого множества дат начала и конца периода таяния льда и фирма; расчет интенсивности таяния снега, льда и фирма; определение высот сезонной снеговой границы и площадей различных типов тающей поверхности ледника в течение гидрологического года.

Перечисленные показатели имеют также самостоятельное значение для анализа, карттирования и прогноза элементов гидрологического режима следования.

3. Количественной формой обобщения морфометрических показателей множества ледников, разбитого на однородные группы, является статистическая модель гляциальной области. Модель включает: площадь среднего ледника, функцию распределения площади в зависимости от высоты, средние взвешенные по площади отметки высот начала и конца ледника, фирновой границы, верхней границы морены, средний слой короки на конце ледника, средние значения уклона и ориентацию поверхности ледника.

Теоретически доказано, что статистическая модель гидрологической области существенно упрощает расчеты внутригодового и многолетнего гидрологического режима снегонакопления. Точность расчета при этом сохраняется весьма высокой.

Глава 2

Методы расчета интенсивности таяния снега и льда

2.1. Уравнение теплового баланса поверхности ледника и формулы интенсивности таяния

Одним из основных элементов методики расчета внутригодового гидрографа объемов суммарного таяния ледников в бассейне реки является определение интенсивности таяния снега и льда $M - M(z, t)$.

В настоящее время для этой цели применяются два способа расчета M : а) численное решение полного или упрощенного уравнения теплового баланса таяния [47—49, 55, 146, 147, 181, 183, 232, 239, 240, 243, 250]; б) определение M с помощью эмпирических формул, имеющих локальность или региональность различия (см., например, [1, 10, 25, 65, 70, 81, 100, 103, 110, 115, 119, 127, 132, 159, 170, 172, 185, 235, 254, 270, 276]).

В качестве исходного выражения для определения расхода энергии на таяние (в ккал/см²) за время Δt в деятельном слое толщиной 10—15 см от поверхности ледника при этом уравнение теплового баланса в следующей форме:

$$\rho c_{\text{ф}} h_{\text{д}} = Q_R + (Q_E - Q_o) + Q_p - (Q_x + Q_f), \\ \rho h_{\text{д}} = M, \quad (2.1)$$

где ρ — плотность снега или льда; $c_{\text{ф}}$ — удельная теплоемкость плавления; $h_{\text{д}}$ — изменение высоты поверхности ледника; Q_R — радиационный баланс деятельного слоя; Q_E — поток тепла в прилегающем слое воздуха; Q_o — перенос тепла с видимым паром; Q_p — выделение тепла жидкими осадками на поверхность ледника; Q_x — кондуктивный перенос тепла из поверхностного слоя в глубину; Q_f — расход тепла на нагревание деятельного слоя до точки плавления.

В таком составе уравнение теплового баланса используется только при экспериментальных исследованиях процесса таяния на леднике и энерго- и массообмена в снежном покрове на земельных площадках [146, 147, 216, 232, 255].

Более распространенным в исследовательских работах [48, 147, 237, 266] является сокращенный вариант уравнения (2.1):

$$c_{\text{ф}} M = Q_R + (Q_E - Q_o) + Q_p \quad (2.2)$$

или еще проще [154]

$$c_{\text{ф}} M = Q_R + (Q_E - Q_o). \quad (2.3)$$

Исключение из уравнения (2.1) ряда слагаемых вызвано недостатком исходных данных даже в условиях экспериментальных гидрологических работ и тем, что относительная значимость Q_o , Q_E и Q_p в сравнении с другими членами уравнения (2.1) считается пренебрежимо малой.

В связи с необходимостью выбора оптимального способа определения интенсивности таяния снега и льда на основе ограниченной исходной информации различным историческим практическим способам расчета составляющих правой части уравнения (2.2).

Радиационный баланс деятельного слоя снега и льда

Включает компоненты коротковолновой и длинноволновой частей спектра излучения за вычетом радиации Q_s , прощающей ниже деятельного слоя:

$$Q_R = B_R + B_A - Q_s, \quad (2.4)$$

где B_R — баланс коротковолновой радиации; B_A — баланс длинноволновой радиации.

Установлено [48, 110, 147, 231, 232, 266] и др., что вполне приемлемое качество определений радиационного баланса в исследовательских процессы таяния снега и льда обеспечивают следующие выражения:

$$B_R = Q_{R0} f_1(C) (1 - A_n), \quad (2.5)$$

$$Q_{R0} = I + D, \quad (2.6)$$

$$I = \frac{J_n \sin^2 h_{\text{д}}}{\sin^2 h_{\text{д}} + \lambda}, \quad (2.7)$$

$$D = b_r (J_n - I) \sin h_{\text{д}}, \quad (2.8)$$

$$f_1(C) = 1 - k_1 C_o - k_2 C_o^2 \quad (2.9)$$

или

$$f_1(C) = 1 - k_3 (C_o - C_n) - k_4 C_{\text{ш}} \quad (2.10)$$

$$B_A = E_n - E_{\text{ш}}, \quad (2.11)$$

$$E_n = \kappa n T_{\text{ш}}^4, \quad (2.12)$$

$$E_{\text{ш}} = \kappa A_{\text{ш}} T_{\text{ш}}^4 f_2(C), \quad (2.13)$$

$$A = a_1 + b_1 \sqrt{\epsilon}, \quad (2.14)$$

$$f_2(C) = 1 + k_5 C_n + k_6 (C_o - C_n), \quad (2.15)$$

$$Q_s = B_R e^{-\alpha_d d}, \quad (2.16)$$

Условные обозначения в формулах (2.5)–(2.16) следующие:
 Q_{R0} — суммарная радиация при отсутствии облачности; J_n — прямая

радиации; D — рассеянная радиация; $J_1(C)$ — функция ослабления Q_d в зависимости от баллов облачности; A_b — альбедо; J_0 — солнечная постоянная; h_s — высота солнца; λ — интегральная характеристика прозрачности атмосферы; C_o — общая облачность; C_n — нижняя облачность; F_s — длинноволновое излучение поверхности ледника; κ — излучательная способность ($\kappa=1$); σ — постоянная Стефана—Больцмана; E_d — длиноволновое излучение атмосферы; T_s — абсолютная температура поверхности; T_{200} — абсолютная температура воздуха на высоте 200 см; $f_2(C)$ — функция прироста E_d в зависимости от баллов облачности; A — функция Брента; a — упругость водяного пара, 10^2 Па; n — коэффициент поглощения; l — толщина действующего слоя; b_1, k_1, h_s, a_1, b_1 — эмпирические параметры.

Для определения альбедо в гляциологических расчетах применяются способы: а) характерных средних значений A_b с учетом их пространственно-временной изменчивости [48, 105, 109, 110]; б) математическое моделирование временного хода $A_b(t)$ в зависимости от суточной и годичной изменчивости температуры [170, 202, 217]; в) локальных эмпирических зависимостей альбедо от плотности снежного покрова и времени [70, 72, 98, 110, 119, 221, 232, 268].

При использовании этих способов в формулы (2.5) — (2.16) для региональных расчетов радиационного баланса на ледниках необходимо описание или в крайнем случае оценка пространственно-временной изменчивости соответствующих эмпирических параметров. В первую очередь это относится к интегральному показателю прозрачности атмосферы λ , коэффициентам $k_1 + h_s$ в функциях нижней облачности на B_s и B_d , параметрам в формулах для расчета альбедо.

Турбулентные потоки тепла под ледником

Как известно, исходными для расчета потоков Q_b и D_c («активное» и «скрытое» тепло по зарубежным [232, 237, 241, 250, 255] и другим гляциометорологическим работам) в приподнятом слое воздуха являются следующие выражения:

$$Q_b = -\rho c_p K_b \frac{\partial T}{\partial z} \quad (2.17)$$

и

$$Q_c = -c L K_c \frac{\partial q^*}{\partial z}, \quad (2.18)$$

где ρ — плотность воздуха; c_p — удельная теплоемкость воздуха; L — удельная теплота фазового перехода; K_b и K_c — коэффициенты турбулентного переноса; $\frac{\partial T}{\partial z}$ и $\frac{\partial q^*}{\partial z}$ — градиенты абсолютной температуры воздуха и его удельной влажности. В многочисленных работах по расчетам турбулентного переноса в приподнятом слое воздуха аналитические выражения для коэффи-

циентов K_b и K_c выводятся на основе цепной скорости трения (u_*), шероховатости поверхности (z_s), условия логарифмичности вертикального профиля ветра над поверхностью ледника, функции устойчивости (Φ_b) логарифмического профиля ветра, температуры воздуха и влажности.

Применительно к задаче определения $M(z, t)$ из всех способов расчета Q_b и Q_c на основе (2.17) и (2.18) имеет смысл рассматривать только такие, в которых: а) используется массивная исходная информация; б) параметры формул либо достаточно устойчивы, либо могут быть представлены в виде функций координат z, t .

Согласно [48], соответствующие рабочие формулы получаем после замены в (2.17) — (2.18) частных производных конечными разностями. Например,

$$Q_b = \rho c_p \frac{K_b}{\Delta z} (T - T_s) \quad (2.19)$$

или

$$Q_b = \rho c_p f(u) (T - T_s), \quad (2.20)$$

а

$$Q_c = \frac{0.628 L p}{P} f(u) (a_t - a), \quad (2.21)$$

полагая, что $K_b = K_c$, $K_b/\Delta z = f(u)$ является линейной функцией скорости ветра

$$f(u) = a + bu, \quad (2.22)$$

где a и b — эмпирические параметры; в (2.21) P — атмосферное давление. Если определять эти параметры [77, 147, 151, 232] путем одновременных измерений испарения, скорости ветра и упругости водяного пара a на высотах z_2 и z_s (для тающей поверхности ледника $a(z_s) = 6.1 \cdot 10^2$ Па, $a(z_2) = 0$, то a и b оказываются зависимыми [232] от функции устойчивости Φ_b и разности высот $\Delta z = z_2 - z_s$.

Аналогичные (2.20) — (2.21) выражения для расчета Q_b и Q_c получены [147, 232, 250, 255, 256, 266] путем интегрирования (2.17), (2.18) от z_2 до z_s и при условиях, что

$$K_b(z) = \frac{a_s k_t (z + z_s)}{\Phi_b(z)}, \quad (2.23)$$

$$a_s = a(z) k_t \ln(z/z_s), \quad (2.24)$$

$$z \gg z_s, \quad K_b(z) = K_s(z) \sim \text{const}, \quad \Phi_b(z) = \Phi_s(z) = \text{const}. \quad (2.25)$$

Тогда

$$Q_b = a_s (T - T_s), \quad (2.26)$$

где

$$a_s = \frac{\rho c_p a_s k_t}{\Phi_s \ln(z/z_s)}. \quad (2.27)$$

Подставив (2.24) в (2.27), учитывая (2.25) в правом члене $\Phi_a - \Phi_e = 1$, получим

$$Q_a = \frac{\rho c_p k_{\text{п}}^2(z)}{[\ln(z/z_0)]^2} (T - T_e), \quad (2.28)$$

Считая, что в этом выражении член

$$\frac{k_{\text{п}}(z)}{[\ln(z/z_0)]^2} = f_1(u)$$

также является линейной функцией скорости ветра [232], получаем для расчета Q_a и Q_e

$$Q_a = \rho c_p f_1(u) (T - T_e), \quad (2.29)$$

$$Q_e = \frac{0.622 L}{\rho} f_1(u) (e - e_s), \quad (2.30)$$

т. е. такие же выражения, как (2.20) и (2.21). В формулах (2.23) — (2.26) k_0 — константа Кармана.

Практически важным для расчетов Q_a и Q_e является их отношение [235]

$$\frac{Q_a}{Q_e} = \frac{\rho c_p}{0.622 L} \frac{(T - T_e)}{(e - e_s)}, \quad (2.31)$$

которое позволяет определить один из этих потоков тепла, если неизвестно значение другого [147], или получить [232, 266] простую формулу для расчета Q_e :

$$Q_a = L_b f_1(u) (T - T_e), \quad (2.32)$$

$$L_b = \frac{\rho c_p}{0.622 L} \quad (2.33)$$

— параметр, имеющий локальное значение.

Все рассмотренные здесь упрощающие способы расчета потоков Q_a и Q_e получены в предположениинейтральной стратификации температуры воздуха в приземном слое. В течение первоначальной фазы таяния снега в подавляющем большинстве случаев наблюдается инверсия. Для учета влияния инверсии на коэффициенты K_0 и K , применяются [86, 232, 237, 235 и др.] поправочные формулы, полученные на основе теории подобия Монравича — Обухова [174]. Так, при $\Phi_a - \Phi_e = 1$ в работе [232] рекомендовано:

$$f(u) = f_1(u) (1.0 + \alpha R_{10})^2, \quad (2.34)$$

где

$$R_{10} = \frac{2g\alpha(T - T_e)}{(T + T_e) u^2} \quad (2.35)$$

— основное число Ричардсона; g — ускорение свободного падения; α — эмпирический коэффициент, равный 5. В той же работе [232] показано, что вычисление поправочного члена в (2.34) существенно усложняется при $\Phi_a \neq \Phi_e$.

Относительную значимость в энергетическом балансе таяния тепловыделения жидким осадкам на поверхности ледника существует вывод [146, 147], что вклад Q_a преобразжимо мал. Этот вывод использован в настоящей работе при моделировании суммарного таяния ледников Средней Азии. При необходимости расчет Q_a может быть выполнен по приближенной формуле К. Андерсона [232]

$$Q_a = c_w l_p (T_a - 273.16), \quad (2.36)$$

где c_w — теплоемкость воды; l_p — слой жидким осадков; T_a — температура смоченного термометра (К) в метеорологической будке.

Как видно, использование для расчета интенсивности таяния, согласно уравнениям (2.1) — (2.3), возможно более простых и не слишком грубых способов связано с определением значительного числа эмпирических коэффициентов. Соответствующие локальные характеристики приведены во многих работах [16, 20, 48, 119, 147, 158, 170, 235, 239, 242, 256, 278]. Например, для ледника Хинтеррайсфернер по градиентно-балансовым измерениям определен [255] коэффициент α_L в формуле (2.26), который на одной и той же высоте оказался довольно устойчивым для различных интервалов времени в течение сезона абляции. При анализе высотной вариации он установлен, что реальная ошибка на 10 % в экстраполяции градиента альбедо вызывает 20 %-ную ошибку коэффициента α_L .

По глубине изменчивости эмпирических параметров ветровой функции нет единого мнения. Ряд авторов [48, 147, 151, 165] считают их малоизменчивыми, а из свидетельств измерений в работе [232] следует существенная пространственная вариация этих параметров.

Таким образом, возможность региональных определений Q_a и Q_e в гляциальных областях на основе самых простых выражений является скромной, по крайней мере из-за отсутствия методов экстраполяции скорости ветра в горах, и поэтому вынужденного приятия грубых допущений $\Phi_a - \Phi_e = 1$ и $f(u) = \text{const}$.

Рассмотрим далее ряд формул и методов расчета интенсивности таяния снега и льда, где для определения составляющих правой части уравнения (2.3) использованы различные приемы.

Уравнение вида:

$$M = B_{ef}(C) + f(C_{\text{зас}}, z_{\text{зас}}, C) + f(\Delta\theta, \Delta e, u).$$

Формула П. П. Куманика

Для расчета суточной интенсивности таяния изотермического снега при отсутствии жидким осадков в работе [147] рекомендуется выражение

$$M = 0.125 [(Q + i)(1 - A_n)(1 - 0.20C_o - 0.47C_n) - 1440 \ln T_o^2 + 1440(0.62 + 0.05 \sqrt{e_{\text{зас}}}(1 + 0.12C_o + 0.12C_n) \ln T_o^2) + a_{\text{зас}}], \quad (2.37)$$

где $\kappa = 0,99$; $\sigma = 8,26 \cdot 10^{-11}$ кал/см²·мин·град⁴; $T_0 = 273 \text{ К} + \Theta_0$; $T_a = 273 \text{ К} + \Theta_{200}$; $Q + I$ — суммарная и рассеянная радиация при безоблачном небе; A_r — альбедо; C_o — балл общей облачности; C_n — балл нижней облачности; Θ_{200} и e_{200} — температура воздуха и упругость водяного пара на высоте 200 см; u_{1000} — скорость ветра на уровне 1000 см; Θ_a — температура тающей поверхности,

$$\alpha_c = 0,878 \frac{1 + 0,547 u_{1000}}{u_{1000}} \text{ м/сут}^{-1} \cdot \text{град}^{-1} \cdot \text{м}^{-1} \cdot \text{с}, \quad (2.38)$$

$$\gamma_s = (\Theta_{200} - \Theta_a) + 1,75 (e_{200} - e_a) \text{ град}. \quad (2.39)$$

Эмпирические коэффициенты в формулах (2.37) — (2.39) определены П. П. Кузьминым по данным соответствующих локальных измерений на равнинах. Помимо основного выражения (2.37), П. П. Кузьмин [147] предложил также ряд приближенных способов определения интенсивности снеготаяния, в том числе с использованием ветровой функции $f(u)$.

Формулы Ю. М. Денисова

Формула Ю. М. Денисова [48] для расчета интенсивности таяния изотермического снега (мм/сут) при $\Theta_a = 0^\circ$ и $c_a = 6,1 \cdot 10^2$ Па имеет вид

$$M = \mu_1 \Theta + \mu_2 Q + \mu_3, \quad (2.40)$$

где

$$\mu_1 = 1,17 A_f(C) + 2,21 e^{-0,106 u}, \quad (2.41)$$

$$\mu_2 = 0,125 (1 - A_r), \quad (2.42)$$

$$\mu_3 = 3,81 \left(1 - 0,118 \frac{c}{c_a}\right) e_{200} - 23,2 \left(1 - 0,118 \frac{c}{c_a}\right) - 80,2 [1 - A_f(C)], \quad (2.43)$$

причем $\Theta_{200} = \Theta(z, t)$; $e_{200} = e(z, t)$; $Q = Q(C, z, t)$; $A_r = \bar{A}_r(z, t)$; c — доля жидкой фазы, содержащейся в снеге, от общего запаса влаги; c_a — наибольшая водоудерживающая способность снега. В формулах (2.41) — (2.43) μ_i в мм/(град·сут), μ_3 в мм·см²/кас; c в мм/сут.

Полученные Ю. М. Денисовым [48] рабочие выражения для определения турбулентного теплопотока $\{ \text{кал}/(\text{см}^2 \cdot \text{сут}) \}$

$$\Pi_t = \left[0,0133 P (\Theta_{200} - \Theta_a) + 23,3 \left(1 - 0,118 \frac{c}{c_a}\right) (e_{200} - e_a) \right] f(u) \quad (2.44)$$

и испарения (мм/сут)

$$E = 0,343 (e_{200} - e_a) f(u) \quad (2.45)$$

с учетом изменчивости аргументов (P , Θ , e) на высоте z и во времени t по своей структуре и природе эмпирических параметров в принципе аналогичны формулам (2.36), (2.39). Отличие со-

стоит только в том, что в уравнении (2.44) скрытия теплота фазового перехода выведены раздельно для испарения и испарения. Знание четвертой функции $f(u)$ в формулах (2.44), (2.45) задано постоянным и равно 1,31 ч/с, расчет пропускания суммарной радиации Q выполняется с учетом крутизны и ориентации склона. При определении эффективного излучения и в функциях облачности Ю. М. Денисов использовал эмпирические параметры, полученные П. П. Кузьминым [147].

Кроме того, для различных вариантов штурмусового хода таяния в работе [48] получены формулы интенсивности таяния, приближающие суюочный ход температуры воздуха и суммарной радиации. Для применения этих формул необходимы максимальная и минимальная температура воздуха за сутки и сведения о фактической продолжительности таяния в течение суток.

Внеклассически в формулу (2.40) Ю. М. Денисова с соавторами [55] были внесены некоторые усовершенствования: уточнены выражения, аппроксимирующие внутрисуточный ход температуры воздуха к суммарной радиации, получены эмпирические зависимости для суточной якобиниды температуры воздуха от высоты холмистости c баллов облачности, снято условие $f(u) = \text{const}$. Однако, как показали совместные расчеты интенсивности таяния по усовершенствованной формуле Денисова, ее первоначальному варианту (2.40) и формулам автора (см. раздел 2.3 монографии и работы [55, 254]), упрощение методики и увеличение объема расчетов не привело к заметному улучшению точности определения M .

Формула Э. Андерсона

При выходе рабочего выражения интенсивности таяния Э. Андерсон [232] практически без изменений заимствовал методику П. П. Кузьмина [147]. Поэтому формула M для изотермического таяния снега в отсутствии жидких осадков

$$M = 0,125 Q_{ir} - 3,37 \Delta t_b - 8,5 f(u) \left[(e_{200} - 6,11) + \frac{c_p P}{0,022 t} (T_{ir} - 273,16) \right] \text{ мм}/\Delta t_b, \quad (2.46)$$

$$Q_{ir} = Q (1 - A_r) - E_{ir}, \quad (2.47)$$

вновь аналогична выражению (2.37) при $C_o = C_n = 0$.

После сопоставления результатов применения в модель формирования сложного покрова уравнения интенсивности таяния (2.46) и простейшего выражения, представляющего собой температурный индекс таяния типа $M = k\Theta$, Э. Андерсон [232] пришел к выводу об отсутствии заметного и систематического улучшения качества моделирования за счет усложнения методики расчета M . Важно

отметить, что это заключение получено в условиях исследовательской станции, где проводилась обширная программа наблюдений за составляющими баланса массы и энергии снежного покрова. К группе выражений вида

$$M = B_f(C) + f(\bar{\Theta}_{\text{дв}}, v_{\text{ср}}, C) + f(u, \Delta\Theta, \Delta v), \quad (2.48)$$

которое в общем виде характеризует рассмотренную выше методику и числовую схему решения уравнения (2.3), относятся также локальные формулы интенсивности таяния снега и льда, приведенные в работах Л. Дерикса [240], Л. Готлиба [241], Р. Хедрика, Б. Филдсити и В. Ашкиса [243], Ч. Кильера [250]. Формулы этих авторов практически отличаются только численными коэффициентами и эмпирическими параметрами в функциях облачности или ее аналогах, ветровой функции, других дополнительных характеристиках.

В сборной работе Г. Краусса [255], посвященной энергообмену на поверхности раздела воздух—лед, обобщены известные методы оценки составляющих уравнения теплового баланса (2.1). По мнению Г. Краусса, метод определения турбулентных потоков тепла Q_u и Q_v должен быть основан на теории подобия Монина—Обухова.

При определении составляющих Q_u и Q_v уравнения (2.1) на леднике Свердрупа (Арктика, с. Девон) Ч. Кильер [250] использовал метод турбулентной диффузии, учитывая стратификацию приземного слоя воздуха и применив гипотезу о равенстве коэффициентов K_u и K_v . Как оказалось, полученные за сутки величины таяния отличаются от данных абиометра на 30–43 %. При этом наибольшие положительные отклонения имели место при жарких веческих редиационном балансе. С увеличением падения радиации в тепловом балансе отклонения уменьшились и становились отрицательными. Аналогичная зависимость между падением радиации в тепловом балансе таяния и ошибками расчета M была обнаружена в период летних балансовых работ на леднике Лошингстчер, Шпицберген [270].

Формула Е. Г. Попова

Для расчета интенсивности снеготаяния за 12 ч светлого времени суток ($\Delta\Theta/12$ ч) получено [183] следующее выражение:

$$M = 7,1 [(1 - A_w)(\theta_{\text{ макс}} - \bar{\theta} - 0,2) - 0,2(\bar{\theta} - \theta_{\text{мин}}) + 0,1\mu_{\text{ср}}(\bar{\theta}_0 - 0,5)], \quad (2.49)$$

где $\theta_{\text{ макс}}$ — максимальная температура воздуха за дневные часы; $\bar{\theta}$ — средняя температура воздуха; $\theta_{\text{мин}}$ — минимальная температура воздуха за сутки; θ_0 — средняя температура воздуха за дневные часы; $\mu_{\text{ср}}$ — средняя скорость ветра за дневные часы на высоте флюгера в м/с.

Методический основой для этой формулы явились установленные Е. Г. Поповым [183] локальные эмпирические связи $Q =$

$-f(\Theta_{\text{ макс}}, \Theta)$, $B_f = f(\bar{\Theta}, \Theta_{\text{мин}})$, а числа $0,1\mu_{\text{ср}}(\bar{\theta}_0 - 0,5)$ представляют собой дальнейшее упрощение выражения (2.39), где вместо абсолютной влажности в использована эмпирическая зависимость от температуры воздуха.

Параметры перечисленных связей определяются по соответствующим изображениям в конкретном географическом районе и подлежат уточнению в иных природных условиях. Кроме того, необходимость данных о секторах ветра затрудняет использование формулы (2.49) для расчета таяния на ледниках.

Обобщая результаты разработки различными авторами формул интенсивности таяния снега и льда, представляющих собой упрощенные варианты уравнений теплового баланса, отметим следующее.

1. Все рассмотренные формулы вида (2.48) содержат немало эмпирических параметров, которые за пределами пункта, где они были определены, вынужденно приходится считать неизвестными. Приятие такого грубого условия несомненно ухудшает качество расчетов таяния, поскольку существование в горах пространственно-временной вариации многих параметров вполне очевидно.

К их числу относятся: интегральная характеристика прозрачности атмосферы в формуле (2.7), коэффициент b_r в формуле (2.8), коэффициенты в функциях облачности $f_1(C)$ и $f_2(C)$, эмпирические параметры в формуле Брента (2.14), параметры ветровой функции $f(u)$, коэффициенты α_w и β_w в формулах (2.26) и (2.32), ряд производных заданных коэффициентов в формулах Л. Дерикса [239], Л. Готлиба [240] и др.

2. Необходимые условия широкого применения упрощенных вариантов уравнения теплового баланса по существу весьма противоречивы. С одной стороны это принятие довольно приближенного допущения о постоянстве эмпирических коэффициентов в широком диапазоне природных условий, с другой — наличие в составе формул таких характеристик, как скорость ветра, продолжительность единичного снега, внутрисуточный ход температуры поверхности снега и льда и пр., которые могут быть получены только непосредственными измерениями.

Из этого следует, что требование в исходной информации и эмпирическим параметрам в упрощенных вариантах уравнения (2.1) избыточно в отсутствии точности. А это приводит к ухудшению качества расчетов суточной интенсивности таяния и возможностей широкого применения рассмотренных выше формул в условиях ограниченности исходных данных и отсутствия источника пространственной экстраполяции в горах такого важного компонента всех формул типа (2.48), как скорость ветра.

Наряду с формулами интенсивности таяния типа (2.48), также есть гидрометеорологические формулы (шаррихер, [1–3, 10, 25, 48, 89, 100, 110, 119, 235, 249] и многие другие) уже давно для расчетов интенсивности таяния с успехом применяют линейные однопараметрические и двухфакторные эмпирические уравнения регрессии. Наиболее распространены и вполне надежны спределяемые аргументами

тами этих формул являются поглощением радиации B_k в температура воздуха Θ .

Несмотря на стохастический характер эмпирических уравнений $M - f(B_k, \Theta)$, включение этих терминов в состав формул интенсивности таяния имеет ясный физический смысл. Очевидно, что в этом случае B_k и Θ следует рассматривать как индекс соответствия радиационного баланса (см. табл. 8 в работе автора [110]) и турбулентного потока тепла из воздуха.

Для характеристики иммажа Q_m , Q_a и Q_b в тепловом балансе аблации на ледниках Средней Азии рассмотрим сходные данные автора и других исследователей [9, 37, 38, 60, 63, 84–86, 110, 144, 150, 165, 176], представленные в табл. 2.1. Необходимо отметить, что относительные характеристики роли Q_m и Q_a в тепловом балансе аблации получены неоднократными расчетными методами. Однако сведения о Q_m , Q_a , Q_b и $c_s M$ на разных ледниках Средней Азии считаем возможным рассматривать как сравнительно однородную выборку, учитывая, что почти во всех случаях авторы отмечают удовлетворительную сходимость измеренной и вычисляемой величин аблации.

Еще одна оговорка необходима в связи с тем, что большинство прижизненных теплового баланса в табл. 2.1 относится к кратному интервалу времени. Это приводит к преувеличению вклада поглощенной радиации в тепловом балансе таяния, поскольку почкою таяния нет, радиационный баланс отрицательен, а поток тепла Q_b направлен к поверхности ледника круглогодично.

Учитывая сделанные замечания, можно с большой вероятностью считать, что на поверхности языков ледников Средней Азии приходящую часть теплового баланса в период аблации, как правило, не менее чем на 85 % составляет радиационная энергия. Дневной вклад другого источника внешней энергии — турбулентного потока тепла из воздуха — колеблется в пределах 10–15 %. А в начале и конце абляционного сезона для Q_a становится еще меньше. Что касается тепла, выделяющегося при конденсации водяного пара из поверхности области аблации, то, судя по табл. 2.1, в большинстве случаев эта статья приходящей части либо вообще отсутствует (точнее преобладает испарение), либо крайне незначительна.

Расходная часть дневного баланса тепла на языках ледников на 85–95 % состоит из затрат высшей энергии на таяние, на испарение с поверхности здесь уходит исключительно меньше.

Сходные данные о соотношениях в дневное время между Q_b и Q_m и $c_s M$ и Q_a приводят А. П. Волонтика [26] для ледников района Эльбруса, где Q_b и $c_s M$ равны 93 %, а Q_a и Q_b — 7 %. Показательно, что в целом за сутки радиационное тепло в общем поступлении энергии на ледниках Эльбруса составляет 65 %, а турбулентный поток тепла — 35 %. Причина здесь, как уже было отмечено выше, заключается в том, что радиационный баланс после захода солнца уменьшается до нуля и становится отрицательным, а турбулентный поток тепла в течение суток ко-

стоянию направлен к поверхности ледника. Учитывая это обстоятельство, А. П. Волонтика [26] считает необходимым рассматривать структуру теплового баланса за определенные перIODЫ суток с тем, чтобы получить реальное представление о роли в абсолютной радиационной энергии и притока тепла из воздуха.

Хотя изученность структуры теплового баланса ледника в областях питания ледником Средней Азии значительно уступает аналогичным сведениям для языков ледников, все же можно отметить тенденцию к спаданию затрат энергии на таяние и увеличению доли испарения в общем величине теплового эквивалента аблации. Как уже упоминалось, возрастание Q_a в сумме с $M + Q_b$ способствует сохранению вещества ледника. Что касается приходной части теплового баланса аблации, то цепочку роль там нынешнему играет постепенная смена радиации.

2.2. Линейная регрессионная модель для расчета интенсивности таяния

Для любого момента и характера притока соотношение между источниками прихода и расхода тепла на поверхности ледника может быть выражено следующим образом:

$$c_s M = B_k + B_d + Q_m + LE + \Delta, \quad (2.50)$$

где c_s — удельная теплоемкость плавления льда; M — слой таяния; B_k — поглощющая кирзовиковая солнечная радиация; B_d — баланс для испарения излучения; Q_m — турбулентный поток тепла в приэдакционном воздухе; LE — удельная теплота фазового перехода, расходуемая на испарение воды с тающей поверхности или выделяемая при конденсации водяного пара; Δ — цепочка теплового баланса, обусловленная как погрешностями измерений или расчетов, так и неучитываемыми последствиями массовых членов уравнения (2.50).

Основываясь на обобщении непосредственных данных определений составляющих приходной и расходной частей уравнения теплового баланса в течение периода аблации, выполненного в работе [110], можно утверждать, что в большинстве случаев на ледниках Средней Азии в широком диапазоне абсолютных высот на долю баланса солнечной радиации приходится от 80 до 95 % высшей энергии, поступающей на поверхность ледника. Положительный вклад турбулентного потока тепла из воздуха (Q_a) наблюдается в пределах 5–20 %, причем, в начале и в конце абляционного сезона для Q_a становятся еще меньше. Что касается тепла, выделяющегося при конденсации водяного пара на поверхности ледника, то расчетные в [110] оценки направления и интенсивности турбулентных потоков влаги показывают, во-первых, сопоставимые с $+LE$ величины и крайне незначительные (3–5 %) по величине, а во-вторых, сделать вывод о преобладании расхода тепла на испарение. Из этого следует, что цепочке в уравнении

Таблица 2.1

Процентное соотношение между составляющими теплового баланса по ледникам Средней Азии в первом приближении

Ледник и место его расположения, м Номер пункта наблюдения, №	Период наблюдения	Составляющие теплового баланса, %				Расходная часть				Метод определения Q_B Q_F	Источник данных
		Q_R	Q_E	Q_{Pf}	Q_{PH}	$-Q_A$	$Q_F + Q_I$	S	δ		
1	2	3	4	5	6	7	8	9	10	11	12
Общий видение											
Ишкад, 3300 Гисарская кр., Шелковского, 3410 Западный Алай	25.VII—8.IX 1934 г.	62	38	—	86	14	—	—	6	6	с
Центровидный Туракен, 3470 Западный Алай	26.VII—10.IX 1932 г.	90	10	—	98	2	0,5	—	—	ТБ КМ	с
Коржинского, 3500 Западный Алай	13.VI—28.VIII 1957 г.	40	20	—	73	10	—	—	—	КМ	с
Булгар Сонгари, 3540 Песчаный хребет	20.VII—11.IX 1958 г.	40	20	—	66	99	—	—	—	КМ	с
Зеркильское, 3600 Гурьевский хребет	2.VII—5.IX 1939 г.	45	16	—	77	19	—	—	—	КМ	с
Булгар Сонгари, 3500 Западный Алай	19.VII—17.VIII 1955 г.	35	6	—	80	7	—	—	—	Д	д
Булгар Сонгари, 3540 Песчаный хребет	Ангур 1933 г.	67	33	—	83	7	—	—	—	КМ	с
Булгар Сонгари, 3500 Гурьевский хребет	Ангур 1961 г.	75	25	—	91	9	—	—	—	ТБ	с
Оценки, включая											
Булгар Сонгари, 3500 Туракенский хребет	Ангур, 1961 Ангур, 1962	72	28	—	91	9	—	—	—	ТБ КМ	с
Оргате, 3800 Термез Маргу	3—25.VIII 1958 г. 10.VII—11.VIII 1958 г.	85	12	3	81	19	—	—	—	КМ КМ КМ	д с
Федченко, 3890 Эп. Аргентинский Пирог Ти же, 3800	Ангур, 1958 Ангур, 1959	72	22	—	88	15	—	—	—	ТБ ТБ	с
Термез, 4000 Кр. Кизик-Алай	VII—VIII 1964 г.	71	25	—	89	10	—	—	—	КМ	с
Булгар Сонгари, 4230 Алакульский хребет	30.VII—20.VIII 1962 г.	35	44	—	95	5	—	—	—	ТБ	с
Лекина, 4200 Западный Алай	26.VII—20.VIII 1964 г.	37	15	—	94	3	—	—	—	КМ	с
Булгар Сонгари, 3500 Центровидный Туракен, 3750	1—31.VII 1963 г.	42	14	—	83	15	—	—	—	КМ	с
Птицы, 4150 Бондарев, 4100 Федченко, 4090 Ти же, 4010	Ангур, 1962 VII—VIII 1964 VII—IX, 1957 1.VII—20.VII, 1958	62	28	—	57	43	—	—	—	КМ	с
Примечания: 1) ДТ — метод гирькового прибора; ТБ — установка теплового баланса; КМ — формика Капликова—Мензелин, с (стекло) и п (пленка); 2) $Q_H = 17\%$ — расходные пропорции ледника, 3) Данные о теплообмене засчитаны на ледник Туракен Центрального Тяньши и Коркесинского относятся к ледникам Тяньши и Кокса.											

Приимечания: 1) ДТ — метод гирькового прибора; ТБ — установка теплового баланса; КМ — формика Капликова—Мензелин, с (стекло) и п (пленка); 2) $Q_H = 17\%$ — расходные пропорции ледника, 3) Данные о теплообмене засчитаны на ледник Туракен Центрального Тяньши и Коркесинского относятся к ледникам Тяньши и Кокса.

а) выше льда.

(2.50) видов, близких по модулю (Q_e и LE) и противоположных по знаку, дополняющими акцентирует роль радиационной составляющей в приходной части теплового баланса.

То же что и производственном масштабе строгая оценка всех потоков тепла в приходной части уравнения (2.50) не может быть выполнена ввиду несовершенства расчетных методов и недостатков исходных данных (главным образом это относится к членам Q_e , B_{in} , LE). В связи с этим массивные расчеты таяния снега и льда приходится вышивать по эмпирическим фирмам, аргументами которых служат метеорологические элементы либо адекватные общему на компоненты теплового баланса (поступление солнечной радиации), либо используемые при определении того или иного потока тепла (например, температура воздуха). Назовем указанные варианты расчета в факториальном корреляционных зависимостей первого и второго типов. Возможен также смешанный тип, когда в эмпирическое уравнение вносящимся регрессии входят потоки тепла и метеорологические элементы.

В принципе на основе любого из этих типов зависимостей могут быть получены аналитические выражения для расчета таяния снега и льда при условии достаточности и репрезентативности выборок исходных данных и корректности географической и статистической интерпретации результатов численного анализа.

Перечень метеорологических элементов, потенциально пригодных для получения эмпирических формул интенсивности таяния первого, второго и смешанного типов, представляется следующим: $R = B_{in} + B_{out}$ — дневная сумма баланса коротковолнового и длинноволнового потоков излучения; Θ — средняя суточная температура воздуха; C — средний балл общей облачности за сутки; k — средняя суточная относительная влажность воздуха; e — средняя за сутки упругость водяного пара (10^2 Па).

Однако, что при любом составе регрессионной модели для расчета таяния, принятой в качестве замены уравнения теплового баланса (2.1), соотношение между функцией и независимыми переменными (одной или несколькими) устанавливается уже на стохастической основе. При этом роль каждого аргумента в структуре дисперсии зависимой переменной безусловно является отражением его относительного вклада в уравнении (2.50). Учитывая важность соответствующих числовых показателей объективного выбора оптимального варианта расчетной формулы, рассмотрим корреляционные связи между таянием и основными метеорологическими элементами.

На первом этапе этого исследования по данным ежедневных измерений M , R , B_{in} , Θ , C , k , e на 26 ледниках Средней Азии за периоды 10, 20, 30, 40 дней были вычислены коэффициенты парной корреляции r я всех возможных сочетаний из указанного набора. Результаты этой обработки приведены в работе [119] в виде гистограмм распределения коэффициентов парной корреляции. Общую характеристику взаимосвязи для всех сортированных по уровням моды распределений корреляции ежедневных

измерений за 10 и 30 дней дают соответствующие корреляционные матрицы (табл. 2.2). Довольно широкий диапазон изменения корреляции в каждом из рассматриваемых распределений обясняет принципиальную роль противоречивых оценок роли одной и той же переменной для расчета таяния, полученных на ограниченном эмпирическом материале.

Таблица 2.2

Матрицы коэффициентов парной корреляции по ежедневным измерениям переменных за 10 (верхняя половина таблицы) и 30 дней (нижняя половина таблицы)

		Индекса переменных						
		M	R	B_{in}	Θ	C	k	e
R	1	0,96	0,95	0,60	-0,50	-0,46	-0,43	
	0,96	1	0,95	0,45	-0,55	-0,75	-0,62	
B_{in}	0,95	0,95	1	0,30	-0,90	-0,75	-0,70	
	0,50	0,45	0,45	1	-0,37	-0,62	-0,62	
Θ	-0,50	-0,58	-0,73	-0,30	1	0,34	0,70	
	-0,45	-0,45	-0,65	-0,62	0,62	1	0,95	
C	-0,50	-0,58	-0,73	-0,30	1	0,34	0,70	
	-0,45	-0,45	-0,65	-0,62	0,62	1	0,95	
k	-0,45	-0,45	-0,65	-0,62	0,62	1	0,95	
	-0,40	-0,39	-0,70	-0,55	0,02	0,95	1	
e	-0,40	-0,39	-0,70	-0,55	0,02	0,95	1	

Приложение. M — таяние, R — радиационный баланс, B_{in} — поглощающая солнечная радиация, Θ — температура воздуха, C — общая облачность, k — относительная влажность воздуха, e — упругость водяного пара.

В целом, можно сказать, что определенные значения распределений коэффициентов корреляции ежедневных измерений M , R , B_{in} , Θ , C , k , e вполне правильно и объективно отражают картину причинно-следственных связей между этими переменными, другим словам являются физически обусловленными.

Аналогично использованная средних значений метеорологических элементов в эмпирических формулах для расчета таяния снега и льда представляет собой следующий этап после изучения взаимной корреляции рассматриваемых переменных по ежедневным данным.

Корреляция с таянием средних значений метеорологических элементов, которая детально рассмотрена в работе [119], в некоторых случаях существенным образом отличается от определенных ранее по гистограммам корреляции ежедневных измерений. Речь здесь идет о резком возрастании температуры снега таяния с текущими температурами, как температура воздуха, относительная влажность воздуха, продолжительность солнечного сияния.

Следовательно, каждый из названных метеорологических элементов наряду с другими может претендовать на роль индекса правой части уравнения (2.50). Однако пригодность их в качестве аргументов эмпирических формул для расчета M выясняется только по мере возрастания периода исследования. Важно подчеркнуть здесь, что трансформации перечисленных корреляционных зависимостей не являются следствием обобщения данных по

различным ледникам. Аналогично именные тесноты связей с ростом периодов определения установлены также [119] по измерениям таяния и температуры воздуха на леднике Голубина (последний р. Алаарта). Так же в общем виде показано, что прямой взаимодействия коэффициентов парной корреляции таяния с температурой и относительной влажностью воздуха, общей облачностью и продолжительностью солнечного сияния при условии осреднения функций и аргументов сводится к следующему:

$$x_i = \frac{1}{n} \sum_{j=1}^n x_{ij}, \quad (2.51)$$

$$y_i = \frac{1}{n} \sum_{j=1}^n y_{ij}, \quad (2.52)$$

где n — длина подвыборки, по которой выполняется осреднение каждого i -го значения x и y .

Анализ и объяснение полученных для условий Средней Азии значений коэффициентов корреляции между таянием, погодными условиями и метеорологическими элементами является необходимым этапом разработки и обоснования формул для расчета интенсивности таяния. Дальнейшими действиями должны быть определены оптимальных параметров состава расчетных формул и численная оценка их параметров, и в заключение — проверка полученных уравнений на независимом фактическом материале.

При определении состава формулы интенсивности таяния следует руководствоваться не только статистической значимостью аргументов для описания дисперсии функции, но и учитывать, возможностями пространственной интерполяции — экстраполяции в условиях единичной пропаганды.

В условиях ограниченности исходных данных целесобранно также использовать упрощенных методов расчета таяния по одноФакторным формулам, параметрам которых могут служить, как показал предыдущий анализ, средние значения различных метеорологических элементов.

Физический смысл выражения уравнения множественной регрессии таяния

$$M = a_0 R + a_1 \Theta + a_2 C + a_3 e + a_4 b \quad (2.53)$$

одноФакторной формулой рассмотрим на примере зависимости $M - f(\bar{\Theta})$.

Для того чтобы перейти от (2.53) к одноФакторному уравнению $\tilde{M}(\bar{\Theta})$, где суммирующий вклад всех переменных, кроме температуры воздуха, заменен эмпирическим параметром, преобразуем (2.53) к виду

$$\tilde{M} = \left(\frac{a_0 R + a_2 C + a_3 e + a_4 b}{\bar{\Theta}} + a_1 \right) \bar{\Theta}. \quad (2.54)$$

Это выражение представляет собой некоторую однофакторную формулу

$$\tilde{M} = a \bar{\Theta} + b \quad (2.55)$$

при условии, что коэффициент

$$a_1 \sim a = \text{const} \quad (2.56)$$

и отношение

$$\frac{a_0 R + a_2 C + a_3 e + a_4 b}{\bar{\Theta}} \sim b = \text{const} \quad (2.57)$$

остаются постоянными в достаточно широком диапазоне значений R , C , e , b и Θ .

Очевидно, что выполнение условий (2.56) и (2.57) определяет также возможность трактовки температуры воздуха или другой переменной на правой части уравнения (2.53) как универсального индекса приходящей части теплового баланса поверхности ледника.

Методика решения этого вопроса предложена Р. Брайтвайтом [233], который рассмотрел вклады радиационного баланса, активного и скрытого тепла, потока тепла вглубь ледника в тепловой баланс аблации и параметры a и b формулы интенсивности аблации типа (2.55). По мнению этого автора, слабая корреляция таяния с радиацией на ледниках Канадской Арктики, несмотря на основной вклад R в тепловой баланс, обусловлена малой изменчивостью радиационного баланса.

Удовлетворительная связь аблация — температура воздуха ($r = 0.49 \pm 0.84$) была получена в этом районе в результате достаточных тесных зависимостей между аблацией и активным теплом и, в свою очередь, между активным теплом и температурой воздуха. ¹² Брайтвайт считает также, что температура воздуха не является индексом приходящей части теплового баланса аблации.

Результаты, к числу которых выдвигают гипотезу о связи между вкладами источников внешней энергии в приходную часть теплового баланса аблации и их взаимностью для описания дисперсии аблации. В условиях Средней Азии следствием подавляющей роли радиации и теплоемкости блоков поверхности ледников (см. табл. 2.1) является преобладание коэффициентов корреляции зависимостей $M(R)$ и $M(B_k)$ над $M(\Theta)$ и другими.

Для массовых расчетов по формулам типа (2.55) большое значение имеет размер ареала, где выполняются условия (2.56) и (2.57). В зависимости от этого соответствующая эмпирическая формула может быть использована для расчетов интенсивности таяния на определенном леднике в конкретной географической области или же всей плоскости исследований Средней Азии. Во всех случаях, если позволяют исходные данные, следует также установить и описать пространственно временные закономерности изменения коэффициентов a и b .

2.3. Локальные и региональные эмпирические формулы для расчета интенсивности таяния в гляциальных областях Средней Азии

В настоящие времена нескольких ледниках в пределах Средней Азии путем непосредственных стационарных или полустационарных гидрометеорологических исследований получены достаточные для статистического анализа ряда измерений таяния и отдельных метеорологических элементов. По таким данным могут быть получены статистически обоснованные локальные эмпирические формулы для расчета таяния (подобно тому, как это делается, например, для прогноза стока рек Средней Азии в отдельных гидрометрических секторах), и этим формулам следует отдавать предпочтение при определении таяния на соответствующих ледниках или в условиях географически однородного района.

Локальными формулами в дальнейшем будем называть такие аналитические выражения, параметры которых получены применительно к условиям таяния на свободной от сплошной морены поверхности снега и льда в пределах одного ледника или их группы в климатически однородном районе. В зависимости от спектра исходных данных локальные формулы могут иметь вид уравнений регрессии первого, второго или смешанного типов.

Принимая во внимание хороши известные достоинства температуры воздуха как удобного аргумента для расчета таяния, рассмотрим результаты эмпирической оценки параметров a и b формул

$$\tilde{M}_n = a\bar{\Theta}_n + b, \quad (2.58)$$

анализа этих коэффициентов, проверка качества расчета \tilde{M} на независимом материале.

В табл. 2.3 приведены получающиеся автором параметры уравнений регрессии для расчета средней за сезон интенсивности таяния на отдельных ледниках или их группах в пределах Средней Азии.

Всеми важными этапами создания методики расчета таяния является проверка локальных эмпирических формул $\tilde{M}(\bar{\Theta})$ на независимом материале. Итоги такой проверки, которые также представлены в табл. 2.3, свидетельствуют о достаточно удовлетворительном качестве результатов контроля и, следовательно, приемлемой (по ледникам р. Некем и пристропастской) устойчивости исходных параметров регрессии. Здесь же отметим неизбежный недостаток формул, приведенных в табл. 2.3 и вообще выражений типа $\tilde{M}(\bar{\Theta})$ — большие относительные ошибки расчета M при низких температурах, когда величины таяния становятся сравнимыми и меньше вероятной ошибки вычислений.

Проанализируем численные значения коэффициентов a и b в табл. 2.3, относящихся к довольно разнообразному диапазону условий охлаждения Средней Азии. На наш взгляд, наиболее

Таблица 2.3

Локальные эмпирические формулы для расчета таяния на ледниках Средней Азии

Ледник (район)	Формула	У	θ _{поп} (тмк небольшой высоты, °С)	r	t ₂₀ сн	t ₂₀ сн / t ₂₀ сн	Условия обработки формулы			
							t ₂₀ сн	R ₂₀	R ₂₀ сн	Ранний пах шестидесятый век
Недвигский	$\tilde{M}_{10} = 0,338 + 1,10$	30	1,6 (11,5)	0,82	0,96	0,88	17	12	77	5,9 (12,9)
Федуленко	$\tilde{M}_{10} = 0,459 + 2,16$	40	-2,2 (7,9)	0,77	0,96	0,64	27	10	92	-4,3 (-5,7)
Лакрип	$\tilde{M}_{10} = 0,758 + 1,00$	25	0,5 (8,4)	0,87	0,86	0,40	13			
Абдукова	$\tilde{M}_{10} = 0,609 + 2,72$	34	-2,6 (5,5)	0,92	0,64	0,49	31	11	73	-3,6 (-5,0)
Ледники Озенбай- ж. Пакем	$\tilde{M}_{10} = 0,548 + 0,41$	27	1,4 (7,5)	0,81	0,85	0,58	17	7	71	2,7 (8,6)
Карбатак	$\tilde{M}_{10} = 0,408 - 1,41$	31	3,8 (8,3)	0,65	0,82	0,75	31	6	74	3,8 (7,5)
Гобудак	$\tilde{M}_{10} = 0,739 + 0,25$	35	1,4 (7,3)	0,84	0,67	0,54	34	9	74	1,5 (6,5)
Пригорычан Турсуну	$\tilde{M}_{10} = 0,608 + 0,40$	24	1,4 (7,9)	0,71	0,88	0,70	17	8	71	1,4 (-7,9)

Л. Р. Никитин: 1. N — количество изученных ледниковых полигонов; r — коэффициент корреляции; t_{20} — среднегодовая температура воздуха; R_{20} — количество изученных полигонов; R_{20} сн — количество изученных полигонов при отрицательной температуре воздуха.

2. Конкретизация: M , $\bar{\Theta}$ — средняя температура таяния для ледника (сезон); A — температура таяния (сезон); Δ — 0,0740К; Δ — 0,0740К — среднее за сезон таяние (сезон); Δ — консервативная забошка; Δ — среднее за сезон таяния (сезон).

Таблица 2.4

Локальные эмпирические формулы для расчета средней за декаду интенсивности таяния на ледниках Средней Азии (см/сут)

декада; километр	формула	<i>N</i>	<i>r</i>	s_M^2 см ²
Медвежий; 3.0—3.25 км	$\bar{M}_{10} = 0.013R - 0.14$	29	0.99	0.21
	$\bar{M}_{10} = 0.015B_k - 0.12$	29	0.87	0.76
	$\bar{M}_{10} = 0.007UB_k + 0.200 - 0.07$	29	0.93	0.45
Абрамова; 3.85 км	$\bar{M}_{10} = 0.0008R + 0.00$	26	0.70	1.00
	$\bar{M}_{10} = 0.0106B_k - 1.11$	26	0.85	0.95
	$\bar{M}_{10} = 0.0081B_k + 0.350 - 0.71$	26	0.91	0.73
Ледники бассейна р. Псемис; 3.23—3.62 км	$\bar{M}_{10} = 0.0125R - 0.68$	13	0.81	0.61
	$\bar{M}_{10} = 0.011B_k - 0.03$	13	0.69	0.82
	$\bar{M}_{10} = 0.014B_k + 0.0670 - 2.11$	13	0.70	0.80
Карабатаки; 3.43 км	$\bar{M}_{10} = 0.00038k + 1.36$	26	0.80	0.41
	$\bar{M}_{10} = 0.0065D_k + 0.0640 + 1.13$	25	0.61	0.40
	$\bar{M}_{10} = 0.01R + 0.34$	32	0.98	0.25
Центральный Ту юксу; 3.47—3.75 км	$\bar{M}_{10} = 0.0086B_k + 0.05$	31	0.79	0.54
	$\bar{M}_{10} = 0.0087B_k + 0.200 - 0.82$	36	0.84	0.53

Примечание. *R*—радиационный баланс, *B_k*—освещенность радиации (размерность *R* и *B_k* в ккал/см²·сут), *N*—количество декад, *r*—коэффициент первой или множественной корреляции, s_M^2 —среднеквадратическая ошибка расчета интенсивности таяния.

в целом для уравнений в табл. 2.3 и может быть приведена только для таких соединений ледников, как Федченко—Абрамова, Центральный Туюксу—Голубинка.

По сравнению с аргументами *Θ*, *b* и *C* элементы баланса солнечной радиации (*R* или *B_k*) представляются более подходящими для получения универсальной эмпирической однотипной формулы. Основанием для этого вывода является преобладающая роль потока радиации в приходящей части теплового баланса.

Характерно также, что коэффициенты корреляции зависимостей $\bar{M}(R)$ и $\bar{M}(B_k)$ при исчислении временных за интервалы времени от 10 до 60 дней совпадают или очень близки в модах распределения корреляции исходных данных. Следовательно, пригодность для расчета таяния формул с этими критериями обусловливается не статистическими, а физическими признаками.

Несмотря на высокие коэффициенты корреляции однофакторных зависимостей $\bar{M}(R)$ или $\bar{M}(B_k)$, определенная доли дисперсии

интересных и важных с точки зрения методики расчета таяния являются следующими обобщениями:

— параметр *b* во всех случаях имеет положительный знак, что вполне соответствует его роли представителя оставшихся, кроме *Θ*, аргументов основной формулы (2.53);

— пространственная вариация *b* во много раз больше изменчивости параметра *a*, что предполагает получение единой для Средней Азии формулы типа $\bar{M}(\bar{\Theta})$. Выходом из такого затруднения могло бы служить установление закономерностей пространственного изменения *b*, однако имеющийся у автора к настоящему времени материал не позволяет сделать это;

— статистическая значимость радиационного баланса и других компонент уравнения (2.1) для расчета таяния, которую симметризирует в общем виде коэффициент *b*, во всех случаях становится все более заметной по мере убывания температуры воздуха. А на ледниках Федченко, Абрамова, Карабатаки отношение *b/aΘ* составляет от 40 до 70 % дальше при максимальных значениях $\bar{\Theta}$.

Результаты определения параметров ландшафтных эмпирических формул интенсивности таяния, где аргументами являются элементы баланса солнечной радиации и температура воздуха, представлены в табл. 2.4.

Высокая точность расчетов суточных значений таяния по локальным формулам $\bar{M}(R_k, \Theta)$ и $\bar{M}(B_k)$ хорошо согласуется с результатами корреляционного анализа общего линейного уравнения регрессии (2.51) в разделе 2.2. Однако, по мнению автора, для массовых расчетов таяния целесообразно использовать средневременные значения переменных *B_k* и *Θ* из-за недостаточной точности определения их пространственной вариации.

Несомненным достоинством ряда достаточно обоснованных и проверенных локальных формул, приведенных в табл. 2.3 и 2.4, является хорошее приближение к фактическим значениям таяния. Однако существует и обратная сторона этого преимущества, а именно: неуверенность в результатах расчета для неизученных районов, необходимость проведения длительных наблюдений измерений таяния и метеорологических элементов в каждом пункте района, для которого потребовалось рассчитать таяние ледников.

В связи с этим для выполнения массовых расчетов интенсивности таяния ледников в бассейнах рек Средней Азии необходимы универсальные формулы, пускющие достаточно широкие возможности использования. В дальнейшем будем называть такие формулы региональными.

Для получения региональной в условиях Средней Азии однофакторной формулы $\bar{M}_{10} = f(\bar{\Theta})$ была предпринята попытка съединить локальные уравнения регрессии из табл. 2.3 путем проверки гипотезы однородности параметров *a* и *b* в этих формулах. Соответствующие вычисления показали, что гипотеза об однородности параметров на 5 %-ном уровне значимости не удовлетворяется

Таблица 2.5

Региональные формулы для расчета таяния льда и снега в горах Средней Азии

Период отборки, год	Формула	$\frac{\bar{M}_0}{M}$
10	$\bar{M} = 0,014R - 0,45$	0,290
	$\bar{M} = 0,014B_k - 0,77$	0,463
	$\bar{M} = 0,4930 + 1,31$	0,561
	$\bar{M} = 0,0094B_k + 0,270 - 0,74$	0,290
	$\bar{M} = 0,012B_k - 0,082k + 1,05$	0,497
	$\bar{M} = 0,400 - 0,088k + 3,85$	0,525
30	$\bar{M} = 0,014R - 0,55$	0,290
	$\bar{M} = 0,014B_k - 0,94$	0,410
	$\bar{M} = 0,510 + 1,13$	0,518
	$\bar{M} = 0,0094B_k + 0,290 - 0,85$	0,240
	$\bar{M} = 0,011B_k - 0,048k + 2,97$	0,429
	$\bar{M} = 0,380 - 0,038k + 4,0$	0,490

Примечание: 1. $\frac{\bar{M}_0}{M}$ — относительная среднеквадратическая ошибка расчета. 2. Размерность переменных: M — в см/сут; R и B_k — в $\text{мм}/\text{дн}^2$; Θ — в $^\circ\text{C}$; k — в d .

может быть сделано только после проверки экспериментальных уравнений на независимых данных.

Контроль региональных формул в табл. 2.5 выполнен по фондоам и опубликованным материалам [144, 146, 153, 154, 165] измерений таяния снега и льда, элементов баланса солнечной радиации, температуры и относительной влажности воздуха.

В качестве критерия тренда допустимой ошибки расчета по каждой из проверенных формул принята величина, равная 0,674 s_M , где s_M — среднеквадратическое отклонение функции в исходной выборке, по которой получена формула. Опровергнувшись считался каждый случай расчета таяния, для которого разница между вычисленным и измеренным значениями не превышала 0,674 s_M .

Сведения, необходимые для оценки результатов авторской проверки региональных формул для расчета таяния в гляциальной области Средней Азии, представлены в табл. 2.6. Обобщая итоги проверки, сделаем следующие выводы:

а) количество контрольных расчетов таяния по всем региональным формулам, кроме $M_{10} = f(B_k, \bar{R})$, следует признать вполне достаточным, в состав соответствующих выборок включены представительные для надежной оценки качества полученных формул;

б) наиболее высокий и устойчивый процент правильности имеют формулы $M_{10}(R)$ и $M_{10}(B_k, \bar{R})$. Учитывая трудность

функции оставаться неподвижной, например, корреляция порядка 0,85—0,95 описывает дисперсию зависимой переменной на 72—90 %. Учитывая это, рассмотрим целесообразность добавления к R или B_k другого аргумента (о числа рассмотриваемых здесь) к расчету таяния по n -факторному уравнению регрессии. Определение параметров множественной линейной регрессии произведено на ЭВМ по программе, составленной автором.

В этой программе предусмотрены: нормализация исходных по Г. А. Алексееву [7], возможность перебора всех сочетаний аргументов три расчета своего коэффициента корреляции для уравнений 2-го и 3-го порядков, введен ряд критериев, обеспечивающих включение в уравнение исключенных, значимых для пояснения порядка регрессии.

Сводные результаты многофакторного регрессионного анализа определенных за декаду и месяц значений функции и аргументов, которые приведены в работе [118], позволяют сделать следующие выводы.

1. Нормализация исходных не дает существенного изменения коэффициентов корреляции. Следовательно, связи между таянием и метеорологическими элементами близки к линейным.

2. Включение второй переменной в уравнение регрессии, если первая R или B_k , приводит к аналогичному эффекту только для B_k .

3. Добавление в уравнение регрессии к R или B_k в качестве второго переменной относительной влажности воздуха дает свойственный коэффициент корреляции такой же или незначительно меньший, чем при использовании температуры воздуха. Аналогичный анализ для сухотных величин поглощенной радиации, абсолютной влажности и скорости ветра приводится в работе [278].

4. Использование R или B_k из анализа регрессии существенно ухудшает свойский коэффициент корреляции, получившийся для оставшихся переменных.

В результате многофакторного линейного регрессионного анализа переменных M , R , B_k , Θ и k получены следующие в табл. 2.5 сводка региональных формул для расчета средней за декаду и месяц интенсивности таяния на ледниках Средней Азии.

В качестве исходных данных для регрессионного анализа использованы измерения таяния и метеорологических элементов на ледниках Медресеш, Абрамова, Ишат, Райгородского, Пахтакор, Голубца, Корженевского, Центральной Туюксу. В состав выборки были включены также данные измерений в бассейне р. Кзылкыча (Западный Тянь-Шань) метеорологических характеристик и таяния сезонного снежного покрова в течение марта—апреля.

Наличие региональных формул для вычисления M_{10} и M_{10} с вполне приемлемой относительной погрешностью расчета является необходимым, но еще недостаточным условием разработки методики определения суммарного таяния гляциальных областей Средней Азии. Окончательное заключение о пригодности формул из табл. 2.5 для расчетов таяния в широких диапазонах условий

Результаты проработки на гидрометрической материке региональных формул

Город	$B_0 = 0,142 - 0,45$	$\tilde{M}_0(\bar{B}_0, \bar{\theta}) = 0,77$	$\tilde{M}_0(\bar{B}_0, \bar{\theta}) + 0,278 - 0,74$			$M_0 = 0,0125\bar{x} - 0,082k + 1,73$			$M_0 = 0,0094\bar{B}_0 + 0,27\bar{\theta} - 0,74$			$M_0 = 0,0094\bar{B}_0 + 0,20\bar{\theta} - 0,85$							
			аргумент			расчет			аргумент			расчет							
			x	\bar{x}	\max	\min	\bar{x}	\max	x	\bar{x}	\min	x	\bar{x}	\min					
Кабул	29	80	160	390	39	89	220	540	35	72	3,7	220	540	29	73	—	13	74	—
Афганистан	30	71	10	450	36	50	140	610	91	96	—2,5	140	610	140	610	70	13	65	16
Группа ледников	40	92	60	430	55	73	120	350	38	88	—1,1	170	520	170	520	—	—	41	4
Ледники Кавказа									18	80	4,4	190	570	18	80	18,3	—	9	—

При испытании Пограничный трестом величин расчет (0,6754) для формулы $\tilde{M}(\bar{B}_0, \bar{\theta}) \times M(\bar{B}_0)$ разн. 11 к 13 ил. для формулы $M(\bar{B}_0, \bar{\theta})$ и $M(\bar{B}_0, \bar{\theta}) = 13$ ил. На основе Карабаглинских измерений таяния в Митигорловских ледниках сотрудников Ганз-Штадской физ.-техн. станции АН КиргССР. На леднике Абрамова — исследование САИИИ и УГГКС НАН СССР, с 2 ледниками Кавказа испытывалась материя [27].

определения такого аргумента, как радиационный баланс, считаю наиболее целесообразным расчеты таяния снега и льда (см/сут) в условиях Средней Азии выполнять по региональным формулам:

$$\tilde{M}_{10} = 0,0094\bar{B}_0 + 0,27\bar{\theta} - 0,74 \quad (2.59)$$

$$\tilde{M}_{10} = 0,0094\bar{B}_0 + 0,20\bar{\theta} - 0,85. \quad (2.60)$$

Высокий процент оправдываемости (89 %) расчетов таяния по формуле (2.59) был получен для Кавказских ледников. Что касается региональной формулы $\tilde{M}_{10} = f(B_0, \bar{\theta})$, то недостаток независимых данных не позволяет пока сделать определенного заключения о ее качестве;

в) успешный результат разработки и контроля региональной двухфакторной формулы $\tilde{M}(B_0, \bar{\theta})$ обеспечивает прежде всего целиком и составе аргументов такой статистически и генетически значимой переменной, как потолоченная солнечная радиация. Это является дополнительным основанием для уверенного использования уравнений (2.59) и (2.60) в масштабах суммарного таяния сациональных областей Средней Азии.

С целью сравнения определений \tilde{M} по упрощенному уравнению теплового баланса таяния и с помощью эмпирических формул были выполнены такие расчеты интенсивности таяния на нескольких ледниках Средней Азии по формуле (2.40) Ю. М. Денисова и региональной двухфакторной формуле (2.59), полученной автором. Кроме того, Ю. М. Денисов с соавторами [56] провели по материалам наблюдений на леднике Медведевском [110] сравнение результатов расчета интенсивности таяния (см/сут) по усовершенствованному варианту формулы (2.40), региональной $M(B_0, \Theta_{loc})$ и локальной формулами $M(B_0, \Theta)_{loc}$ и $M(\Theta)_{loc}$.

$$\tilde{M} = 0,0075B_0 + 0,29\bar{\theta} - 0,07, \quad (2.61)$$

$$\tilde{M} = 0,530 + 1,1, \quad (2.62)$$

полученных автором для ледника Медведевского. Расчет интенсивности таяния по усовершенствованному варианту формулы Денисова проводится с использованием неподтвержденных измерений скорости ветра.

Результаты низших проработок представлены в табл. 2.7–2.8 и на рис. 2.1. Для удобства дальнейшего пользования обозначим: D_1 — первый вариант формулы (2.40) при $f(x) = \text{const}$ и D_2 — усовершенствованный вариант формулы (2.40), в котором используются данные по скорости ветра.

Как видно, из 11 случаев сравнения результатов расчета интенсивности таяния на различных ледниках Средней Азии в 7 более тесные связи измеренных и рассчитанных значений M получены с применением двухфакторной региональной формулы

Таблица 2.7

Сравнение результатов расчета по различным формулам суточной интенсивности таяния на леднике Медвежьем

Характеристика расчета	Формула интенсивности таяния:				
	D_1	D_2	$M(B_K, \Theta)$ лес.	$M(B_K, \Theta)$ ре.	$M(\Theta)$ лес.
Среднеквадратичное отклонение для $\Delta M = M_p - M_\phi$	7,8	6,3	7,5	8,5	11,2

Примечание. M_p — расчетная и M_ϕ — фактическая суточная интенсивность таяния.

$M(B_K, \Theta)$. Сравнение M_ϕ с M_d и M_K тоже оказалось в пользу формулы автора с таким же результатом.

Учитывая не очень существенную разницу коэффициентов корреляции в табл. 2.8, можно считать, что использование региональной эмпирической формулы (2.59) обеспечивает при значительно меньшем объеме исходных данных и вычислений такое же или

Таблица 2.8

Сравнение результатов расчета интенсивности таяния на ледниках с фактическими измеренными M

Название ледника	Коэффициент корреляции	Коэффициент корреляции		Средняя интенсивность таяния, мм			Среднеквадратичное отклонение, мм		
		$R_{\theta, \phi}$	$R_{\theta, K}$	M_ϕ	M_d	M_K	σ	n	K
В среднем за сутки									
Палласов	90	0,92	0,89	41,5	41,1	39,8	12,0	12,5	11,3
Литтор-2	26	0,40	0,45	43,0	40,8	41,8	17,8	9,0	11,8
Беркрайз	61	0,73	0,80	30,9	37,3	35,9	27,1	17,1	18,5
Абрамова	291	0,80	0,82						
Медвежий	100	0,92	0,93	51,1	51,9	49,2	19,3	21,1	21,2
Северголова	39	0,66	0,79	51,3	48,0	51,1	13,7	16,4	10,5
Райгородского	141	0,69	0,62	52,3	57,0	51,0	20,1	18,1	18,8
Колт	27	0,79	0,81	68,2	47,4	44,6	23,6	14,8	15,6
В среднем за декаду	*								
Абрамова	55	0,84	0,88	29,3	30,3	33,0	10,3	16,7	16,6
Медвежий	10	0,99	0,96	51,1	51,8	49,2	14,8	15,8	14,8
Тюзков	22	0,70	0,78	25,3	36,5	30,4	16,0	16,3	9,0

Примечание. ϕ — фактические данные, D_1 — расчет по формуле (2.40), M — Дебиева при $J(c) = \text{const}$, K — расчет по двухфакторной $M(B_K, \Theta)$ региональной формуле (2.59) В. Г. Ковальчика, M — интенсивность таяния.

даже лучшее качество расчета интенсивности таяния в сравнении с вариантом D_1 упрощенного уравнения теплового баланса.

Аналогично вышеизложенное вполне справедливо и для сравнения ледников Медвежьем вариантов D_1 и D_2 с локальными и регио-

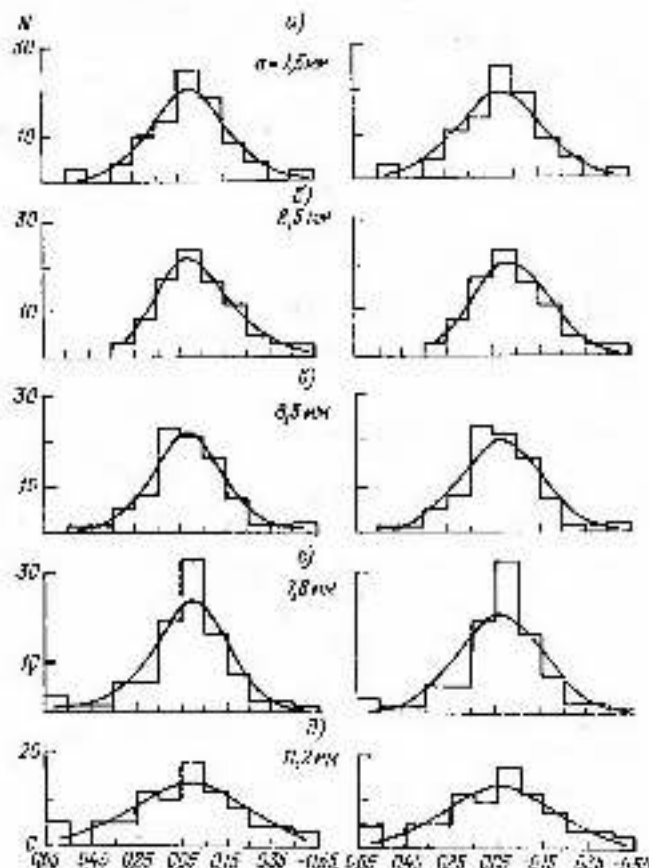


Рис. 2.1. Распределение относительных ошибок расчета интенсивности таяния на леднике Медвежьем.

(а) $M(B_K, \Theta)$ лес. — формула (2.59), (б) $M(B_K, \Theta)$ ре., формула (2.59), (в) $M(D_1)$ — формула Дебиева, (г) $M(D_2)$ — формула (2.40).

нальной двухфакторными формулами $M(B_K, \Theta)$, где наименьшее среднеквадратичное отклонение величины ΔM получено [56] для формулы $M(B_K, \Theta)$ лес., а точность расчета M по эмпирической региональной формуле (2.59) практически такая же, как для вариантов D_1 и D_2 .

Вывод о сравнимой точности расчетов на леднике Медвежьем хронически согласуется с гистограммами и пологоградиентными

в как функциями распределения относительных ошибок расчета $\frac{\delta M}{M}$ по различным формулам, представленным на рис. 2.1.

Как видно, для характеристики фирмы распределения относительных ошибок расчета интенсивности таяния на леднике Медвежьем по формулам (2.59), (2.61), (2.62) и вариантом D_1 к D_2 вполне подходящей является нормальная кривая распределения с значением параметра $\sigma \approx 8$ мч. Заметное возрастание величины этого параметра для формулы $M(\theta)$ и, следовательно, ухудшение качества расчетов таяния указывает на необходимость определения таяния по формулам, где аргументами являются поглощенная радиация и температура воздуха. В данном случае некоторое усложнение методики расчета вполне оправдывается существенным повышением точности результатов.

Важнейшее при сопоставлении оценок точности расчетов таяния (табл. 2.7–8, рис. 2.1) отсутствие присущество у принципиально более обоснованных и универсальных вариантов D_1 и D_2 уравнения талывого баланса (2.1) обусловлено, на наш взгляд, наличием в составе расчетных формул большого числа эмпирических коэффициентов, пространственно-временное изменчивость которых в условиях одолепления Средней Азии не описана.

В заключение рассмотрим еще одну универсальную формулу интенсивности таяния снега и льда, учитывающую полученные на ледниках Средней Азии соотношения между компонентами уравнения талывого баланса (2.1).

Простейшим вариантом однофакторной формулы интенсивности таяния является физически обоснованное безразмерное выражение

$$x_t = \frac{c_s M}{B_k}, \quad (2.63)$$

которое характеризует затраты тепла на таяние в долях от поглощенной радиации B_k , поскольку уравнение талывого баланса (2.50) можно записать в виде [262]

$$\frac{M}{B_k} = 1 + \frac{x}{B_k}, \quad (2.64)$$

где символом x обозначена алгебраическая сумма всех прочих, кроме B_k , компонентов правой части уравнения (2.50). Тогда, при $0 < x_t < 1$

$$x = B_k(1 - x_t), \quad (2.65)$$

а для $x_t > 1$

$$x = B_k(x_t - 1). \quad (2.66)$$

На рис. 2.2 показано излученное автором распределение параметра x_t для условий обследования Средней Азии. Для расчетов интенсивности таяния по формуле

$$\tilde{M} = x_t B_k \quad (2.67)$$

в качестве первого приближения x_t может быть принято среднее значение этого распределения ($x_t = 0,75 = \text{const}$).

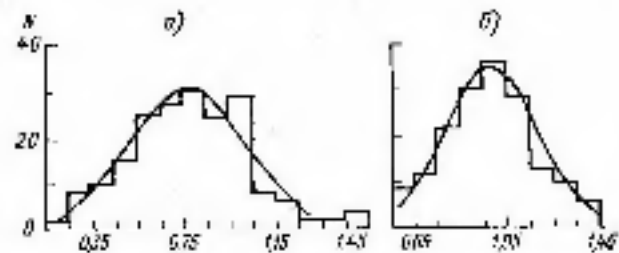


Рис. 2.2. Распределение относений M/B_k (а) и M/R (б) к измерениям интенсивности таяния (M), радиопикетного баланса (R) и поглощенной радиации (B_k) на леднике Средней Азии.

Анализ осредненных за месяц значений таяния и поглощенной радиации на ледниках Средней Азии показывает (рис. 2.3) целиком в июле, августе и сентябре достаточно тесных зависимостей $x_t(z)$ вида

$$x_t(z) = a_0 + b_0 z, \quad (2.68)$$

в которой параметры a_0 и b_0 имеют внутритодовой ход.

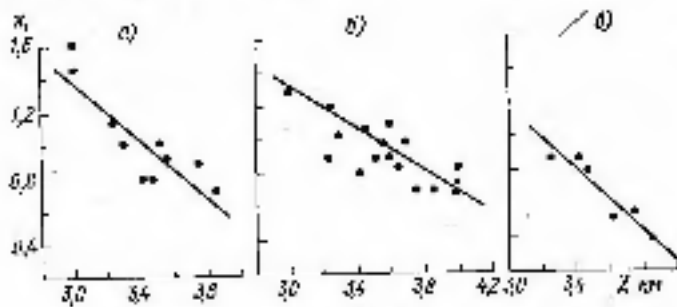


Рис. 2.3. Зависимость коэффициента x_t в формуле (2.70) от высоты местности z в июле (а), августе (б) и сентябре (в).

Для расчета $a_0(t)$ и $b_0(t)$ получены следующие выражения:

$$a_0(t) = 87,67 - 0,525t + 0,000841t^2, \quad (2.69)$$

$$b_0(t) = 0,179t - 0,00028t^2 - 29,29, \quad (2.70)$$

где t – номер дня внутри гидрометрического года, начинаяется с 1 октября.

В итоге формулы (2.63)–(2.70) позволяют рассчитывать по упрощенному варианту уравнения (2.50) интенсивность таяния

на ледниках Средней Азии с учетом пространственно-временной изменчивости параметра χ_2 .

Результаты раздельных оценок качества расчета M по формулам (2.67)–(2.70) и выражению

$$\tilde{M} = \frac{\chi_1(z, t) B_k + \chi_2}{c_k} \quad (2.71)$$

приведены в табл. 2.9. Как видно, применение для определения M более точной формулы (2.71) в ряде случаев заметно уменьшает среднеквадратичную ошибку расчета (σ_M). Если сравнить значения σ_M для ледника Медвежьего в табл. 2.7–2.8, полученные для всех рассмотренных в данной работе формул, то оценки качества расчета M по уравнению (2.71) оказываются наилучшими.

Таблица 2.9

Оценки качества расчетов M по формулам (2.67)–(2.70)

Характеристика	Название ледника						
	Медвежий	Платинир	Синегорье, 1053 г.	Синегорье, 1066 г.	Илан	Райбрюксенит	Архула
z, м	8,20	8,50	3,40	3,40	3,00	3,00	3,80
N	100	39	14	24	27	81	37
$\sigma_M, \text{мм}$	8,10	7,63	8,19	4,59	16,01	12,37	14,22
$\sigma_{\Delta}, \text{мк}$	7,24	6,44	7,51	9,05	15,85	12,19	13,98

Примечание. z — высота пикника надвершин таяния на леднике, N — количество случаев расчета M , σ_M — среднеквадратичное отклонение расчетов M по формуле (2.67), σ_{Δ} — среднеквадратичное отклонение расчетов M по формуле (2.71).

Вывод

В условиях массивных расчетов штатности таяния в типичных областях Средней Азии формулы, основанные на уравнении баланса, не дают улучшения качества расчетов M .

Правую или даже лучшую точность региональных расчетов по сравнению со сложными выражениями (2.37), (2.40), (2.46) и других обеспечивают формулы (2.59), (2.67) и (2.70), полученные авторами для условий пядеников Средней Азии.

2.4. Расчет таяния льда и снега под мореной

В соответствии с основным уравнением (1.30) процесса суммарного таяния на ледниках для определения объема таяния льда под мореной необходимы:

а) сведения о плотности сплошного моренного покрова $S_{\text{мп}}$ и внутренней изменчивости $S_{\text{мп}}(t)$ в связи с движением сезонной снеговой трансформации на леднике;

б) универсальная или локальные функции

$$f(h_c) = M(h_c)/M \quad (2.72)$$

ослабления таяния льда в зависимости от толщины h_c сплошного моренного покрова,

в) данные о средней толщине морены \bar{h}_c в интервале высот от Z_c до $Z_{\text{rec}}(t)$ на площади $S_{\text{мп}}$ или $S_{\text{мп}}(t)$.

При $Z_{\text{rec}}(t) \geq Z_{\text{ши}}$

$$\bar{h}_c = \frac{1}{\Delta Z_c} \int_{Z_c}^{Z_{\text{ши}}} h_c(z) dz, \quad (2.73)$$

а при $Z_c < Z_{\text{rec}}(t) < Z_{\text{ши}}$

$$\bar{h}_c(t) = \frac{1}{\Delta Z_c(t)} \int_{Z_c}^{Z_{\text{rec}}(t)} h_c(z) dz, \quad (2.74)$$

$$\Delta Z_c = Z_{\text{rec}}(t) - Z_c$$

Величина $S_{\text{мп}}$ является одной из обобщенных морфометрических характеристик «среднего ледника» и определяется по данным Каталога ледников СССР. Для оценки внутренней изменчивости $S_{\text{мп}}(t)$, согласно выражению

$$S_{\text{мп}}(t) = \int_{Z_c}^{Z_{\text{ши}}} s(z) dz, \quad (2.75)$$

используются данные об изменении высоты сезоночной снеговой границы $Z_{\text{rec}}(t)$ в течение аблационного периода и морфометрические показатели «среднего ледника»: Z_c — высота конца ледника, $s(z)$ — распределение толщины ледника в зависимости от высоты.

Методы определения Z_c и $s(z)$ изложены в разделе 1.2, в $Z_{\text{rec}}(t)$ в разделе 3.3. Рассмотрим далее способы описания $f(h_c)$ и $h_c(z)$ применительно к региональной модели процесса суммарного таяния ледников и бассейнов.

К настоящему времени в пределах Средней Азии экспедиционные измерения таяния под мореной выполнены примерно на полутора десятках ледников — Федченко, Медвежьем, Русского Географического общества (РГО), Ленине, Ишат, Райгородского, Пахтачар, Аютер-2, и Аютер-3, Баркрак, Карабатак, Гомубаша, Шокальского, Сатпаева, Центральном Туюксу [24, 59, 88, 110, 165, 223]. Аналогичные данные имеются также по ряду ледников других горных территорий Советского Союза (Кавказ, Алтай) [68, 69, 155, 185, 214].

После определения такого рода исходных данных и представления их в виде относительных значений таяния $\frac{M(h_c)}{M}$ на графике связи

$$\frac{M(h_c)}{M} = f(h_c), \quad (2.76)$$

Таблица 2.10

Определение толщины льда $f(h_c)$ в условиях Средней Азии под моренным покровом различной толщины (в процентах от толщины открытой поверхности моря)

Месяц	Толщина моренного покрова, см	Толщина ледяного покрова, см							
		5		10		20		30	
		предел	средн.	предел	средн.	предел	средн.	предел	средн.
Июль	I	60	41	26	16	16	10	15	
	II	61—72	66	33—42	38	18—28	23	12—19	16
	III	57—88	72	33—74	49	24—50	34	12—19	15
Зима		70	44			29		16	
	I	43—94	64	35—93	50	17—89	37	16—21	18
	II	59—91	72	38—85	67	22—41	36	16—36	28
Август	III	61—88	67	35—60	48	21—63	37	11—32	21
		67	53			35		22	16
Сентябрь	I	61—83	67	38	21	37	13		
	II	43		30	21		10		
	III	40—42	41	17—27	22	4—13	8	0—7	4
Зима			52	28		22		4	
Зима, октябрь		68	40			34		22	16

Приложения: 1) Результаты измерений толщины под моренным покровом относятся к интервалу вида 2000—3400 см. В таблице приведены данные из [132, 162, 171, 188, 203, 211, 233] на ледниках Медленском, Центральном Туруксу, Райгородского, Красоякского, Акжар 2, Голубика, Федоскино, Саганево, Акса Бистонском, Сасыш (наименование Таш-УКС).

2) При определении снеговых за январь—сентябрь значения $f(h_c)$ уточняются также данные, которые не были использованы для расчета средних месячных сплошности $f(h_c)$.

или, разделив обе части (2.80) на $P_e(0)$ и ограничившись первыми двумя членами разложения $e^{-\beta h_c}$ в степенной ряд,

$$\frac{P(h_c)}{P_e(0)} \approx \frac{1}{1 + \beta h_c}, \quad (2.80)$$

где β — коэффициент поглощения.

Как видно, формула (2.79) и ее приближенный вариант (2.80) характеризуют экспоненциальное убывание толщины льда, приходящего при $h_c > 0$ на границу раздела льда—морена, относительно потока, поступающего на поверхность моря.

Соотношение между потоками течения P_d и $P_e(0)$ можно записать в виде

$$P_e(0) = P_d + \Delta P, \quad (2.81)$$

где ΔP обусловлено увеличением потоком радиации в связи с изменением альбедо поверхности. Тогда в зависимости от того,

как правило, выражается функция, имеющая максимум при некотором $h_c > 0$, а затем убывающая с возрастанием h_c . Обобщенные численные значения $f(h_c)$ для различных типов ледяного покрова приведены ниже в табличном виде:

h_c , см	0	0,2	0,5	0,8	1,0	2,0	3,0	10	20	30	50	100	150	200	250	300
$f(h_c) \%$	100	105	110	105	102	86	60	43	26	17	12	8	5	3	1	1

Рассмотрим далее значение $f(h_c)$, полученные по измерениям M и $M(h_c)$ на отдельных ледниках Средней Азии.

Разброс точек на графиках $f(h_c) = [M(h_c)]/M$, объединяющих относительные значения таяния под мореной на различных ледниках, показывает, что простирающиеся временные изменения параметров этой зависимости несущественно значительны.

В первом приближении вероятно относительные значения таяния льда при одинаковой толщине морены в условиях Средней Азии характеризуют данные в табл. 2.10. Частично изначальность относительных значений таяния в табл. 2.10 можно объяснить отсутствием количественных признаков «чистый» поверхности ледника, однако основные причины резких колебаний $f(h_c)$, к сожалению, неизвестны недостаточно.

В связи с этим в расчетах таяния льда под мореной различной толщины использовались [89, 208, 209, 210] обобщенные эмпирические зависимости $f(h_c)$.

Проанализируем в общем виде возможные варианты гипотетических представления $f(h_c)$, принимая во внимание экспериментальные оценки относительной интенсивности таяния льда под мореной, в соответствии с которыми функция (2.76) имеет максимум при $h_c > 0$ в две характерные точки, где $f(h_c) = 1$. Одна из этих точек представляет собой показатель относительной интенсивности таяния льда в отсутствии морены, другая обозначается полным усвоением в слое h_c дешевитирующего тепла, поглощенного поверхностью морены вследствие уменьшения альбедо.

В расчетах интенсивности таяния под мореной толщиной h_c удобнее использовать такую форму зависимостей (2.76), которая при $h_c = 0$ дает относительное значение таяния льда, свободного от моренного покрова. Для решения этой задачи рассмотрим потоки тепла, поступающие за день на поверхность чистого льда P_d , поверхность морены $P_e(0)$ и на поверхность раздела морена—льд $P(h_c)$ при $h_c > 0$.

Предположим, что процесс поглощения тепла, поступающего на поверхность морены, в свое тело толщиной h_c может быть описан простейшим дифференциальным уравнением

$$\frac{dP_e}{dh_c} = -\beta P_e, \quad (2.77)$$

$$P_e = P_e(0) - P(h_c). \quad (2.78)$$

После интегрирования (2.77) получим

$$P(h_c) = P_e(0) e^{-\beta h_c} \quad (2.79)$$

какой поток в (2.79) принять как исходный, заменяя при (2.79) приближенные формулы представим следующим образом:

$$\frac{P(h_c)}{P_a} = \frac{1 + \frac{\Delta P}{P_a}}{1 + \beta_1 h_c}, \quad (2.82)$$

или

$$\frac{P(h_c)}{P_a(0)} = \frac{1 - \frac{\Delta P}{P_a(0)}}{1 + \beta_1 h_c}. \quad (2.83)$$

Хотя каждый из этих вариантов пригоден для оценки поглощающей способности морены относительно P_a или $P_a(0)$, оба они неудобны в расчетах таяния, поскольку при $h_c=0$ правая часть уравнений (2.82) и (2.83) не равна единице.

Для расчетов таяния льда под мореной целесообразно использовать формулу (2.82), которую необходимо преобразовать так, чтобы она удовлетворяла заданным ранее условиям.

Очевидно, что выполнение условия $f(h_c) = 1$ при $h_c=0$ и $f(h_c) = -\infty$ при $h_c > 0$ возможно, если аргумент уравнения (2.82) представить в виде

$$\xi = (h_c - h_0)^k, \quad (2.84)$$

где h_0 — некоторый параметр, имеющий развернутость для нуля. Замена h_c степенным выражением необходима, чтобы сохранить положительный знак произведения в знаменателе формулы (2.82) при $h_c < h_0$.

Таким образом, вместо (2.82) предлагается выражение

$$\frac{P(h_c)}{P_a} = \frac{1 + \frac{\Delta P}{P_a}}{1 + \beta_1 (h_c - h_0)^k}, \quad (2.85)$$

откуда, используя условие $f(h_c) = 1$ при $h_c=0$, находим

$$h_0 = \sqrt[k]{\frac{\Delta P}{\beta_1 P_a}}. \quad (2.86)$$

Из (2.86) следует, что параметр h_0 обеспечивает приведение $P_a(0)$ к P_a и устраняет отмеченное выше, нежелательное для расчетов таяния, свойство формулы (2.82) при $h_c=0$.

Исследование $f(h_c)$ в форме (2.85) показывает, что эта функция имеет максимум при $h_c=h_0$ и две характерные точки, в которых при $h_c=0$ и $h_c=2h_0$, $f(h_c)=1$. Следовательно, предлагаемая формула (2.85) удовлетворяет всем условиям, необходимым для корректного расчета таяния льда под мореной с помощью зависимости (2.75), если в (2.85), как это обычно делается, потоки тепла $P(h_c)$ и P_a заменить величинами $M(h_c)$ и M , т. е.

$$\frac{M(h_c)}{M} = \frac{1 + \frac{\Delta P}{c_s M}}{1 + \beta_1 (h_c - h_0)^k}, \quad (2.87)$$

где c_s — удельная теплоемкость фазового перехода.

Для приближенной оценки $\frac{\Delta P}{c_s M}$ используем предположение $\Delta P = \Delta B_k$, где

$$\Delta B_k = B_{km} - B_{ka} \quad (2.88)$$

— разница в значениях поглощенной радиации на поверхности морены и льда. Представим ΔB_k в виде

$$\Delta B_k = Q_\infty (1 - A_{km}) - Q_\infty (1 - A_{ka}) = Q_\infty (A_{km} - A_{ka}), \quad (2.89)$$

где Q_∞ — суммарная радиация; A_{km} — альбедо морены; A_{ka} — альбедо льда. Из (2.89) и (2.82) следует

$$\frac{B_{km}}{B_{ka}} = 1 + \frac{Q_\infty (A_{km} - A_{ka})}{Q_\infty (1 - A_{ka})} = \frac{1 - A_{ka}}{1 - A_{km}} \quad (2.90)$$

или

$$B_{km} = B_{ka} \frac{1 - A_{km}}{1 - A_{ka}}.$$

Бесразмерное отношение (2.90), представляющее коэффициент усиления поглощенной радиации, было изведено в [102, 110] при рассмотрении вопросов искусенного воздействия на таяние ледников.

Таким образом, вместо (2.88) напишем

$$\Delta B_k = B_{ka} \left(\frac{1 - A_{km}}{1 - A_{ka}} - 1 \right) \quad (2.91)$$

и подставим это выражение в (2.87), тогда

$$\frac{M(h_c)}{M} = \frac{1 + \frac{\Delta P}{c_s M} \left(\frac{1 - A_{km}}{1 - A_{ka}} - 1 \right)}{1 + \beta_1 (h_c - h_0)^k}. \quad (2.92)$$

Используя числовые характеристики: $\frac{B_{ka}}{c_s M} = 0.80$; $A_{km} = 0.12$; $A_{ka} = 0.38$, полученные в предыдущих разделах работы и в [103, 109, 110], приведем формулу (2.92) к виду

$$\frac{M(h_c)}{M} = \frac{K_c}{1 + \beta_1 (h_c - h_0)^k}, \quad (2.93)$$

где $K_c = 1.34$, а значение β_1 и h_0 можно установить по экспериментальным измерениям $M(h_c)$, M и уравнению (2.86).

В общем случае задачу о расчете таяния под мореной следует рассматривать относительно любого из типов поверхности, встречающейся на леднике. Тогда достаточно очевидно, что величина K_c в формуле (2.93) должна варьировать в зависимости от значения альбедо естественной поверхности A_{lk} , относительно которой определена функция $M(h_c)$. Поскольку эта поверхность может представлять собой лед, фирн или снег с широким диапазоном альбедо для каждого из типов [105, 109, 110], в расчетах таяния под мореной следует учитывать зависимость $K_c = f(A_{lk})$, которую

илюстрирует рис. 2.4. Эта зависимость установлена путем подстановки в выражение

$$K_c = 1 + \frac{B_k}{c_s M} \left(\frac{1 - A_{\text{av}}}{1 - A_k} - 1 \right) \quad (2.94)$$

средних значений A_k снега, фирна и льда, полученных автором ранее в работах [105, 109, 110].

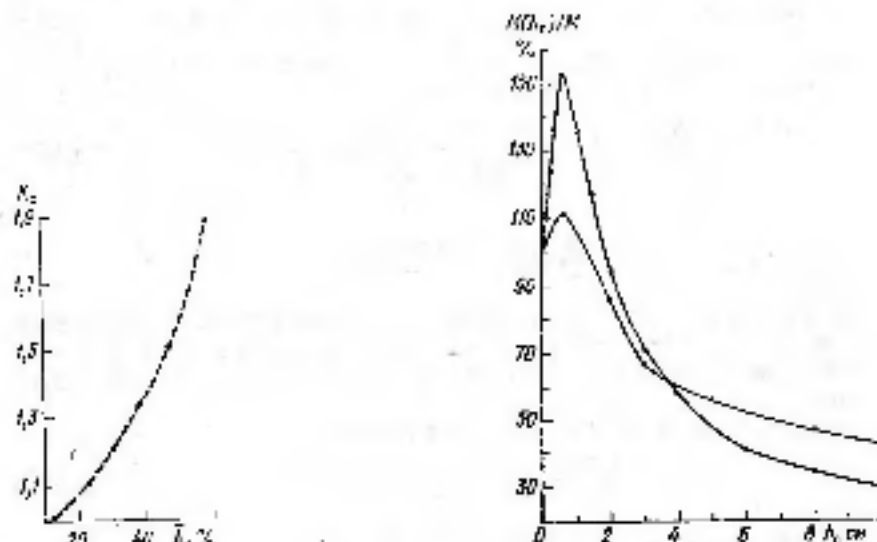


Рис. 2.4. Зависимость коэффициента K_c в формуле (2.101) от средних значений албедо A_k снега, фирна и льда. Значения албедо взяты в соответствии с классификацией A_k в работе [112].

Методом наименьших квадратов зависимость $K_c = f(A_k)$ аппроксимирована в виде

$$K_c = 0.97 + 0.000145 A_k^{2.08}. \quad (2.95)$$

Подставив (2.95) в (2.93), получим формулу

$$M(h_c) = M \frac{0.97 + 0.000145 A_k^{2.08}}{1 + \beta_1 (h_c - h_s)^2} \quad (2.96)$$

для расчетов таяния под мореной в зависимости от толщины слоя h_c и интенсивности таяния M на свободной от моренного покрова поверхности снега, фирна или льда с албедо A_k . Значения A_k в (2.96) заданы в соответствии с классификацией албедо в [110].

Если построить графики функции (2.93) для нескольких значений A_k , то получающееся при этом семейство кривых отличается

положением максимума $M(h_c)$ и скоростью изменения функции в его окрестности. Анализ такого рисунка интересен и показывает, что, во-первых, обуславливает разброс точек на эмпирических графиках $f(h_c)$ и, во-вторых, позволяет выбрать оптимальный вариант зашнипания ледника для численного моделирования искусственного воздействия на тайму.

В качестве примера графиков функций $f(h_c)$ приведен рис. 2.5, где по данным [88, 110, 225, 273] построены эмпирические кривые относительной интенсивности таяния под мореною, лежащей на поверхности снега и льда. По этим графикам нетрудно определить значение h_c для каждой из функций и найти коэффициент β_1 в формуле (2.94) при условии $h_c = 2h_s$ и $f(h_c) = 1$, тогда

$$\beta_1 = \frac{K_c - 1}{h_s^2}. \quad (2.97)$$

При A_k для снега 76 %, $\beta_1 = 6.0 \text{ см}^{-2}$, а для льда при $A_k = 30 \%$, $\beta_1 = 0.58 \text{ см}^{-2}$.

Что касается необходимых для расчета $M(h_c)$ массовых сведенний о распределении среднего слоя мореноны $h_r(z)$ по поверхности ледника, то такие данные в настоящее время отсутствуют и придется будут получать в дальнейшем путем непосредственных измерений.

Для косвенной оценки вида функции $h_r(z)$ используем предложенное Г. Е. Глазыриным [32] уравнение изменения массы мореноны вдоль ледника

$$\frac{dm}{dz} = -\frac{\Phi_m B(z)}{v_{\text{rel}} \sin \alpha}, \quad (2.98)$$

где $B(z)$ — баланс аккумуляции и абляции льда; Φ_m — коэффициент, характеризующий среднее многостоечное поступление мореноны в ледник из-за него; v_{rel} и α — соответственно скорость движения ледника и его уклона также из высоте z .

Учитывая циклический в настоящей работе способ определения площади моренного покрова на «средних ледниках» и полагая не очень значительным ($\leq 0.1-0.2 \text{ км}$) превышение $Z_{\text{сов}}$ над нижним концом ледника, примем для интервала высот $\Delta Z_c = Z_{\text{сов}} - Z_c$ осредненные значения B , v_{rel} и α . Тогда вместо правой части формулы (2.98) напишем

$$\frac{\Phi_m B}{v_{\text{rel}} \sin \alpha} = \chi_c = \text{const} \quad (2.99)$$

и, интегрируя по z упрощенный вариант уравнения (2.98)

$$\frac{dm}{dz} = -\chi_c, \quad (2.100)$$

получим

$$m(z) = m(z_i) - \chi_c(z - z_i), \quad (2.101)$$

где $z_1 = -Z_k$, а $z \in \Delta Z_c$. Из начального условия $m(z) = 0$ при $z = -Z_{\text{ст}}$ найдем

$$k_c = \frac{m(Z_k)}{Z_{\text{ст}} - Z_k} \quad (2.102)$$

в подставив это выражение в (2.101), тогда

$$m(z) = m(Z_k) - \frac{m(Z_k)}{Z_{\text{ст}} - Z_k}(z - Z_k). \quad (2.103)$$

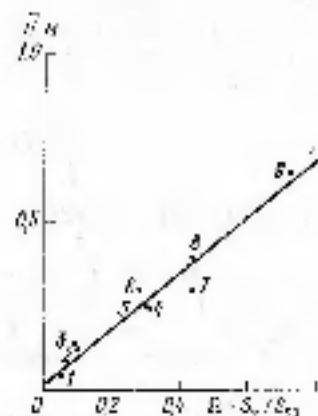


Рис. 2.6. Зависимость среднего слоя морены от края ледника от относительной площадки сплошного покрова ($\Omega = S_k / S_{\text{ст}}$) по измерениям автора и данным [59, 97, 111, 185, 186] на ледниках: 1 — Гактикор, 2 — Амазоназ, 3 — Актор-К., 4 — Медведчик, 5 — Кильчак, 6 — Фигачко, 7 — Шельдь, 8 — Карабатжак, 9 — Бичинчак.

что после деления обеих частей на плотность морены дает известную функцию распределения средней толщины морены в зависимости от абсолютной высоты поверхности ледника

$$h_c(z) = H_c(Z_k) - \frac{H_c(z)}{Z_{\text{ст}} - Z_k}(z - Z_k), \quad (2.104)$$

которую можно записать также в виде

$$h_c(z) = H_c(Z_k) - \frac{H_c(Z_k) - \Delta z}{\Delta Z_c}, \quad (2.105)$$

если принять, что Δz — превышение над пакетом концов ледника.

Для расчета $h_c(z)$ по формуле (2.105) необходимы данные о $H_c(Z_k)$ на «краях ледников». В настоящей работе приближенное решение этого вопроса основано на зависимости $H_c(Z_k) = -f(\Omega)$, где Ω — отношение площадей сплошного моренного покрова к области абляции. Вид зависимости $H_c(Z_k) = f(\Omega)$, построенной по измерениям автора и данных других исследователей, иллюстрирует рис. 2.6.

При подготовке исходных данных для расчета суммарного таяния ледников (см.) в качестве аппроксимации полученной связи прижимается эмпирическая формула

$$H_c(Z_k) = 80\Omega + 2,9. \quad (2.106)$$

После того как найден способ определения $H_c(Z_k)$, вычисление среднего слоя морены $\bar{h}_c(\Delta z)$ в интервале высот $\Delta z = z - Z_k$

трудностей не представляет и, учитывая линейный вид функции $h_c(z)$, выполняется по формуле

$$\bar{h}_c(\Delta z) = \frac{H_c(Z_k) + \left[H_c(Z_k) - \frac{H_c(Z_k) - \Delta z}{\Delta Z_c} \cdot \Delta z \right]}{2} = \frac{H_c(Z_k) 2 (\Delta Z_c - \Delta z)}{2 \Delta Z_c}, \quad (2.107)$$

где $\Delta z \leq \Delta Z_c$ — некоторая высота в пределах пакета сплошного моренного покрова на «средних ледниках».

Более детальный анализ вида зависимостей $h_c(z, t)$ может быть выполнен для отдельных ледников, где получены соответствующие экспериментальные данные или аналитические выражения функций $B(z, t)$, $c_{\text{ст}}(z, t)$ и др. В частности, прижим описания $h_c(z, t)$ для ледника Колка на основе кратично-разностной аппроксимации решения одномерного уравнения неразрывности, осложненного источником, изложен в работе В. Г. Ходакова [209, 210]. Как и следовало ожидать, зависимости $h_c(z, t)$ оказываются линейными. Однако, судя по графикам $h_c(z, t)$ в работе [209, 210] и учитывая стохастический характер использованных В. Г. Ходаковым функций $M(z)$ и $c_{\text{ст}}(z)$, зависимости $h_c(z, t)$ для ледника Колка в интервале от 10 до 40 лет вполне удовлетворительно могут быть описаны линейными формулами.

Таким образом, вместо использования сложных и требующих большого количества информации способов оценки $h_c(z, t)$ достаточно во крайней мере через 10 лет уточнить единственный морфометрический параметр моренного покрова $\Omega = S_{\text{ль}} / S_{\text{ст}}$, необходиимый для расчета $h_c(\Delta z)$ по формулам (2.105) — (2.107). Учитывая интенсивное развитие аэрохимических методов измерения, решение этой задачи представляется несомненно осуществимым.

Выводы

1. Отсутствие исходной информации, необходимой для применения полного уравнения теплового баланса, приводят всех авторов к необходимости использования в расчетах интенсивности таяния покрытых вариантов этого уравнения.

Даже в сокращенном виде уравнение теплового баланса содержит большое количество эмпирических коэффициентов. Для массовых региональных расчетов интенсивности таяния на основе уравнения теплового баланса необходимы методы пространственно-временной экстраполяции этих коэффициентов. В большинстве случаев удовлетворительное решение этого вопроса в настоящее время отсутствует. Кроме того, широкому использованию уравнения теплового баланса для определения интенсивности таяния снега и льда препятствует отсутствие методов экстраполяции скорости ветра в высокогорных условиях.

2. Широкое применение пакетированной в 1-й главе модели процесса суммарного таяния ледников и ледникового стока в бассей-

рек Средней Азии обеспечивают полученные автором локальные и региональные формулы интенсивности таяния снега и льда. Основой для оптимизации состава и количества аргументов в этих формулах является уравнение множественной регрессии, в котором таяние выражено как стокастическая функция радиационного баланса или поглощенной радиации, температуры воздуха, общей облачности, абсолютной и относительной влажности воздуха.

3. Аргументами описываемых эмпирических формул для массовых расчетов интенсивности таяния ледников Средней Азии являются поглощенная солнечная радиация и температура воздуха (при условии их среднесения не менее чем за декаду). Насколько B_k в составе двухфакторных локальных и региональных формулы, как правило, существенно (в 1,3—1,5 раза) увеличивает объемную долю дисперсии функции, позволяет выполнить расчет таяния с учетом ориентации к уклону поверхности и, следовательно, получить наилучшее приближение к естественным условиям.

4. В результате проверки установлено, что полученные автором двухфакторные локальные и региональные формулы $M(B_k, \Theta)$ обеспечивают также же или лучшее качество расчета интенсивности таяния снега и льда, как и варианты уравнения теплового баланса таяния, предложенные Ю. М. Демировым [48, 55]. При этом в формулах автора используется существенно меньше исходной информации и экстрагляциологических зависимостей.

Проверка на ненавязанном материале показала устойчивость параметров эмпирических уравнений, а также приемлемость региональной двухфакторной формулы автора $M(B_k, \Theta)$ для расчетов интенсивности таяния на ледниках Кашкана. Статистическая надежность параметров в формулах интенсивности таяния обусловлена весьма представительным составом выборок исходных данных для многофакторного регрессионного анализа, которые включали более 2500 результатов измерений таяния и метеорологических элементов на 26 ледниках, расположенных в бассейнах рек Западного, Таласского, Кунтия и Терская Алатау, хребтов Киргизского, Пскемского, Угамского, Зеравшанского, Гиссарского, Алайского, Заалайского, Царвазского и Академии Наук.

5. Наряду с локальными и региональными эмпирическими формулами для расчетов интенсивности таяния может быть использован предложенный в работе вариант уравнения теплового баланса. Он включает поглощющую радиацию B_k и некоторый параметр, полученный путем свертки остальных, кроме B_k , членов полного уравнения теплового баланса.

6. Полученная автором универсальная функция ослабления таяния в зависимости от толщины сплошного морена h_c и албедо поверхности ледника имеет максимум при $h_c > 0$ и две характерные точки, где $f(h_c) = 1$. Функция $f(h_c)$ возрастает от единицы при $h_c = 0$ до максимума, затем асимптотически убывает по мере увеличения толщины морены. Скорость изменения $f(h_c)$ при $0 \leq h_c \leq 10$ см зависит от албедо поверхности ледника, свободной от склонной морены.

7. Средняя толщина моренного покрова на концах ледников Средней Азии и Кавказа является линейной функцией отношения площади морены к площади конца ледника.

Если площадь морены на леднике находится в пределах 200-метровой высотной зоны, распределение толщины морены в зависимости от высоты местности является убывающей линейной функцией. Нижний предел этой функции равен нулю, а верхний — средней толщине морены на конце ледника.

Глава 3

Сезонная снеговая граница и внутригодовой режим аккумуляции и таяния на ледниках

3.1. Ревизия и прогноз максимальной высоты снеговой границы на ледниках

Сведения о движении сезонной снеговой границы по поверхности ледников и в особенности о ее максимальной высоте Z_{\max} в конце облягивающего перcola являются весьма содержательным гляциологическим показателем. Как видно из табл. 3.1 и 3.2, коэффициент корреляции линейной зависимости между максимальной высотой снеговой границы и годовым балансом (a) аккумуляции и облягии почти равен единице. Достаточно высока также $r=0,70 \pm 0,95$ теснота связи между Z_{\max} и годовой абляцией. Большинство практических задач не имеют зависимости (см., например, [119, 156, 165, 238, 260] между Z_{\max} и ледниковым стоком).

Таким образом, наличие тесных зависимостей между основными элементами водно-ледового баланса ледника и легко определяемой характеристикой Z_{\max} существенно упрощает ревизионные гляциологические расчеты. Покажем это на примере зависимости

Таблица 3.1

Теснота зависимости между максимальной высотой снеговой границы на ледниках Z_{\max} и годовым балансом аккумуляции и облягии

Ледник	Коэффициент корреляции	Ледник	Коэффициент корреляции
Узбетгетчер	-0,97	Салтракта	-0,98
Девон Айс Кау	-0,98	Южный Каскадный	-0,88
Гулакиа	-0,96	Ликинергетчер	-0,91
Вудверье	-0,98		

Примечание. Определены автором по данным, опубликованным в [248, 249, 261, 264, 274, 275].

График 6.2
Коэффициенты корреляции между максимальной высотой снеговой грани на лугунах ($Z_{\text{луг}}$), состоящими под лесом, и годовым балансом отложений, выраженным в его величине

Функция	Аргумент	Хипотетический		Ск.тр	Центральный функций	Линейный	Дискретный	Сингуляр.	Умножение	Логарифм	Лента	Коэффициент коррел. сбори	Аддитив.
		Хипотетич. степень	Хипотетич. степень										
$Z_{\text{луг}}$	R	-0,97	-0,91	-0,87	-0,90	-0,97	-0,95	-0,96	-0,95	-0,96	-0,99		
	A_k	-0,88	-0,62	-0,43	-0,50	-0,65	-0,68	-0,69	-0,68	-0,69	-0,61		
	A_b	-0,95	-0,70	-0,84	-0,86	-0,92	-0,93	-0,94	-0,93	-0,94	-0,90		
	I_B	-0,81	-0,83	-0,83	-0,88	-0,90	-0,91	-0,91	-0,91	-0,91	-0,91		
	I_{A_k}	-0,82	-0,62	-0,76	-0,91	-0,96	-0,96	-0,96	-0,96	-0,96	-0,96		
	I_{Ab}	0,63	0,81	0,62	0,65	0,66	0,66	0,66	0,66	0,66	0,66		
	A_k	0,95	0,59	0,65	0,69	0,64	0,74	0,67	0,67	0,67	0,63		
	A_b	0,95	0,85	0,84	0,93	0,95	0,68	0,98	0,98	0,98	0,90		
	I_B	0,85	0,49	0,81	0,88	0,88	0,88	0,88	0,88	0,88	0,82	0,96	
	I_{Ab}	0,83	0,57	0,81	0,84	0,84	0,86	0,84	0,84	0,84	0,82		
	I_{A_k}	-0,69	-0,40	-0,57	-0,90	-0,90	-0,97	-0,97	-0,97	-0,97	-0,64	-0,64	

Функция	Аргумент	Лесной						Коэффициент коррел.	Плотно-	Коэффициент коррел.	Лесной
		Хипотетич. степень	Ск.тр	Центризаци- онный	Линейный	Дискретный	Сингуляр.				
A_k	A_b	0,82	-0,05	-0,11	0,26	0,27	0,01	0,30	0,22		
	I_B	0,76	0,40	0,45	0,37	0,50					
	I_{A_k}	0,73	0,70	0,73	0,42	0,97					
	I_{Ab}	0,61	-0,25	-0,10	-0,15	-0,31					
	I_R	0,87	-0,06	-0,72	0,85	0,99					
	I_{A_k}	0,82	0,50	0,61	0,80	0,25					
	I_{Ab}	-0,74	0,92	0,60	-0,45	-0,95					
	I_B	0,80	0,60	0,90	0,98	0,80					
	I_{Ab}	-0,81	-0,80	-0,72	-0,79	-0,90					
	I_{A_k}	-0,52	-0,26	-0,37	-0,69	-0,24					
	I_A										

Примечание. $B - Ab - A_k - A_b$ — годовой баланс отложений, A_k — общий максимум, A_b — осадок минимум, I_A — интеграл избыточности, I_A^* — интеграл избытка. Определено автором, но не опубликовано. № [39, 42, 155, 156, 185, 224, 249, 269, 273, 274, 275].

$Z_{\text{акк}} = f(B)$, общим аналитическим видом которой является линейное уравнение

$$Z_{\text{акк}} = a_2 B + b_2, \quad (3.1)$$

где a_2 и b_2 — локальные или региональные эмпирические коэффициенты.

Подставив в (3.1) вместо годового баланса ледника B разность годовых значений аккумуляции Ak и абляции Ab , получим

$$Z_{\text{акк}} = a_2 (Ak - Ab) + b_2, \quad (3.2)$$

откуда следует, что

$$Ak = \left(\frac{Z_{\text{акк}} - b_2}{a_2} \right) + Ab, \quad (3.3)$$

т. е. сложные и трудосильные определения суммарной аккумуляции на леднике заменены более простыми измерениями или расчетами $Z_{\text{акк}}$ и суммарной абляции.

Весьма велико значение зависимостей типа (3.1) и (3.3) в расчетах внутригодового и многолетнего режима таяния в ледникоподобном стволе для гляциальных областей и их отдельных районов, где невозможны прямые измерения годовой аккумуляции и ее распределения по ледникам. Единственный практический приемлемый способ, хотя и косвенный, по надежной оценки Ab и $Ak(z)$ заключается в использовании замечательного свойства $Z_{\text{акк}}$, которая склонно маркирует плоскость ледника, где зимние и летние твердые осадки становятся полностью.

Непосредственное построение и использование уравнений типа (3.1) для локальных или региональных определений $Z_{\text{акк}}$ и $Ak(z)$ в гляциальных областях требует прямых измерений B , которые должны были бы выполняться на сотнях и тысячах ледников в пределах отдельных региональных бассейнов. Естественно, такой путь совершилось неизвестно.

В связи с этим было предложено [112, 113] недоступный для массовых расчетов режим ледника аргумент зашумленности $Z_{\text{акк}} = -f(B)$ заменить его индексом, который, во-первых, имеет очевидную генетическую связь с годовым балансом ледника (B), во-вторых, легко может быть рассчитан по данным метеорологических станций.

Таким образом, вместо $Z_{\text{акк}} = f(B)$ заменим

$$Z_{\text{акк}} = f(I_B), \quad (3.4)$$

$$I_B = \frac{\theta_t - \bar{\theta}}{\theta} - \frac{\Theta_t - \bar{\Theta}}{\Theta}, \quad (3.5)$$

$$\theta = \frac{1}{N} \sum_{i=1}^N \theta_i, \quad (3.6)$$

$$\bar{\theta}_t = \frac{1}{N} \sum_{i=1}^N \Theta_i. \quad (3.7)$$

Условные обозначения в (3.4) — (3.7) следующие: I_B — индекс годового баланса ледника, θ_i — сумма осадков на метеорологической станции в юлианском бассейне реки за период зимне-весенней аккумуляции (например, октябрь—май) в i -том году, N — длина временного ряда, Θ_i — средняя температура воздуха за цикл летней абляции (июнь—сентябрь) на той же метеорологической станции в i -ом году.

Периоды суммирования осадков и температуры воздуха должны соответствовать характерной продолжительности периодов эпизодов аккумуляции и летней абляции в конкретной гляциальной области. Как видно, безразмерная яномалия $I_B = (\theta_t - \bar{\theta})/\theta$ осадков в i -том году является индикатором аккумуляции, а $I_B = (\Theta_t - \bar{\Theta})/\Theta$ — индикатором абляции. Тогда их безразмерная разность

$$I_B = I_B - I_B = (I_B - I_B) \quad (3.8)$$

приобретает смысл относительной щедрости годового баланса отдельного ледника или района гляциальной области.

В состав индекса I_B могут входить такие в виде безразмерных яномалий, другие метеорологические элементы, уточняющие или дополняющие относительные характеристики основных статей баланса вещества гляциальной области. К числу таких элементов следует отнести облачность, абсолютную и относительную влажность воздуха. Несомненно, полезным было бы включение в систему I_B суммарной радиации и показателя прозрачности атмосферы, однако воспроизведение пунктов измерений солнечной радиации, действующих в горах Средней Азии, представляет для этой цели ясных ограничений возможности.

Целесообразно также не только расширение состава индекса баланса, но и более глубокий анализ некоторых его компонентов, например, отдельные рассмотрение аккумуляции снега в общем количестве атмосферных осадков.

Аналитический вид зависимости $Z_{\text{акк}} = f(I_B)$ для конкретного ледника или группы ледников обусловлен априорно известными локальными особенностями климата и рельефа гляциальной зоны, поэтому уравнение (3.4) необходимо получить в форме, заранее исключающей эти особенности.

Эта задача решается путем разжигивания исходных переменных, вычисления вероятности превышения $P(X > x)$ в зависимости от реальных номеров упорядоченных величин к определению для каждого i -го значения квантиля $x = F(P_i)$ выбранной стандартной функции распределения.

В частности, выравнивание коэффициентов корреляционных сплайнов производится путем нормализации переменных. Выполнив над составляющими формулы (3.4) процедуру нормализации, общие принципы которой детально описаны в работе [7], получим последовательно

$$P_i(Z_{\text{акк}}) = f(P_i(I_B)) \quad (3.9)$$

$$P[P_i(Z_{\max})] = f[F(P_i(t_B))]. \quad (3.10)$$

Приложение уравнения (3.4) к формулам (3.9) и (3.10) имеет решающее значение для реконструкции Z_{\max} в гляциальных областях Средней Азии за период наличия там же данных об осадках и температуре воздуха, поскольку зависимости (3.9) и (3.10) всегда линейны, и при отсутствии случайных ошибок повторяющихся величин аргумента и функции и коэффициента корреляции для (3.9) порядка 0,90 и выше почти не отличаются от биссектрисы координатного угла.

Этот вывод следует из формулы ранговой линейной регрессии, полученной Г. А. Алексеевым [7]:

$$\bar{P}_y = \bar{P}_x + r_{P_y P_x} (P_x - \bar{P}_x), \quad (3.11)$$

где для переменных P_x и P_y , которые после ранжирования распределены равномерно в интервале $0 \leq P_i \leq 1$, $P_x = P_y = P$,

$$\bar{P}_x = \frac{1}{N} \sum_{i=1}^N P_{xi} := \int_0^1 P dp = 0,5 \quad (3.12)$$

и

$$\bar{P}_y = 0,5 + r_{P_x P_y} (P_x - 0,5), \quad (3.13)$$

где $r_{P_x P_y}$ — коэффициент линейной ранговой корреляции.

Столь же очевидно равенство квантилей u_x и u_y в случае нормализованной регрессии (3.10), когда $\bar{u}_x = \bar{u}_y = 0$, и коэффициент корреляции $> 0,90$:

$$\bar{u}_y = r_{u_x u_y} u_x \quad (3.14)$$

здесь $r_{u_x u_y}$ — коэффициент линейной корреляции для нормализованных переменных. В работе [7] показано, что несмотря на различия регрессионных функций (3.13) и (3.14) коэффициенты корреляции этих уравнений практически равны друг другу.

Из уравнений (3.13) — (3.14) следует, что при $r_{P_x P_z_{\max}} = 1$ $P_{z_{\max}} \cong P_{t_B}$, а при $0,90 \leq r_{P_x P_z_{\max}} \leq 1$ $P_{z_{\max}} = P_{t_B}$. Таким образом, теснота зависимости (3.10) порядка 0,80 — 0,95 обеспечивает достаточно надежное определение $\Phi(\bar{u}_{z_{\max}})$ — вероятности непревышения квантиля нормальной интегральной функции распределения $Z_{\text{глоб}}$.

В табл. 3.2 приведены полученные автором путем обработки исчислительных измерений на ледниках СССР, Австрии, Канады, Швейцарии коэффициенты взаимной линейной корреляции для Z_{\max} , баланса, индекса баланса и его компонентов — индексов акумуляции и абляции. Эти данные не оставляют

сомнений в том, что безразмерный индекс баланса аккумуляции и абляции (таяния) и его компоненты, определяемые по наблюдениям внеседищевых метеорологических станций, являются простыми, удобными и вполне обоснованными относительными характеристиками важнейших показателей (B , Z_{\max} , Ak , Ab) режима гляциальных областей.

Используя указанное свойство I_B в вычисления имеющемуся ряду $P(I_B)$, мы тем самым сразу же получаем оценку $P(Z_{\max})$. Теперь для того чтобы перейти от $P(Z_{\max})$ или «выборочной обеспеченности» Z_{\max} к абсолютной максимальной высоте снежной границы в i -том году, необходимо знать $\Delta Z = \text{sup}(Z_{\max}) - \inf(Z_{\max})$ — вероятный предел вариации Z_{\max} за многоисточниковый период.

Полагая, что значение ΔZ известно, Z_{\max} в i -том году определяем по формуле

$$\tilde{Z}_{\max} = \inf(Z_{\max}) + \Delta Z P_i(I_B) \quad (3.15)$$

или

$$\tilde{Z}_{\max} = \text{sup}(Z_{\max}) - \Delta Z [1 - P_i(I_B)], \quad (3.16)$$

где $\inf(Z_{\max})$ и $\text{sup}(Z_{\max})$ — соответственно самое низкое и самое высокое положение Z_{\max} на леднике, $P_i(I_B)$ — выборочная обеспеченность индекса баланса в i -том году.

Надежность восстановления ряда Z_{\max} за прошедший период в N лет по исходящим рядам q и Θ , естественно, зависит от того, насколько обоснованно назначено или получено значение ΔZ . Для этого необходимы всего два наблюдения над Z_{\max} , но только в экстремальные годы по условиям накопления и расходования осадков.

Анализ материалов аэровизуальных наблюдений за снежной границей в конце периода абляции, данных экспедиционных и стационарных гляциологических работ на территории Средней Азии в годы различные по условиям накопления осадков показал, что гипотеза о совпадении генеральных экстремумов Z_{\max} с отметками начала и конца ледниковых хоропт согласуется с фактическими данными для глетчеров с наиболее часто встречающимися размерами площади: от 1 до 3 км².

Случай полного освобождения поверхности ледников от снежного слоя (т. е. $Z_{\max} \geq Z_B$) отмечены неоднократно в самых различных климатических условиях и для широкого диапазона морфологических типов плоскогорий. Например, ледники Федченко, Интычек, Зеравшанский, Абрамова, ледники в бассейнах рек Пскем, Чу и др. Даже на северных склонах хр. Западный Алтай, где для внутригодового распределения осадков в гляциальной области характерны изложенные легкие снеголады, сотрудниками сектора Географии АН КазССР отмечен случай полного освобождения Центрального Туруксуйского ледника от сезонного снега [186]. Реализация условия $Z_{\max} \leq Z_B$ в годы с максимальной

аккумуляцией для крупных и двойротовых ледников пока не подтверждается.

Из этого следует, что предположение о совпадении в условиях следенения Средней Азии генеральных экстремумов $Z_{\text{ макс}}$ с высотами начала и конца ледников вполне согласуется с фактическими данными.

Тогда выражение в формулах (3.15) и (3.16) $\inf(Z_{\text{ макс}})$ на Z_k — высоту конца ледника, а верх ($Z_{\text{ макс}}$) на высоту начала ледника — Z_n . Соответственно для отложительного диапазона выражения $Z_{\text{ макс}}$ в течение многолетнего периода получим $\Delta Z = Z_n - Z_k$.

В результате для реконструкции многолетнего ряда $Z_{\text{ макс}}$ на основе данных Каталога ледников и публичной метеорологической стационарной приемки

$$\bar{Z}_{\text{ макс}} = Z_k + \Delta Z P_t(I_B) \quad (3.17)$$

или

$$\bar{Z}_{\text{ макс}} = Z_n - \Delta Z [1 - P_t(I_B)]. \quad (3.18)$$

Определение $P_t(I_B)$ и соответственно $P(Z_{\text{ макс}})$ в зависимости от раптовых номеров упорядоченного ряда I_B приводят к тому, что добавление очередного года в выборке изменяет количественные оценки всей ранее вычисленной цепочки $P(I_B \rightarrow P(Z_{\text{ макс}})) \rightarrow \dots \rightarrow Z_{\text{ макс}}$. В связи с этим перед расчетом обеспеченности по имеющейся выборке целесообразно проверить гипотезу нормальности распределения для q и Θ — составляющих этого индекса. При незначимых отличиях $F(q)$ и $F(\Theta)$ от нормальной функции распределения такое же распределение в соответствии с теоремой теории вероятностей о заколе распределения суммы двух нормально распределенных величин должно быть и у I_B . Тогда надобность в нормализации аргумента отпадает, и менее зависимое от длины ряда, особенно если выборка включает экстремумы, оценки $P(I_B)$ могут быть получены по известным таблицам интегральной функции нормального распределения для нормированных элементов выборки.

Большинство рядов наблюдений над осадками и температурой воздуха на метеорологических станциях чрезвычайно редко достигают 50 лет и более. Для выборок такого объема, как указано в работе [206], хорошие результаты по оценке возможносты аппроксимации эмпирической функции нормальным законом распределения дают применение критерия W_u , разработанного Шапиро-Уилком [206].

Расчет эмпирического значения критерия W_u то материалам измерений температуры воздуха и осадков в бассейне р. Пекем и на метеорологической станции Майджилек дал положительные результаты для проверки гипотезы о незначимых отличиях от нормального закона соответствующих выборочных функций распределения. Аналогичный вывод был получен также [112] для ряда измерений $Z_{\text{ макс}}$ на леднике Центральном Туулсуйском.

Таким образом, изложенный выше способ реконструкции $Z_{\text{ макс}}$ является достаточно обоснованным и позволяет восстанавливать многолетние ряды $Z_{\text{ макс}}$ на ледниках Средней Азии. А реконструированные ряды $Z_{\text{ макс}}$, в свою очередь, представляют собой основу для косвенных оценок толстой аккумуляции и ее распределения на ледниках, которые необходимы при разработке метода расчета таяния и ледникового стока для бассейнов рек и их отдельных участков.

Что касается качества восстановленного ряда $Z_{\text{ макс}}$, то прежде всего надо зависеть от методики выбора и оценки значимости отложительных показателей приходящей (A_b) и расходной (A_f) стадий тидового баланса ледниками. В частности, очевидным условием является репрезентативность для бассейна метеорологических характеристик, используемых в составе индекса баланса. Количественные критерии репрезентативности сумм зимних осадков и летних температур воздуха как индикаторов A_b и A_f принято называть достаточно тесной зависимостью между легким стоком в бассейне и составляющими индекса баланса. Подробно эта задача рассматривается в следующем разделе главы 3.

Признаемся далее возможность прогноза $Z_{\text{ макс}}$ с трех-, четырехмесячной заблаговременностью, т. е. в начале абляционного периода.

Поскольку заранее известно, что в состав индекса баланса входят отложительные показатели годовых сумм аккумуляции и абляции, нетрудно сформулировать предварительные условия, выполнение которых является основой для разработки прогностического метода.

1. Внегидиодное распределение месячных сумм осадков в бассейне и на ледниках должно иметь ярко выраженный максимум в зимне-весенний период и минимум в летнее время.

2. Если рассматривать индекс аккумуляции ($I_{\text{ак}}$) и абляции ($I_{\text{аб}}$) как аргументы линейного уравнения второго порядка $I_B = -f(I_{\text{ак}}, I_{\text{аб}})$, то преобладающий вклад в описание дисперсии функции должен принадлежать индексу аккумуляции или сезонной сумме осадков.

3. Для гидральной области, где необходим третий $Z_{\text{ макс}}$, должен быть восстановлен холостолистый ряд $Z_{\text{ макс}}$.

Очевидно, достаточно выполнения первых двух условий, чтобы суммы осадков за периоды октября—марта, октября—апрель, октября—май и октября—июнь рассматриваться как один из потенциальных предикторов для прогноза $Z_{\text{ макс}}$. Предварительно восстановленный многолетний ряд значений $Z_{\text{ макс}}$ в данном случае необходим для проверки этой гипотезы и получения эмпирической прогностической формулы.

Первое приближение о возможности прогноза $Z_{\text{ макс}}$ можно получить по материалам табл. 3.2. Как видно, на ряде ледников коэффициенты корреляции зависимостей $Z_{\text{ макс}} - f(I_{\text{ак}})$ достаточно высоки ($0,80 \pm 0,90$), чтобы прогнозы максимальной высоты столовой границы имели хорошую оправдываемость.

Рассмотрим далее на примере отдельных ледниковых районов результаты практической реализации общих принципов реконструкции и прогноза $Z_{\text{ макс}}$.

1. Для независимой проверки среднего значения ($\bar{Z}_{\text{ макс}}$) восстановленного ряда $Z_{\text{ макс}}$ достаточно сравнить этот параметр с оценкой средней многолетней высоты фирновой границы $Z_{\text{ фг}}$ на ледниках, полученной одинак из гляциологических методов. Такое сравнение было выполнено для рядов $Z_{\text{ макс}}$, восстановленных за 1937–1970 гг. в шести районах гляциальной области бассейна р. Пекем, где $Z_{\text{ фг}}$ была вычислена А. С. Щетинниковым по методу Курковского. Разница между $Z_{\text{ макс}}$ и $Z_{\text{ фг}}$ составила для этих районов: +22, -13, -23, +50, +18 м, что является весьма удовлетворительным результатом, если учесть неопределенность временного интервала при расчетах $Z_{\text{ фг}}$ гляциологическими методами и вероятностный в целом характер сравниваемых способов.

2. Многолетние ряды значений индекса баланса и восстановленные с их помощью соответствующие ряды $Z_{\text{ макс}}$ следуют использовать для получения эмпирических формул $Z_{\text{ макс}} = f(I_B)$. Такие формулы необходимы для последующих расчетов $Z_{\text{ макс}}$ за пределами исходной выборки. В частности, для определения $Z_{\text{ макс}}$ (км) в районах гляциальной области бассейна р. Пекем получены следующие выражения:

$$\text{район 1: } Z_{\text{ макс}} = 3,639 - 0,324 I_B; \quad (3.19)$$

$$\text{район 2: } Z_{\text{ макс}} = 3,614 - 0,622 I_B; \quad (3.20)$$

$$\text{район 3: } Z_{\text{ макс}} = 3,593 - 0,558 I_B; \quad (3.21)$$

$$\text{район 4: } Z_{\text{ макс}} = 3,784 - 0,374 I_B; \quad (3.22)$$

$$\text{район 5: } Z_{\text{ макс}} = 3,819 - 0,375 I_B. \quad (3.23)$$

Коэффициенты корреляции для всех формул равны 0,94, а среднеквадратичные ошибки расчета $Z_{\text{ макс}}$ соответственно: 0,048, 0,060, 0,050, 0,052, 0,034 км. Формулы (3.19)–(3.23) можно применять при условии $-0,5 \leq I_B \leq 0,5$. За пределами этого диапазона $Z_{\text{ макс}}$ определяется непосредственно по графику зависимости $Z_{\text{ макс}} = f(I_B)$. Индекс годового баланса ледников в бассейне р. Пекем включает разность аномалий сухих осадков за октябрь–июнь и средней месячной температуры воздуха за май–сентябрь по данным метеостанции Пекем.

3. Восстановленные ряды $Z_{\text{ макс}}$ по пяти районам гляциальной области бассейна р. Пекем были использованы далее для выяснения возможности долгосрочного прогнозирования максимальной высоты снежной границы. В качестве посещавшихся лет выпуска и уточнения прогнозов $Z_{\text{ макс}}$ приведены 1 апреля, 1 мая и 1 июня, которые захватывают нарастающие периоды суммирования отложений предиктора, а исключают осадков на метеостанции Пекем за сентябрь–март, октябрь–апрель и октябрь–май.

В среднем коэффициент корреляции уравнения множественной линейной регрессии $I_B = f(q_{x-v}, \Theta_{v-ix})$ логарифмированный входит

q_{x-v} , определенный по Г. А. Алексееву [7], составляет 92 %. На этом основании сезонные суммы осадков за нарастающие периоды были испытаны в качестве предикторов $Z_{\text{ макс}}$. Для зависимостей $Z_{\text{ макс}} = f(q_{x-v})$, $Z_{\text{ макс}} = f(q_{x-v})$, $Z_{\text{ макс}} = f(q_{x-v})$ получены такие коэффициенты корреляции: 0,90, 0,95 и 0,97.

В той же последовательности, как это видно на рис. 3.1, карастает тенденция связей $Z_{\text{ макс}} = f(q)$, построенной по восстановленному

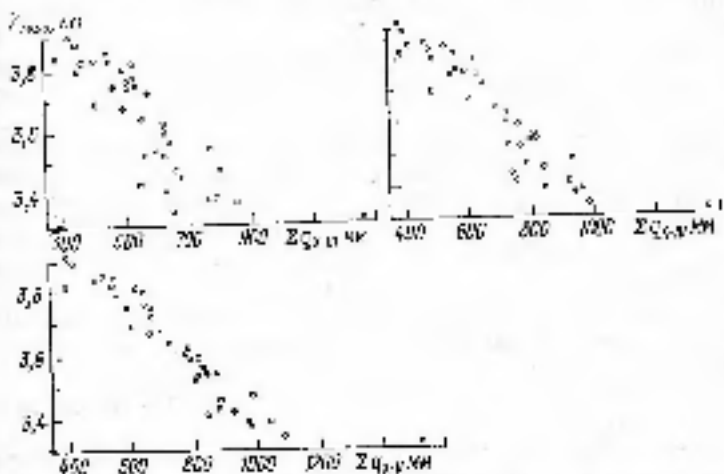


Рис. 3.1. Зависимость восстановленных высот $Z_{\text{ макс}}$ и индекса из районов гляциальной области бассейна р. Пекем от сумм осадков по метеорологической станции Пекем.

ряду $Z_{\text{ макс}}$ в одном из районов гляциальной области бассейна р. Пекем.

Критерий прогностической ценности — относительная ошибка расчета для зависимостей из рис. 3.1 — равен 0,56, 0,43 и 0,39 соответственно для периодов суммирования осадков октябрь–январь, октября–апрель и октябрь–май. Следовательно, каждая из этих зависимостей вполне удовлетворяет стандартам, принятым в службе прогнозов.

В целом результаты реализации на конкретных примерах общих принципов реконструкции и прогноза $Z_{\text{ макс}}$ можно признать положительными и на этом основании с уверенностью использовать посстановленные ряды $Z_{\text{ макс}}$ в расчетах суммарного таяния гляциальной области.

3.2. Исследование компонентов индекса баланса аккумуляции и таяния в гляциальных областях Средней Азии

Для восстановления многолетних рядов хакасиальной высоты снежной границы на ледниках зависимость $Z_{\text{ макс}}$ от балансовых значений аккумуляции и абляции в гляциальных областях была получена авторами [119, 121] в виде функции (3.17) безразмерных

аномалий сконочных значений осадков и средней температуры воздуха, которые легко выражаются по данным метеорологических станций. Эти безразмерные характеристики осадков (q) и температуры воздуха (Θ) представляют собой индексы сезонных значений аккумуляции (Ak) и таяния (Ab) в гляциальных областях, поскольку многократное подтверждение существование зависимостей $q(z)$ и $\Theta(z)$ в горах Средней Азии позволяет в конечном счете при определенных условиях получить сами величины $Ak(z)$ и $Ab(z)$.

В задачу исследования двухфакторной зависимости $Z_{\text{лок}}$ от суммы индексов аккумуляции (I_{Ak}) и таяния (I_{Ab}) входят следующие вопросы:

1) определение критерия репрезентативности пункта-элементов, т. е. метеорологических характеристик, связанных с конкретным местом их измерения, для оценки составляющих индекса баланса;

2) выявление оптимальных периодов суммирования осадков в I_{Ak} и температур воздуха или другой характеристики условий таяния в I_{Ab} ;

3) определение вкладов I_{Ak} и I_{Ab} в дисперсию их суммы, что равновозначно выявлению причин изменчивости $Z_{\text{лок}}$ в многолетнем разрезе;

4) описание пространственной вариации вкладов I_{Ak} и I_{Ab} по территории Средней Азии.

Известно [22], что в абсолютном большинстве бассейнов рек Средней Азии сток за вегетационный период (апрель—сентябрь) и отдельные летние месяцы зависит от аккумуляции и интенсивности таяния термических атмосферных осадков, т. е. определяется теми же метеорологическими факторами, что и $Z_{\text{лок}}$ на ледниках. Следовательно хорошим доказательством репрезентативности пункта-элементов, характеризующих аккумуляцию и таяние в конкретной гляциальной области, является возможность представления многолетней вариации объемов весенне-летнего стока W в виде стохастической функции метеорологических индексов аккумуляции и таяния снега в том же бассейне

$$W = f(q, \Theta, C, \dots, x_n). \quad (3.24)$$

Псевдошаги данных для установления репрезентативных компонентов в составе индекса баланса гляциальной области являются полученные на гидрологических постах и метеорологических станциях выборочные решения временных рядов $W, q, \Theta, C, \dots, x_{n-1}, x_n$, которые образуют n -мерную систему случайных величин. Распространенным способом описания одной из составляющих этой системы посредством плавных служит условная n -мерная функция распределения вероятностей. В частности,

$$f(W|q, \Theta, C, \dots, x_n) = \frac{f(W, q, \Theta, C, \dots, x_n)}{f_n(q, \Theta, C, \dots, x_n)}, \quad (3.25)$$

где $f(W, q, \Theta, C, x_n)$ — плотность распределения системы случайных величин; $f_n(q, \Theta, C, \dots, x_n)$ — плотность распределения подсистемы аргументов.

Как правило, вместо построения (3.25) ограничиваются определением параметров этого распределения, к которым относятся условное математическое ожидание $M_0(y|x)$ и второй смешанный центральный момент, представляющий собой парный или сводный коэффициент корреляции.

Таким образом, выявление и оценка репрезентативности пункта-элементов для индекса баланса достигается путем поиска регрессии $W = f(I_{\text{Ak}}, I_{\text{Ab}})$ с максимальным коэффициентом корреляции, который служит практическим критерием при отборе наиболее информативных аргументов в уравнение (3.24).

Выявленные в бассейнах рек Средней Азии репрезентативные пункты-элементы и оценки вкладов индекса аккумуляции и индекса таяния в дисперсию их суммы вычислены на ЭВМ по составленной автором программе многофакторного регрессионного анализа нормализованных или нормализованных первичных. Для подтверждения конкретном бассейне уравнений регрессии $W = f(I_{\text{Ak}}, I_{\text{Ab}})$ или $W = f(I_{\text{Ak}}, I_{\text{Ab}}, I_x)$, изыскивают сводный коэффициент корреляции, рассматривающий все возможные сочетания пункта-элементов, образующих индекс аккумуляции и таяния. В результате регрессионного анализа определяются также периоды суммирования осадков и среднегодовая температура воздуха для расчетов I_{Ak} и I_{Ab} .

В исходных выборках для установления I_{Ak} и I_{Ab} в гляциальных областях Средней Азии зависимыми переменными были величины стока в бассейнах рек за апрель—сентябрь, май—сентябрь, июнь—сентябрь, июль—сентябрь, август—сентябрь, июль—август, а независимыми переменными суммы осадков за октябрь—март, октябрь—апрель, октябрь—май, октябрь—июль, октябрь—сентябрь, май—сентябрь, суммы средних месячных температур воздуха и баллов общей облачности за май—сентябрь, июнь—сентябрь, июль—сентябрь по данным метеорологических станций в тех же бассейнах.

Регрессионный анализ пункта-элементов сопровождался оценками значимости вкладов баланса индексов аккумуляции и таяния в дисперсию их суммы или, что то же самое, в квадраты сводных коэффициентов корреляций (r_i^2) искомых уравнений регрессии 2-го и 3-го порядков. Согласно Г. А. Алексееву [7]:

$$r_{\text{св}}^2 = r_{11}^2 + r_{22}^2 + \dots + r_{nn}^2; \quad (3.26)$$

$$r_i = \frac{r_{i1}r_{ii}}{\sum_{j=1}^n r_{jj}}; \quad (3.27)$$

$$\sum_{i=1}^n r_i^2 = 1, \quad (3.28)$$

* I_x — индекс метеорологического элемента, который является значимой дополнительной характеристики условий аккумуляции или таяния (например, среднегодовой или летний балл общей облачности).

Таблица 3.3

Влияние индексов аккумуляции и абляции в описание изменчивости T_B и Z_{\max}
в бассейнах рек Средней Азии

Река (бассейн; место- описание)	Период для T_B	T_B			Z_{\max}		
		r_1	Сумма		r_2	Сумма	
			T_{AB}	I_{AB}		T_{AB}	I_{AB}
Алмалык (Джигитсу; Алматы)	VI—IX	0,92	0,03	0,97	0,92	0,04	0,96
	VII—IX	0,88	0,03	0,97	0,96	0,10	0,90
Чимкентсу (часть р. Капкетору; Б. Көзмалык)	VI—IX	0,77	0,30	0,70	0,81	0,40	0,00
	VII—IX	0,81	0,23	0,77	0,86	0,26	0,74
Парын (г. Парын, Параин)	VI—IX	0,76	0,61	0,39	0,78	0,04	0,36
	VII—IX	0,73	0,43	0,57	0,76	0,45	0,55
Атбасы (Некемандацы; Атбасы)	VI—IX	0,82	0,69	0,31	0,82	0,69	0,31
	VII—IX	0,79	0,60	0,31	0,79	0,60	0,31
Сарыджах — верхнее течение р. Кубыло; Кубалу)	VI—IX	0,93	0,70	0,80	0,98	0,85	0,15
	VII—IX	0,77	0,75	0,55	0,93	0,80	0,20
Кудайп (часть р. Кудайп; Кусату)	VI—IX	0,72	0,10	0,90	0,72	0,05	0,95
	VII—IX	0,65	0,10	0,90	0,66	0,03	0,97
Пекес (Карасантузай; Пекес)	VI—IX	0,86	0,90	0,10	0,86	0,90	0,10
	VII—IX	0,81	0,92	0,08	0,81	0,91	0,09
Исафра (Ташкенткан; Джастик)	VI—IX	0,81	0,79	0,21	0,84	0,67	0,33
	VII—IX	0,64	0,61	0,39	0,65	0,61	0,30
Зеравшан (Лутули; Девака)	VI—IX	0,90	0,82	0,18	0,91	0,83	0,17
	VII—IX	0,67	0,77	0,23	0,89	0,72	0,28
Кизильсу (Домбрати; Дараут—Курган)	VI—IX	0,92	0,36	0,64	0,94	0,36	0,64
	VII—IX	0,83	0,63	0,44	0,88	0,67	0,33
Мукус (Джалвар; п. Федченко)	VI—IX	0,93	0,07	0,98	0,95	0,06	1,00
	VII—IX	0,96	0,07	0,93	0,96	0,01	0,99
Сурхоб (Гарын; Гарын)	VI—IX	0,87	0,54	0,46	0,88	0,51	0,49
	VII—IX	0,83	0,60	0,40	0,86	0,56	0,44
Веник (Веник; п. Фещенко)	VI—IX	0,61	0,20	0,80	0,62	0,20	0,80
	VII—IX	0,75	0,10	0,90	0,70	0,10	0,90
Гуру (Хорғи; Хорғи)	VI—IX	0,76	0,89	0,11	0,77	0,90	0,10
	VII—IX	0,74	0,81	0,19	0,74	0,81	0,10
Поздеяна (Хаббет; Нарас)	VI—IX	0,76	0,90	0,10	0,78	0,92	0,18
	VII—IX	0,71	0,94	0,06	0,76	0,75	0,26

где r_{ijab} — произведение коэффициентов парной корреляции и коэффициентов регрессии для функции и j -го аргумента, для которого вычисляется оценка b_j , r_{ib} — аналогичные произведения коэффициентов, сума которых представляет собой квадрат сводного коэффициента корреляции функции i к k аргументам. Программа расчета из ЭВМ параметров многофакторного регрессионного анализа построена так, чтобы исключить появление в (3.26) и (3.27) произведений с противоположными знаками.

В работе автора [119] приведены подробные результаты поиска и оценки в бассейнах рек Средней Азии индексов аккумуляции и таяния, полученных путем выбора уравнений регрессии 2-го и 3-го порядков для всех перечисленных выше периодов суммирования стока. Эти выводы следует использовать при восстановлении многолетних рядов Z_{\max} по методу, изложенному в предыдущем разделе.

Помимо определения самих составляющих индекса базиса I_B , большой научный и практический интерес представляют распределения по территории Средней Азии индексов I_{AB} и I_{Ab} в описанные изменения I_B и, следовательно, Z_{\max} . Соответствующие оценки приведены в табл. 3.3, в которую включены также коэффициенты корреляции стока за июнь-сентябрь и июль-сентябрь с индексами аккумуляции и таяния.

В большинстве случаев значения коэффициентов корреляции попадают в промежуток 0,80–0,95, что является хорошим подтверждением реальной значимости пунктов-измерений, принятых для расчета индексов аккумуляции и таяния в гляциальных областях. Для когрегации метода восстановления временных рядов Z_{\max} следует также выбрать один из двух приведенных в табл. 3.3 периодов суммирования речного стока, многолетний изменчивость которого предполагается аналогичной вариации Z_{\max} , поскольку зависит от одних и тех же метеорологических факторов. Искомый периодом бессюроно является июня—сентябрь, так как из 30 выявленных регрессий 2-го и 3-го порядков, полученных для самых различных областей Средней Азии, в 23 случаях зависимость $W_{VI-IX} - I(T_{AB}, T_{Ab})$ отличалась большей теснотой по сравнению с $W_{VI-IX} - I(I_{AB}, I_{Ab})$.

Для решения в общем виде важной научно-практической проблемы долгосрочного прогноза максимальной высоты сезонной снегоевой граничной в гляциальных областях и ледниковых стоках и бассейнах рек Средней Азии достаточно установить, какой из индексов I_{AB} или I_{Ab} вносит преобладающий вклад в изменчивость их суммы, т. е. показывает аккумуляцию и абляцию.

Доказательством этого положения являются полученные автором по цепопосредственным измерениям на многих ледниках весьма высокие коэффициенты парной корреляции зависимостей максимальной высоты снежной снегоевой граничной от годовых значений баланса, абляции и от индексов баланса, аккумуляции и абляции (см. табл. 3.1 и 3.2). На основе перечисленных зависимостей образуются связи между ледниковым стоком и Z_{\max} , а также

коэффициентами индекса баланса, поскольку $Z_{\text{баланс}}$ выражается в виде функции $I_{\text{лак}}$ и $I_{\text{лв}}$.

Таким образом, выполнение условия

$$\sigma^2 |I_{\text{лак}}| > \sigma^2 |I_{\text{лв}}| \quad (3.29)$$

необходимо для использования сумм зимне-весенних осадков — этого наиболее подходящего аргумента для долгосрочного прогноза $Z_{\text{баланс}}$ и ледникового стока в бассейнах рек Средней Азии. Очевидно, что разработка методов долгосрочного прогноза $Z_{\text{баланс}}$ и ледникового стока существенно затруднена в бассейнах, где преобладающий вклад в дисперсию индекса баланса три-Найдакит индексу сбляции.

Изложенные здесь общие положения о значимости вкладов $I_{\text{лак}}$ и $I_{\text{лв}}$ для совершенствования методов прогноза стока рек с ледниково-снеговым

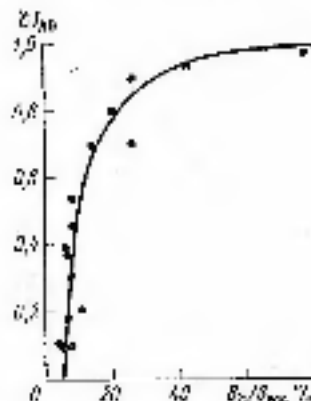


Рис. 3.2. Зависимость вклада индекса сбляции в квадрат сводного коэффициента корреляции уравнения $W_{vt-ix} = f(I_{\text{лак}}, I_{\text{лв}})$ от относительной площади снегопадения в бассейнах рек Средней Азии.

питанием практически реализованы в разделе 5.2 настоящей работы.

При определении вкладов $I_{\text{лак}}$ и $I_{\text{лв}}$ в дисперсию их суммы достаточно найти вклад ($b_{\text{лв}}$) одного из этих индексов, тогда, как следует из (3.28), вклад другого равен дополнению до единицы. Для масовых оценок вкладов $I_{\text{лак}}$ и $I_{\text{лв}}$ в изменчивость $I_{\text{л}}$ в гляциальных областях Средней Азии автор получал достаточно точную зависимость $b_{\text{лв}}$ от относительной площади снегопадения в речных бассейнах (рис. 3.2). С физической стороны единные для всей Средней Азии зависимости $b_{\text{лв}} = f\left(\frac{S_{\text{снег}}}{S_{\text{баск}}}\right)$ и $1 - b_{\text{лв}} = f\left(\frac{S_{\text{снег}}}{S_{\text{баск}}}\right)$, по мнению автора, объясняются увеличением значимости ледникового питания в стоке любой реки по мере приближения гидроствора к пиковой границе снегопадения и возрастанию относительной площади снегопадения. При этом в сводном коэффициенте корреляции уравнения $W_{vt-ix} = f(I_{\text{лак}}, I_{\text{лв}})$ естественно увеличивается вклад $I_{\text{лак}}$, характеризующего многолетнюю изменчивость сбляции в гляциальной области.

Полученная автором зависимость $b_{\text{лв}} = f\left(\frac{S_{\text{снег}}}{S_{\text{баск}}}\right)$ была использована в настоящей работе для определения вкладов $I_{\text{лак}}$, $I_{\text{лв}}$ в бассейнах рек Амудары, Сырдарьи, оз. Иссык-Куль, Са-

рдакаса, Чу, Таласа и Ассы. Эти данные, которые необходимы для расчетов гидрологического режима современного оттаяния Средней Азии, приведены в приложении I.

О значении массовых количественных оценок $b_{\text{лв}}$ для разработки и усовершенствования методов долгосрочных прогнозов стока рек с ледниково-снеговым питанием уже было сказано ранее. Рассмотрим далее не менее важные шансы использования $b_{\text{лв}}$ для ходовых определений в целом для бассейнов и распределения

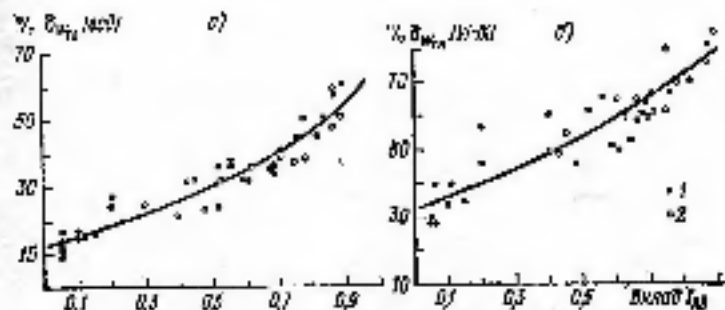


Рис. 3.3. Зависимость доли ледникового стока в годовом (а) и сезонном (б) стоке рек Средней Азии (1) и Кавказа (2).

от высоты вклада ледникового стока в питание рек Средней Азии за год и шань—сентябрь.

Простое решение этой задачи обеспечивают представленные на рис. 3.3 упрощенные зависимости доли ледникового питания в годовом и сезонном стоке рек Средней Азии и Кавказа от вклада индекса сбляции в квадрат сводного коэффициента корреляции уравнения $W_{vt-ix} = f(I_{\text{лак}}, I_{\text{лв}})$. Для построения зависимостей $b_{\text{лв}} = f(I_{\text{лак}}, I_{\text{лв}})$ на рис. 3.3 использованы оценки доли ледникового питания ($b_{\text{лв}}$) в годовом и сезонном стоке рек Средней Азии и Кавказа, полученные автором, А. О. Кеммерихом [93], А. С. Щетинниковым [230], А. Н. Крепке [141], Л. А. Владимировым с соавторами [23].

Причесь зависимостей $b_{\text{лв}} = f\left(\frac{S_{\text{снег}}}{S_{\text{баск}}}\right)$ имеются в работах О. П. Щегловой [224], А. О. Кеммериха [93], А. С. Щетинникова [230]. Во всех случаях авторы отмечают локальный характер этих зависимостей, что ограничивает их широкое использование. Хотя вклад $I_{\text{лв}}$ в сводный коэффициент корреляции уравнения $W_{vt-ix} = f(I_{\text{лак}}, I_{\text{лв}})$ также является функцией относительной площади снегопадения, зависимость $b_{\text{лв}} = f\left(\frac{S_{\text{снег}}}{S_{\text{баск}}}\right)$ имеет общий характер для территории Средней Азии. Этот результат объясняется тем, что вклад $I_{\text{лв}}$, определяемый на основе уравнения $W_{vt-ix} =$

площадей пяти, называемых выше, типов поверхности ледника извивается расчет движущий сезонной снеговой границы Z_{rec} по леднику. Для этого эпизодичен ряд выражений, которые характеризуют весь возможный набор ситуаций, возникающих при движении Z_{rec} по леднику.

А. При отсутствии твердых летних осадков площадь зимнего снега определяется согласно

$$S_{\text{se}}(t) = \int_{Z_{\text{rec}}(t)}^{z_n} s(z) dz, \quad (3.30)$$

при выпадении летнего снега после даты обнаружения конца ледника и условия $Z_{\text{se}}(t) - Z_{\text{rec}}(t) > Z_{\text{se}}(t)$ площадь покрытую летним снегом, находим следующим образом:

$$S_{\text{se}}(t) = \int_{Z_{\text{rec}}(t)}^{z_c} s(z) dz. \quad (3.31)$$

При условии $Z_{\text{se}}(t) - Z_{\text{rec}}(t) < Z(t)$, т. е. когда часть площади ледника покрыта зимним снегом, а часть летним, то

$$S_{\text{se}}(t) = \int_{Z_{\text{rec}}(t)}^{z_n} s(z) dz - \int_{Z_{\text{se}}(t)}^{z_n} s(z) dz \quad (3.32)$$

или

$$S_{\text{se}}(t) = \int_{Z_{\text{rec}}(t)}^{z_n} s(z) dz. \quad (3.33)$$

Б. Площадь фирна при $Z_{\text{rec}}(t) = Z_n$

$$S_{\phi}(t) = \int_{Z_n}^{z_n} s(z) dz, \quad (3.34)$$

а при $Z_{\text{rec}}(t) < Z_n$

$$S_{\phi}(t) = \int_{Z_{\text{rec}}(t)}^{z_n} s(z) dz. \quad (3.35)$$

В. Площадь обнаженного льда и льда под мореной при $Z_{\text{rec}}(t) < Z_{\text{min}}$:

$$S_{\text{se}}(t) = \int_{Z_n}^{Z_{\text{rec}}(t)} s(z) dz. \quad (3.36)$$

а если $Z_n \leq Z_{\text{rec}}(t) \leq Z_{\text{fr}}$, то

$$S_{\text{se}}(t) = \int_{Z_{\text{rec}}(t)}^{Z_{\text{fr}}(t)} s(z) dz \quad (3.37)$$

или

$$S_{\text{se}}(t) = \int_{Z_n}^{Z_{\text{fr}}(t)} s(z) dz - \int_{Z_n}^{Z_{\text{rec}}(t)} s(z) dz. \quad (3.38)$$

В формулах (3.30) – (3.38) $Z_{\text{rec}}(t) = \min[Z_{\text{se}}(t), Z_{\text{fr}}(t)]$, t — номер дня в году после даты обнаружения конца ледника от прошлого сезона и до окончания периода абляции; $Z_{\text{rec}}(t)$, $Z_{\text{se}}(t)$, $Z_{\text{fr}}(t)$ — абсолютные отметки высот сезонной снеговой границы (при отсутствии летних осадков $Z_{\text{rec}}(t) = Z_{\text{se}}(t)$) и нижней границы снеговыпавшего летнего снега на поверхности ледника; Z_{se} — средняя высота снега на поверхности фирновой границы; Z_{min} — верхняя отметка сплошного моренного покрова на леднике; Z_n и Z_n' — высоты начала и конца ледника.

Отметим также, что формулы (3.36) и (3.37), куда входит $S_{\text{se}}(t)$, соответствуют упрощенному варианту описания распределения снега по высоте в зависимости от высоты, которое предполагается полностью аналогичным распределению плотности $s(z)$ ледника в целом. Упрощенный вариант расчета $S_{\text{se}}(t)$ обусловлен отсутствием сведений о распределении плотности морены $S_{\text{se}}(z)$ на поверхности снега.

При наличии таких данных расчет $S_{\text{se}}(t)$ следует выполнять иначе. Так, при $Z_{\text{rec}}(t) < Z_{\text{min}}$

$$S_{\text{se}}(t) = \int_{Z_n}^{Z_{\text{rec}}(t)} s(z) dz - \int_{Z_n}^{Z_{\text{min}}} s_{\text{se}}(z) dz, \quad (3.39)$$

если же $Z_{\text{min}} \leq Z_{\text{rec}}(t) \leq Z_{\text{fr}}$, тогда

$$S_{\text{se}}(t) = \int_{Z_n}^{Z_{\text{rec}}(t)} s(z) dz - \int_{Z_n}^{Z_{\text{min}}} s_{\text{se}}(z) dz. \quad (3.40)$$

Изложенная здесь в общем виде схема определения площадей различных типов таяющей поверхности ледника показывает, что раздельная схема составляющая годового объема таяния невозможна без определения внутритидового хода границ зимнего и летнего снега на леднике.

Прежде чем рассматривать предлагаемую модель движения сплошной границы на поверхности ледника, необходимо уточнить, что эта модель предназначена для периода времени от даты обнаружения конца ледника вплоть до исчезновения зимнего снега и до даты установления устойчивости снежного покрова на всей площади ледника. Предполагается также, что до

начала движения границы сезонного снега по леднику до его поверхность покрыте слоем зимнего снега произвольной толщины.

Как известно, пространственное положение границы сезонного снега на леднике в различные моменты является периодом обусловлено в каждой точке поверхности балансом процессов аккумуляции и абляции зафиксированные интервалы времени. Однако в настоящие время невозможно использовать в явном виде балансовый метод для определения движущих границы сезонного снега из-за отсутствия надежных региональных оценок интенсивного накопления твердых осадков в гидрологических областях. Следовательно, необходим некоторый аналог баланса или, точнее, какая-либо из его функций, удобная для построения модели движения снеговой границы.

По мнению автора, высказанным здесь соображениям более всего отвечает максимальная высота Z_{\max} , а лучше — максимальное за период абляции превышение ΔZ_{\max} границы сезонного снега над концом ледника:

$$\Delta Z_{\max} = Z_{\max} - Z_n. \quad (3.41)$$

при условии $Z_n \leq Z_{\max} \leq Z_n$.

Величина ΔZ_{\max} на любом леднике представляет собой в конкретном году замкнутый результат последовательных во времени процессов зимней аккумуляции и ледниковой абляции твердых атмосферных осадков. Следовательно, значение ΔZ_{\max} можно рассматривать как индекс в другой системе расчета каждого из эквивалентных между собой объемов накопления и расходования сезонного снега.

Предположим, что за один и те же интервалы времени dt между относительными скоростями приближения границы сезонного снега к пределу Z_{\max} и последовательного накопления слоя ставшего зимнего снега на этом же уровне Z_{\max} существует определенное соотношение (хотя для простоты рассматривается случай отсутствие летних осадков).

Запишем это соотношение следующим образом:

$$\frac{1}{\int_{t_1}^{t_{D-1}} \frac{dZ_{\text{rec}}(t)}{dt}} = \frac{1}{\int_{t_1}^{t_{D-1}} \frac{dA(z, t)}{dt}} = \chi(t), \quad (3.42)$$

где

$$\int_{t_1}^{t_{D-1}} dZ_{\text{rec}}(t) = Z_{\text{rec}}(t_{D-1}) - Z_{\text{rec}}(t_1) \quad (3.43)$$

представляет собой часть, оставшуюся от ΔZ_{\max} после того, как граница сезонного снега за время от начального t_1 и до промежуточного момента t_1 достигла на леднике уровня $Z_{\text{rec}}(t_1)$. Поскольку t_0 — дата начала таяния льда на конце ледника, а t_D —

дата окончания периода таяния льда, то очевидно, что $Z_{\text{rec}}(t_0) = Z_n$, $Z_{\text{rec}}(t_{D-1}) = Z_{\max}$.

Аналогично формуле (3.13) выражение

$$\int_{t_1}^{t_{D-1}} dA(z, t) = A(z, t_{D-1}) - A(z, t_1) \quad (3.44)$$

косвенно характеризует не стационарный в момент t_1 остаток зимнего снега в интервале высот $Z_{\max} - Z_{\text{rec}}(t_1)$. Здесь $A(z, t_{D-1})$ — сум-

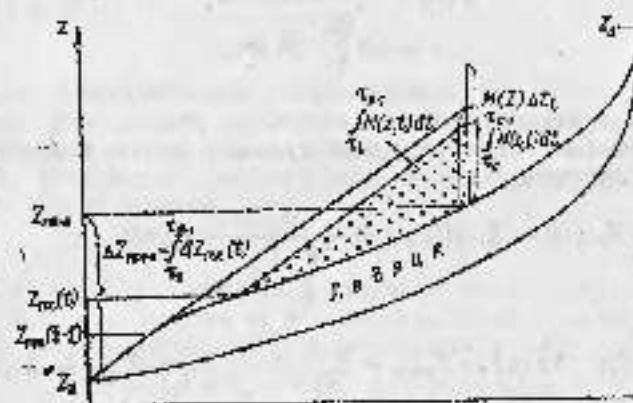


Рис. 3.5. Схема, иллюстрирующая модель движения сезонной снеговой границы (ССГ) по леднику.

$Z_{\text{rec}}(t=0)$ — начальная снеговая граница в следующий момент времени $Z_{\text{rec}}(t=0)$ — то же в текущий момент; Z_{\max} — максимальная высота ССГ на поверхности ледника; $M(z, dt)$ — слой таяния на высоте Z_{\max} за интервал dt ; t_1 и t_{D-1} — моменты в начале и конце вспомогательного периода.

маршрут за период $t_1 \rightarrow t_{D-1}$ слой таяния зимнего снега на высоте Z_{\max} ; $A(z, t_1)$ — слой таяния зимнего снега за время $t_1 \rightarrow t_0$ на том же уровне.

Зависимость между сноубоями становки снега на высоте Z_{\max} и движением Z_{rec} по леднику при отсутствии летних снегопадов иллюстрирует также рис. 3.5.

Производные по времени для процессов $Z_{\text{rec}}(t)$ и $A(z, t)$ в отношении (3.42) находим согласно

$$\frac{dZ_{\text{rec}}(t)}{dt} = \frac{Z_{\text{rec}}(t_1) - Z_{\text{rec}}(t_{D-1})}{\Delta t}, \quad (3.45)$$

$$\frac{dA(z, t)}{dt} = \frac{A(z, t_1) - A(z, t_{D-1})}{\Delta t} = M(z, t). \quad (3.46)$$

Учитывая (3.46), запишем правую часть (3.42) несколько иначе:

$$\chi(t_i) = \frac{M(z, t_i)}{\sum_{t=1}^{D-1} M(z, t_i)}; \quad (3.47)$$

Затем вместо $M(z, t)$ подставляется одна из формул для расчета интенсивности таяния. Например, если $\Delta t = 1$ сутки, а $M = k_m(\Theta)$, где Θ — средняя суточная температура, то

$$\chi(t_i) = \frac{\bar{\Theta}_i(z)}{\sum_{t=1}^{D-1} \bar{\Theta}_t(z)}, \quad (3.48)$$

где i — номер суток внутри года.

Окончательный вид численной схемы расчета движения Z_{rec} по леднику следующий:

$$Z_{\text{rec}}(t) = Z_{\text{rec}}(t_{i-1}) + \frac{\bar{\Theta}_i(z)}{\sum_{t=1}^{D-1} \bar{\Theta}_t(z)} \Delta z(t_{i-1}),$$

$$Z_{\text{rec}}(t_0) = Z_0; \quad \Delta z(t_i) = Z_{\text{max}} - Z_0; \quad \Delta z(t_{i-1}) = Z_{\text{max}} - Z_{\text{rec}}(t_{i-1}). \quad (3.49)$$

При выполнении расчетов $Z_{\text{rec}}(t)$ по формуле (3.49) следует исключить возможность суммирования средних суточных температур воздуха с разными знаками, которые на высотах Z_{max} могут иметь место в летний период. Это нетрудно сделать, если суммировать температуры воздуха вместо высоты Z_{max} на таком уровне z_0 , где в течение мая—октября температура воздуха при всех условиях остается зередом положительной. На расчеты $Z_{\text{rec}}(t)$ переход от Z_{max} к z_0 влияния не имеет, поскольку температура воздуха, как правило, линейно изменяется с высотой косинусоидой. Следовательно, величина отклонения $\chi(t)$ для $\bar{\Theta}(z, t)$ одного знака не зависит от z .

Таким образом, весьма простая формула (3.49) позволяет рассчитать высоту траншицы зимнего снега в любой день периода обзора на леднике при отсутствии летних снегонадзоров.

Поскольку указанное ограничение препятствует широкому использованию формулы (3.49) в случае расчета погодой различных типов тающих поверхностей ледника, рассмотрим способ оценки влияния летних снегонадзоров в предполагаемой модели движений снеговой границы по леднику. Учитывая, что частью входной информации для расчета суммарного таяния является архив суточных сухих и средних значений метеорологических элементов

(осадки, температура воздуха, общая облачность), случаи выпадения осадков в период обзора считаются известными. Тогда прежде всего необходимо установить абсолютную высоту, начиная с которой осадки вероятнее всего отлагались на леднике в виде снега.

Для этой цели используем результаты анализа фазового состояния осадков в горах в зависимости от приземной температуры воздуха, полученные Г. Е. Глазыриным [33]. В работе [33] показано, что в дни с осадками при определенной средней суточной температуре воздуха Θ_s равновероятно выпадение осадков в твердом или жидким виде. Принимая Θ_s в качестве граничного условия для разделения фазового состояния осадков, Г. Е. Глазырин установил также существование в горах Средней Азии зависимости $\Theta_s(z)$ в виде

$$\Theta_s = f_1 z^2 - f_2 z + f_3, \quad (3.50)$$

где f_1, f_2, f_3 — эмпирические коэффициенты.

Однако для модели движения снеговой границы по леднику с учетом летних снегонадзоров требуется не Θ_s , а высота z , где $\Theta(z) < \Theta_s$, поэтому, используя наиболее распространенную аналитическую форму зависимостии

$$\Theta(z, t) = \Theta(z_0, t) - \gamma(z - z_0), \quad (3.51)$$

где $\Theta(z, t)$ и $\Theta(z_0, t)$ — средние суточные температуры воздуха на высотах z и z_0 в момент t ; γ — вертикальный градиент температуры; для определения $z(\Theta_s)$ получаем квадратное уравнение

$$f_1 z^2 - f_2 z + f_3 - \Theta(z_0, t) + \gamma z - \gamma z_0 = 0. \quad (3.52)$$

В уравнении (3.52) $\Theta(z_0, t)$ и z_0 заданы как входная информация; относительно $\gamma(t)$ известно [170], что внутриводной ход вертикального градиента может быть широколинейной косинусоидой, поэтому выражения

$$k_1 = \frac{f_1}{\gamma}, \quad (3.53)$$

$$k_2 = 1 - \frac{f_3}{\gamma} \quad (3.54)$$

и

$$k_0 = \frac{f_1}{\gamma} - \frac{\Theta(z_0, t)}{\gamma} - z_0 \quad (3.55)$$

в произвольный момент времени t являются параметрами.

В итоге уравнение (3.52), решение которого дает исходное значение $z(\Theta_s, t)$, приводится к хорошо известному виду

$$k_1 z^2 + k_2 z + k_0 = 0. \quad (3.56)$$

В дни с осадками, подставив в (3.56) значения k_0, k_1, k_2 , определим высоту $z(\Theta_s)$, начиная с которой осадки выпадают в твердом виде. Далее легко установить, удовлетворяет ли $z(\Theta_s)$ условию

вую $\varepsilon_0 \leq z(\Theta_s) \leq \varepsilon_k$ и при положительном ответе найти согласно (3.31) площадь ледника, покрытую свежим летним снегом.

Зная, что нижняя граница летнего снега $Z_{\text{лс}}$ располагается на поверхности ледника, можно с некоторым приближением рассчитать средний слой снежевыпавшего снега в интервале высот $\Delta z = Z_s - Z_{\text{лс}}$ путем интегрирования наиболее общего выражения зависимости осадков от высоты местности

$$q(z, t) = q(z_0, t)[1 + b_1(z - z_0) + b_2(z - z_0)^2], \quad (3.57)$$

предложенного в работе [17, 18] для условий Средней Азии. Здесь b_1 и b_2 — эмпирические коэффициенты, определяемые относительного уровня ε_0 в конкретном водооборе. В результате интегрирования получаем аналитическую формулу для расчета $\bar{q}_{\text{лс}}(\Delta z, t)$

$$\begin{aligned} \bar{q}_{\text{лс}}(\Delta z, t) &= \frac{q(z_0, t)}{\Delta z} \int_{z_0}^{Z_s} [1 + b_1(z - z_0) + b_2(z - z_0)^2] dz = \\ &= -q(z_0, t) \left[1 + b_1(z - z_0) + b_2(z - z_0)^2 + b_2 \frac{(Z_s - z_0)^2}{12} \right], \end{aligned} \quad (3.58)$$

где

$$z = \frac{z_0 + Z_s}{2},$$

разумеется, если осадки выпадают несколько дней подряд, то при суммировании суточных слоев снежевыпавшего снега необходимо каждый раз повторять всю последовательность расчетов

$$z(\Theta_s, t) \rightarrow \Delta z_{\text{лс}}(t) \rightarrow S_{\text{лс}}(\Delta z, t) \rightarrow \bar{q}_{\text{лс}}(\Delta z, t).$$

От рассчитанного среднего слоя летнего снега $\bar{q}_{\text{лс}}(\Delta z, t)$ не трудно перейти к продолжительности его залегания на склоне $S(\Delta z)$, последовательно вычитая из $\bar{q}_{\text{лс}}(\Delta z, t)$ средние суточные слои таяния снежевыпавшего снега $M_{\text{лс}}(\Delta z, t)$ до тех пор, пока не будет выполнено условие

$$\bar{q}_{\text{лс}}(\Delta z, t) - \sum_{k=1}^N M_{\text{лс}}(\Delta z, t_k) \leq 0.5 M_{\text{лс}}(\Delta z, t_{k+1}), \quad (3.59)$$

где $M_{\text{лс}}(\Delta z, t_{k+1})$ — слой таяния на следующие сутки после N прошедших. Если $\bar{q}_{\text{лс}}$ представляет собой сухому нескольких дней с осадками, то для расчета $M_{\text{лс}}(\Delta z, t)$ следует принимать во внимание минимальное за весь период с осадками значение $z(\Theta_s, t)$.

Позжечная модель расчета движения сезонной снеговой границы на поверхности ледника содержит ряд гипотез или упрощений, влияние которых на конечные результаты необходимо исследовать, сравнивая рассчитанный и наблюдавшийся в натуре внутригодовой ход $Z_{\text{лс}}(t)$. К сожалению, подобные наблюдения за ледниках в настоящее время не производятся из-за сложностей

организации по-устационарных работ, охватывающих весь период наблюдения.

С целью более наглядного представления о практическом результате моделирования движения снеговой границы на рис. 3.6 показан пример расчета $Z_{\text{лс}}(t)$ в течение периода сбивания 1961 г. на леднике Центральный Туруксайский. Судя по графику, модель достаточно удачно отражает влияние летних снегопадов

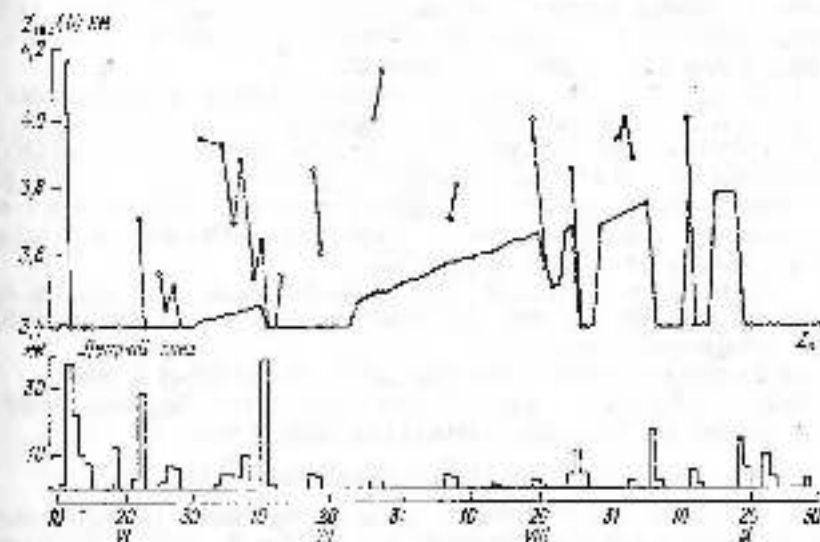


Рис. 3.6. Пример расчета движения сезонной снеговой границы на поверхности ледника Центральный Туруксай в 1961 г.

Линиями и штрихами показаны изменения высоты снега в летних снегопадах.

периодов на ход $Z_{\text{лс}}(t)$ и вполне соответствует известным гидрологическим представлениям о моделируемом процессе.

3.4. Продолжительность периода таяния и формирование стока на ледниках Средней Азии

С внутридогодовым режимом акумуляции и таяния и движением сезонной снеговой границы на ледниках непосредственно связаны также используемые в региональной модели суммарного таяния склоны на начале и конце расчетного интервала времени и перехода активного формирования ледникового стока. В качестве методической основы выбрана и определены эти два признака ряд положений, которые учитывают свойства гидрологического режима ледников и то, что характеристики режима, используемые для построения региональной модели, являются одномерными функциями высоты z .

1. Два последовательных во времени сезона зимней аккумуляции и летней абляции на ледниках образуют один полный гляциогидрометрологический цикл или балансовый год.

2. Внутри такого цикла имеется непрерывный интервал времени, когда ледники полностью закрыты устойчивым лежащим снегом. При этом возможное таяние минимально или равно нулю.

3. Такие льда и фирна на площади ледника, расположенной выше некоторой изогипсы, начинается только после схода устойчивого лежащего или временного летнего снежного покрова с площади ледника выше данной изогипсы.

4. Такие льда всегда начинается рванье, а заканчивается позже или одновременно с таянием фарта.

5. Периодом таяния льда и активного формирования ледникового стока следует считать интервал времени между датами разрушения и установления устойчивого снежного покрова на конце ледника. В первый из этих моментов выполняется условие $Z_{\text{rec}}(t) \geq Z_k$, а во второй $Z_{\text{rec}}(t) \leq Z_k$.

По мнению автора, для того чтобы региональная модель процесса суммарного таяния ледников учитывала все эти особенности, достаточно:

а) выбрать такие постоянные даты начала ($d_{\text{ст}}$) и конца ($d_{\text{ок}}$) расчетного периода, когда ледники полностью покрыты устойчивым лежащим снегом и занесены целиком условия:

$$Z_{\text{rec}}(d_{\text{ст}}) < Z_k \text{ и } Z_{\text{rec}}(d_{\text{ок}}) < Z_k;$$

б) ежегодно рассчитывать даты разрушения и образования устойчивого снежного покрова на высоте Z_k или даты начала ($d_{\text{ст}}$) и конца ($d_{\text{ок}}$) периода таяния льда на конце ледника.

На основании ранее выполненного обобщения [106] непосредственных данных по продолжительности периода абляции на ледниках Средней Азии в региональной модели суммарного таяния в качестве $d_{\text{ст}}$ и $d_{\text{ок}}$ приняты 1 мая и 31 октября. Как следует из анализа внутригодового распределения месячных сумм осадков в условиях Средней Азии [11, 34], принятая дата начала расчетного периода близка к средней многолетней дате максимума снегопокрытия. Кроме того, зерновоустановленные обследования заискиженности высокогорных зон ряда водосборов Средней Азии, которые систематически проводят сотрудники Узбекского УГКС и САНИИ Госгидромета, показали, что даже в маловодные 1975–1977 годы ледники в папахах не полностью закрыты зимним снегом, когда не затронутым таянием.

Рассмотрим далее принятые в данной работе способы определения дат начала и конца периода таяния льда на концах ледников. Расчет $d_{\text{ст}}$ и $d_{\text{ок}}$ выполняется двумя различными, и называемыми друг от друга методами. Оба этих метода объединены в специальную подпрограмму, использующую тот же архив входной информации, что и головная программа расчета суммарного таяния.

Принципиальной основой для расчета начальной даты обнаружения наивысшей точки конца ледника от сезона снега является математическая модель формирования снежного покрова в горах, разработанная Ю. М. Денисовым.

Подробное изложение всех этапов построения этой модели содержится в работах [17, 18, 49, 170], что позволяет ограничиться здесь только рассмотрением способа численного решения уравнения изменения водности снега w в заданном диапазоне высот водосбора с произвольным шагом по времени t и высоте z :

$$w(z, t+1) = w(z, t) + \frac{\partial w(z, t+1)}{\partial t}. \quad (3.60)$$

Для нахождения частной производной в (3.60) используется численная схема, изложенная в [17, 18, 170]:

$$\frac{\partial w(z, t+1)}{\partial t} =$$

$$= \begin{cases} q_0(z, t+1) \text{ для } M(z, t+1) \leq 0, \\ q_0(z, t+1) - M(z, t+1) \\ \text{для } M(z, t+1) < w(z, t) + q_0(z, t+1), \\ -w(z, t) \\ \text{для } M(z, t+1) \geq w(z, t) + q_0(z, t+1) \\ -M(z, t+1) \\ \text{для } M(z, t+1) < w(z, t), \\ -w(z, t) \\ \text{для } M(z, t+1) \geq w(z, t) \end{cases} q_0(z, t+1) > 0, \quad (3.61)$$

где q_0 — водность свежевыпавшего снега, M — интенсивность таяния снега. Шаг изменения по времени в (3.61) принят равным 1 сут.

Расчет по схеме (3.61) к уравнению (3.60) начиная с 1 октября позволяет ежедневно получать распределение водности снега в зависимости от высоты местности и вычислять $w(z, t) = 0$, т. е. среднюю высоту снеговой границы в бассейне. Тогда первым днем, когда выполнено условие

$$\min z \in w(z, t) \neq 0 \geq Z_k, \quad (3.62)$$

явится начальной датой периода таяния льда и движения снеговой границы на поверхности ледника.

Формально в схеме (3.61) отсутствуют ограничения на распространение ее в гляциальные области водосборов. Однако для применения модели Денисова в массовых расчетах движение границы сезона снега и дат окончания периода таяния на ледниках необходимы уточненные данные о ливневой и метелевой концентрации снега в гляциальных областях.

По современным представлениям [132] этот процесс существенно трансформирует «фоновые» значения твердых осадков. При отсутствии соответствующей массовой информации об особенностях аккумуляции снега на ледниках использование в формуле (3.57) и схеме (3.61) зависимостей осадков от высоты местности, относящихся к дренированным зонам водосборов, исказывает приведет к большим систематическим погрешностям при определении $d_{\text{лж}}$ и $Z_{\text{лев}}(t)$ в гляциальных областях.

В связи с этим авторах разработали иной метод расчета движения сезонной снеговой границы $Z_{\text{лев}}(t)$ на поверхности ледника и дат окончания периода таяния льда. Подробное описание ходов движения $Z_{\text{лев}}(t)$, включая блоксхему расчета, приведено ранее в разделе 3.3.

Особенность метода состоит в том, что суммарная аккумуляция снега на леднике в интервале $Z_{\text{лев}} - Z_{\text{л}}$ учитывается косвенно с помощью изменяющейся от года к году величины максимального $Z_{\text{лев}}$ объема снеговой граници над концом ледника. Такой подход позволяет в общем виде принять во внимание все отмеченные здесь локальные особенности режима снежного покрова на леднике, которые не проявляются в соответствующих зависимости $q(z)$ для вышележащих зон водосбора.

Для расчета дат окончания периода таяния льда из алгоритма модели движения $Z_{\text{лев}}(t)$ на леднике используется только блок определения продолжительности таяния ледяного снега. В связи с этим выбор даты начала периода таяния льда $t_{\text{ст}}$ роли не играет при условии, что $d_{\text{вр}} \leq d_{\text{лж}} < d_{\text{лв}}$.

Способ определения $d_{\text{лж}}$ основан на принятом заранее условии $d_{\text{лж}} \leq d_{\text{лв}}$ и постановке задачи, где требуется установить дату, начиная с которой неминимо выполняется условие $Z_{\text{лев}}(t) \leq Z_{\text{л}}$. Рассчет $d_{\text{лж}}$ на ЭВМ осуществляется в два этапа.

На первом этапе в каждом отдельном районе гляциальной области для интервала времени от $t_{\text{ст}}$ до $d_{\text{лв}}$ с шагом 1 сут, согласно схеме

$$z_{\text{л}}(t) = \begin{cases} Z_{\text{лев}} & \text{при } \bar{q}_{\text{л}}(t) = 0, \\ Z_{\text{л}} & \text{при } \bar{q}_{\text{л}}(t) > 0, \\ \min Z_{\text{л}} & \text{при } \sum_{k=1}^N M_{\text{л}}(\Delta z, t) < \sum_{k=1}^N \bar{q}_{\text{л}}(\Delta z, t), \end{cases} \quad (3.63)$$

формируется рабочий массив $z_{\text{л}}(t)$ высот, характеризующих текущий уровень, на котором летние атмосферные осадки выпадают в виде снега, а затем стекают. В (3.63) $\bar{q}_{\text{л}}$ — средний слой летнего снега в пределах ледника; $\min Z_{\text{л}}$ — самая низкая из высот границы летнего снега в течение периода из N дней, необходимого для полного стравливания свежевыпавшего снега; $M_{\text{л}}(\Delta z, t)$ — средний за сутки слой таяния в интервале высот Δz ; $\min Z_{\text{л}}$ — $\min Z_{\text{л}}$. В дни, когда не было ни твердых осадков, ни их таяния, высота $Z_{\text{лев}}$ условно принимается равной значению $Z_{\text{лев}}$ в данном районе, которое определено заранее по методу, изложенному в разделе 3.1.

Таким образом, начиная с некоторого момента, когда твердые осадки покрывают полностью площадь ледника и остаются в силе уравнение

$$\sum_{k=1}^N M_{\text{л}}(\Delta z, t) < \sum_{k=1}^N \bar{q}_{\text{л}}(\Delta z, t),$$

высота $z_{\text{л}}(t)$ до конца расчетного периода ($t_{\text{ст}} = 31$ октября) становится равной $Z_{\text{л}}$.

На втором этапе расчета $d_{\text{лж}}$ массив высот, сформированный согласно (3.63), просматривается день за день от конца расчетного периода к началу $t_{\text{ст}}$, очевидно, что первый день, когда $z_{\text{л}}(t) = Z_{\text{лев}}$

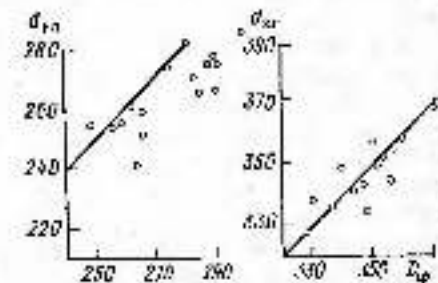


Рис. 3.7. Сравнение рассчитанных дат начала и конца периода таяния льда в физико-географии Центрального Тукусая.
Сплошная линия — физико-географическая модель.

$= Z_{\text{лев}}$, является датой максимального положения ССГ на леднике, а следующий за ним в обычном порядке — датой окончания периода таяния льда. Строго говоря, последнее верно только в том случае, если спек очередного сезона аккумуляции сразу покрывает всю площадь аккумуляции. Впрочем эта, изредка возникающая небольшая неточность расчета $d_{\text{лж}}$ совершило не влияет на определение суммарного таяния, которое выражается в зависимости от прихода внешнего тепла и высоты сезонной снеговой граници на леднике.

Оценка приемлемости изложенных в настоящем разделе способов расчета дат начала и конца периода таяния льда в гляциальных областях Средней Азии выполнена двухя независимыми способами.

Во-первых, путем сравнения рассчитанного многолетнего ряда $d_{\text{лж}}$ и $d_{\text{лв}}$ с данными непосредственных наблюдений, выполненных сотрудниками сектора географии АН КазССР за режимом снежного покрова на леднике Центральном Тукусайском, где уже десятки лет под руководством Н. И. Палькова, Г. А. Токмагамбетова, К. Г. Мекарсикче и др. осуществляется широкая программа стационарных и полустационарных гляциологических работ.

Сходимость результатов расчета с прямым определением дат начала и конца периода таяния льда на леднике Центральном Тукусайском иллюстрирует рис. 3.7. Количественная оценка отклонений показала, что при использовании в модели двухфакторной локальной формулы интенсивности таяния $M(B_{\text{л}}, \Theta)$ и учете

уклона и ориентации ледника средняя ошибка расчета $d_{\text{вн}}$ составила ±12 дней, а для $d_{\text{вн}}$ близка к нулю.

Как видно, качество результата расчета в данном случае оказалось вполне удовлетворительным. Небольшая систематическая погрешность в определениях $d_{\text{вн}}$, скорее всего, обусловлена приближенным характером зависимости сдвигов от высоты местности. Для уменьшения систематических погрешностей в распределении $Z_{\text{ес}}$ во исследованных зонах бассейнов Средней Азии автором разработан [254] метод, алгоритм и программма корректировки, где используется оперативная спутниковая информация о площади заносимости в горах. Авторская прописка метода корректировки расчетов $Z_{\text{ес}}(t)$ в материалах экспедиций аэрофотосъемок снежного покрова в бассейнах рек Ахангаран и Пекем, обобщенных В. П. Черногоровым [219], подтвердила его эффективность при различных вариантах ошибок расчета высот сезонной снежной транзита.

Еще одна оценка качества расчетов $d_{\text{вн}}$ и $d_{\text{вн}}$ получена путем анализа совместности средних многолетних значений $d_{\text{вн}}$ и $d_{\text{вн}}$, определенных автором для ряда гляциальных областей Средней Азии, с описаниями в работе [11] регионального акклиматического изменения из различных высотах средних многолетних дат разрушения и установления устойчивого снежного покрова на грунтовой поверхности. В данном случае под совместностью этих однобразных характеристик, полученных различными методами, понимается их логическая и физическая взаимосвязь в региональных зависимостях от высоты местности.

Представленная на рис. 3.8 графическая иллюстрация пространственной изменчивости и совместности рассматриваемых характеристик в широких широтных широтных условиях Средней Азии позволяет сформулировать следующие выводы.

1. Изменение в зависимости от высоты средних многолетних дат разрушения устойчивого снежного покрова (у. с. п.) на грунтовой поверхности в бассейнах рек Исфара, Матча, Мухку представляет собой достаточно однородный процесс, который с удовлетворительной точностью может быть аппроксимирован общим выражением.

2. Средние многолетние даты начала таяния льда на различных высотах в гляциальных областях бассейнов рек Сарыджае, Исфара, Матча, Мухку образуют с датами разрушения у. с. п. на грунтовой поверхности в этих же водосборах единую зависимость от высоты местности z , для которой получено следующее эмпирическое уравнение (z в км):

$$D_c = 77,6z - 160,2, \quad (3.64)$$

где D_c — даты разрушения устойчивого снежного покрова (номинальные дни календарного года).

3. Сдвигание на высотах более 4,5 км дат начала таяния льда с датами разрушения у. с. п. на грунтовой поверхности и расхождение между ними на высоте около 3 км имеет ясный физиче-

ский смысл. Вероятнее всего, в самых верхних зонах водосборов это обусловлено скошенностью однобразных условий аккумуляции и генезиса снежного покрова на грунтовой и ледяной поверхности, а в южных — возрастании разницы между называемыми процессами.

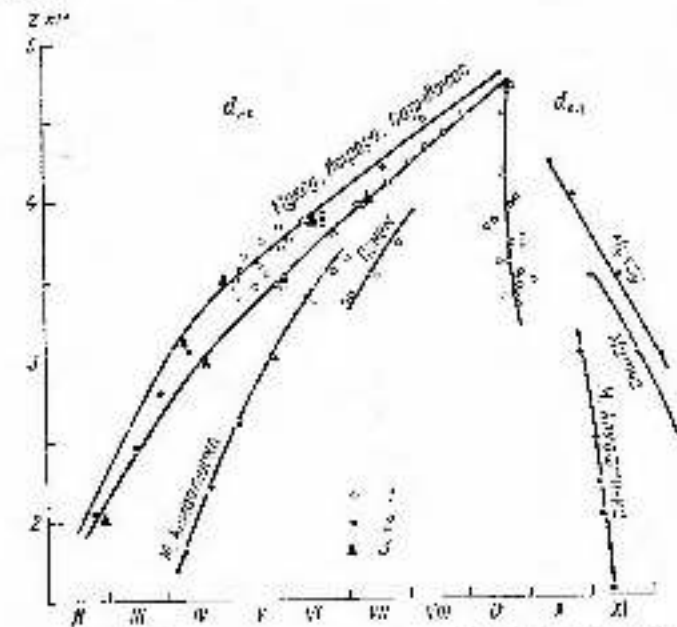


Рис. 3.8. Распределение по высоте в бассейнах рек Средней Азии дат начала и конца срыва тины льда из ледников (1) и льда и установления устойчивого снежного покрова (2, 3) на грунтовой поверхности.

4. Весьма удовлетворительная совместность $d_{\text{вн}}$ на концах ледников и дат разрушения у. с. п. на грунтовой поверхности наблюдается также в бассейне р. Малой Алахатки. Эмпирическая формула зависимости $D_c = f(z)$ для этого бассейна получена в виде

$$D_c = 14,5z + 14,2. \quad (3.65)$$

5. Различия между кривыми $D_c = f(z)$ для бассейнов рек Сарыджае, Исфара, Матча, Мухку, Сельдара, Малой Алахатки, Пекем, несомненно объясняются географическими особенностями расположения этих бассейнов и климатическими условиями сезона аккумуляции и таяния.

6. Существующие отличающиеся друг от друга оказались зависимостями от высоты для средних многолетних дат конца периода таяния льда и образования у. с. п. на грунтовой поверхности. Как видно, $d_{\text{вн}}$ и различных гляциальных областях образуют общую самостоительную зависимость от высоты.

Характерные черты этой зависимости: неизменчивая разница в $d_{\text{лж}}$ на высотах от 3 до 4,8 км (≈ 20 дней), малая изменчивость $d_{\text{лж}}$ (≈ 20 дней) на одной и той же высоте в различных условиях снегоденения Средней Азии. Отметим также, что сокращение периода образования устойчивого снежного покрова на грунтовой поверхности в сравнении с его разрушением свойственно в целом для зоны формирования стока рек Средней Азии, испытывающей терриории. В цацбесском виде эта разница проявилась в гляциальных областях Средней Азии.

Таким образом, оба рассмотренных варианта оценки качества результатов расчета дат начала и конца периода таяния льда показывают, что предложенные методы вполне пригодны для определения $d_{\text{лж}}$, $d_{\text{лж}}$ и продолжительности периода таяния льда в гляциальных областях Средней Азии.

Выходы

1. Движение сезонной снеговой границы на поверхности ледника является отражением внутритектонического хода аккумуляции и абляции в гляциальных областях. Вследствие этого максимальная высота снеговой границы на ледниках весьма тесно связана с годовыми балансами аккумуляции и абляции и его слагающимися. Существование связи между $Z_{\text{ макс}}$ и абляцией обуславливает важную для практических целей зависимость ледникового стока от $Z_{\text{ макс}}$. Отметим, что некоторые из них в региональной модели процесса суммарного таяния ледников для косвенной оценки сезона аккумуляции в гляциальных областях, которую невозможно измерить непосредственно.

2. Замена аккумуляции и абляции в уравнении $Z_{\text{ макс}} = f(d_{\text{лж}}, d_{\text{лж}})$ соответствующими индексами позволяет разработать метод реконструкции многолетнего ряда $Z_{\text{ макс}}$. Эти индексы представляют собой безразмерные аномалии сезонных сумм осадков, средних месячных температур воздуха или баллов общей облачности за абляционный период и легко определяются по данным метеорологических станций.

Многолетняя изменчивость индексов аккумуляции и абляции, их алгебраической суммы идентична вариации слагаемых вещественного баланса ледников. Этот важный вывод подтверждают однаково тесные связи между $Z_{\text{ макс}}$, годовым балансом ледника, аккумуляцией, абляцией и индексами балансовых характеристик.

3. Вклады индексов аккумуляции и абляции в относительную многолетнюю изменчивость баланса, $Z_{\text{ макс}}$, и ледникового стока представляют собой простое и весьма эффективное средство для регионального анализа, оценки и прогноза гидрологического режима снегоденения Средней Азии. Примерами реализации этого положения являются следующие новые результаты:

- региональная зависимость вклада индекса абляции от относительной площади снегоденения в водосборе;

- зависимость относительного вклада ледникового таяния в средний многолетний годовой и сезонный сток рек Средней Азии и Кавказа от вклада индекса абляции;

- регрессия в общем виде задачи долгосрочного прогноза ледникового стока и максимальных высот сезонной снеговой границы в гляциальных областях Средней Азии.

4. Для определения площадей пяти основных типов тающей поверхности ледника в текущем периода абляции необходимо использовать ранее морфометрические характеристики ледника и данные о положении сезонной снеговой границы. В разработанной автором моделью модели движения $Z_{\text{тес}}$ леднику тающие используются значения $Z_{\text{ макс}}$. Тех самым учитываются особенности аккумуляции твердых осадков на ледниках. Поскольку зимние и летние твердые осадки, аккумулированные на площади ледника в интервале высот от Z_k до $Z_{\text{ макс}}$, ставят полностью в модели движения $Z_{\text{тес}}$ листаточно определить сугубые слои: становящийся снега и принять очевидную гипотезу, что величина подъема $Z_{\text{тес}}$ за сутки пропорциональна слою таяния за это же время. В результате сумма таяния зимнего и летнего снега за период абляции дает годовую аккумуляцию на леднике в интервале высот от Z_k до $Z_{\text{ макс}}$.

5. Большое значение для описания процесса суммарного таяния ледников и ледникового стока имеет определение момента начала и окончания периода таяния льда. Применительно к статистической модели гляциальной области автором разработаны алгоритм и программа для определения на ЭВМ дат начала и конца периода таяния льда с различными учетом движущих границ сезона таяния $Z_{\text{тес}}$ на ледниках и высотных эпюах бассейнов рек.

Анализ геономерностей изменения по территории Средней Азии дат начала $d_{\text{лж}}$ и окончания $d_{\text{лж}}$ периода таяния льда выявил четкую зависимость $d_{\text{лж}}$ и $d_{\text{лж}}$ от высоты и хорошую их совместимость с процессом схода и установления устойчивого снежного покрова на грунтовой поверхности. В общем для бассейнов рек Средней Азии характерно постепенное и сплошное расширение во времени освобождение концов ледников от зимнего снега и почти одновременное установление устойчивого снежного покрова на высотах Z_k . В среднем многолетнем сход снежного покрова на концах ледников в диапазоне высот от 3,3 до 4,7 км происходит с начала мая до конца августа — начала сентября. Установление устойчивого снежного покрова на концах ледников в том же диапазоне высот осуществляется в течение 20—25 дней с серединой сентября до начала октября. На высотах более 4,7—4,8 км снежный покров залегает в течение всего года и продолжительность периода таяния льда равна нулю.

Глава 4

Методика расчета суммарного таяния на ледниках и ледникового стока

4.1. Пространственно-временная изменчивость основных метеорологических характеристик, определяющих интенсивность таяния на ледниках

Разработанная автором региональная физико-статистическая модель процесса суммарного таяния ледников в бассейнах рек Средней Азии предусматривает определение внутритодового хода аккумуляции и таяния в зависимости от высоты местности z . Рассмотрим далее используемые в модели методы описания в координатах x, t изменчивости ряда метеорологических элементов, которые являются аргументами локальных и региональных формул интенсивности аккумуляции и таяния снега и льда.

4.1.1. Приход суммарной солнечной радиации на поверхность ледника

Методика расчета составляющих источника суммарной радиации $Q_s(t) = J' + D$ для безоблачных дней в настоящее время теоретически и экспериментально обоснована (см. квирквишвили, [47, 48, 97, 160, 187]) вполне определенно (J' — прямая радиация на горизонтальную поверхность, D — рассеянная радиация, t_0 — время внутри суток).

Учитывая приватный в работе способ обобщения исходных данных по морфометрии ледников в виде «средних ледников» для отдельных районов гляциальной области, расчеты J' и D целесообразно выполнять по астрономическим формулам, содержащим возможно меньше членов локальных, а также малозначимых параметров.

Применительно к прямой радиации, как показано, например, в [97, 187], наиболее удобная и простая аппроксимация $J'(t)$ предложена В. Г. Кастроющим:

$$J' = \frac{J_0 \sin h_0}{1 + m_{\lambda}}, \quad (4.1)$$

здесь J_0 — метеорологическая солнечная постоянная; λ — интегральный показатель прозрачности атмосферы; m_{λ} — безразмерная характеристика длины пути солнечного луча в атмосфере. Вполне удовлетворительное для практических целей приближение дает формула

$$m = \frac{1}{\sin h_0}. \quad (4.2)$$

где h_0 — угловая высота солнца. Коэффициент λ определяется эмпирически, по измерениям I :

$$\lambda = \frac{I_0 - I}{T} \sin h_0. \quad (4.3)$$

По этой формуле были выполнены определения коэффициента λ для территории Средней Азии. В расчетах учитывался вывод С. И. Смыкова [187] о достаточной для дневного периода характеристики значений λ , определенных по полуденным значениям I .

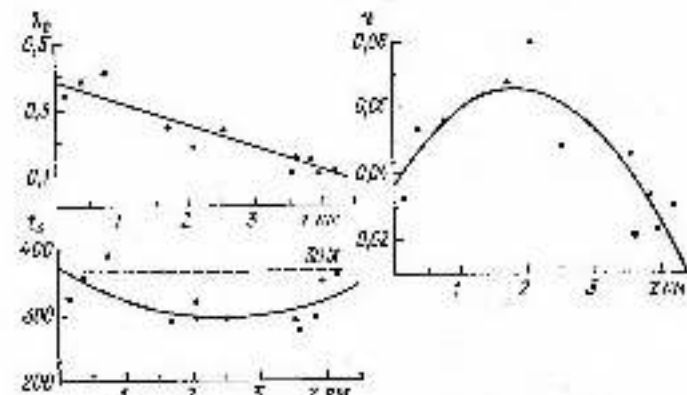


Рис. 4.1. Зависимости коэффициентов λ_0 , ν и I_0 в формуле (4.1) от высоты местности над уровнем моря.

Анализ полученных автором средних исключительных значений интегрального коэффициента прозрачности λ (табл. 4.1) на различных высотах не равнине и в горах Средней Азии показывает, что внутритодовой ход λ для любого из пунктов в табл. 4.1 вполне удовлетворительно аппроксимируется косинусидой

$$\lambda(t) = \lambda_0 + v \cos \left[\frac{2\pi}{T_2} (t - t_0) \right], \quad (4.4)$$

где λ_0 — среднее годовое значение коэффициента интегральной прозрачности атмосферы, v — полуамплитуда изменения λ внутри года, $T_2 = 365$ дней, t — время (номер дня внутри года), t_0 — лата максимума $\lambda(t)$.

Затем для получения связи интегральной прозрачности атмосферы с высотой местности в условиях Средней Азии были построены графики зависимостей $\lambda_0(z)$, $v(z)$ и $t_0(z)$. Как следует из рис. 4.1, эти зависимости достаточно гладкие.

Поскольку для расчетов таяния снега и льда наибольший интерес представляют значения $t_0(z)$, $v(z)$ и $\lambda_0(z)$ на высотах более 1 км, а также для выравнивания на рис. 4.1 плоскости линий в различных высотных зонах было выполнено смещение параметров λ_0 , v и I_0 в интервалах высот 0–0,250 км, 0,251–0,500 км и 0,500–1,000 км. В результате для зависимостей $t_0(z)$,

Многограннические характеристики прозрачности атмосферы на радиотелах высотах по территории Средней Азии (8710—4450 м. н. м.)

Местоположение, пункт измерения Балашов, Таджик.	Номер граня, №	Среднее месячное значение коэффициента λ											
		I	II	III	IV	V	VI	VII	VIII	IX	X	XI	
Таджик	0,116	0,412	0,383	0,406	0,375	0,347	0,323	0,301	0,278	0,256	0,236	0,215	
Худжанд	0,124	0,393	0,374	0,404	0,375	0,347	0,323	0,301	0,278	0,256	0,236	0,215	
Душанбе	0,188	0,340	0,345	0,375	0,347	0,319	0,301	0,278	0,256	0,236	0,215	0,195	
Бешкент	0,208	0,336	0,340	0,360	0,330	0,319	0,301	0,278	0,256	0,236	0,215	0,195	
Ташкент	0,211	0,330	0,334	0,354	0,324	0,303	0,281	0,259	0,238	0,217	0,196	0,175	
Горизонтальная прозрачность вдоль шестиго граня	0,215	0,324	0,328	0,348	0,318	0,297	0,275	0,253	0,232	0,211	0,190	0,169	
Ферган	0,217	0,327	0,331	0,351	0,321	0,300	0,278	0,256	0,235	0,214	0,193	0,172	
Фрузен	0,224	0,330	0,334	0,354	0,324	0,303	0,281	0,259	0,238	0,217	0,196	0,175	
Душанбе	0,228	0,324	0,328	0,348	0,318	0,297	0,275	0,253	0,232	0,211	0,190	0,169	
Ахангаран	0,231	0,327	0,331	0,351	0,321	0,300	0,278	0,256	0,235	0,214	0,193	0,172	
Алма-Ата	0,236	0,330	0,334	0,354	0,324	0,303	0,281	0,259	0,238	0,217	0,196	0,175	
Семипалатинск	0,240	0,324	0,328	0,348	0,318	0,297	0,275	0,253	0,232	0,211	0,190	0,169	
Кызылташ	0,247	0,330	0,334	0,354	0,324	0,303	0,281	0,259	0,238	0,217	0,196	0,175	
Лебедин Центральный Тумбук	0,252	0,330	0,334	0,354	0,324	0,303	0,281	0,259	0,238	0,217	0,196	0,175	
Джамал Абрамов	0,255	0,324	0,328	0,348	0,318	0,297	0,275	0,253	0,232	0,211	0,190	0,169	
Кара-Куль	0,258	0,327	0,331	0,351	0,321	0,300	0,278	0,256	0,235	0,214	0,193	0,172	
Лебедин Феликсово	0,261	0,330	0,334	0,354	0,324	0,303	0,281	0,259	0,238	0,217	0,196	0,175	

При расчете значений λ получены на работе [173, 179, 197—200] в по заслуженному самодостаточному станции САНИК Государственного гидрометеорологического управления.

$v(z)$ и $t_0(z)$ методом наименьших квадратов были получены следующие выражения:

$$t_0(z) = 0,383 - 0,068z; \quad (4.5)$$

$$v(z) = 0,036 + 0,031z - 0,0084z^2; \quad (4.6)$$

$$t_0(z) = 373 - 59,5z + 11,7z^2. \quad (4.7)$$

Подставив эти уравнения в (4.4), выражение для расчета окончательную формулу:

$$J(z, t) = 0,383 - 0,068z + (0,036 + 0,031z - 0,0084z^2) \times \cos\left[\frac{2\pi}{T_1}(t - 373 + 59,5z - 11,7z^2)\right]. \quad (4.8)$$

Численные коэффициенты в этом выражении определены при условии, что год начинается 1 октября.

Для определения потока рассеянной радиации $D(t_1)$ используют выражение удовлетворительное приближение, которое дает формула Берлаге-Кастрова [187]

$$D = 0,382J, \quad (4.9)$$

где значение энциклического коэффициента достаточно устойчива [187] при различных λ и J — прямая редиация на герпандикулярную поверхность.

В окончательном виде формула для расчета дневного поступления сухарской радиации на горизонтальную поверхность при отсутствии облачности выглядит следующим образом:

$$Q_\theta = \frac{J_0 T_1}{\pi} \int_0^{T_1} \frac{\sin h_\theta}{\lambda(z, t) + \sin h_\theta} [\sin h_\theta + 0,382(z, t)] dt_1, \quad (4.10)$$

где T_1 — продолжительность суток, равная 1440 мин; t_0 — время восхода или захода солнца; време t_1 внутри суток выражено через периодическую функцию часового угла

$$t_1 = \frac{T_1}{2\pi} \tau_1.$$

В формуле (4.10) эпаческие $\sin h_\theta$ определяются по известному из сферической астрономии соотношению

$$\sin h_\theta = \sin q \sin \delta + \cos q \cos \delta \cos \tau_1, \quad (4.11)$$

где q — географическая широта; δ склонение солнца; τ_1 часовой угол солнца. В уравнении (4.11) величина склонения солнца на любую дату t внутри года представляет собой периодическую функцию времени

$$\delta(t) = 23,5 \sin\left[\frac{2\pi}{T_\delta}(t - 173)\right] \quad (4.12)$$

в случае начала отсчета с 1 октября к $T_\delta = 365$ сут.

Если φ и $\delta(t)$ заданы, определим вре́мена восхода или захода солнца для любого пункта на равнине и представим это выражение. Из (4.11) очевидно, что при $\sin h_0 = 0$

$$t_0 = \arccos(\pm 1 \cdot \cos \varphi \cdot \cos \delta). \quad (4.13)$$

Однако для большинства горных ледников такой способ не пригоден и задача расчета t_0 , в принципе, столь же ясная, как и на равнине, сильно усложняется необходимостью учета и анализа большого объема информации о рельефе ледниковых долин.

В качестве примера приведем закрытости горизонта на астрономическую продолжительность солнечного сияния приведены результаты [154, 165], полученные на леднике Федченко и в различных пунктах на леднике Центрального Туруксу (табл. 4.2).

Таблица 4.2

Максимальные возможные продолжительности солнечного сияния на ледниках Федченко и Центральном Туруксу (в % от астрономической максимальной продолжительности)

Ледник	Макс					
	V	VI	VII	VIII	IX	X
Федченко	80	81	80	80	81	78
Центральный Туруксу:						
корней избы	74	76	61	83	82	78
область забытия	76	78	63	84	82	70
фронтальная область	70	72	79	79	76	66

Быть вспомогательными причинами считать, что для массовых расчетов поступающие схематичные разлагают t_0 и δ на ледниках могут быть получены только численным методом с применением ЭВМ.

Существует разработанный автором [114] такого метода в общем виде, состоящий в построении трехмерной численной модели линии горизонта на основе крупномасштабной топографической карты, вычислении для каждого пункта на леднике круговой диаграммы закрытости горизонта, последовательным определением положения и угловой высоты солнца на небесной сфере в течение дня с такими расчетами, чтобы, последовательно сдвигая угловые высоты солнца и углы закрытости призрака каждого k -го пункта на леднике, установить моменты восхода и захода солнца относительно линии горизонта данного пункта.

Для всех пунктов на поверхности ледника принцип, что линия горизонта совпадает с водораздельным гребнем, замыкающим бассейн ледника. Это упрощение в отдельных случаях приводит к не-

большим дополнительным погрешностям расчета восхода и захода солнца, однако значимость этих ошибок безусловно превосходит значение по сравнению с неучетом вообще влияния рельефа на закрытость горизонта.

Исходной информацией для расчета вре́мен восхода и захода солнца на леднике являются планово-высотные координаты пунктов на плоскости ледника и меридиально ориентированная трехмерная модель линии горизонта, которые обеспечивают определение для каждого k -го пункта углов закрытости N_k по формуле

$$N_k = \arctg \left(\frac{x_{k0} - x_{kA}}{\sqrt{(x_{k0} - x_{kA})^2 + (y_{k0} - y_{kA})^2}} \right), \quad (4.14)$$

где при каждом фиксированном k i изменяется от 1 до n ; x_{ki} , y_{ki} , z_{ki} и x_{kA} , y_{kA} , z_{kA} — планово-высотные координаты точек на линии горизонта « g » и леднике « A ».

После расчета круговых диаграмм закрытости горизонта для всех пунктов на поверхности ледника выполняется определение угловой высоты и положения солнца на небесной сфере в течение дня с таким расчетом, чтобы, последовательно сдвигая угловые высоты солнца и углы закрытости призрака каждого k -го пункта на леднике, установить моменты восхода и захода солнца относительно линии горизонта данного пункта.

Положение солнца на небесной сфере может быть определено в экваториальной или горизонтальной системе сферических координат. Пересечение меридиональной и зенитной осей этих координат друг с другом и с большими кругами небесной сферы образуют поларный треугольник, связывающий экваториальные координаты солнца с горизонтальными известных формул сферической тригонометрии. В частности, уравнение (4.11) является аналитическим выражением зависимости высоты солнца h_0 от географической широты пункта φ , склонения солнца δ и этого часового угла.

Другой вариант решения горизонтального треугольника —

$$\operatorname{ctg} A_k \sin t_0 = \operatorname{ctg}(90^\circ - \delta) \sin(90^\circ - \varphi) - \cos(90^\circ - \varphi) \cos t_0, \quad (4.15)$$

где A_k — азимут солнца, позволяет определить t_0 по известным остальным элементам и в конечном счете установить по формуле (4.11) положение солнца на небесной сфере. Азимуты различных положений солнца в течение дня относительно k -го пункта на леднике принимаются равными азимутам отметок рельефа, образующих линию горизонта, поскольку для определения момента восхода к заходу необходимо сравнивать угловые высоты солнца с угловыми высотами точек на линии горизонта.

Уравнение (4.15) преобразовано относительно синуса к квадратному тригонометрическому уравнению

$$\cos^2 t_0 - K_1 \cos t_0 - K_0 = 0, \quad (4.16)$$

где

$$K_1 = \frac{2 \sin \delta \cos \varphi \sin \psi}{\sin^2 \varphi + \sin^2 \lambda \delta} \quad (4.17)$$

и

$$K_0 = \frac{\sin^2 \lambda \delta - 1/2 \delta \cos^2 \varphi}{\sin^2 \varphi + \sin^2 \lambda \delta} \quad (4.18)$$

вычисляются отдельно для каждого пункта на линии из трех постановки в (4.17) и (4.18) параметров φ , δ и азимутов, относящихся к линии горизонта этого пункта. Таким образом, решение системы

$$\begin{cases} \cos^2 t_1 - K_1 \cos t_1 - K_0 = 0; \\ \sin h_{\alpha} - \sin \varphi \sin \delta + \cos \varphi \cos \delta \cos t_1 \end{cases} \quad (4.19)$$

относительно $\cos t_1$ и K_0 , и согласование конечных результатов на каждом шаге с данными по закрытости горизонта δ -точек пункта на следующем позволяет определить время восхода и захода солнца для этого пункта на любой день или другие периоды в течение года в зависимости от того, как задано склонение солнца.

Для ряда пунктов на территории Средней Азии, где имеются линейные астронометрические измерения, по наложенной здесь методике были выполнены расчеты внутреннего хода дневных сумм суммарной радиации при безоблачном небе. Относительные отклонения рассчитанных месячных сумм Q_{\odot} от измеренных приведены в табл. 4.3.

Из табл. 4.3 следует, что качество определений $Q_{\odot}(z, t)$ по выражению (4.10) является вполне приемлемым для ретроспективных расчетов поглощенной радиации как одного из аргументов в формуле

Таблица 4.3

Относительные отклонения рассчитанных месячных сумм суммарной радиации от измеренных

Пункт	z кн	Относительные отклонения, %											
		-	=	±	Σ	≥	≤	±	Σ	≥	≤	Σ	
Терект	0,300	-15	-9	3	2	6	4	5	2	-2	-8	-10	-12
Ташкент	0,477	-9	-10	-3	3	6	5	6	7	0	-5	-10	-7
Самарканд	0,696	-5	0	4	7	8	5	9	3	1	-6	-10	-7
Фрунзе	0,798	-12	-7	0	2	5	6	7	5	2	-9	-10	-11
Кизилташ	2,076	-16	-16	-8	-10	-4	3	-2	0	-3	-12	-14	-15
Таш-Шань	3,610	-7	-3	-2	-1	2	3	4	1	-3	-8	-12	-10

муге интенсивности тумана снега и льда. Последующими шагами в исчислении полученных данных о $Q_{\odot}(z, t)$ должны быть переход к значениям суммарной радиации при действительных условиях облачности $Q(z, t)$ и определение албедо $A_{\odot}=A_{\odot}(z, t)$ шести основных типов туманов поверхности земли.

Для расчета $Q(z, t)$ достаточно эффективным считается следующий способ:

$$Q = Q_{\odot} f(C), \quad (4.20)$$

где

$$f(C) = 1 - (1 - d)C \quad (4.21)$$

или

$$f(C) = 1 - d_1 C - d_2 C^2 \quad (4.22)$$

— функция ослабления прихода суммарной радиации при C баллах общей облачности; d , d_1 , d_2 — эмпирические коэффициенты. Используя [48, 147] для повышения точности расчетов Q вводят в $f(C)$ раздельные оценки общей и штормовой облачности. Однако, учитывая локальный характер определений облачности в горах по линиям рельефа сети метеорологических станций, в региональной модели процессы суммарного тумана целесообразно ограничиться учетом одной общей облачности.

Исследование линейного и нелинейного вариантов зависимости $f(C) = Q/Q_{\odot}$ для территории Средней Азии по данным ряда метеорологических станций за 1960—1980 гг. показало, что коэффициенты корреляции в общем случаю практически одинаковы. Исследование автором численные значения параметров в функции ослабления прихода суммарной радиации в зависимости от баллов общей облачности приведены в табл. 4.4.

Как видно из таблицы, варианты параметра d в линейном варианте функции $f(C)$ не совпадают с виностой местности и скорее всего имеет случайный характер. Этот же вывод в полной мере справедлив для другого параметра $d_1 C$, который в любом случае при $C=0$ должен быть равен единице. В итоге, определив значения f по данным всех метеорологических станций, в табл. 4.4 найдем универсальную для Средней Азии функцию ослабления прихода суммарной радиации в зависимости от баллов общей облачности

$$f(C) = 1 - 0,05C. \quad (4.23)$$

Наряду с этой формулой, для расчета поступления суммарной радиации при C баллах общей облачности может быть использовано ранее полученное автором [123] выражение

$$f(C) = 1 - 0,0063C - 0,0046C^2, \quad (4.24)$$

поскольку точность аппроксимации $f(C)$ линейной и нелинейной зависимости оказалась почти одинаковой. Проверка формулы (4.24) по изависимым наблюдениям на ряде редников Зайсанского Алатау, Тянь-Шань и Памира показала [119] ее приемлемость в разнообразных условиях.

Таблица 4.4
Параметры линейной функции ослабления суммарной радиации в зависимости от общей облачности (для территории Средней Азии)

Метеорологическая станция	$\alpha_{\text{ку}}$	r	const	β
Талыштепе	0,076	0,98	1,03	-0,06
Алиголда	0,106	1,00	1,00	-0,06
Чурук	0,124	0,96	1,06	-0,06
Чирджеку	0,186	0,90	0,99	-0,06
Басебеев	0,206	0,91	1,00	-0,05
Тасбула	0,236	0,98	1,02	-0,06
Теркес	0,309	0,93	0,93	-0,05
Кайранчукское водокачинение	0,348	0,99	1,00	-0,06
Ташкеев	0,477	0,99	1,02	-0,06
Ферганка	0,578	0,98	1,00	-0,05
Фрунзе	0,756	0,99	1,01	-0,05
Душанбе	0,822	0,99	0,99	-0,05
Алма-Ата	0,847	0,99	0,97	-0,06
Сурамири	2,061	0,87	0,94	-0,09
Кызылташ	2,075	0,96	0,95	-0,06
Таскын, Шагар	3,610	0,88	0,98	-0,03
Лодико, Федченко	4,170	0,97	0,96	-0,04

Примечание. r — коэффициент корреляции, const — значение функции (C) при $C=0$.

Основных источников данных по общей облачности в гляциальных областях являются, очевидно, наблюдения на метеорологических станциях. При современном уровне освещенности высотогорных областей Средней Азии режимными метеорологическими наблюдениями оптимальным вариантом для локальных расчетов суммарной радиации представляется наличие в гляциальной зоне или неподалеку хотя бы одной метеорологической станции.

В горах Средней Азии действует несколько десятков таких станций и этого,казалось бы, достаточно для изучения облачности, хотя бы в первом приближении. Однако продолжительность рядов наблюдений высотогорных метеорологических станций передает оказывается недостаточной для корректировки многолетнего архива метеорологической информации. В этих случаях следует пропускать ряды наблюдений высотогорных пунктов на основе корреляционных связей между коротко- и долгопериодной станциями за континентальный период работы. Приведенные в табл. 4.5 значения коэффициентов корреляции между башмаками пойм облачности в различных высотных зонах нескольких бассейнов Средней Азии показывают, что теснота зависимостей в течение года вполне достаточна для восстановления коротких рядов.

Рассмотрим способы учета уклона и ориентации ледника в расчетах поступающей прямой радиации к его поверхности. Напомним, что средние овеществленные по площаади значения уклона и ориентации ледника включены в число морфометрических характеристик,

Таблица 4.5
Параметры корреляции между средней за день облачностью (в башмаках) в различных высотных зонах и средней облачностью

Место	Базисная р. Пахра	Несколько базисных ледников из трех участков Ичигана, Сынги						Базисная р. Исфара	Измерение облачности, %, путь от источника до Ташкента, 30 км		
		N	r	ρ	b	η	τ				
Октябрь	246	0,95	0,91	0,22	217	0,84	0,77	-0,35	-0,91	-0,92	0,95
Ноябрь	240	0,92	0,92	0,32	180	0,84	0,90	-0,29	-0,80	-0,90	0,95
Декабрь	248	0,94	0,92	0,32	160	0,80	0,85	0,27	-0,83	0,91	0,92
Январь	243	0,93	0,93	0,17	166	0,86	0,86	0,27	-0,72	0,91	0,91
Февраль	226	0,95	0,95	0,23	170	0,81	0,88	0,16	-0,84	0,84	0,87
Март	246	0,91	0,95	0,17	186	0,86	0,90	0,48	-0,72	0,91	0,91
Апрель	240	0,91	0,92	0,53	186	0,90	0,91	-0,53	-0,60	0,91	0,92
Май	238	0,90	0,97	0,81	166	0,87	0,91	0,79	-0,72	0,91	0,90
Июнь	249	0,91	0,97	0,81	140	0,85	0,76	1,73	-0,50	0,90	1,59
Июль	249	0,95	1,0	0,70	185	0,86	0,83	1,38	-0,72	0,91	0,85
Август	246	0,94	0,98	0,56	146	0,90	0,91	0,62	-0,72	0,91	0,97
Сентябрь	249	0,91	0,95	0,37	180	0,85	0,89	0,60	-0,60	0,91	0,95

Примечание. 1. Песок, дистанция метеорологической станции измерением облачности. 2. N — количество измерений. 3. ρ — коэффициент корреляции, η — коэффициент статистики $S(\varepsilon)=S(\varepsilon)+b$, τ — коэффициент корреляции для приусадебных земель средней зоны измерений измерениями из поймы + б.

образующих портреты «средних ледников» в районах гидротехнической области.

Интенсивность поступления прихода радиации на различно ориентированные поверхности, как известно [45, 48, 97, 187], выражается формулой

$$J_{\text{eff}} = J \cos \Phi, \quad (4.26)$$

где

$$\cos \Phi = A_1 + B_1 \cos \tau_1 + B_2 \sin \tau_1; \quad (4.26)$$

$$A_1 = \cos \alpha \sin \varphi \sin \delta + \sin \alpha [\cos \varphi (\operatorname{tg} \psi \sin \varphi \sin \delta - \sin \delta \cos \varphi)]; \quad (4.27)$$

$$B_1 = \cos \alpha \cos \varphi \cos \delta + \sin \alpha \cos \varphi \sin \varphi \cos \delta; \quad (4.28)$$

$$B_2 = \sin \alpha \cos \varphi \sin \varphi \sin \tau_1. \quad (4.29)$$

В (4.25)–(4.29) Φ — угол между нормалью к поверхности и лучом солнца; α — угол наклона склона; ψ , — азимут проекции нормали к склону на горизонтальную поверхность; φ — географическая широта; δ — солнечное сияние. При $\alpha=0$ формулу (4.25) можно записать в виде

$$J'(x_1) = J \cos (90^\circ - h_\varphi). \quad (4.30)$$

Один из способов расчета дневных сумм прямой радиации на склоны различной крутизны и ориентации заключается в численном интегрировании (4.25) по τ_1 при заданных значениях времени восхода и захода солнца в горах.

Другой способ определения $J_{\text{eff}}(t)$, предложенный в [48, 160], основан на аналогичном с (4.20) эмпирически устанавливаемом соотношении

$$f(\mu) = \frac{J_{\text{eff}}}{J}, \quad (4.31)$$

где μ , учитывая (4.25) и (4.30), представляет отношение косинусов наименьших углов между нормалью к поверхности и лучом солнца. Аналитическое выражение для μ

$$\mu = \frac{\alpha_1 \operatorname{tg} \delta + \sqrt{\alpha_2^2 + (\sin \alpha \sin \varphi)^2}}{\sin \varphi \operatorname{tg} \delta + \cos \varphi}, \quad (4.32)$$

где

$$\alpha_1 = \cos \alpha \sin \varphi - \sin \alpha \cos \varphi \cos \varphi; \quad (4.33)$$

$$\alpha_2 = \cos \alpha \cos \varphi + \sin \alpha \sin \varphi \cos \varphi; \quad (4.34)$$

и рабочая формула для определения прихода прямой радиации на склоны различной крутизны и ориентации

$$J_{\text{eff}} = J' (0.86 \mu + 0.15) \quad (4.35)$$

были получены Ю. М. Денисовым [48] по измерениям J_{eff} и J' в горах Западного Тянь-Шаня.

Таким образом, в региональной модели процесса суммарного теплания и гляциации областях расчет поступления суммарной радиации к поверхности ледника в течение года выполняется по формуле (4.10), (4.30), (4.23) в данных о средней за день общей облачности. Вероятно, в отдельных случаях вычисленные значения Q могут заметно отличаться от фактических вследствие неизбежных при региональном подходе упрощений и обобщений. Однако в циклах за месяц, как показано в [100, 110], сходимость результатов расчета и измерений Q вполне удовлетворительная.

Важной частью расчета поглощенной радиации B_0 или аргумента региональной формулы интенсивности таяния снега и льда является определение альбедо A_k — $A_k(z, t)$ основных типов поверхности ледника и склонного покрова во временных зонах подсбора.

В региональной модели процесса суммарного таяния ледников принято, что в течение периода наблюдения осредненные характеристики альбедо снега и льда зависят с учетом временной изменчивости как наименьшие значения для зимнего и летнего снега, старого фирна, обнаженного льда и снега под мореной, т. е. основных типов поверхности, наблюдавшихся на ледниках в период наблюдений. Возможные при этом задачи классификации и описки пространственно-временной изменчивости средних значений альбедо однородной поверхности ледника были подробно рассмотрены в работах автора [105, 109 и 110] с привлечением опицки представительных материалов измерений A_k на ледниках южных горных стран Земного шара.

Не повторяя здесь всех деталей вышеупомянутого ранее анализа, приведем только пределы и средние значения альбедо различных типов поверхности ледника и основные выводы.

Анализ пространственно-временной изменчивости значений выявил следующее.

1. Отражательная способность тяжелой поверхности ледника достаточно четко классифицируется по несколькох градациях A_k , возникающим в связи с визуальными характеристиками покрытия пышью и мореной на поверхности снега и льда. Независимая проверка репрезентативности A_k в табл. 4.6 показала [40, 42, 72] хорошее согласование карт альбедо ледника Джанкуват, построенной по измеренным измерениям и полученной на основе районирования и средних альбедо для выделенных типов поверхности.

2. Альбедоъемка различных поверхностей на ледниках Средней Азии показала весьма незначительную пространственную вариацию A_k на однородных плоскостях. Коэффициенты вариации для типов поверхности в табл. 4.6 составляют: I — 0,08; II — 0,10; III — 0,20; IV — 0,15; V — 0,10; VI — 0,10; VII — 0,08; VIII — 0,05 [105].

3. Анализ изменений во времени t ежедневных средних значений альбедо однородных покровностей ледника позволяет в качестве вполне удовлетворительного приближения привести $A_k(t) =$

—среди, по крайней мере для месячных интервалов. Графики на рис. 4.2 вместе с аналогичными иллюстрациями в [110] подтверждают этот вывод (пик, обусловленный летним осадком, не принимается во внимание).

Результаты немногих стационарных или длительных полустационарных измерений альбедо на ледниках Средней Азии, представленные на рис. 4.3, показывают, что внутренний ход сред-

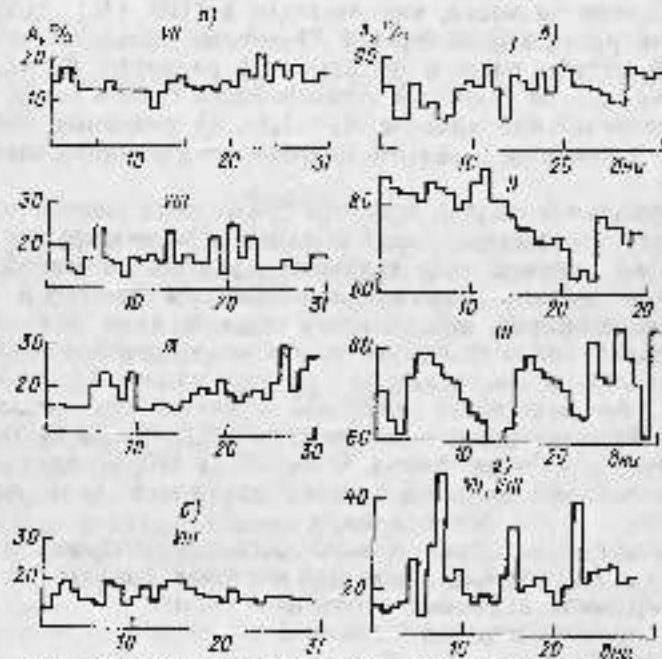


Рис. 4.2. Изменение средних за день эпигенетического альбедо однородной поверхности снега и льда в течение месяца.
а — по данным автора для ледника Иссык-Кульского; б — по материалам ЗАГУСК ил. ледник автора В.; в — по данным исследований Краснодарского института географии АН КиргССР по леднику Коркенского.

Характеристики альбедо (%) сплошной ледяной оболочки

Таблица 4.6

	Тип поверхности ледника							
	I	II	III	IV	V	VI	VII	VIII
Пределы	10—14	15—20	21—25	26—31	34—42	43—51	52—67	71—86
Среднее	12	17	23	30	38	47	58	76

Приложение. I — лед соломенного, II — лед грязевой, III — лед затянутый, IV — лед слабозатянутый, V — лед четвертый, VI — старый снег, слабозатянутый лед, VII — чистый лед, влажный снег, VIII — чистый сухой снег.

ших месячных значений \bar{A}_k на однородных поверхностях может быть аппроксимирована пологой параболой с максимумом, находящимся на июль—август.

Такая же форма кривой внутреннего хода средних месячных значений \bar{A}_k принята в расчетах таяния для слабозатянутого льда (тип IV), старого снега и слабозатянутого фирма

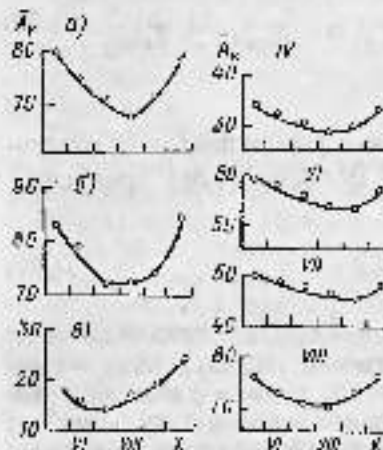


Рис. 4.3. Внутренний ход средних месячных значений альбедо однородных поверхностей снега и льда.

а — по материалам [170] о фирменной оболочке ледника Чуйский Тарбагатай, б — наблюдениям [102] для внутренней оболочки ледника Баласкотского, в — для льда из ледника Кызыл-Кобан — типичной внутренней ледяной оболочки пастбищного типа поверхности ледника (см. классификацию в табл. 4.7).

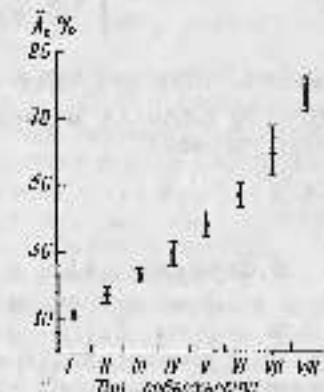


Рис. 4.4. Средние значения альбедо различных типов (точки) поверхности снега и льда в их изменчивости (сплошные линии). Номерами типов см. в табл. 4.7.

(тип VI), частого фирма (тип VII), свежевытранутого ледяного снега (модификация типа VIII). Соответствующие графики $\bar{A}_k(t)$ также приведены на рис. 4.3.

Что касается сплошной хорены на льду (тип I), то постоянство средних значений альбедо этого типа поверхности в течение мая—июля выглядят достаточно очевидными.

Для решения часто встречающейся задачи определения среднего альбедо в области, являющейся ледником, рассмотрим рис. 4.4, где показано изменение \bar{A}_k при переходе от сущего типа поверхности к другому. Как видно, рост альбедо в направлении от типа I к поверхности ледника к типу VIII происходит весьма плавно и в пределах от типа I до типов IV—V представляет собой наиболее быстрый процесс. С учетом этого свойства расчет среднего альбедо для различных типов поверхности на языке ледника после частичного

или лёгкого стопорения зимнего снега выполняется по следующей схеме:

$$\bar{A}_{k_1}(t) = \text{const.}$$

$$\bar{A}_{k_{II-IV}}(t) \leftarrow \begin{cases} \bar{A}_{k_{IV}}(t) \text{ при } S_{\text{м}} = 0, \\ \frac{\bar{A}_{k_{IV}}(t)}{1 + \frac{S_{\text{м}}}{S_{\text{л}}(t)}} \text{ при } S_{\text{м}} > 0, \quad Z_{\text{сн}}(t) > Z_{\text{сн}}. \end{cases} \quad (4.36)$$

описывающей редукцию $\bar{A}_{k_{IV}}(t)$ прямо пропорционально относительной площади мореного покрова. В схеме (4.36) предусмотрено условие

$$1 + \frac{S_{\text{м}}}{S_{\text{л}}(t)} \leq 2 \quad (4.37)$$

В формулах (4.36) и (4.37) $A_{k_1}(t) \geq \bar{A}_{k_{IV}}(t)$ — средние месячные альбедо для типов I—IV поверхности ледника; $S_{\text{м}}$ — площа́дь морены; $S_{\text{л}}(t)$ — площа́дь открытого льда в различные моменты времени; $Z_{\text{сн}}(t)$ — высота сезонной снеговой трации на леднике; $Z_{\text{сн}}$ — верхний предел распространения морены на языке ледника, определяемый из соотношения $s(z)$.

Немногочисленные данные [73, 110, 155, 156, 216] альбедо-съемок показывают, что отражательная способность поверхности ледников наиболее изменчива (коэффициент вариации 0,3—0,5 и более) в областях обледенения, частично покрытых сплошной мореной. При этом отнесение площа́ди морены к площа́ди открытого льда, плотность моренного снега, его фракционный состав являются основными факторами, определяющими пристрастившую вариацию альбедо на языках ледников. Можно полагать, что метод расчета A_{k_1} согласно (4.36), в достаточней мере отражает перечисленные особенности альбедо на ледниках.

Внутригодовой ход отражательной способности снегового покрова вне пределов гляциальной области зависит главным образом от высотности, плотности и интенсивности таяния поверхности снега. В этом случае для расчета альбедо используется модель Е. Б. Трофимовой [202], в которой изменение $\bar{A}_k(z, t)$ в дни без осадков принимается пропорциональным потоку тепла в снег. Далее аналогичное решение было предложено В. Б. Чистяевым [218].

Идею метода Трофимовой, где также используются характерные значения \bar{A}_k , иллюстрирует численная схема

$$\bar{A}_k(t+1) = \begin{cases} \bar{A}_{\text{сн}}^{\text{спр}} \\ \bar{A}_k(t) - (\bar{A}_k(t) - \alpha_k) \alpha_k \Pi(t+1) \varphi[1/(t+1)], \end{cases} \quad (4.38)$$

где $\bar{A}_{\text{сн}}^{\text{спр}}$ — альбето свежевыпавшего снега; $\Pi = \varphi(B_k, \Theta)$ — внешний поток тепла в снег; α_k и α_k — эмпирические параметры.

$$\varphi(\Pi) = \begin{cases} 1 & \text{для } \Pi > 0, \\ 0 & \text{для } \Pi \leq 0. \end{cases} \quad (4.39)$$

Согласно этой схеме, в дни с твердыми осадками A_k равно альбето свежевыпавшего снега, в дни без снегопадов при $\Pi \leq 0$, $A_k(t) = A_k(t+1)$ и в остальных случаях $\Delta A_k = A_k(t+1) - A_k(t)$ пропорционально потоку внешнего тепла в снег. В работе [202] предполагается также, что A_k снега ограничено снизу запечатанными альбето льда.

Гораздо более сложную задачу представляет определение среднего альбето различных типов поверхности ледника с учетом пространственно-временной изменчивости соответствующих площа́дей в течение периода обледенения. Владимиры данных в этом случае являются: абсолютные высоты границ зимнего снега $Z_{\text{сн}}(t)$, единого уровня выгадания или заставки летнего снега $Z_{\text{лв}}(t)$, морфометрические характеристики «среднего ледника» — отметки начала $Z_{\text{н}}$ и конца $Z_{\text{к}}$ ледника, средней многолетней границы области питания $Z_{\text{пт}}$, площа́ди морены $S_{\text{м}}$ и верхней границы ее распространения $Z_{\text{сн}}$.

Блок-схема расчета \bar{A}_k различных типов поверхности ледника приведена в работе автора [119]. Эта же процедура включает определение и заполнение средних взвешенных высот $\bar{z}(t)$ для площа́дей всех основных типов поверхности ледника. Согласно статистической модели гляциальной области, изложенной в разделе 1.2, значения $\bar{z}(t)$ необходимы для расчетов составляющих суммарного таяния ледников.

4.1.2. Температура воздуха и осадки

Средние суточные значения температуры воздуха Θ и суточные суммы осадков q в течение года на различных высотах в гляциальной области и во влажноклиматических зонах горного водосбора использованы для описания и расчета почти всех основных блоков ретикулярной модели режима ледников: баланс аккумуляции и обледенения, динамика сезонной снеговой трации, интенсивность таяния снега и льда, даты начала и конца периода таяния льда. Рассмотрим принятые для этих целей способы описания закономерностей $\Theta(z, t)$ и $q(z, t)$ в условиях Средней Азии.

Как известно, в условиях атмосферы зависимость

$$\Theta(z, t) = \Theta(z_0, t) - \psi(z - z_0) \quad (4.40)$$

представляет собой результат упрощенного решения уравнения переноса тепла в атмосфере. В (4.40) ψ — вертикальный градиент температуры воздуха, $\Theta(z_0, t)$ и $\Theta(z, t)$ — температура воздуха на исходной z_0 и произвольной z высотах в момент t . Коэффициент $\psi = \psi(z, t)$ зависит от температурной стратификации атмосферы и устанавливается по эмпирическим данным.

Как показано, например, в исследовании О. И. Субботиной [193], изменение с высотой температуры огражденного слоя воздуха в горах Средней Азии и целом также подчиняется закономерности (4.40). При этом внутристочная и внутритодовая вариации $\gamma(t)$ в существенной мере [182, 193] обусловлены «фактором Когюшинности», характеризующим геометрию мезорельефа. Установлена также [146, 148, 215] связь вертикального градиента температуры воздуха с условиями погоды в горной долине.

Таким образом, для получения хорошего приближения к истинным значениям средней температуры воздуха на различных высотах необходимо учитывать пространственное распределение форм мезорельефа и другие аэрономические факторы. Исходные данные для решения указанной задачи в бассейнах рек Средней Азии в настоящее время отсутствуют, поэтому в региональной модели процесса суммарного таяния ледника применяется обобщение и стаживание локальных особенностей поля температуры в горах. Обеспечивается это путем сглаживания морфометрических характеристик следснения по районам гляциальной области, расчета γ для зависимости $\Theta(z)$ в целом для бассейна, описание внутритодовой изменчивости γ в конкретном бассейне реки по средним ежегодным значениям температуры воздуха.

Исследования ряда авторов [45, 48, 119, 145, 170] показали, что внутритодовый ход вертикального градиента температуры с достаточной точностью может быть представлен в виде косинусоиды

$$\gamma(t) = \gamma_0 + \gamma_0 \cos \left[\frac{2\pi}{T_0} (t - t_0) \right], \quad (4.41)$$

где γ_0 — средний годовой градиент, γ_0 — полуамплитуда изменения $\gamma(t)$, $T_0 = 365$ сут, t — номер дня в течение года, t_0 — дата максимума $\gamma(t)$.

Линейное уравнение (4.40) вполне удовлетворительно описывает вертикальный профиль $\Theta(z)$ в бассейне, если измерения температуры воздуха на различных абсолютных высотах проведены над достаточно однородной подстилающей поверхностью. При наличии следснения в бассейне, условие однородности подстилающей поверхности нарушается, что приводит к физически искому, хотя и слабо глуиченному явлению «скачка температуры воздуха» на границе гляциальной области и изменению вида общего для бассейна вертикального профиля температуры воздуха.

Следствие нелинейности общего профиля $\Theta(z)$ является возрастание вертикального градиента температуры воздуха γ между пунктами, расположеннымными на различных подстилающих поверхностях (грунт—лед). В связи с этим при экстраполации по формуле (4.40) значений $\Theta(z_0)$ через высотную границу гляциальной области необходимо, по крайней мере в течение периода мая—октябрь, внесение соответствующей поправки к вертикальному градиенту температуры.

Для определения величины поправки рассмотрим приведенные в табл. 4.7—4.8 результаты выполненных автором и другими исследователями [91, 92, 144, 156] расчетов вертикального градиента температуры воздуха для пунктов на однородных (грунт—грунт) и неоднородных (грунт—лед) поверхностях в ряде бассейнов рек Средней Азии и Кавказа. В табл. 4.7—4.8 включены также случаи убывания вертикального градиента γ при переходе общего профиля $\Theta(z)$ через границу следснения. Этот вариант изменения с высотой вертикального градиента, очевидному, является аномальным и объясняется локальными особенностями мезорельефа в районе расположения метеорологической станции. Возможно, что причина отрицательных разностей градиентов в табл. 4.7—4.8 кроется в повышенной облачности за рассматриваемый ряд лет на ледниковых метеопунктах. А увеличение общей облачности, как показано П. А. Черкасовым и Т. Ернекбаевым [215], способствует возрастанию «скачки температуры воздуха» над ледником.

Малое количество общих вертикальных профилей $\Theta(z)$ в бассейнах рек Средней Азии, включающих пункты на грунтовой и ледниковой поверхности, не позволяет установить и описать закономерности изменения $\gamma(t)$ при переходе $\Theta(z)$ через границу следснения. В качестве первого приближения значение поправки к вертикальному градиенту температуры при экстраполяции $\Theta(z)$ в гляциальную область примем среднее за май—октябрь значение положительной разности γ для пунктов измерения температуры воздуха на однородных (грунт—грунт) и неоднородных (грунт—лед) подстилающих поверхностях. Вследствие нелинейности общего вертикального профиля $\Theta(z)$ в бассейне значение поправки зависит от близости пункта на грунтовой поверхности к границе следснения и возрастает по мере сокращения этого расстояния.

Приведенные в табл. 4.7—4.8 данные определений вертикального градиента $\gamma(t)$ в бассейне ледника Федченко показывают, что над однородной ледниковой поверхностью наблюдается уменьшение летних градиентов температуры воздуха и приближение их к значениям для пунктов на грунтовой поверхности.

Рассмотренные здесь материалы подтверждают достаточно сложный характер и слабую изученность «скачки температуры воздуха» при переходе $\Theta(z)$ через высотную границу следснения. В связи с этим при экстраполяции $\Theta(z_0)$ по формуле (4.40) в течение мая—октября через границу гляциальной области следует использовать выражение (4.41) или

$$\gamma(t)v_x = \gamma_0 + \gamma_0 \cos \left[\frac{2\pi}{T_0} (t - t_0) \right] + \Delta\gamma v_x, \quad (4.42)$$

где $\Delta\gamma v_x$ — определенное для мая—октября значение поправки к $\gamma(t)$, пасмурные измерения прежние. Величину $\Delta\gamma$, помимо табл. 4.7, можно получить также по измерениям температуры воздуха на метеорологических станциях в конкретном бассейне,

Внешнеподъемный ход первичных грунтовых температур воздуха в ближних ручьях средней Алтын и Капкасау

Группа гидро- логических типов	Дл. км	Погодно-климатическая температура $Y_{\text{пог}}$, $^{\circ}\text{C}$										E $\frac{E}{E_0}$	Z $\frac{Z}{Z_0}$	
		I	II	III	IV	V	VI	VII	VIII	IX	X	XI		
Гары — Альташ- тун	1,416	5,35	4,84	6,12	4,84	4,98	4,39	5,36	5,48	4,98	5,33	5,48	5,63	6,20
Гары — Ледник Бергомского	3,584	5,11	5,30	5,84	6,31	6,86	7,11	7,11	7,28	7,25	6,92	5,81	5,13	6,34
Акташбазар — Балык Рыбокон- севина	2,178	4,82	5,30	5,97	7,62	8,08	8,49	8,31	8,45	8,72	7,94	6,96	-0,55	6,63
Гары — Лорупт- Күлгөй	1,154	6,76	5,98	6,81	6,34	4,65	5,89	6,07	6,59	6,50	6,33	7,28	7,37	6,11
Гары — Ледник Алданыста	2,514	4,63	4,67	5,31	6,32	6,80	7,60	8,11	8,27	7,72	7,90	6,68	6,37	6,54
Балыктук-Курган — Ледник Абрамопол.	1,360	3,65	3,38	4,93	6,00	8,46	9,04	9,85	9,71	8,75	7,57	6,18	3,68	6,74
Сандыктас — Монастырь	0,092	6,40	7,92	8,21	7,77	7,46	8,87	8,80	7,77	7,18	6,90	6,60	5,72	7,45
Сандыктас — лед- ник ГТЦ	2,078	6,54	7,36	8,52	9,76	8,66	9,05	8,28	8,18	7,70	7,75	7,41	6,98	7,91
Исполедоркуль — ледник ГТЦ	1,396	6,52	7,09	8,67	9,24	9,24	9,17	5,02	8,38	7,95	8,31	7,81	7,00	8,17
Терекол — Пицк Терекол	0,914	5,64	5,54	6,97	7,30	6,78	6,31	5,97	5,20	5,09	4,98	4,98	4,98	5,88
Терекол — Ледо- ник Бий	1,564	5,73	6,08	6,82	7,86	6,85	6,09	6,83	6,56	4,60	5,92	5,08	5,21	6,20
Пицк Терекол — Пицк Дем	0,650	5,85	8,15	6,62	8,15	6,46	7,54	7,08	7,36	3,54	7,08	5,23	5,77	6,64
Ледникол — Б. Кы- зылсу	0,810	7,50	5,54	6,67	7,63	8,02	8,77	8,90	8,64	7,90	7,28	7,78	8,40	7,86
Ледникол — лед- ник Карабатык	1,530	5,00	4,91	5,38	6,35	5,70	7,18	7,50	7,24	6,57	6,61	5,71	5,45	6,14
Б. Кызылсу — ледник Карабат- ык	0,758	1,87	2,91	4,00	5,07	5,47	5,47	6,00	6,73	5,33	4,80	3,47	2,27	4,37

Причины смены. Заметна дифференция $Y_{\text{пог}}$ в табл. 4.7 и 4.8 за периоды V—X и V'—X' представлена собой разности вертикальных групп (групп) по порядку их появления.

Таблица 4.8

Вертикальные градиенты температуры воздуха в летние месяцы в бассейнах рек Средней Азии

Горизонтальная температура воздуха	Δz, км	Нормированный градиент $\bar{\delta}T_{\text{VI}-\text{IX}}$				
		VI	VII	VIII	IX	
Б. Гиресунг — Магнитка	0,745	6,58	7,67	7,18	6,98	
Б. Гиресунг — ледник Центральный Туруксуз	1,198	5,93	7,43	6,76	6,20	-0,48
Мынзакын — ледник Центральный Туруксуз	0,453	4,86	7,05	6,18	5,08	-1,28
Балтык — Алматы	1,371	6,35	6,93	6,49		
Балтык — ледник Толубай	1,886	6,79	7,21	6,96		0,39
Актаурл — ледник Голубой	0,515	7,96	7,96	8,10		1,43
Гушары — Майкура	0,640	7,50	8,44	7,34	7,10	
Гушары — ледник Якоря	2,840	6,55	6,94	6,69	6,00	-1,05
Майкура — ледник Ушарта	2,200	6,27	6,60	6,50	5,73	-1,36
Алтыназар — ледник р. Сельдары	0,120	9,20	10,10	10,10	9,30	
Пойка р. Сельдары — ледник Еланчик	0,700	13,60	12,30	13,10	14,40	3,88
Метеостанция по тайге и фирме ледника Федченко	0,900	4,70	6,80	6,60	7,20	

если на одной из этих станций наблюдается устойчивый снежный покров, а на другой елеяет стаял полностью. Определенное таким способом значение Δz в бассейне р. Пекем оказалось равным 1,33 град/км [226].

Полустационарные исследования на ледниках Средней Азии показали [63, 64, 144, 158], что изменение Δz наблюдается не только в одиночной отдельной ситуации, но и переходе в пределах гляциальной области от льда до снег или фиры. Однако повсеместное отсутствие необходимой систематической информации для полной численной оценки этого явления заставляет ограничиться в настоящей работе упомянутыми вариантами (4.42).

Наиболее общим выражением зависимости суммы осадков от высоты местности в тайге Средней Азии, как показано в работах [17, 18, 170], является формула

$$q(z, t) = q(z_0, t)[1 + b_2(z - z_0) + b_3(z - z_0)^2], \quad (4.43)$$

где b_2, b_3 — параметры; $q(z_0, t)$ и $q(z, t)$ — суммы осадков на высотах z_0 и z в момент времени t . Достижимость уравнения (4.43) является инвариантностью относительно суммирования за любой интервал времени [170]. Согласно [17, 18], значения b_2 и b_3 зависят от уровня z_0 и определяются по формулам:

$$b_2 = \frac{2az_0 + b}{az_0^2 + bz_0 + c}; \quad (4.44)$$

$$b_3 = \frac{a}{az_0^2 + bz_0 + c}, \quad (4.45)$$

где a, b, c — параметры зависимости суммы осадков от высоты местности, вычисляемые по методу наименьших квадратов. Изменчивость параметров b_2 и b_3 в различных горных подошвенных Средней Азии проанализирована в работе [170], а внутригодовой ход этих коэффициентов — в [35, 170].

Не останавливаясь на всех деталях исследований, зависимостей $q(z, t)$, содержащихся в упомянутых работах, отметим только, что, согласно [35, 170], удовлетворительным аналитическим приближением временной изменчивости b_2 и b_3 считаются выражения:

$$b_2(t) = b_2 + A_2 \cos \left[\frac{2\pi}{T_2}(t - t_0) \right]; \quad (4.46)$$

$$b_3(t) = b_3 + A_3 \cos \left[\frac{2\pi}{T_3}(t - t_0) \right], \quad (4.47)$$

которые использованы автором при расчете суточных сумм осадков в бассейнах рек Средней Азии по формуле (4.43). Здесь b_2 и b_3 — среднегодовые значения параметров b_2 и b_3 ; A_2 и A_3 — полуамплитуда их изменения; $T_2=365$ сут, t_0 и t_3 — константы, учитывающие сдвиг фаз.

Численные значения коэффициентов для зависимостей (4.43) — (4.47) в бассейнах рек Средней Азии определяются по данным метеорологических станций и постов, которые за крайне редкими исключениями расположены за пределами гляциальных областей. Следовательно, формула (4.43) не отражает плавного изменения повышенной концентрации зимне-весенних твердых осадков на поверхности ледника по сравнению с аналогичным снега на тех же высотах на склонах бассейна ледника. Воинству аналогичная учету «температуры скакак», по практическим навыкам автора, задала шедеврия соответствующих поправок в месячные и сезонные значения аккумуляции на ледниках, если их рассчитывать согласно уравнению (4.43). В связи с этим автором разработан метод коосенного определения годовой аккумуляции на ледниках.

Данный метод, основанный на расчете многолетнего ряда максимальных высот снеговой траншаны на ледниках и учитывающий балансовое соотношение между аккумуляцией и абляцией, подробно изложен в главе 3 настоящей работы.

Использование одномерного выражения (4.43) для описания вертикального распределения осадков предполагает также, что высота местности является доминирующим фактором в многомерной зависимости осадков от пространственных координат. Практические подтверждения этого положение для бассейнов рек Средней Азии содержатся во многих гидрологических и климатологических обобщениях (см., например, [76, 78, 79]). Следует, однако, иметь в виду, что в зависимости от масштаба описания закономерностей количества осадков во многих случаях бассейнов состоя аргументов в уравнении (4.43) может быть увеличен. Так, расчет частных коэффициентов корреляции для зависимостей месячных и годовых сумм осадков от удаленности от тыловых и боковых гребней водоразделов в бассейнах рек Талас, Сурхандарья, Ахангаран показал [31], что влияние горизонтальных координат не распределение осадков, как правило, является значимым. Особенно существенной остаточная корреляция осадков с расстоянием x до тылового гребня оказалась в бассейне р. Сурхандарья для периода октябрь—май ($r_{x, \text{т}} = 0,63 \pm 0,00$).

Аналогичные результаты получены Л. Д. Богдановой и М. И. Гетжером [14, 29] для сумм осадков за год и сезоны октября—март, апрель—сентябрь по бассейнам р. Нарын и ее притока Иссык-Куль, Чаткальскому, Кураминскому, Ферганскому и Алайскому хребтам. При этом в целом для бассейна р. Иссык-Куль для любых интервалов времени влияние высоты местности на распределение осадков выглядит гораздо менее эффективным по сравнению с влиянием расстояния.

Однако на мезомасштабном уровне обобщенная информация по осадкам коэффициент корреляции годовых сумм осадков с высотой над уровнем моря в одном из частных водосборов (р. Чоп-Казысу) бассейна р. Иссык-Куль, определенный автором по данным [59], оказался равным 0,90.

Перечисленные сведения, по мнению автора, доказывают возможность существования в бассейне горной реки семейства индивидуальных зависимостей $\varphi(z)$, отражающих мезомасштабные особенности распределения осадков в условиях сложной орографии. Для учета этих особенностей вертикального распределения осадков в региональной модели суммарного таяния ледников существуют два пути: 1) если позволяют пеходные данные, определять параметры уравнения (4.43) применительно к районам гляциальной области, 2) использовать для расчетов законы изменения снега во внутрь ледниковых зон бассейна только ту часть общей зависимости $\varphi(z)$, которая относится к достаточно однородному по условиям аккумуляции интервалу высот.

4.2. Блок-схема региональной модели процесса суммарного таяния ледников

Дифференциальная по типах поверхности расчет внутреннего и многолетнего режима суммарного таяния ледников в бассейнах рек Средней Азии состоит из ряда подготовительных и вычислительных операций, выполняемых в определенной последовательности.

Наиболее трудоемкой частью расчета суммарного таяния является предварительная подготовка и обобщение режимно-сравнительных материалов. На стадии подготовки данных для конкретного речного бассейна выполняются следующие процедуры:

а) создание на машинном носителе (перфокарты, магнитная лента) циркульного многолетнего архива суточных сумм осадков, средних суточных значений температуры воздуха и базисов общей облачности по наблюдениям метеорологической станции;

б) определение параметров зависимостей осадков, температуры воздуха и общей облачности от высоты местности и описание внутренногодового хода этих параметров;

в) выделение в пределах гляциальной области групп ледников базис или харкес однотипных по морфологическим признакам или расположенным в однородных орографических условиях;

г) расчет средних и средних зависимых по площади обобщенных морфометрических характеристик «средних ледников» для каждой из групп в пределах гляциальной области;

д) расчет за многолетний период индекса баланса аккумуляции и таяния в гляциальных областях и реконструкция соответствующего по времени ряда максимальных высот снеговой траншаны для каждой из выделенных групп ледников.

На первом этапе расчета сухарного таяния ледников в некотором бассейне определяются даты начала и конца периода таяния льда на концах «средних ледников». Для расчета $d_{\text{ст}}$, начиная с 1 октября с шагом по времени 1 сутки и по высоте 10 м для всей гляциальной области в интервале вносят от самой низкой из всех отметок Z_k до самой высокой из Z_n «средних ледников» вычисляется по схеме (3.61) распределение возможной сезонной сплошной покровы как функция высоты местности. На каждом шаге по t последовательно снизу вверх проверяется условие (3.62), выполнение которого является критерием для определения дат начала таяния льда на концах «средних ледников».

Далее для расчета $d_{\text{ст}}$ на концах «средних ледников», начиная с соответствующих t_m до 31 октября с шагом по $t=1$ сут, реализуется схема (3.63). В конечном счете для определения дат окончания периода таяния льда используется вычислительная производительность вычислительных и таяния осенне-зимнего снега на высотах Z_k «средних ледников».

В качестве исходной информации для расчета многолетнего ряда $d_{\text{ст}}$ и $d_{\text{ок}}$ в отдельных районах гляциальной области необходимы многолетний архив метеорологических элементов (тем-

тература воздуха, осадки, общая облачность), морфохетрические параметры «средних ледников», географическая широта гляциальной области, параметры локальных зависимостей $\Theta(z, t)$, $q(z, t)$, региональных формул интенсивности таяния и ослабления суммарной радиации в зависимости от баллов общей облачности и др. Эти данные подробно перечислены в описаниях программ ARMELT и SMELT.

Заключительный этап расчета суммарного таяния ледников делится по времени на 3 части: с 1 мая до $d_{\text{пр}}$ от $d_{\text{пр}}$ до $d_{\text{ок}}$ от $d_{\text{ок}}$ до 31 октября. Общая для следования Средней Азии продолжительность расчетного периода с 1 мая до 31 октября принята для того, чтобы $d_{\text{пр}}$ и $d_{\text{ок}}$ при любых условиях находились в утре интервала превращения, который захватывает предшествующий и последующий за периодом таяния льда сезона, когда ледники полностью покрыты снежным покровом. Таким образом, дифференцированный расчет составляющих суммарного таяния согласно моделям (1.30) естественно вливается во внутригодовой режим аккумуляции и таяния в гляциальных областях.

С 1 мая до даты начала таяния льда на поверхности «среднего ледника» тает только зимний или срежевытавший весенне-летний снег. Возможно также одновременное таяние японского и срежевытавшего снега, если твердые осадки не покрыли всю площадь ледника.

Расчет процессов таяния и выпадения снега на «средних ледниках» с 1 мая до дат начала таяния льда выполняется в региональной модели с шагом по времени 1 сут и по высоте 50 м в интервале от Z_k до Z_p . Соответственно указанным значениям пространственно-временных координат вычисляются суточные значения суммарной солнечной радиации с учетом ослабления Q_e общей облачностью, средние суточные температуры воздуха и суточные суммы осадков. Распределение по z всех этих перечисленных используется в расчетах объемов таяния $v_{\text{т}}(t)$ и $v_{\text{сн}}(t)$. Определение албедо $A_k(z, t)$ занято и весенне-летнего снега выполняется по схеме (4.38).

В региональной модели процесса суммарного таяния в гляциальных областях предусмотрено, что в течение интервала времени от $d_{\text{пр}}$ до $d_{\text{ок}}$ слагающимся $v_{\text{т}}(t)$ являются все или только некоторые из следующих объемов таяния: льда под мореной (этот компонент отсутствует, если нет сплошной морены), открытого льда, старого флага (при $Z_{\text{тс}}(t) > Z_{\text{л}}$), замерзшего и ледистого снега.

Как показано в разделе 3.3, определенный и абсолютный вклады каждого из этих компонентов в сухарные объемы таяния за момента t и в целых интервала времени $d_{\text{пр}} - d_{\text{ок}}$ зависят, в частности, от высоты сезонной снеговой границы на ледниках. В связи с этим основой для определения слагаемых суммарного таяния в гляциальных областях является расчет движения $Z_{\text{тс}}$ от $d_{\text{пр}}$ до $d_{\text{ок}}$.

Расчет $Z_{\text{тс}}(t)$ выполняется по формуле (3.49) с учетом выпадения и таяния летне-весеннего снега отдельно для каждого

района-подмощества в гляциальной области с шагом по времени 1 сут. В зависимости от положения $Z_{\text{тс}}(t)$ относительно устойчивых характерных отметок на «средних ледниках» (Z_k , $Z_{\text{ок}}$, $Z_{\text{л}}$, Z_u), выделяем на их поверхности интервалы высот и площади с различными условиями таяния: $S_{\text{тс}}(t)$ при $S_{\text{тс}} > 0$; $S_{\text{л}}(t)$; $S_{\text{ок}}(t)$ при $Z_{\text{тс}}(t) > Z_{\text{л}}$; $S_{\text{ок}}(t)$; $S_{\text{ок}}(t)$ при $q_{\text{ок}}(t) > 0$. Для каждого из 5 типов поверхности находим среднюю избыточную высоту и на этом уровне температуру воздуха к суммарную радиацию с учетом ослабления общей облачностью. Среднее албело для каждого типа поверхности ледника определяется по методу автора, изложенному в разделе 4.1.1.

Затем выполняется расчет таяния $v_{\text{т}}(t)$, $v_{\text{л}}(t)$, $v_{\text{ок}}(t)$, $v_{\text{сн}}(t)$, $v_{\text{ок}}(t)$ и сушарование этих величин по группам ледников в интервалах высот от Z_k до $Z_{\text{ок}}$ и от $Z_{\text{ок}}$ до Z_p с шагом по высоте 50 м.

После окончания периода таяния льда всю поверхность ледника покрывается постепенно накапливающейся снега очередного периода аккумуляции. Средний слой снега выдавающихся твердых атмосферных осадков определяется по формуле (3.58). В промежутках между снегопадами возможно незначительное таяние осенне-зимнего покрова, если позволяет приток внешнего тепла. Расчет таяния и толщина снега на ледниках в интервале времени от $d_{\text{ок}}$ до 31 октября выполняется с шагом по $t = 1$ сут и с учетом распределения по высоте основных факторов таяния — солнечной радиации и температуры воздуха.

Таким образом, максимальной пространственной разрешающей способностью региональной модели процесса суммарного таяния является группа ледников или район-подмощество гляциальной области. Для каждой такой группы расчет составляющих суммарного таяния к ледникам стока с 1 мая до 31 октября выполняется с шагом по времени 1 сут. Шаг по высоте с 1 мая до $d_{\text{ок}}$ и от $d_{\text{ок}}$ до 31 октября составляет 50 м.

Полученный, согласно изложенной модели, внутридоловой гидрограф сухарного таяния ледников может быть исправлено с помощью как функции поступления в модель трансформации таяния в сток. Опыт показал [119], что при этом достигается высокая степень измеренного и вычислительного гидрографа стока. Тем не менее, учитывая необходимость определения в формулах интенсивности таяния и качества пространственной экстраполяции в высокогорных бассейнах данных по температуре воздуха, осадкам и общей облачности, результаты расчета внутридолового режима суммарного таяния в ледниковых стоках целесообразно также определять за декадные или месячные интервалы времени.

Расчеты многолетнего режима суммарного таяния ледников и ледникового стока в соответствии с изложенной здесь методикой были выполнены в следующих бассейнах рек Средней Азии: Малая Амударья, Алаарча, Талас, Ислем, Исфара, Зеравшан (Матча), Сарыдракас, Муксу и отдельно для бассейна ледника

Федченко и ледника Абрамова (бассейн р. Колы, Алтайский хребет). Региональная модель автора с успехом была использована также на Кавказе в бассейнах рек Терек и Ингури.

4.3. Анализ качества результатов расчета суммарного таяния ледников

Исходя из опыта письменных гляциологических исследований, можно утверждать, что корректное определение объема суммарного таяния V_m на плоскости отдельного ледника или из группы возможно только путем раздельной оценки таяния за летнего и зимнего спектра, фирна, обнаженного льда, и льда под мореной. Многолетние непосредственны измерения с хорошей точностью составляющих V_m в течение всего периода абляции практически неосуществимы для гляциальной области и даже на плоских ледниках сопряжены с большими техническими трудностями.

Описаные методами расчета таяния ледников показывают, что даже ограниченно исходящая региональская модель тающего суммарного таяния в гляциальных областях включает различные физико-статистические зависимости, опиравшиеся внутргодовой режим аккумуляции и абляции на ледниках и ряд численных процедур, необходимых для получения в координатах x, t промежуточных и заключительных результатов расчета.

Независимо от структуры такой модели к началу блоков, грануляции необходимых в расчетной схеме, следует иметь:

- обобщение морфометрических характеристик множества ледников, образующих гляциальную область;
- разработку регионального метода расчета интенсивности таяния на поверхности ледников Средней Азии в условиях ограниченности исходной информации;
- определение в соответствии с размерностью модели, метеорологических характеристик (осадки, солнечная радиация, температура воздуха, облачность, сильнод и т. д.), обуславливающих интенсивность таяния снега, фирна и льда в течение периода абляции;
- создание на технической основе архива входной информации в формат удобной для расчета суммарного таяния ледников на ЭВМ;
- расчет в каждом году дат начала и конца периода абляции;
- определение внутргодовой изменчивости площадей зимнего и летнего спектра, льда под мореной, открытого льда и фирна на ледниках;
- суммирующие результатов вычислений составляющих V_m , представление их в виде, соответствующем уровню обобщенных исходной информации в расчетных формулах.

На различных этапах разработки и реализации региональной модели процесса суммарного таяния избежано возникновение систематических и случайных погрешностей. Как правило, эти агрегаты связываются либо с сознательным упрощением решения

в связи с недостатком входной информации и ограниченными возможностями ее пространственно-временной экстраполяции в условиях сложной орографии, либо с неподконтрольной ошибкой о моделировании процесса.

Исследование возможностей приимка результатов расчета суммарного таяния в целом за период абляции или отдельные миссии показывает, что в большинстве случаев нет достаточных оснований использовать как этапы давние цепосредственных измерений таяния на ледниках. В основном эти сведения относятся к довольно отраженному в пространстве или во времени диапазону условий расхода снега и льда в сращивательно доступных и безотносимых местах области абляции.

Прямые определения аккумуляции и абляции на ледниках являются пригодными для оценки качества региональной модели процесса суммарного таяния, если количество пунктов измерений и их планово-часовое распределение установлены методом оптимизации ошибки выборочного среднего искаженной характеристики (см., например, [52, 53, 81–83]). Такая постановка вопроса требует детального исследования и аналитического описания закономерностей пространственной и временной изменчивости полей аккумуляции и абляции на ледниках. Эта проблема в целом пока не имеет удовлетворительного решения, хотя некоторый практический опыт уже имеется. Так, в работе [75] особенности статистической структуры полей толщины снежного покрова на леднике Абрамова использовались для оценки качества цепочек измерений.

На леднике Джанкуат приведена [40, 42, 155] методика определения таяния по регулярной сети рек в высотно-морфологических зонах, имеющихся достаточно однородные показатели выстиженции и крутизны поверхности. Вертикальная протяженность высотно-морфологических зон составляет от 50 до 130 м. Такой подход, несомненно, способствует хорошему приближению к пятичленным значениям таяния, для оценки которого тем не менее необходим учет пространственных корреляционных связей таяния внутри высотно-морфологических зон.

Поскольку точность иreprезентативность прямых измерений суммарного объема таяния или его составляющих неизвестны, было бы нецелесообразно принять критерий достоверности результатов расчета в виде минимума абсолютного значения разности $A - V_{m_p} - V_{m_n}$ между вычисленным V_{m_p} и измеренным V_{m_n} объемами таяния. Более правильным и универсальным способом оценки является графическое сравнение и определение коэффициента корреляции между величинами V_{m_p} и V_{m_n} . На графике связи легко установить наличие систематических или случайных отклонений результатов расчета относительных условий $V_{m_p} = V_{m_n}$, а качество связи следует оценивать, используя критерии принятые в системе Госкомгидромета СССР, для линейных прогнозистических зависимостей. Так, согласно [175], зависимость считается хорошей, если коэффициент корреляции составляет не менее 0,80.

Учитывая изложенные здесь обстоятельства, рассмотрим результаты проверки соответствия измеренных и рассчитанных объемов таяния ледников.

Наиболее подходящим в Средней Азии объектом для анализа качества результатов расчета составляющих V_M является группа 12 Тууксуйских ледников в верховьях р. Малой Амматинки. На самом крупном из них — леднике Центральном Тууксу — спроектирован Сектор географии АИ КазССР в течение нескольких лет осуществляющий обширную программу стационарных и полустационарных гляциологических исследований. Результаты работ систематически публикуются и в существенной мере способствуют развитию и уточнению представлений о режиме современного горного снегообразования.

Особенностью методики измерения составляющих суммарного объема таяния на ледниках Тууксуйской группы из работ К. Г. Макаревича и П. Ф. Шабданова [162, 166] известно, что аблигационные наблюдения производились из четырех ледников по 90 рейкам. Эти рейки были установлены на 15 поперечных профилях в различных условиях таяния, причем 66 реек и 7 поперечников находились на языке ледника Центрального Тууксу. Показания по рейкам, забуревшим и лед на глубину до 3 м, снимались как минимум в начале и конце периода аблигации.

Аблигационная и таянка зимнего и летнего снежного покрова на языках и областях питания ледников Тууксуйской группы наиболее детально изучались [63, 167, 194] на леднике Центральном Тууксу, где параллель с измерениями на 7 ранее упомянутых поперечных профилях, в фирновой области проводилась снегосъемка и было установлено 8 реек. Наблюдения за режимом снежного покрова осуществлялись также на поверхности ледников Ильи Тууксу (2 поперечных профиля) и Молодежного (1 профиль, хотя и в незначительно меньшем объеме).

Таким образом, на всех измерительных на Тууксуйских ледниках составляющих суммарного объема таяния наибольшее подходящими для сравнения с результатами расчета являются пришедшие в работах [162, 166, 168] выборочные оценки объемов V_M таяния льда под мореной, обнаженного льда и старого фирна в целом за период аблигации. О погрешностях этих оценок в указанных работах не сообщается.

Расчет внутригодового и многолетнего режима таяния на ледниках Тууксуйской группы был выполнен за 1941—1974 гг. на основе станционарной метеорологической информации, данных Каталога ледников СССР и сведений в работах [161, 165]. Для определения средней суточной интенсивности таяния снега и льда были использованы региональная и локальная одно- и двухфакторные формулы $M(B_k, \Theta)_{\text{рас}}$, $M(B_k, \Theta)_{\text{лев}}$ и $M(\Theta)_{\text{лев}}$.

В соответствии с предложенными здесь критериями рассмотрим представления в табл. 4.9 и на рис. 4.5 степени сходимости выборочных рассчитанных и измеренных значений суммарного объема таяния льда и старого фирна на Тууксуйских ледниках.

Оценивая результаты сравнения измеренных и вычисленных по различным формулам объемов таяния льда и старого фирна в группе Тууксуйских ледников отметим следующее.

1. Высокие коэффициенты корреляции между V_M и V_M указывают на однозначность временной изменчивости и устойчивость относительной амплитуды суммарных объемов таяния в сравниваемых группах.

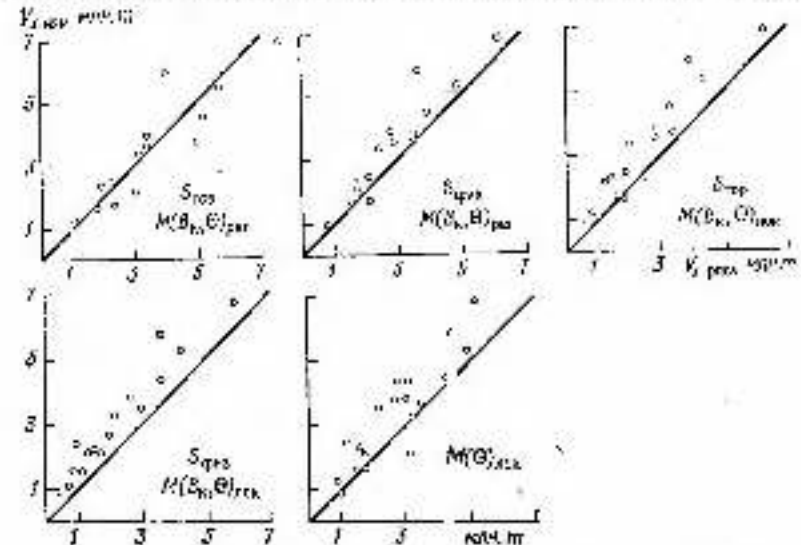


Рис. 4.5. Сходимость рассчитанных с применением различных формул интенсивности таяния и измеренных объемов суммарного таяния льда на шести ледниках Тууксуйской группы в бассейне р. Малой Амматинки.

Таблица 4.9

Оценка сходимости измеренных и рассчитанных объемов таяния

Характеристик	Формулы для расчета интенсивности таяния				$R_{\text{н.в}}$	
	$M(B_k, \Theta)_{\text{рас}}$		$M(B_k, \Theta)_{\text{лев}}$			
	$S_{\text{рас}}$	$S_{\text{лев}}$	$S_{\text{рас}}$	$S_{\text{лев}}$		
$r_{\text{н.в}}$	0,91	0,95	0,94	0,94	0,92	
\bar{V}_M , тыс. куб. м	3,40	2,78	2,61	2,33	2,74	
Коэффициент вариации	0,20	0,20	0,18	0,17	0,20	

Приложения: 1. $r_{\text{н.в}}$ — коэффициент корреляции измеренных и вычисленных объемов таяния за 1967—1974 гг. 2. Коэффициент вариации измеренных объемов таяния равен 0,20. 3. Средний за 17 лет измеренный объем таяния 3,25 тыс. куб. м. 4. $S_{\text{рас}}$, $S_{\text{лев}}$ — параметры расчета таяния со горизонтальной физической поверхностью ледником.

всех выборках. Следовательно, если рассматриваемые выборки V_{M_1} , V_{M_2} использовать для построения зависимости с некоторой третьей переменной, то результат был бы практический одинаковый.

2. Несколько сложнее обстоит дело сценариями условия равенства объемов V_{M_1} и V_{M_2} , поскольку результаты вычислений обусловлены не только формулами интенсивности таяния, но и точностью расчета дат начала и конца периода абляции.

Расчеты дат конца цергии льда оказались наиболее близкими к наблюдениям к лишенными систематической ошибки, когда в вычислениях параметрической таяния из локальной формулы $M(B_n, \Theta)$ учитывались экспозиция и угол поверхности Туюксуйских ледников. В большинстве случаев удовлетворительные результаты расчета $d_{\text{ср}}$ дали присущие региональной формулы $M(B_n, \Theta)$ также с учетом уклона и экспозиции поверхности.

Таким образом, прицеленная во внимание дополнительное условие наилучшей сходимости наблюдаемых к рассчитанных дат начала и конца периода абляции, самыми обоснованными являются результаты расчета таяния льда и старого фирне по локальной и региональной формуле $M(B_n, \Theta)$ с учетом уклона и экспозиции поверхности. Ключевым подтверждением этого вывода можно считать также заметное уменьшение разброса точек на графиках сравнения объемов V_{M_1} и V_{M_2} при $S = S_{\text{фирн}}$ относительно вариантов V_{M_2} при $S = S_{\text{лед}}$.

3. Судя по рис. 4.5, объемы таяния, полученные с использованием двухфакторных формул, несколько западают относительно измеренных значений. На рисунке параллели зависимостей $\varphi(z, t)$, $\Theta(z, t)$ или в других эмпирических формулах, погружаются почти идеально совпадение сравниваемых объемов. Однако такая корректировка эмпирических формул имеет смысл, если известно, что результаты измерений таяния являются абсолютным контролем эталоном.

4. Результаты использования региональной формулы $M(B_n, \Theta)$ для определения дат начала и конца периода абляции и объемов таяния льда и старого фирне из Туюксуйских ледниках подтверждают целесообразность применения этой формулы в гипсометрической области Западного Алатау.

Таких образом, проверка разработанной автором схемы расчета на примере определения одного из основных коэффициентов суммарного таяния в группе Туюксуйских ледников показала приемлемость методики в целом.

Удобным объектом для контроля расчетов суммарного таяния является также ледник Абрамова (Алайский хребет, бассейн р. Коксу), где Среднесаянскому региональному научно-исследовательскому институту (САННИ им. В. А. Бутава Госкомгидромета) проводят стационарные гляциологические работы по программам международных гидрологических и гляциологических проектов.

Определения составляющих суммарного таяния на леднике Абрамова выполняются сотрудниками САННИ ежегодно по обширным рейям с посредством периодических склономерных съемок. По сообщению [74, 75, 156, 197], частота пунктов измерений таяния в области обятия составляет 23 рейта на 1 км², а в фирновой области — 9 реек на 1 км².

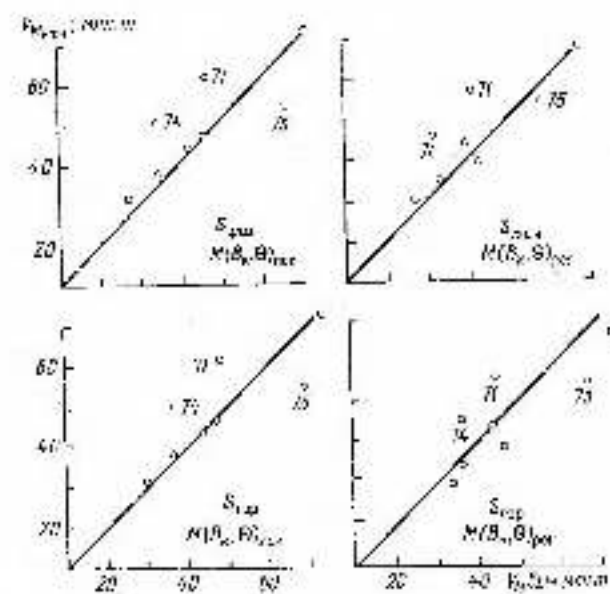


Рис. 4.6. Сходимость вычисляемых и измеренных объемов суммарного таяния на леднике Абрамова.

Число у точек — годы.

Входной информацией для расчетов V_M и его составляющих служили данные пахорской температуры воздуха, осадков и общей областности на метеорологической станции ледника Абрамова и морфометрические характеристики глетчера, содержавшиеся в работах [74, 156, 197]. Для сопоставления с результатами расчетов суммарного таяния на леднике Абрамова использованы обобщения за 1968–1975 гг. измерений составляющих баланса ледника, приведенные в работе [156].

Сходимость измеренных и рассчитанных объемов суммарного таяния на леднике Абрамова иллюстрирует рис. 4.6. В связи с ограниченностью данных сравниваемых выборок коэффициенты корреляции между V_{M_1} и V_{M_2} не вычислялись.

Графический анализ условий равенства объемов V_{M_1} и V_{M_2} позволяет считать вполне удовлетворяющими результаты еще одной проверки метода расчета суммарного таяния. Важно отме-

тить также хорошее качество расчетов V_M с использованием регрессионной формулы $M(B_0, \Theta)$ и средних эквивалентных уклонов и экспозиций поверхности ледника Абрамова.

Помимо использования при определении V_M обобщенных показателей уклона и экспозиции поверхности ледников существует и другие возможность уточнения результатов расчета суммарного таяния, которую правильнее рассматривать как необходимый этап при реализации предлагаемого метода. Суть этой процедуры заключается в повторном анализе и оптимизации состава индекса баланса аккумуляции и таяния в гляциальной области.

В разделе 3.1 было показано, что начальный состав I_B должен включать метеорологические элементы, являющиеся коэффициентами характеристики приходной и расходной статей водного баланса бассейна. Поскольку эти элементы измеряются в отдельных, весьма редких пунктах в водосборах, то критерием представительности имеющихся в пакетах пунктов-элементов принята теснота зависимости типа пакета компонента I_B или их сухими с объемом летнего стока.

Определенный таким способом индекс баланса используется для оценок $Z_{\text{бал}}$, которые необходимы для расчета суммарных объемов таяния V_M и V_m в течение многолетнего периода. Эти объемы целесообразно рассматривать в качестве первого приближения функций $V_M = f(I_B)$ и $V_m = f(I_B)$, чтобы, дополняя состав I_B , попытаться повысить коэффициент корреляции данных зависимостей.

Возможность уточнения состава индекса баланса основана на приращении в I_B метеорологических элементов, позволяющих улучшить описание условий таяния и соответственно репрезентативность результатов расчета $Z_{\text{бал}}$, V_M , V_m . Уточненный индекс баланса используется затем для повторных определений $Z_{\text{бал}}$ и составляющих суммарные таяния гляциальной области.

Описанная процедура представляет собой итерацию, которая, несомненно, способствует уменьшению погрешностей расчета V_M и V_m . Эффективность такой итерации иллюстрируют примеры уточнения начального состава индекса баланса, представленные в табл. 4.10.

Как видно из табл. 4.10, добавление в начальный состав I_B индекса общей областности существенно увеличило коэффициенты корреляции связей $V_M(I_B)$ и $V_m(I_B)$ в гляциальных областях бассейнов рек Пекех и Исфара. Значение этого комбинациита для уточнения условий таяния в течение мая—октября очевидно.

В третьей главе работы при обсуждении вопросов использования висестоящих многолетних рядов $Z_{\text{бал}}$ на примере бассейна р. Пекех устанавлена возможность упрощенного расчета $Z_{\text{бал}}$ по эмпирическим формулам (3.19)–(3.23), аргументом которых является индекс баланса в его начальном составе. Учитывая результаты уточнения состава коэффициентов I_B в гляциальной

Таблица 4.10

Коэффициенты корреляции пакетов синтетического таяния V_M и V_m с различными вариациями состава начального баланса в бассейнах рек Пекех и Исфара

Фактор области обитания	Индекс I_B	Расчеты, проведенные с различным составом начального баланса					
		$Z_{\text{бал}}$	V_M	V_m	$Z_{\text{бал}}$	V_M	V_m
$M(B_0, \Theta)$, пакет	$Z_{\text{бал}}$	-0,806	-0,877	-0,856	-0,442	✓	✓
	$V_M - f(I_B)$	-0,878	-0,869	-0,903	✓	✓	✓
	$V_m - f(I_B)$	-0,734	—	-0,638	-0,676	✓	✓
$M(\Theta)$, пакет	$Z_{\text{бал}}$	-0,854	—	-0,881	✓	✓	✓
	$V_M - f(I_B)$	-0,877	—	-0,905	-0,907	✓	✓
	$V_m - f(I_B)$	—	—	—	—	—	—

Примечание: 1. V_M — суммарный объем таяния пакета с пакетом $Z_{\text{бал}}$, для которого, сопоставленного с $Z_{\text{бал}}$ и стационарного V_M — общим таянием реки и первого фильтра;

2. q , G , C_1 , b — аналогичны пакетам $Z_{\text{бал}}$, V_M , V_m ; Θ — температура испарения; $✓$ — обработка та же пакетом, что и пакетом исходного пакета.

3. Знак \leq указывает, что либо пакет $Z_{\text{бал}}$ в составе I_B близок к пакету $Z_{\text{бал}}$ по узкополосной корреляции, либо пакет $Z_{\text{бал}}$ не пропозитивен.

области бассейна р. Псекум, приведен здесь иконачальные варианты тех же эмпирических уравнений для $Z_{\text{акв}}$ (км):

$$\text{район 1: } Z_{\text{акв}} = 3,544 - 0,450I_{\text{л}}; \quad (4.48)$$

$$\text{район 2: } Z_{\text{акв}} = 3,619 - 0,589I_{\text{л}}; \quad (4.49)$$

$$\text{район 3: } Z_{\text{акв}} = 3,598 - 0,474I_{\text{л}}; \quad (4.50)$$

$$\text{район 4: } Z_{\text{акв}} = 3,789 - 0,493I_{\text{л}}; \quad (4.51)$$

$$\text{район 5: } Z_{\text{акв}} = 3,895 - 0,322I_{\text{л}}. \quad (4.52)$$

Среднеквадратичная ошибка расчета $Z_{\text{акв}}$ соответствует 0,020; 0,025; 0,021; 0,022; 0,014. Таким образом, уточнение состава $I_{\text{л}}$ более чем в два раза уменьшило погрешность определения $Z_{\text{акв}}$ в бассейне р. Псекум по формулам $Z_{\text{акв}} = f(I_{\text{л}})$.

В дополнение к сравнениям рассчитанных значений суммарного таяния с данными природных измерений склонности к среднему для гляциальных областей косвенными методами определения многолетнего слоя аккумуляции ($L_{\text{акв}}$). В частности, значение $L_{\text{акв}}$ нетрудно получить на основе балансового сопоставления

$$\bar{L}_{\text{акв}} = \frac{1}{N} \sum_{i=1}^N V_{\text{акв},i} / S_{\text{акв},i} \quad (4.53)$$

где $S_{\text{акв}}$ — количество лет, $S_{\text{акв}}$ — площадь ледников в гляциальной области, а расходная часть баланса массы соединение в каждом i -том году

$$V_{\text{акв},i} = V_{\text{рн}} + V_{\text{т}} + V_{\phi} + V_{\text{ж}} \quad (4.54)$$

определенное путем реализации разработанного автором метода расчета составляющих $V_{\text{м}}$.

Другим способом косвенной оценки $L_{\text{акв}}$ является широко используемое (см., например, [69, 141, 184, 210, 230]) для определения аккумуляции равенство

$$\bar{L}_{\text{акв}} = \bar{L}_{\text{лд}} \quad (4.55)$$

на уровне границы фирнового покрова $Z_{\text{фп}}$. В настоящее время для расчета $\bar{L}_{\text{акв}}$ в уравнении (4.55) используются формулы виде $\bar{L}_{\text{акв}} = f(\bar{V}_{\text{лд}}, \bar{V}_{\text{лп}})$, предложенные в работах [141, 142, 207].

Значения $\bar{L}_{\text{акв}}$ и $\bar{L}_{\text{лд}}$ могут быть приведены друг к другу при определенных условиях: а) $Z_{\text{фп}}$ является средней измеренной высотой ледника, б) пространственная изменчивость $\bar{L}_{\text{акв}}$ может быть выражена линией функцией абсолютной высоты. Тогда, как показано в работе [170], имеет место строгое равенство $\bar{L}_{\text{акв}} = \bar{L}_{\text{лд}}$.

На основе анализа материалов в Каталоге ледников СССР и данных по балансу массы ледников в работах [246, 249, 264] полагаем, что перечисленные условия выполняются в крайней мере для групп ледников.

В табл. 4.11 представлены косвенные оценки среднего многолетнего слоя аккумуляции в ряде гляциальных областей Средней Азии, полученные извественными методами согласно выражениям (4.64) и (4.65). Как видно, сходимость значений $\bar{L}_{\text{акв}}$ и $\bar{L}_{\text{лд}}$ не остается всегда лучше, что еще раз подтверждает вполне удовлетворительное качество результатов расчета составляющих $V_{\text{м}}$, и баланса массы ледников по методу, изложенному в настоящей работе.

Таблица 4.11
Определение среднего многолетнего слоя аккумуляции в ряде гляциальных областей Средней Азии

Гляциальная область	$S_{\text{акв}}$ км ²	Баланс (ЛД)		$\bar{L}_{\text{акв}}$ км	Литер
		$V_{\text{лд}}$ км ³	$\bar{L}_{\text{лд}}$ км		
Зеркало (Мечка)	472,7	981,1	1970	1000	[230]
Чуйкуй	1270,1	462,3	360	<500	[143]
Столб ледника Федченко	214,0	262,3	1220	1200	[143]

Аналогичное заключение можно сделать также в случае сопоставления рассчитанных объемов таяния открытого льда на площасти ствола ледника Федченко в 1959 г. На основе многотисячных материалов, полученных на леднике Федченко по программе МГГ, объем $V_{\text{лд}}$ определен Ю. Н. Лесником [154] равным 171 млн. м³. По нашим расчетам значение $\bar{L}_{\text{лд}}$ в 1959 г. составило 180 млн. м³.

С целью изучения возможностей применения разработанной автором схемы расчета суммарного таяния ледников за пределами горной территории Средней Азии было выполнено определение исходных объемов таяния льда, фирна, зимнего и летнего снега на ледниках Большого Кавказского хребта в бассейнах рек Терека за 1950—1974 гг. и Ингури за 1951—1975 гг.

Общая площадь ледников в бассейне р. Терека составляет [92] 102,2 км², или 6,5 % площади водосбора до гидроузла Орджоникидзе. Оледенение бассейна р. Ингури занимает [91] 284,5 км², или 16,3 % площади водосбора до гидроузла Хапши. Ледники бассейна р. Ингури расположены на южном склоне Большого Кавказского хребта в условиях обильного увлажнения. Средняя годовая сумма осадков в гляциальной области превышает здесь [92] 2000 мм и равномерно распределена внутри глица. Гляциальная область в бассейне р. Тереке находится на северных склонах Большого Кавказа, где по данным работы [92] средняя годовая сумма осадков достигает 1400—1500 мм. Только сухая первая часть годовой суммы осадков выпадает в течение ноября—марта. Таким образом, режим аккумуляции и

тяния на ледниках в рассматриваемых бассейнах довольно различен.

Для расчета на ЭВМ объемов таяния ледников в бассейне р. Терека использованы двухфазовая $M(B_{\text{н}}, \Theta)$ региональная формула (2.66) интенсивности таяния, полученная по измерениям на ледниках Средней Азии, и однотипная локальная формула

$$\tilde{M}_{\text{н}} = 0.690_{\text{н}} + 0.28, \quad (4.56)$$

параметры которой определены автором по данным [92, 211] измерений M и Θ на леднике Гергети. При выводе формулы (4.56) использованы 32 пары средних декадных значений таяния и температуры воздуха. Коэффициент корреляции зависимости $M(\Theta)$ равен 0,86, среднеквадратичная ошибка расчета M составляет 0,73 см/сут. Формула (4.56) применима также для расчетов суммарного таяния ледников в бассейне р. Ингур.

Оценки: результативности и качества рассчитанных объемов суммарного таяния ледни-

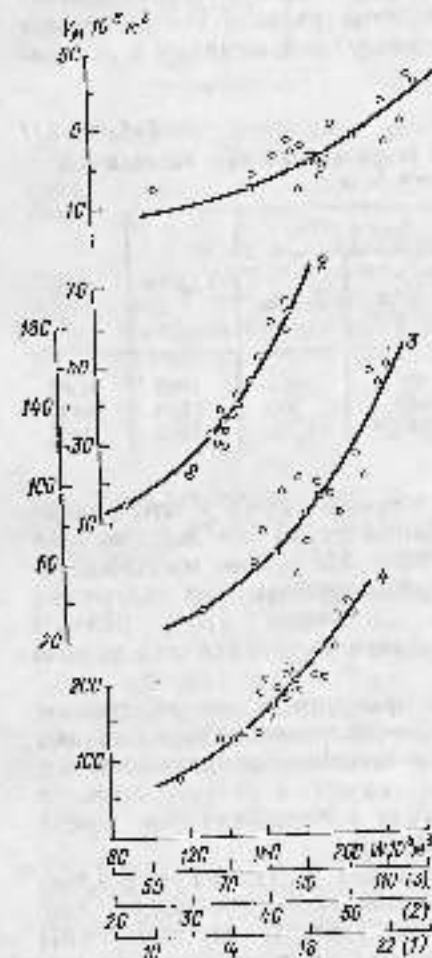


Рис. 4.7. Зависимость между суммарным объемами стока V_M и летними объемами стока W_M в отдельных районах гляциальных областях бассейна р. Терек.

1 — р. Чхери — р. Кизляр; 2 — р. Терек — р. Кизляр; 3 — р. Терек — р. Ондзинская; 4 — р. Терек — р. Даргинская; 5 — р. Ингур — р. Кизляр.

ков V_M в бассейнах рек Терек и Ингурт получены путем графического сравнения значений V_M и объемов ледникового стока W_M в этих же бассейнах, определенных по методу В. Ш. Цомая [212]. В обоих случаях результаты сопоставления показывают хорошее согласование между объемами таяния и ледникового стока в гляциальных областях бассейнов рек Терека и Ингурта.

В качестве примера рассмотрим результаты сопоставления объемов V_M и W_M в бассейне р. Терека, представленные на рис. 4.7. Ха-

рактерной чертой графиков для отдельных районов, посомкенно подчеркивающей хорошее качество расчетов V_M , является линейная зависимость между объемами V_M и W_M и систематическое превышение суммарного объема таяния над ледниковой составляющей стока р. Терека. Тем самым показана приемлемость в условиях Кавказского оледенения не только в целом метода расчета суммарного таяния ледников, но и региональной формулы $M(B_{\text{н}}, \Theta)$ интенсивности таяния, полученной по данным измерений на ледниках Средней Азии.

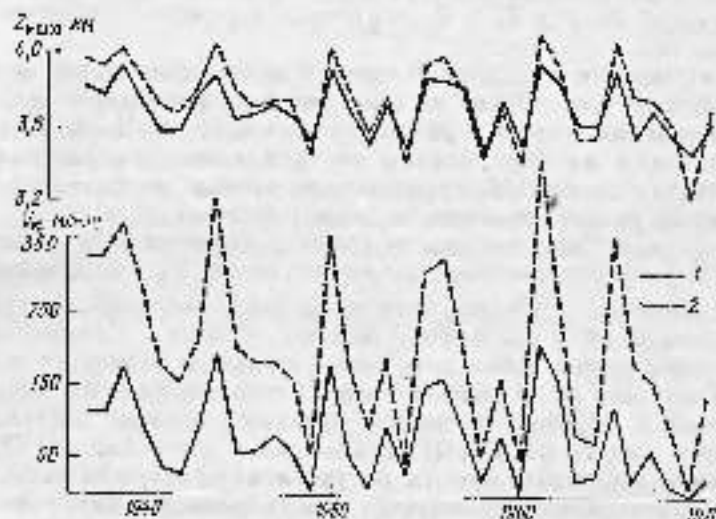


Рис. 4.8. Графическое сравнение $Z_{\text{Мнс}}$ сезоночной снежной таяния и объемов ледникового стока V_M в бассейне р. Терека, рассчитанных по методу автора (1) с результатами вычислений по методу Л. Н. Боровиковой (2).

Удачной попыткой включить в модель формирования стока в бассейнах рек Средней Азии хотя бы некоторые принципиальные особенности условий таяния на ледниках является работа П. Н. Боровиковой [17, 18]. В частности, суммарный объем таяния льда в модели Боровиковой определяется с учетом движущего и течущего тела транзитного сезонного снежного покрова по поверхности водосбора. В связи с этим имеет смысл сравнение наших и полученных Боровиковой для бассейна р. Псекем значений $Z_{\text{Мнс}}$ сезонной снежной таяния к суммарным объемам таяния льда. Отметим, что таяние льда тол морской и старого фибра при $Z_{\text{Мнс}} > Z_{\text{Ф}}$ в модели Боровиковой не рассматривается.

Графическое сопоставление для бассейна р. Псекем полученных автором значений $Z_{\text{Мнс}}$ сезонной снежной таяния и объемов таяния V_M , с результатами расчета аналогичных характеристик по модели Боровиковой показано на рис. 4.8.

Систематическое расходление срываютских данных объясняется следующими причинами.

1. В модели Боровиковой движение снеговой границы $Z_{\text{сн}}$ в диапазоне высот от нижней Z_b до верхней Z_t границы оледенения рассчитывается по тем же зависимостям, что и на неоледниковой территории. Естественно, при этом не учитывается существующее отличие в аккумуляции и скорости таяния зимнего снега, заблокированного в гляциальных областях. Стена на графике знака отложенных $Z_{\text{сн}}$ в отдаленные годы указана тем, что в модели автора диапазон вычисления $Z_{\text{сн}}$ на «средних ледниках» задан в виде $Z_b \leq Z_{\text{сн}} \leq Z_t$, где Z_b и Z_t — отметки верхнего и нижнего края ледника.

2. Интенсивность таяния M снега и льда в расчетах Боровиковой по бассейну р. Пскем задана как одноФакторная функция температуры воздуха Θ , причем, если $\Theta \leq 0$, то $M=0$. Как уже было сказано, влияние моренок на течение льда не учитывалось, а площадь от нижней границы оледенения до $Z_{\text{сн}}$ при $Z_b < Z_{\text{сн}} \leq Z_t$ рассчитывалась как поверхность льда.

В конечном счете все это привело к значительному систематическому преувеличению объемов таяния V_M , и ледники были стоком в бассейне р. Пскем, хотя временная изменчивость срываемых значений в основном довольно близка. Скорее всего, именно этим можно объяснить положительный результат использования данных Л. Н. Боровиковой в математических моделях [170] стока р. Пскем, где вместо реальных величин поступления достаточно знать некоторый, связанный с ними индекс. Однако для оценки динамики водных ресурсов бассейна р. Пскем, сток которого используется для гидроэнергетики, прозрачия и других нужд, использование такого индекса целесообразно.

Сравнение предшествующих и новых полученных данных о $Z_{\text{сн}}$ снеговой границы и объемах таяния V_M в бассейне р. Пскем показали, что применение более совершенной методики расчета таяния в гляциальных областях позволяет существенно уточнить представление о величинах суммарного таяния ледников. А это имеет несомненное научное и практическое значение для характеристики водных ресурсов бассейна, обоснования вопросов оценки дополнительного объема ледникового стока, исследование режима и эволюции ледниками.

4.4. Таяние и сток в гляциальных областях

В результате детальных исследований водно-ледового баланса установлено [40, 41, 153, 159, 261 и др.], что ледники не являются насекимими дренажными системами для стока талой воды. Постепенное насыщение водой нижнего снега на ледниках в начале периода абляции, заполнение опущающихся снеговыми сходами и последующее их опорожнение приводят к сплетчатическому увеличению водоотдела ледников во второй поубийствене абляционного пе-

риода, когда коэффициент стока превышает единицу. Ежегодно определяемая часть снега не попадает в русло реки, так как вследствие инфильтрационного ледообразования становится элементом приподнятой части баланса массы ледников.

Учитывая эти особенности водоснабжения ледников, рассмотрим методы определения головных объемов ледникового стока и его внутритидового гидрографа.

В первом приближении очевидной формой взаимосвязи между суммарными за год или май—октябрь объемами таяния ледников и ледникового стока W_M является уравнение

$$W_M = \eta V_M, \quad (4.57)$$

где η — интегральный коэффициент стока за первые абляции. Суммарную величину испарения можно или временно не рассматривать, или полагать, что она учтена при определении суммарного объема таяния ледников V_M .

Условия стока талой воды на леднике в областях с положительными и отрицательными годовыми балансом массы существенно различны, поэтому правую часть уравнения (4.57) следует представить в виде

$$\eta V_M = \eta_1 V_{M_1} + \eta_2 V_{M_2}, \quad (4.58)$$

или

$$\eta = \eta_1 \frac{V_{M_1}}{V_M} + \eta_2 \frac{V_{M_2}}{V_M}, \quad (4.59)$$

где η_1 — коэффициент стока из области л с отрицательным годовым балансом массы ледника; η_2 — коэффициент стока из области г с положительным годовым балансом массы снега; граница раздела между ними проходит на высоте, равной $Z_{\text{сн}}$; V_{M_1} и V_{M_2} — суммарные объемы таяния в соответствующих областях.

По исключению абляционного периода все перечисленные параметры таяния и площади областей л и г известны, поэтому вместо (4.59) напишем

$$\eta = \eta_1 \frac{M_1 S_n}{M_1 S_{r_1}} + \eta_2 \frac{M_2 S_n}{M_2 S_{r_2}}, \quad (4.60)$$

откуда видны все аргументы, определяющие интегральный коэффициент стока. В (4.60) M_{r_1} , M_{r_2} , M_n — некоторые средние сток таяния на склонах S_{r_1} , S_{r_2} , S_n , удовлетворяющие условию

$$M_{r_1} = \frac{V_{M_1}}{S_{r_1}}; \quad (4.61)$$

$$M_{r_2} = \frac{V_{M_2}}{S_{r_2}}; \quad (4.62)$$

$$M_n = \frac{V_{M_n}}{S_n}. \quad (4.63)$$

Для ледников с фирновым питанием, которых в Средней Азии абсолютное большинство, область Δ при $Z_{\text{выс}} \leq Z_{\text{фир}}$ включает только язык ледника, а при $Z_{\text{фир}} < Z_{\text{выс}} \leq Z_0$ в ее состав входит часть глоумации, где стачивают многолетние занесы фирна. Следовательно, величина τ_1 будет зависеть от соотношения площадей льда и старого фирна в конце периода аблации, обладающих различной [40] водоудерживающей способностью.

Коэффициент τ_1 зависит от фильтрации талой воды из области Δ . Например, по данным [165, 167], в области аккумуляции ледника Центрального Тянь-Шаня установлено наличие трех зон льдообразования: инфильтрационно-конденсационной, инфильтрационной и инфильтрационно-рекристаллизационной. Причем наблюдения показали, что в последней зоне происходит полное усвоение талой воды. Естественно, величина τ_1 в данном случае будет определяться относительным склоном в S_0 зоне с различными условиями склона.

Все эти особенности практическим образом учтены при региональных определениях коэффициентов τ_1 и τ_2 , поэтому рассмотрим возможность упрощенных оценок в основном уравнении (4.68).

Если допустить, что

$$M_\Delta = M_u = M_{\text{ак}}, \quad (4.64)$$

то объемы таяния V_{M_Δ} и V_{M_u} будут соответственно одинаковыми и зависимыми, однако сумма их

$$V_M = V_{M_\Delta} + V_{M_u}, \quad (4.65)$$

останется без изменения. Тогда вместо (4.66) получим

$$\tau_1 = \eta_1 \frac{S_u}{S_{\text{та}}} + \eta_2 \frac{S_u}{S_{\text{ра}}}, \quad (4.66)$$

а поскольку $S_{\text{ра}} = S_u + S_{\text{ра}}$, то

$$\eta_2 = \eta_1 \left(1 - \frac{S_u}{S_{\text{ра}}}\right) + \eta_1 \frac{S_u}{S_{\text{ра}}}. \quad (4.67)$$

На основании этого уравнения находим τ_1 и τ_2 . Так, при $Z_{\text{выс}} = Z_0$ и соответствующем $S_u = 0$ $\eta_1 = \eta_2$, а при $Z_{\text{выс}} = Z_0$ и $S_u = S_{\text{ра}}$ $\eta_1 = \eta_2$. Численные значения η_1 и η_2 можно установить, если в табл. с экстремальными положениями $Z_{\text{выс}}$ на ледниках известны суммарные объемы таяния и ледникового стока.

Анализ структуры интегрального коэффициента стока τ показывает, что при постоянных η_1 и η_2 ущельная водоотдача в единице площади ледника, где средний модуль ледникового стока, зависит от соотношения площадей S_u и $S_{\text{ра}}$. Это положение удачно использовал В. Ш. Цомай [212], получив эмпирическую формулу для расчета среднего хесечного модуля ледникового стока в виде

$$M_{\text{ст}} = \alpha_w 51 (1 + \theta), \quad (4.68)$$

где

$$\alpha_w = 0.75 + 2.2 K^2, \quad (4.69)$$

— безразмерный структурный коэффициент, характеризующий изменение ущельной водоотдачи ледника в зависимости от относительной площади области аблации K . θ — средняя месячная температура воздуха на высоте фирновой границы. Учитывая, что численный эмпирический характер формулы (4.68) получен Цомаем по измерениям $M_{\text{ст}}$ и θ на леднике Гергети (бассейн р. Терека), необходимо исследовать возможность применения формулы (4.68) в разнообразных условиях.

Рассмотрим далее другой способ определения стока из области Δ и в на леднике в целом за период аблации при условии, что в каждом году линия раздела между этими областями является средней многолетней линией фирмовой границы. Тогда в расчетах суммарного таяния в стоке площади S_u и $S_{\text{ра}}$ указываются постоянными величинами, что соответствует существующему на леднике устойчивых морфологических областей — языка ледника и области питания, обладающих, как известно, различной способностью задерживать и усваивать талой воды.

Наиболее простой вопрос о головном стоке из области S_u , для которой в расчетах водного баланса обычно пренебрегают [40, 42, 165] уменьшение объемов суммарного таяния и стока. Это допущение также используется в излагаемой упрощенной схеме определения суммарного стока от таяния на склонах ледников.

Приближенная оценка суммарного объема стока от таяния из центральной S_u основана на интересной особенности усвоения талой воды в фирновой области, выявленной [40, 165, 167, 213] путем последовательных измерений составляющих инфильтрационной аккумуляции $A_{\text{ак}}$ на ряде ледников, расположенных в различных климатических условиях.

Установлено, что годовые значения $A_{\text{ак}}$ в отдельных пунктах фирновой области остаются сравнительно постоянными даже при существенных колебаниях объемов суммарного таяния на склонах S_u . Данный факт позволяет отождествлять фирновую область с произвольно распределенной в пространстве, но постоянной водоудерживающей емкостью.

В частности, этот вывод хорошо подтверждает измерения и расчеты внутреннего питания на леднике Джашкудук, где установлено [165], что ежегодно в течение 1968—1971 гг. среднее значение внутреннего питания в фирновой области оставалось практически постоянным, несмотря на значительные колебания суммарных объемов аблации, которые в экстремальные годы отличались здесь в два раза.

Тогда, как предполагает Г. Н. Голубец [40], головой сток из области S_u следует определять в виде разности между суммарными поступлениями талой воды к потерям на заполнение водоаккумулирующей емкости

$$W_c = V_{M_u} - V_\tau, \quad (4.70)$$

где $V_\tau \approx \text{const}$ — годовой объем инфильтрационной аккумуляции.

Значение V_n можно найти из условия стационарности объема областей льда в среднем за многолетний период, согласно которому расход льда на языке ледника $V_M(AB)$ равен суммарной аккумуляции V_{Ab} в области питания. В общем случае V_M складывается из инфильтрационной аккумуляции и несравненное остатка V_{Ab} занесенного снега на площади S_L :

$$V_M(AB) = V_{Ab}, \quad (1.71)$$

$$V_{Ab} = V_n + V_{ns}. \quad (1.72)$$

В уравнении (1.72) V_n и V_{ns} являются зависящими от временем, соотношение между которыми принимается [213, 223] в качестве критерия при типизации процессов льдообразования на ледниках.

В частности, граничными условиями наиболее распространенных [139, 141, 213] в Средней Азии инфильтрационного и инфильтрационно-конденсационного типов льдообразования считаются соотношения

$$\frac{V_{ns}}{V_n} \approx v_n \text{ или } v_n \approx 2,5v_s, \quad (1.73)$$

$$0,4v_n \leq v_n + v_s, \quad (1.74)$$

где v_n — объем конденсированного льда. Тогда вместо (1.72) можно записать

$$V_{Ab} = 3,5v_n, \quad (1.75)$$

откуда, учитывая (1.71), получаем приближенную оценку v_n

$$v_n \approx \frac{V_M(AB)}{3,5}. \quad (1.76)$$

Таким образом, установленное из данным измерений свойство $v_n \approx \text{const}$ и метод определения инфильтрационной аккумуляции, согласно (1.76), является основанием для расчета годового объема стока из областей питания в соответствии с (4.70).

В итоге для определения годового объема ледникового стока W_0 в бассейне или отдельном районе гидрологической области получаем формулу

$$W_0 = V_M(AB) + \left(V_M(AB) - \frac{V_M(AB)}{3,5} \right), \quad (1.77)$$

которая учитывает бегание аккумуляции и явления на площади оледенения. В этом уравнении $V_M(AB)$ включает объемы талы под мореной, открытого льда, зимнего и летнего снега на площади от конца ледника Z_L до средней многолетней высоты Z_{fr} границы фирнового питания

$$V_M(AB) = \int_{Z_{fr}}^{Z_L} \int_{S_L}^Z v_M(z, t) dz dt, \quad (1.78)$$

$V_M(AB)$ — объемы талы на старото фирна при $Z_{fr} > Z_{fr}$ заложено и первого снега на площади от Z_{fr} до высоты Z_L начала ледника

$$V_M(AB) = \int_{Z_{fr}}^{Z_L} \int_{S_L}^Z v_M(z, t) dz dt. \quad (1.79)$$

Коэффициент 3,5 в формуле (4.76), согласно П. А. Шумскому [223], зависит от соотношения плотностей верхнего слоя льда и фирна. Следовательно, в расчетах W_0 по формуле (4.77) необходимо учитывать пространственную вариацию этого коэффициента.

Наряду с уравнением (4.77) годовой объем ледникового стока можно представить, приравнивая его ледово-фирновой составляющей суммарного объема талы, т. е. $W_{fr} = W_{fir} - V_M$:

$$V_M = V_{fr} + V_L + V_{ns}. \quad (1.80)$$

Такая трактовка талы на ледникового стока имеет исходно сугубо количественные сноски среди гидрологов, которые ставят отталкивание зимнего снега на площади оледенения ведут к снеговому питанию рек.

Следует отметить, что принципиальное значение то или иное содержание понятия ледникового стока имеет только при восстановлении водного баланса в гидрологических областях. Для водопользования или при определении водного баланса речного бассейна эти различия не важны, поскольку в любом случае суммируются все элементы притокной и расходной частей уравнения водного баланса.

Определения основных составляющих суммарного объема ледникового стока в экстремальные и средний по условиям талы годы (см. приложение III) выполнены в бассейнах рек Малой Амударии, Аларчи, Пекем, Исфари. Из этих данных следует, что в различные по условиям талых год от $1/4$ до $1/2$ годового объема ледникового стока образуется в областях питания ледников, если расчет W_0 выполнять по методу водного баланса только для гидрологических областей.

Если же ледниковой составляющей стока реки определять на основе годового баланса твердых осадков для всего бассейна, то, как это делают ряд авторов [144, 221, 228 и др.], объем талых спелодовых вод следует относить к сезонному снеговому питанию реки. В разделе 5.2 монографии показано, что такой подход к определению коэффициентов ледникового стока позволяет существенно усовершенствовать методику тритиоза стока вегетационного периода на реках со снегово-ледниковыми и ледниково-щетиновыми типами питания. Спектр физико-географических явлений ледников, как и другие особенности формирования стока на различных подстилающих почвенно-литогенных в бассейне, находят свое отражение в форме зависимости между объемом снегового стока и зимне-весенними осадками.

Результаты расчета, характеризующие многолетний гидрологический режим оледенений в некоторых бассейнах рек Средней Азии, приведены в табл. 4.12.

Таблица 4.12
Годовые объемы стационарного таяния ледников (в млрд. м³) в бассейнах рек Средней Азии

Год	V_m — средн. год.	V_M	V_M — сток из ледника	$S_{l,l}$ — область таяния ледника	$S_{l,2}$ — область таяния ледника	V_M — сток из ледника	V_M — сток из ледника
1949	218,0	207,3	141,0	—	—	—	—
1950	207,0	203,0	140,0	204,0	190,0	190,0	190,0
1951	205,0	203,0	141,0	204,0	190,0	191,0	190,0
1952	198,0	193,0	135,0	192,0	182,0	182,0	182,0
1953	192,0	187,0	132,0	187,0	182,0	183,0	182,0
1954	194,7	196,0	142,0	197,0	189,0	189,0	189,0
1955	196,0	197,0	143,0	198,0	191,0	191,0	191,0
1956	195,0	196,0	142,0	197,0	190,0	190,0	190,0
1957	192,0	193,0	139,0	191,0	184,0	184,0	184,0
1958	197,6	200,0	146,0	201,0	194,0	194,0	194,0
1959	196,0	195,0	145,0	197,0	190,0	190,0	190,0
1960	195,0	194,0	144,0	196,0	189,0	189,0	189,0
1961	190,0	190,0	140,0	191,0	186,0	186,0	186,0
1962	192,0	194,0	142,0	193,0	188,0	188,0	188,0
1963	196,0	196,0	146,0	197,0	191,0	191,0	191,0
1964	197,6	200,0	147,0	201,0	195,0	195,0	195,0
1965	196,0	195,0	146,0	197,0	190,0	190,0	190,0
1966	195,0	194,0	145,0	196,0	189,0	189,0	189,0
1967	195,0	194,0	144,0	195,0	188,0	188,0	188,0
1968	190,0	190,0	140,0	191,0	186,0	186,0	186,0
1969	187,0	186,0	139,0	188,0	185,0	185,0	185,0
1970	190,0	190,0	140,0	191,0	187,0	187,0	187,0
1971	192,0	193,0	142,0	194,0	189,0	189,0	189,0
1972	197,6	200,0	147,0	201,0	195,0	195,0	195,0
1973	197,6	200,0	147,0	201,0	195,0	195,0	195,0
1974	195,0	194,0	146,0	196,0	191,0	191,0	191,0
1975	195,0	194,0	145,0	195,0	190,0	190,0	190,0

Суммарный таяние за период 1 квартал — 31 декабря, V_m — среднеквадратичное значение таяния ледника.

Суммарный таяние за период 1 квартал — 31 декабря, V_M — годовая сток из таяния ледника.

В табл. 4.13 дана сводка определений различными методами среднего годового объема ледникового стока в ряде бассейнов рек Средней Азии. Рассчиты Б. А. Камалова, А. С. Щетинникова, А. Н. Креше выполнены по методике Кренке-Ходакова, вслего которой для статистического режима слошненящих среднегодового стока ледникового стока, включают замену льда, фарка и солоного снега, приравниваясь годовому значению забицки из уровня знатности плавания. Данные А. О. Кеммериха получены методом расчленения гидрографов стока рек.

Таблица 4.13

Оценки среднего годового объема ледникового стока в некоторых бассейнах рек Средней Азии

Бассейн реки	Средний многолетний ледниковый сток		Средний многолетний пресноводный сток, подсчитанный автором	
	авторские оценки	объем стока $m^3/10^6$, т	объем стока $m^3/10^6$, т	авторский
Пекен	Б. А. Камалов [89] А. О. Кеммерих [16] А. Н. Креше [141]	345 282 290	187,6	1949—75
Исфара	Б. Л. Шульц [221] А. С. Щетинников [230] А. О. Кеммерих [98]	133+ 222,8 176	114 (V_M) 230,7	1950—70 1966—70
Сарычик	А. О. Кеммерих [92] А. Н. Креше [141]	1646 1220	1416	1951—79
Зеравшан (Матча)	О. П. Шеглов [224] А. О. Кеммерих [99] А. С. Щетинников [230] А. Н. Креше [141]	1780** 1057 911 990	1138	1949—73
Мукус	А. Н. Щеглов [94] А. Н. Креше [141]	1850** 1880	1102	1949—75

Примечания: 1) V — сток от таяния льда, V ** — объем не исключает сток от таяния каскадного снега на новых ледниках; 2) данные Б. Л. Шульца и О. П. Шегловой пересчитаны автором с учетом современных сведений о площадях водосборов, полученных А. С. Щетинниковым; 3) для сопоставления с данными В. Л. Шульца приведены объемы ледникового стока V_m , включаяние таяние льда и криогенного фарка; 4) период определения в расчетах Камалова, Щетинникова, Креше 1881—1960 гг.

Как видно, следствием средних значений трехлетних рядов V_0 и V_M , полученных автором, с данными других исследователей следует признать вполне удовлетворительной, если принять во внимание различия в длительности периодов осчисления.

Полученные автором наблюденные ряды объемов ледникового стока наносятся вместе генеты в гипотезу В. Л. Шульца [221] о малой временной изменчивости ледникового питания рек Средней Азии. Как видно из табл. 4.14, коэффициенты вариации

Таблица 4.14

Коэффициенты вариации годовых объемов суммарного таяния ледников и ледникового стока в ряде бассейнов рек Средней Азии (по [МДР 76 гг.])

Бассейн	Годовые объемы	
	Суммарное таяние ледников	Ледниковый сток
Пенза	0,40	0,37
Эсазиган (Марса)	0,29	0,39
Калмыку	0,52	0,36
Сурхоб	0,26	1,25
Мурук	0,57	1,49
Сардара (бассейн ледника Федченко)	0,40	1,13

ледникового стока превышают изменчивость объемов суммарного таяния ледников и стока в бассейне.

Для изыскания причин большей изменчивости объемов ледникового стока рассмотрим представленные в табл. 4.15 и 4.16

Таблица 4.15

Коэффициенты вариации (C_v) водного эквивалента сезонного снежного покрова в бассейне р. Сырдарья (по данным автора)

Река	Высота, м	C_v	Река	Высота, м	C_v
Чечаны	1,04–2,13	0,41	Нарзариям	3,20–3,50	0,51
Терс	1,96–2,56	0,31	Анбуря	2,65–3,17	0,55
Марған	1,90–2,76	0,43	Бухтар	1,82–2,00	0,56
Гавасай	2,09–2,73	0,48	Кирасары	3,19–3,10	0,76
Испатара	1,96–2,19	0,47	Сусамыр	2,21–3,02	0,34
Исфара	3,00–3,40	0,57	Нарма	3,51–3,92	0,49
Ноғайрия	2,25–2,83	0,48			

значения коэффициентов вариации водного эквивалента сезона снежного покрова и суммы осадков за октябрь–март в бассейнах рек Сырдарья и Амударья.

Прямая связь между C_v ледникового стока и изменчивостью величины снега и твердых осадков в полосе очищивания, поскольку объем аккумулируемого зимнего снега на ледниках определяет продолжительность периода аблации льда и тем самым влияет на потенциальный объем ледникового стока. Независимо от твердых осадков своей вклад в многолетнюю изменчивость ледникового стока вносят также метеорологические условия периода аблации.

Таким образом, предоставленные в табл. 4.15 и 4.16 достаточно большие значения коэффициентов вариации для оценки гидро-

Таблица 4.16

Коэффициенты вариации сумм осадков за октябрь–март по станциям в бассейнах рек Сырдарья и Амударья (данные автора и [26])

Станция	z, км	C_v	Станция	z, км	C_v	
Бассейн р. Сырдарья						
Чир. Чапчана	2,269	0,41	Каракукон	2,418	0,41	
Андреевка	2,214	0,33	Ишкандерка	2,300	0,36	
Калмыкия	2,080	0,38	Калара	2,250	0,46	
Гисек	1,256	0,33	Оларчи	2,220	0,41	
Джинчук	3,100	0,27	Альбаш	2,090	0,43	
Лебапсога	2,890	0,18	Сусамыр	2,063	0,32	
Чалргаш	2,748	0,34	Нарма	2,049	0,36	
Хазар	2,500	0,36	Бассейн р. Амударья			
Кичкакалай	2,390	0,38	Карзали	3,460	0,40	
Қызылтажар	2,230	0,45	Лахушаноз	3,410	0,27	
Сулжурган	2,168	0,38	Нарх	3,200	0,38	
Суралан	2,050	0,27	Атмансазэр	2,782	0,49	
Гер. Гудиль	3,570	0,52	Джекут	2,664	0,31	
Тюшуну коки	3,300	0,22	Иланшик	2,521	0,04	
Каракалпакия	3,080	0,51	Даргут-Курган	2,470	0,38	
Джало	3,049	0,38	Мангушшаты	2,354	0,42	
Ария	2,900	0,44	Чекицдеркуль	2,204	0,36	
Кирккүдкүр	2,800	0,32	Хорог	2,076	0,41	

рея формирования ледникового стока объясняют высокую изменчивость многолетних рядов V_m в бассейнах рек Средней Азии.

В уравнении (4.57), которое характеризует связь между входом в выходом динамической системы таяние—сток, никак не раскрыты собственно процесс водоотдачи ледника. Очевидно, что решение задачи трансформации таяния в сток может быть получено независимо от уравнения (4.57), если задано входное излучение и описание процесса стекания талой воды со поверхности и внутри ледника.

В качестве примера изложим работу В. Д. Кэмпбелла и Л. А. Расмуссена [235], где изложена упрощенная одномерная модель трансформации таяния в сток, основанная на отождествлении ледника с горизонтальной средой, для которой выполняются законы Дарси. С целью описания процесса выделения ледника в модели Кэмпбелла—Расмуссена используется модификация уравнения неравнотности, предложенная П. Я. Прудкером и Кочиной для свободной поверхности горного покрова в гористой среде:

$$t \frac{\partial h}{\partial t} = Q_{tr} + \alpha(x, y, t), \quad (4.81)$$

(где t — возрастность; $\alpha(x, y, t)$ — выпуклающая функция на уровне свободной поверхности $h=h(x, y, t)$; Q_{tr} — расход воды через поперечное сечение в слое насыщения).

Выполните ряд упрощающих преобразований в (4.81), Кемпбелл и Ресмуссен получили одномерное выражение для расхода талой воды через поперечное сечение льда в гидравлическом слое следующее

$$m \frac{dh}{dt} = -K_t \frac{\partial}{\partial t} \left(g''_n - \frac{Kz_n}{Z_b} \frac{\partial h^2}{\partial t} \right) + n'(u, t - \Delta t), \quad (4.82)$$

где K_t — коэффициент проницаемости льда; u — координата та криволинейной оси, аналогичной линии тока; g''_n , g''_z и $n'(u, t - \Delta t)$ — определяющие значения ускорения свободного падения и действующей функции α вдоль оси u по нормали к ней; Δt — время, необходимое для передачи входного воздействия u с верхней поверхности седника на свободную поверхность слоя насыщения h (очевидно, α характеризует интенсивность таяния снега и льда); Z_b — произвольный уровень внутри слоя h .

Решение уравнения (4.82) на примере Южного каскадного ледника проводилось для внутристационарного хода стока методом конечных разностей на основе ортогональной оценки величины K . Продолжительность расчетного периода всего лишь 6 дней, что не позволяет сделать определенный вывод о качестве модели Кемпбелла и Ресмуссена.

Помимо непреодолимых препятствий на пути развития и совершенствования физических моделей ледникового стока является отсутствие материалов измерений гидравлических характеристик потока воды в придонном слое ледника. В связи с этим математические модели гидрографа ледникового стока разрабатываются, подогнанные к имеющимся тренинговым данным русло-водной гидроэнергетики. При такой постановке задачи, как бы близко ни находился центральный гидрометрический сектор к нижнему концу ледника, отнесение площади обледенения к площади водосбора почти всегда будет жесткие единицы (исключением являются линии плоского вершин). А это означает, что вместо восходящие в моделировании процесса восходит на пределах гидравлической области рассматривается другая самостоятельная задача расчета гидрографа стока в бассейне с различной стечностью обледенения.

Принципиальная особенность современного подхода к расчету гидрографа поверхностного стока в бассейне состоит в том, что физическим образом процесса является линейчатическая система с заданным входным воздействием и известным выходным результатом. Считается, что свойства самой системы некоторым образом характеризуют постоянные или терменные параметры математического оператора, трапециформирующего входную функцию в более или менее удачное положение выходной.

Если некомый оператор подбран, то очевидно, что все математические ошибки определения ягодной и выходной функции воспроизводят параметры трансформации, а слагающие вариации выходного воздействия в свойства самой системы отражаются на устойчивости этих параметров.

Существует немало работ [40, 48, 50, 51, 128, 149, 205, 270, 272], реализующих указанный принцип: расчета гидрографа стока в горных водосборах, в том числе с различной стечностью обледенения. В качестве входного воздействия используются либо элементы природной частию водного баланса (суммарное таяние снега и льда, жидкие осадки), либо связанные с ними метеорологические характеристики (солнечная радиация, температура воздуха, облачность, влажность, скорость ветра и т. д.).

По аналогии с последованием спектра аргументов и формулами когерентности гидрографа стоков неспецифическую и важно установить в какой мере выбор вида входной функции при одном и том же операторе трансформации влияет на качество расчета гидрографа стока в бассейне со значительной долей обледенения.

Одних из возможных способов оценки претензии одной из нескольких входных функций для расчета гидрографа является анализ коэффициентов парной и множественной корреляции между расходами воды и различными метеорологическими характеристиками, наблюдавшимися одновременно со стоком или используемыми со сдвигом назад во времени (матом).

Среди многих временных зависимостей $w(t)$ со временем с функциями $M(t)$ трансформирует к возрастанию коэффициентов корреляции. В качестве примера рассмотрим на леднике Голубика в бассейне р. Алаарча, где коэффициенты корреляции средних суточных расходов воды и температуры воздуха оказались оптимальными для расчета гидрографа стока. Те же самые данные годы осенний за интервалом от листа (VIII—IX) до пяти (V—IX) месяцев образовали зависимость с коэффициентом корреляции от 0,6 до 0,9.

Результаты определения коэффициентов корреляции между средними декадными расходами р. Коксу (Алтайский хребет) и гидрометеорологическими характеристиками, представленные в табл. 4.17, показывают, что для расчета гидрографа стока, формирующегося в бассейне ледника Абрамова, могут быть использованы разнообразные и вполне обоснованные эмпирические формулы.

Таблица 4.17

Коэффициенты корреляции между средними декадными расходами р. Коксу и гидрометеорологическими характеристиками, измеренными на леднике Абрамова

Период	N	$m(M)$	$m(R)$	$m(U_1)$	$m(U_2)$	$m(C)$	$m(G)$	$m(T_G)$
VIII 1967—VII 1970	28	0,90	0,89	0,72	0,81	-0,32	-0,17	0,15
VII 1970—IX 1972	98	0,85	0,70	0,73	0,78	-0,43	-0,53	0,61

Приложение. N — количество лет, M — таяние, R — радиационный баланс, U_1 — изотермическая радиация, U_2 — температура почвы, C — общая облачность, G — сухая снеговая, T_G — продолжительность солнечного сияния.

ние двухпараметрического уравнения трансформации позволяет более точно рассчитывать суммарный объем стока по сравнению с моделью, где задан только один параметр τ .

Интегрирование (4.87) по времени от t_0 до T при условии, что разность расходов на концах периода ($w_T - w_{t_0}$) мала по сравнению с объемами стока и таяния за этот же период, определяет отношение

$$\frac{w_T}{w_{t_0}} = \frac{\int_{t_0}^T w_M dt}{\int_{t_0}^T w_M dt} = \frac{W_M}{V_M} = \eta \quad (4.88)$$

как условный коэффициент стока. Как правило, в бассейнах со значительной степенью обледенения в качестве t_0 и T можно выбрать моменты, когда $w_T = w_{t_0} = 0$.

Уравнения типа (4.86) или (4.87) неоднократно применялись [40, 48, 50, 51, 170, 205 и др.] в математических моделях гидрографа стока горных рек Средней Азии, Караказа и других территорий. В частности, весьма детальное исследование линейной модели трансформации в условиях Средней Азии выполнено в САНИИ им. В. А. Бугаева под руководством Ю. М. Денисова [170]. В работах [51, 170] изложена эффективная методика определения параметров τ и β и показано, что простая линейная модель (4.87) вполне пригодна для рек с различными условиями шторма и изотермическим распределением стока.

Практически важные выводы для развития расчетов гидрографа стока на основе модели (4.86) получены Г. Н. Голубевым [40], который установил и обосновал эмпирическую формулу для определения коэффициента трансформации

$$\tau = 3.8 \lg(S_L + 1), \quad (4.89)$$

где t в сутках, а S_L в km^2 . В работе [40] введено также понятие критического интервала времени Δt , начиная с которого расчет стока можно вести непосредственно по уравнению типа (4.87), и на основе формулы (4.89) предложены зависимости от площади ледника и заданной ошибки расчета.

Выходы

1. В методах описания пространственно-временной изменчивости суммарной солнечной радиации, температура воздуха, осадков, облачности, альбедо снега и льда используются только данные стандартных и массовых измерений на сети метеорологических станций.

Для широкого применения поглощенной солнечной радиацией в расчетах таяния снега и льда исключают практическую ценность предложенных полученные автором региональные эмпириче-

ские формулы и методы определения интегрального коэффициента прозрачности атмосферы, суммарной радиации в реальных условиях облачности, времена расхода и захода солнца для произвольного набора пунктов на леднике, альбедо различных типов поверхности снега и льда. Все это предлагаемые формулы и методы основаны на большом статистическом материале, проверки которых уже используются в САНИИ и других организациях.

2. Анализ качества полученных автором данных о режиме суммарного таяния выполняется путем контроля формул интенсивности таяния, входящей метеорологической информации, всех промежуточных результатов расчета по сходимости рассчитанных и измеренных объемов таяния на отдельных ледниках и в их группах.

В частности, независимая проверка подает вполне удовлетворительную точность региональных определений:

- максимальной высоты сезонной снеговой границы на ледниках с использованием индекса баланса акумуляции и таяния,
- месячных сумм суммарной радиации,
- средних значений альбедо для различных типов поверхности ледника в течение периода абляции,
- времена выхода и захода солнца для произвольного набора пунктов на леднике,
- дат начала и конца периода таяния льда.

Обоснованность расчетов температуры воздуха, осадков, общей облачности и интегрального коэффициента прозрачности атмосферы подтверждается высокими коэффициентами корреляции соответствующих региональных эмпирических зависимостей.

Для уточнения региональных спределений объемов таяния ледников автором разработана итерационная схема реализации методики расчета. Использование итерационной схемы в бассейнах рек Пекем и Нефара позволили существенно повысить представительность результатов расчета суммарного таяния ледниками.

Анализ сходимости многолетнего ряда рассчитанных и измеренных по густой сети рек объемов таяния льда и фирне в группе Туруксусьевых ледников и сухумских объемов таяния на ледниках Абрамова показал, что результаты измерений и расчетов практически совпадают с точностью до ошибки определения срезывающих величин. Вполне удовлетворительными оказались также результаты сопоставления многолетних рядов рассчитанных автором объемов таяния и ледникового стока, определенного по методу В. Ш. Цомая [212] в бассейнах рек Илгур на Кавказе.

Таким образом, в работе приведены все необходимые материалы, подтверждающие обоснованность отдельных положений и приемлемость методики расчета в целом, для определения изотермического и многолетнего режима суммарного таяния в таяльных областях.

3. Результаты расчета многолетних рядов суммарных объемов таяния в таяльных областях Средней Азии и опубликованные материалы позволили решить в региональных масштабах вопрос

о связи между таянием и ледниковым стоком. Для этой цели автором разработаны: а) метод расчета интегрального за период явления коэффициента стока с учетом максимальной высоты сезонной снежной толщи на ледниках, б) метод раздельного определения объема ледникового стока, формирующегося в языках и в фирновых областях ледников.

4. Под ледниковых шапками рек Средней Азии в работе понимается сток от таяния льда под мореной, открытого льда и старого фирна. Сток от таяния сезонного снега на поверхности ледника относится к снежному питанию реки. Такая схематика является единственной возможной, если основывается на уравнении водного баланса в целом для речного бассейна. Следовательно, по вопросу о содержании понятия ледниковое штатное реки автор разделяет точку зрения, высказанную в работах [224, 228]. Разумеется, водно-ледочный баланс таящих областей можно рассматривать независимо от высокогорных поверхностей. В этом случае сток от таяния сезонного снега на поверхности ледника является составной частью талого ледникового стока. Рассматриваемая автором методика раздельного определения составляющих суммарного таяния в гляциальных областях позволяет анализировать внутритодовой и многогодичный режим ледникового стока применительно к любому из уложенных выше вариантов уравнения водного баланса.

В частности, по постановленным многогодичным рядам ледникового стока в бассейнах ряда рек Средней Азии ($\Psi_m = V_{\text{лж}} + V_a + V_{\text{лд}}$) впервые непосредственно определяются коэффициенты вариации Ψ_m . В отличие от ранее выдвигавшейся гипотезы [230] эти коэффициенты вариации характеризуют ледниковый сток как весьма изменчивый в многогодичном разрезе источники питания реки. Этот результат хорошо согласуется с высокими значениями C_s осадков и водного эквивалента сезонного снежного покрова, полученным путем обработки данных снегомерных съемок и метеорологических станций в бассейнах реч. Ахудары и Сырдарьи. Режим осадков влияет на движение снежной толщи, с которой в свою очередь тесно связана внутритодовой ход ледникового стока.

5. Анализ применяемых в настоящее время упрощенных способов расчета гидрографа стока рек со значительной длиной ледникового штатия показал возможность практического использования для этой цели однотипных факторных эмпирических формул. В частности, автором получен и проверен на независимом материале ряд уравнений множественной регрессии для расчета гидрографа стока р. Коксу (бассейн ледника Абрамова).

Глава 5

Многолетний режим суммарного таяния и ледникового стока в бассейнах рек Средней Азии

5.1. Пространственно-временная изменчивость суммарного таяния ледников и ледникового стока

Многолетняя изменчивость объемов суммарного таяния V_m и ледникового стока $V_{\text{лд}}$, в бассейнах рек Средней Азии непосредственно определяется наработками сезонной аккумуляции твердых осадков и суммарного поступления внешнего тепла. Большое значение имеют также вариации $Z_{\text{так}}$, продолжительность периода таяния льда $T_a - d_{\text{так}}$ — $d_{\text{так}}$ интенсивности летних спиралей, которые косвенно связаны с предшествующими факторами.

Прямая оценка вариации одних факторов (аккумуляция, величины спиралей) для гляциальных областей практически невозможна, а других (поступление внешнего тепла) связана с большими объемами вычислений и их обработкой.

В связи с этим тритиши вариации V_m и $V_{\text{лд}}$, приходится выявлять по косвенным показателям. Часть этих показателей уже была рассмотрена в разделе 4.4. Установлено, что вариация зимних осадков и волюнти сезона снежного покрова на высотах, близких к границам гляциальных областей, достаточно велика, чтобы служить одной из причин, объясняющих значительную вариацию суммарного таяния ледников и ледникового стока в бассейнах рек Средней Азии. Рассмотрим далее изменчивость других факторов, влияющих на вариацию V_m и $V_{\text{лд}}$.

В табл. 5.1 и 5.2 приведены коэффициенты вариации сухих осадков за апрель—сентябрь, средних значений температуры воздуха

Таблица 5.1
Коэффициенты вариации (C_s) суммы осадков за апрель—сентябрь
на нестационарных в бассейне р. Сырдарьи
(данные автора [6])

Метеостанция	$Z_{\text{так}}$	C_s	Метеостанция	$Z_{\text{так}}$	C_s
Пер. Чагануз	2,289	0,35	Тюшанту южная	3,300	0,16
Астрген шато	2,124	0,38	Караскская	3,020	0,22
Кизильта	2,080	0,25	Джалы	3,040	0,19
Цокор	1,238	0,40	Арыса	2,050	0,30
Джасылук	3,100	0,25	Каргуруль	2,800	0,21
Чаргыш	2,743	0,29	Карасуон	2,418	0,28
Чилгар	2,000	0,27	Илкыргызы	2,305	0,32
Кинжалай	2,380	0,19	Кызылт	2,260	0,35
Кынталык	2,230	0,34	Ошары	2,220	0,36
Субакурган	2,168	0,37	Лебап	2,080	0,25
Гурдасы	2,050	0,29	Суварыр	2,063	0,23
Пз. Тузбел	1,370	0,37	Нарин	2,010	0,29

Таблица 5.2

Коэффициенты вариации средних значений температуры воздуха и общей облачности в бассейнах рек Средней Азии (по данным автора)

Река-бассейн	Температура воздуха			Общая облачность		
	V—IX	VI—IX	VII—IX	V—IХ	VI—IX	VII—IХ
Чонханысу — Б. Карагалку	0,06	0,07	0,06			
Нарым — Тянь-Шань	0,31	0,20	0,21			
Парын — Нарым	0,06	0,07	0,08			
Атбасик — Атбасик	0,06	0,06	0,05	0,09	0,10	0,15
Берашан — Исхакларкуль	0,26	0,19	0,17	0,11	0,15	0,21
Зеравшан — Дехаус	0,06	0,05	0,06	0,08	0,10	0,15
Сарыдженес — Куйлю	0,05	0,06	0,06	0,06	0,06	0,09
Кызылсу — Сарыташ	0,10	0,10	0,12	0,16	0,18	0,22
Кызылсу — Дарагут-Курган	0,06	0,05	0,06	0,14	0,18	0,25
Миссу — Аттакимазар	0,06	0,07	0,12	0,16	0,19	0,26
Мункус — а. Федченко	0,29	0,21	0,35	0,38	0,46	0,50
Сурхоб — Гарк	0,05	0,05	0,05	0,16	0,23	0,30
Бартенг — Ирят	0,07	0,07	0,08			
Муртаб — Муртаб	0,06	0,06	0,06	0,22	0,22	0,27
Шахдаре — Хоруг	0,06	0,06	0,06	0,17	0,26	0,28

и общей облачности за маев—сентябрь, июль—сентябрь и июль—сентябрь на метеорологических станциях в бассейнах рек Средней Азии. В целом вариации этих характеристик несколько меньше, чем для суходолных осадков и полностью сезонного снежного покрова (см. табл. 4.16 и 4.17).

На всех рассмотренных в работе признаках изменчивости суммарного таяния ледников и ледникового стока (зимние и весенне-летние осадки, влажность снежного покрова, средние температуры воздуха и общая облачность за весенне-летний период) изменчивость обладает температурой воздуха. На этом основании В. Л. Шульгин [221] предположил, что ледниковые циклические реки Средней Азии также должно неизменно изменяться в многолетнем разрезе. Однако вариации других факторов, определяющих как интенсивность таяния льда и фирна, так и продолжительность периода формирования ледникового стока, в несколько раз превышают C_v весенне-летних температур воздуха.

При сравнивательной анализации весенне-летних осадков, температур воздуха и баллов общей облачности доминирующую признаку изменчивости ледникового стока рек может быть только C_v продолжительности периода таяния льда и фирна. Этот вывод подтверждают результаты анализа дат начала и окончания периода таяния льда, полученные автором для ряда гидротехнических областей Средней Азии.

По данным о $d_{\text{ль}}$ в $d_{\text{ль}}$ были определены многолетние ряды продолжительности периода таяния льда $T_{\text{ль}} = d_{\text{ль}} - d_{\text{ль}}$ и коэффициенты вариации $T_{\text{ль}}$, которые оказались одного порядка с C_v .

объемов ледникового стока. Установлено также, что продолжительность периода таяния льда и коэффициенты вариации $T_{\text{ль}}$ об разуют линейные зависимости от средних измененных высот концов ледников в бассейнах рек Средней Азии (рис. 5.1 и 5.2 а).

Существование зависимости $T_{\text{ль}} = f(Z_{\text{ль}})$ вполне оправдано объясняется пространственной изменчивостью долей $n_{\text{ль}}$ в бассейнах рек Средней Азии, которую иллюстрирует рис. 3.8. Согласно этому графику, средние хронометрические даты схода и установления

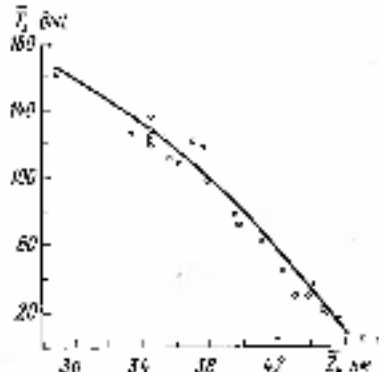


Рис. 5.1. Зависимость средней хронометрической продолжительности периода таяния съла ($T_{\text{ль}}$) на ледниках Средней Азии от средней измененной высоты концов ледников $Z_{\text{ль}}$.

устойчивого снежного покрова одинарков на высоте 4,75—4,80 км. Следовательно, на этой высоте устойчивый снежный покров заменяет круглый год.

Подставив $T_{\text{ль}} = 0$ в аналитическое выражение зависимости

$$T_{\text{ль}} = 144 + 84,5Z_{\text{ль}} - 23,4Z_{\text{ль}}^2 \quad (5.1)$$

получим $Z_{\text{ль}} = 4,80$ км, т. е. практически совпадающие значения высот, где в среднем многолетнем устойчивый снежный покров наблюдается непрерывно в течение года.

Поскольку на высоте $Z_{\text{ль}} = 4,80$ км $T_{\text{ль}} = 0$, то на этом же уровне объем ледникового стока, образующийся от таяния льда и старого фирна, также должны быть равны нулю. Из этого следует, что коэффициенты вариации $T_{\text{ль}}$ и объемов сужмарного таяния $V_{\text{ль}}$ в бассейнах рек Средней Азии являются плавающими функциями высоты местности z , так как знаменатели в формулах

$$C_v(T_{\text{ль}}) = \frac{\sigma_{T_{\text{ль}}}}{T(z)} \quad \text{и} \quad C_v(W_{\text{ль}}) = \frac{\sigma_{W_{\text{ль}}}}{W_{\text{ль}}(z)}$$

стремятся к нулевым значениям по мере увеличения z ($\sigma_{T_{\text{ль}}}$ и $\sigma_{W_{\text{ль}}}$ — среднеквадратичные отклонения $T_{\text{ль}}$ и $W_{\text{ль}}$).

Полученные автором для оледенения Средней Азии зависимости $C_v(V_{\text{ль}}) = f(Z_{\text{ль}})$ и $C_v(T_{\text{ль}}) = f(Z_{\text{ль}})$ приведены на рис. 5.2. Эти графики построены по результатам расчета внутридодового и многолетнего режима сухохарпного таяния ледников в бассейнах рек

Малой Амантинкой, Зеравшанка, Сарыджаса, Муксу, Сельдары (система ледника Федченко). Как видно, изменение с высотой коэффициентов вариации объемов суммарного таяния и продолжительности периода таяния льда вполне соответствует описанным выше закономерностям режима сезонного сплошного покрова в гляциальных областях.

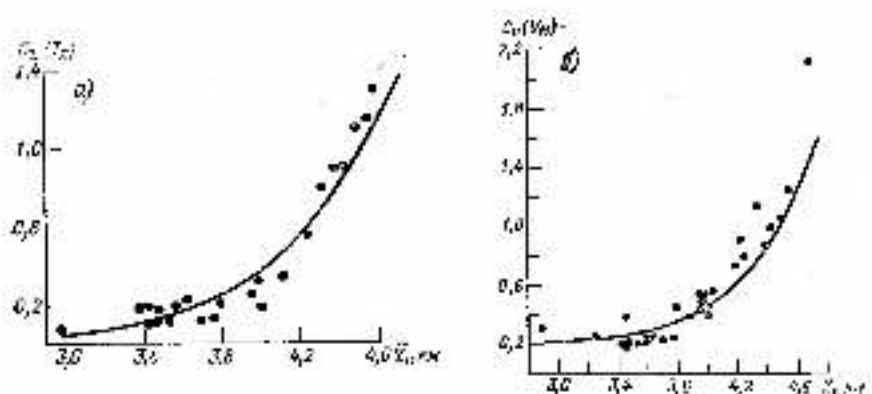


Рис. 5.2. Зависимость коэффициентов вариации C_v продолжительности первого таяния льда (а) и объема суммарного таяния (б) в бассейнах рек Средней Азии от средней измеренной высоты ледниковых ледников.

Априористической зависимостей на рис. 5.2 являются следующие формулы:

$$C_v(T_0) = 0,0002e^{1,447}, \quad (5.2)$$

$$C_v(W_M) = 0,0003e^{2,817} + 0,19, \quad (5.3)$$

которые, как и (5.1), позволяют построить карты распределения по территории Средней Азии таких важных характеристик гидрологического режима ледников, как T_0 , $C_v(T_0)$ и W_{ta} и $C_v(W_{ta})$.

Наряду с картированием средних многолетних характеристик режима ледников, большую научную и практическую ценность представляют текущие определения вклада ледникового питания в годовой и сезонный сток рек Средней Азии. В постановке этой задачи могут быть два основных варианта:

а) для бассейна предварительно рассчитан многолетний ряд объемов ледникового стока;

б) имеются только морфометрические характеристики следования и данные наблюдений на метеорологической станции за осадками, температурой воздуха и общей облачностью.

Основной для решения задачи в первом случае является описание зависимости модульных коэффициентов объемов ледникового

стока ($K_{lf} - z_d/\bar{x}$) от статистической обеспеченности индекса баланса (P_{I_B}) или вклада ледникового стока в питание реки от P_{I_B} . Примеры построения таких зависимостей по результатам расчета многолетнего режима ледникового стока в бассейнах рек Зеравшан (Матча) и Муксу приведены на рис. 5.3.

Для текущих расчетов $K_{lf,tl}$ или $b_{W,tl}$ аргумент уравнений $K_{lf,tl} = f(P_{I_B})$ и $b_{W,tl} = f(P_{I_B})$ легко определяется с помощью

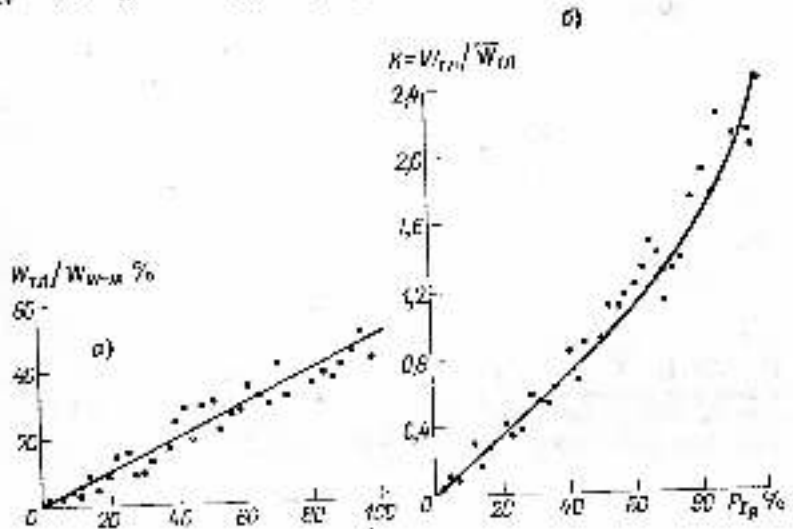


Рис. 5.3. Распределение относительного вклада ледникового стока р. Зеравшан (Матча) (а) и модульных коэффициентов ледникового стока в бассейне р. Муксу (б) в зависимости от обеспеченности индекса баланса (P_{I_B}).

графика связи между индексом баланса и его обеспеченностью (рис. 5.4). При построении такого графика следует использовать ряд лет, включающий не менее 25—30 числов.

Таким образом, наличие 25—30-летнего ряда рассчитанных объемов ледникового стока в некотором бассейне позволяет получить зависимости $K_{lf,tl} = f(P_{I_B})$ и $b_{W,tl} = f(P_{I_B})$; и для определения $K_{lf,tl}$, W_{ta} и $b_{W,tl}$ за пределами исходного ряда пользоваться только этими зависимостями и графиком связи $P_{I_B} = f(I_n)$.

Для решения задачи при отсутствии многолетнего ряда объемов ледникового стока необходимо получить аналитические выражения, описывающие пространственную изменчивость параметров распределений $K_{lf,tl}$ и $b_{W,tl}$ в бассейнах рек Средней Азии. К этим параметрам относятся: среднее значение, коэффициент вариации, коэффициент асимметрии (C_s) или отношение C_s/C_v .

С целью расчета средних многолетних величин вклада ледникового питания в годовой и сезонный сток рек Средней Азии используем зависимости $b_{W_{\text{л}} \rightarrow} - f(b_{I_{\text{л}} \rightarrow})$ на рис. 5.3, для которых автором получены следующие аналитические выражения:

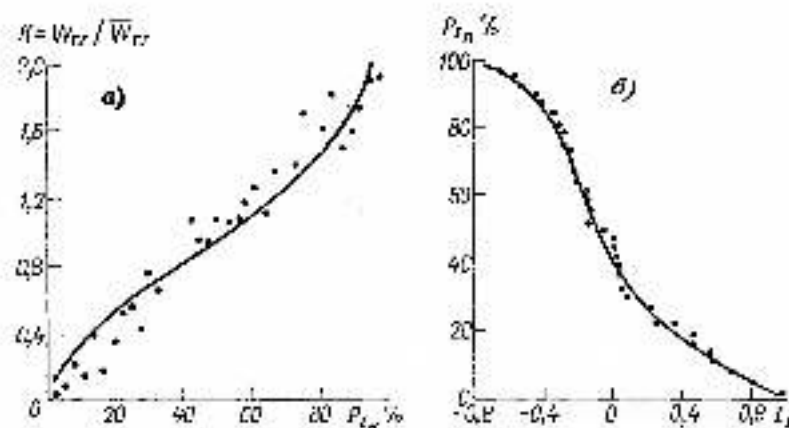


Рис. 5.4. Распределение модульных коэффициентов ледникового стока в бассейне р. Зеравшан (Матта) в зависимости от обеспеченности индекса билянки (а) и связи между обеспеченностью индекса билянки и абсолютные значения индексов билянки (б). (Бассейн р. Зеравшан).

$$b_{W_{\text{л}} \rightarrow} = 13.1e^{4b_{I_{\text{л}} \rightarrow}} \quad (5.4)$$

$$b_{W_{\text{л}} \rightarrow} = -32.8e^{-4b_{I_{\text{л}} \rightarrow}}, \quad (5.5)$$

где $b_{W_{\text{л}} \rightarrow}$ — вклад ледникового питания в годовой сток рек, %; $b_{W_{\text{л}} \rightarrow}$ — вклад ледникового питания в сезонный (VI—IX) сток, %; $b_{I_{\text{л}} \rightarrow}$ — вклад индекса аблияки в квадрат модульного коэффициента корреляции уравнения $W_{\text{л}} \rightarrow = f(I_{\text{л}}, I_{\text{л}})$, %.

Исследование пространственной изменчивости коэффициентов вариации объемов ледникового стока было выполнено выше. В результате для определения $C_v(V_m)$ в бассейнах рек Средней Азии имеется выражение (5.3).

Вычисления и анализ коэффициентов асимметрии многолетних рядов объемов ледникового стока в 38 отдельных районах-подмножествах ледников в бассейнах рек Малой Алматинки, Песчанка, Сарыджаха, Зеравшана, Мүккү, Селилари показали отсутствие каких-либо закономерностей в пространственной изменчивости $C_v(C_v)$ по территории Средней Азии. Поскольку в 24 случаях из 38 величина отклонения $C_v(C_v)$ лежала в пределах 0.8—1.3, для расчетов кривых распределения $W_{\text{л}}$ было принято обобщенное

соотношение коэффициентов вариации к асимметрии в виде $C_v = C_s$.

Для проверки метода определения параметров $C_v(W_{\text{л}})$ к C_v/C_v при отсутствии многолетних рядов $W_{\text{л}}$ на графики фактических распределений $W_{\text{л}}$ в бассейнах рек Зеравшан и Мүккү (см. рис. 5.3 б и 5.4 а) были нанесены кривые распределений, полученные на основе оцененных значений C_v и отношения $C_v/C_v = 1$. Как видно, эти кривые вполне удовлетворительно соответствуют эмпирическим данным.

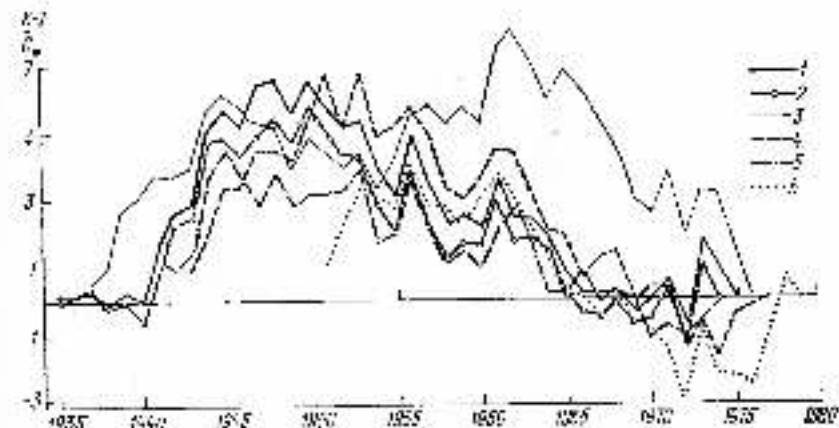


Рис. 5.5. Гидрографические интегральные разностные кривые суммарного течения ледников в бассейнах рек Средней Азии.
1 — р. Музк, 2 — р. Ошск, 3 — р. Зеравшан, 4 — р. Манзалинск, 5 — р. Сырджах.

Таким образом, установленные в работе закономерности пространственной изменчивости $W_{\text{л}}$, $C_v(W_{\text{л}})$, величина отклонения C_v/C_v и наличие сведений о морфометрии ледников, а также стандартных метеорологических и гидрометрических данных позволяют достаточно надежно рассчитать кривую определения объемов ледникового стока в любом бассейне рек Средней Азии.

Распространенным в гидрологии способом анализа многолетних колебаний стока рек является построение нормированных интегральных разностных кривых. Эти кривые позволяют установить наличие периодичности в чередовании лет с повышенной и пониженной подлинностью рек и продолжительность многоводной и маловодной фаз в многолетнем режиме стока.

Нормированные интегральные разностные кривые для годовых объемов суммарного течения ледников и ледникового стока в ряде бассейнов рек Средней Азии приведены на рис. 5.5 и 5.6. Отметим следующие макроакционарности в многолетней изменчивости объемов суммарного течения.

В рассматриваемых бассейнах рек Памира и Гиссаро-Алая с конца 30-х годов и до второй половины сороковых наблюдалось

повышенное относительно среднего таяние ледников. Затем в гидрологическом режиме оледенения этих горных областей наступила фаза пониженной водоотдачи, которая продолжалась до начала 70-х годов. Таким образом, продолжительность маловодной фазы в режиме гляциальных областей на Памире и в Гиссаро-Алае примерно в 2,5 раза превысила хлопководную фазу периода.

Многолетняя изменчивость суммарного таяния ледников на Западном Тянь-Шане и в Западном Алатау имеет свои особенности по сравнению с Памиром и Гиссаро-Алаем. Так, в Запад-



Рис. 5.6. Нормированные интегральные разности кривых ледникового стока в бассейнах рек Средней Азии.

1 — р. Мунз, 2 — р. Сельдар, 3 — р. Бахти, 4 — р. Зеравшан, 5 — р. Мияни Алматинка, 6 — р. Саладакин.

ском Алатау шокочастотная периодичность в режиме суммарного таяния ледников выражена нечетко. Для многогодичного режима V_M в этом районе более характерны 4-годичные циклы, которые включают хлопководную и маловодную фазы.

Отличительной чертой режима \dot{V}_M на Западном Тянь-Шане за 1937—1976 гг. являются два крующих цикла: с 1937 по 1954 г. и с 1955 по 1976 г. Продолжительность хлопководной и маловодной фаз в обоих циклах примерно одинакова.

Общий для всех интегральных разностных кривых V_M на рис. 5.5 является одновременность резких пиков в многогодичном режиме суммарного таяния. В качестве примера укажем на огибающие соответствующих кривых в 1945, 1948, 1956, 1961 и 1972 гг.

В многолетнем режиме ледникового стока в бассейнах рек Памира, Гиссаро-Алая, Западного Тянь-Шаня и Западного Алатау наблюдаются в основном те же закономерности, которые были описаны выше для суммарного таяния альпиников. Различия заключаются в некотором смещении по времени двух крупных циклов режима \dot{V}_M на Западном Тянь-Шане (теперь продолжительность

одного составляет с 1937 по 1952 г., а другого с 1951 по 1969 г.) в сдвиге максимума основного периода 1941—1971 гг. в Гиссаро-Алае на начало 60-х годов.

По-прежнему важным для водопользования свойством многолетней изменчивости ледникового стока в бассейнах рек Средней Азии является одновременность резких пиков на интегральных разностных кривых, например, 1944, 1949, 1953, 1956, 1958, 1961, 1967 и 1972 гг.

В целом анализ кривых на рис. 5.5 и 5.6 показывает, что фаза пониженной водоотдачи ледников в бассейнах рек Средней Азии, наблюдавшаяся от начала 50-х до конца 70-х годов сменяется фазой увеличения объемов суммарного таяния ледников и ледникового стока.

5.2. Долгосрочные прогнозы суммарного таяния ледников и ледникового стока

Подобно речному стоку, многолетние ряды месячных и годовых объемов суммарного таяния ледников и ледникового стока в бассейнах рек Средней Азии представляют собой выборочные реализации соответствующих стохастических процессов $V_M(T)$ и $\dot{V}_M(T)$. Для решения задач долгосрочного прогнозирования и оптимального регулирования естественного гидрологического режима ледников временные ряды $V_M(T)$ и $\dot{V}_M(T)$, полученные автором на основе региональной физико-статистической модели процесса суммарного таяния, являются необходимыми исходными материалами.

Рассмотрим далее результаты использования метода корреляционного анализа для описания связей между членами рядов $V_M(T)$ и $\dot{V}_M(T)$ и зависимостей тока $V_M = f(\Sigma x)$, где Σx — набор независимых переменных.

Общим аналитическим выражением для этих двух вариантов долгосрочных прогнозов V_M или \dot{V}_M являются линейные уравнения:

авторегрессия —

$$\tilde{V}_M(T) = \mu + \alpha_1 V_M(T-1) + \alpha_2 V_M(T-2) + \dots + \alpha_p V_M(T-p) + \varepsilon_i \quad (5.6)$$

и множественной регрессия —

$$\tilde{V}_M(T) = \sum_{i=1}^p \beta_i x_i(T-i) + \varepsilon_i \quad (5.7)$$

где μ — параметр, определяющий уровень процесса; α_i — параметр ($i=1 \dots p$); ε_i — шумовая компонента; p — порядок уравнений (5.6) и (5.7); β_i — передаточная функция ($i=1 \dots p$), преобразующая входной импульс $x_i(T-i)$ в выход системы; T — величина отсрочки во времени $\tilde{V}_M(T)$ относительно $x_i(T-i)$.

Формула (5.6) представляет собой простейший вариант авторегрессии дискретного временного ряда. Предполагается, что процесс $V_M(T)$ является стационарным в узком смысле (среднее и дисперсия постоянны, а автокорреляционная функция зависит только от величины сдвига по времени) и обладает достаточной инерционностью или циклическими свойствами, чтобы будущие значения $V_M(T)$ могли быть определены в видезвешенной суммы предшествующих значений этого же ряда.

В качестве исходных данных для исследования возможностей прогноза суммарного таяния гляциальной области методом авторегрессии использованы временные ряды объемов V_M и V_m , рассчитанные для бассейнов рек Малой Алматинки (1943—1974 гг.), Пекем (1937—1976 гг.) и Зеравшан (1943—1977 гг.).

В практике гидрологических прогнозов для оценки качества линейных пространственных формул принят отношение среднеквадратической ошибки расчета к стандарту отклонения функции:

$$\frac{s_{\bar{V}_M}}{\sigma_{V_M}} = \sqrt{1 - \rho^2}, \quad (5.8)$$

где ρ^2 — в данном случае сводный коэффициент корреляции уравнения (5.7). При условии

$$\frac{s_{\bar{V}_M}}{\sigma_{V_M}} \leq 0,50; \quad \rho \geq 0,87 \quad (5.9)$$

прогностическая зависимость считается хорошей и удовлетворительной, при

$$0,51 \leq \frac{s_{\bar{V}_M}}{\sigma_{V_M}} \leq 0,80; \quad 0,60 \leq \rho \leq 0,86. \quad (5.10)$$

Таким образом, решение вопросов о возможности применения уравнения авторегрессии типа (5.6) для прогноза V_M или V_m , в значительной мере зависит от вида автокорреляционной функции $r_{xx}(T)$ временных рядов $V_M(T)$ и $V_m(T)$.

Выборочная оценка автокорреляционной функции r_{xx} нормированного дискретного временного ряда $x(T)$ обычно выполняется по формулам

$$r_{xx}(m) = \frac{1}{N_x - m} \sum_{k=1}^{N_x - m} x_k x_{k+m} \quad (5.11)$$

или

$$r_{xx}(m) = \frac{1}{N_p} \sum_{k=1}^{N_p} x_k x_{k+m} \quad (5.12)$$

при условии

$$0 < N_p + m_{\max} \leq N_x. \quad (5.13)$$

где m — сдвиг по времени значений ряда $x(T)$; m_{\max} — максимальный сдвиг; N_x — общая длина выборки; N_p — рабочая часть выборки, по которой вычисляется $r_{xx}(m)$. Этот формулы отличаются тем, что в (5.11) расчет r_{xx} выполняется по длине ряда, меняющейся в зависимости от m , а в (5.12) вследствие условия (5.13) длина N_p для любого m остается постоянной.

Для определения параметров $\sigma_{\bar{V}}$ в уравнении авторегрессии (5.6) расчет $r_{xx}(m)$ необходимо производить по формуле (5.12), обеспечивающей равноточность r_{xx} и коэффициентов регрессии при всех m , заданных условиями (5.13). Кроме того, если позволяет общая длина временного ряда N_x , следует вводить условие

$$N_p + m_{\max} = N_x - n_{\text{sc}}, \quad (5.14)$$

которое дает возможность проверить полученные формулы авторегрессии на неизолированных случаях.

В результате расчета $r_{xx}(m)$ для временных рядов V_M и V_m , в бассейнах рек Малая Алматинка, Пекем и Зеравшан были получены квадратные автокорреляционные матрицы. На диагональных этих матриц, параллельных главной, находятся значения $r_{xx}(m)$ при одном и том же сдвиге по времени. По характеру вариации $r_{xx}(m)$ на каждой диагонали можно судить о закономерности изменения начала отсчета длины рабочей части N_p на устойчивость автокорреляционной функции и тем самым о стационарности исходного временного ряда.

Анализ матриц автокорреляции для рассмотриваемых здесь рядов V_M и V_m , выявил достаточно высокую стабильность $r_{xx}(m)$ по модулю и знаку в бассейнах рек Малой Алматинки (группа Тюксубских ледников) и Пекема. Значения автокорреляционной функции временных рядов V_M и V_m , в бассейне р. Зеравшан (Матча) оказались существенно различными по знаку и величине при изменении начала отсчета рабочей части N_p .

Рассмотрим представленные на рис. 5.7—5.8 графики автокорреляционных функций рядов V_M и V_m в бассейнах рек Малой Алматинки и Пекема, полученные в результате обработки $r_{xx}(m)$ на диагоналях соответствующих матриц автокорреляции. Как видно, характерной особенностью графиков $r_{xx}(m)$ на этих рисунках является полное отсутствие зависимости между объемами V_M и V_m , за исключением таинственной повторяемости через 6 лет циклов положительной и отрицательной корреляции в рядах V_M . Отмеченные свойства автокорреляционных функций временных рядов V_M и V_m , имеют большое значение для решения вопросов искусенного воздействия на таяние ледников и разработки методов сверхдолгосрочного прогноза суммарных объемов V_M и V_m , в гляциальных областях.

Из первого свойства следует, что в естественных условиях за смежные годы происходит такое произвольное чередование обес-

печетности объемов V_M и V_{M_1} . Таким образом, однократная трансформация ожидаемого сухумарного объема таяния блажакто к первые в экстремальный, вероятно, не вызывает заметных отрица-

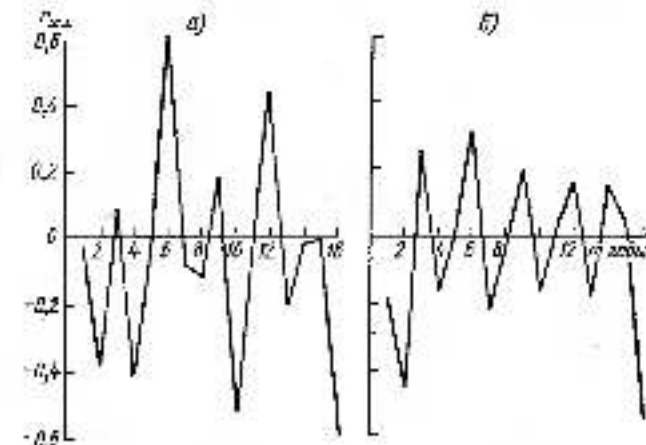


Рис. 5.7. Автокорреляционные функции временных рядов суммарных объемов таяния V_{M_1} (а) и V_M (б) для группы Тукоксубских ледников и бассейне р. Малой Алматыки.

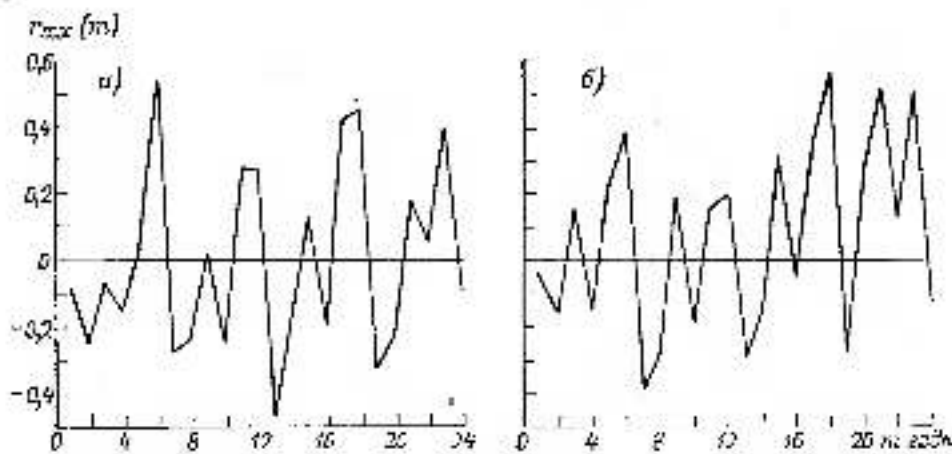


Рис. 5.8. Автокорреляционные функции временных рядов суммарных объемов таяния V_{M_1} (а) и V_M (б) в бассейне р. Пскем.

тельных последствий в многолетнем режиме гидрологических областей.

Достаточно устойчивая цикличность временных рядов годовых объемов ледникового стока в бассейнах рек Малой Алматыки и Пскема была использована для прогноза этих объемов с много-

летней заблаговременностью. В итоге, для V_{M_1} (в млн. м^3) в бассейне р. Пскем получены следующие уравнения авторегрессии, имеющие удовлетворительные показатели прогностической ценности:

$$\bar{V}_{M_1}(T) = 0,81V_{M_1}(T-6) + 2,1; \quad (5.15)$$

$s/\sigma = 0,71$

$$\bar{V}_{M_1}(T) = 0,81V_{M_1}(T-6) - 0,37V_{M_1}(T-13) + 53,4, \quad (5.16)$$

$s/\sigma = 0,63$

а для групп Тукоксубских ледников и бассейне р. Малой Алматыки —

$$\bar{V}_{M_1}(T) = 0,63V_{M_1}(T-6) - 0,22V_{M_1}(T-4) + 1,57, \quad (5.17)$$

$s/\sigma = 0,68$

При определении эмпирических параметров в этих уравнениях максимальная величина сдвига по времени и рабочая часть линий временных рядов V_{M_1} в бассейнах рек Пскема и Малой Алматыки были заданы согласно условию (5.13), что дало возможность проверить полученные формулы на независимых данных. Результаты проверки, представленные в табл. 5.3, показывают удовлетворительное качество контрольных прогнозов V_M , по уравнениям (5.15) — (5.17) как в целом, так и для экстремальных отклонений от среднего.

Основной ход и прогноз по однократному уравнению регрессии отличается испытанным в настоящей работе способом расчета $Z_{\text{инд}}$ как функции метеорологических составляющих индекса баланса. В разделе 3.1 было показано, что зависимости $Z_{\text{инд}} = -f(I_B)$ имеют высокие коэффициенты корреляции. По испытанным измерениям на ледниках установлено также (см. табл. 3.2), что между $Z_{\text{инд}}$ и составляющими вещественного баланса, в частности суммарными за период гляциации объемами V_M и V_{M_1} , существуют достаточно тесные корреляционные связи. Следовательно, вполне возможны частные зависимости типа

$$\bar{V}_{M_1}(T) = \beta_{M_1}x_b(T-\tau), \quad (5.18)$$

где x_b — компонент индекса баланса, известный в моменте составления прогноза V_{M_1} или V_M .

Изложенные в разделе 3.2 результаты поиска и анализа репрезентативных компонентов начального состава индекса баланса показывают, что основания для построения зависимостей (5.18) имеются только в тех случаях, когда преобладающий вес среди составляющих I_B при аддитивном суммировании садков за октябрь — май

Таблица 6.3

Результаты проверки уравнений авторегрессии (5.15)–(5.17)
на ледником материала

Год	Бассейн р. Печоры				Группа Тукаусы	
	V_{M_1} по модели формул	\bar{V}_{M_1} по формуле		$\Delta - \bar{V}_{M_1} - V_{M_1}$		
		(5.15)	(5.16)	(5.16)		
1958	20,4	31,8	42,2	11,4	21,8	
1959	81,5	98,5	107,7	14,0	23,9	
1960	7,3	45,0	47,8	38,3	40,5	
1961	210,3	142,9	159,0	-67,6	-64,6	
1962	158,6	163,3	166,0	-5,3	27,4	
1963	22,6	91,6	60,6	71,1	37,6	
1964	38,8	37,6	49,5	8,7	30,7	
1965	126,4	89,4	117,6	-36,7	-41,1	
1966	20,3	20,9	23,9	6,6	3,6	
1967	62,6	191,5	216,2	129,0	163,7	
1968	14,0	149,5	126,7	145,5	112,7	
1969	0,2	39,2	11,1	39,0	40,9	
1970	25,4	44,4	43,7	19,0	18,3	
1971	123,3	124,7	149,3	1,4	26,0	
1972	6,1	37,4	38,6	31,3	32,5	
1973	136,4	71,6	101,2	-57,8	-38,2	
1974	76,4	32,4	0	-44,0	-76,4	
1975	61,8	21,2	0	-40,6	-61,8	
1976	62,1	41,5	66,7	-20,6	3,6	

- Проверка включает:
1. Верхний предел допустимых отклонений $\Delta = 0,57\alpha$ в бассейне р. Печоры ± 44 мтн. т. а для группы медников Тукаусы $\pm 0,50$ мтн. т.
2. Сумма модулей Δ при расчете V_{M_1} по формуле (5.16) равна 786,8 мтн. т., а по формуле (5.16) 778,4 мтн. т. З. Ограничивающие расчетов \bar{V}_{M_1} по формуле (5.16), (5.17), (5.18) превышают 74,74 с 90%.

и более короткий период. Следовательно, вместо (5.7) и (5.18) можно записать

$$\bar{V}_{M_1} = b_n(T_2) q(T_2) \quad (5.19)$$

$$\text{и}$$

$$\bar{V}_{M_1} = v_n(T_2) q(T_2), \quad (5.20)$$

где T_2 — период суффирирования осадков, обусловленный задлаговременностью прогноза таяния и ледникового стока.

В табл. 6.4 приведены исчисления бассейнов рек Средней Азии, в которых при вычислении многолетних рядов $V_M(T)$ и $V_{M_1}(T)$ могут быть получены прогностические формулы типа (5.19)–(5.20). Основанием для этого вывода служит преобразующий вес зимне-весенних осадков в величине индекса влагоаккумуляции и

Таблица 6.4

Бассейны рек Средней Азии с преобразованием веса зимне-весенних осадков в величину индекса баланса влагоаккумуляции и абсолютной на ледниковых

Река-сток	Характеристики			
	S_{LH} км ²	S_{Bac} км ²	$\frac{S_{LH}}{S_{Bac}}$	$\frac{\alpha_{LH}}{\alpha_{Bac}}$
Бассейн р. Амударья				

Шахдара — Хабот	171,1	4 180	4,1	>90
Тун — Алишур	27,3	2 800	0,9	>90
Гулт — Хирот	634,2	19 700	4,6	>90
Обахумбуй — устье	12,3	709	1,7	>90
Сардай-Миана — с. Ракит	32,4	1 190	2,7	>90
Барзой — Гутары	36,1	716	5,0	90
Зидди — Зидди	10,7	181	6,0	82
Симса — Сирма	12,3	176	7,0	77
Сорво — Ракит	30,9	1 260	2,6	>90
Кафирчики — Чипар	64,4	3 040	2,1	>90
Саватсар — Сансакар	8,9	291	3,0	>90
Сарбог — Сангималик	165,6	1 760	6,0	89
Кынжасу — Домбаси	648	8 370	7,7	66
Зеравшан — Душанбе	666,7	10 200	6,4	80
Филиппра — устье	193,6	3 240	3,8	>90
Чираб — с. Тихфиги	33,7	1 460	2,3	>90
Магнандаря — с. Сурханса	94,6	1 100	2,2	>90
Саритет — устье	43,6	537	8,1	57

Бассейн р. Сырдарьи				
Насек — устье	127,8	2 830	4,5	>90
Чаткан — устье р. Терс	49,1	4 290	1,1	>90
Карашах Заг. — устье	60,7	1 180	6,1	90
Кеменимерен — с. Арас	94,0	5 290	1,8	>90
Чинчиль — б/б вм выше устья	10,7	903	1,2	>90
Узункаграт — устье р. Узгеней	19,3	1 290	0,9	>90
Отарта — 2,6 км выше устья	10,6	897	1,3	>90
Алабуга — с. Кошсаебе	119,3	3 710	3,2	>90
Карнишиб — Гульче	15,8	2 010	0,6	>90
Тир — с. Чакка	67,0	3 840	1,6	>90
Кезакултузик — с. Альтаги	29,5	907	2,5	>90
Инжикрам — с. Ушкоргес	102,2	2 220	4,6	>90
Акбура — с. Папак	113,9	2 200	5,0	90
Ходжабакарлик — с. Адерхон	51,9	1 740	3,0	>90
Шахмангардаг — с. Паульсан	47,7	1 300	3,7	>90
Аргат — с/х Юксасай	36,8	1 080	0,9	>90

Бассейны оз. Иссык-Куль, рек Чу и Тялас				
Аспи	44,0	2 720	1,6	>90
Куркургусу — Чевкурган	39,1	454	8,7	56
Каржуба — Кожай	25,2	797	3,2	>90
Урмердат — Окшебрекное	35,8	1 120	3,2	>90
Тылак — с. Гардакепе	120,7	0 200	1,3	>90
Кетеги — лесной Кордог	19,9	256	7,8	64
Шакат — лесной Киркен	31,0	467	6,8	80

Река-сток	Характеристики			
	$S_{\text{пл}} \text{ км}^2$	$S_{\text{бас}} \text{ км}^2$	$\frac{S_{\text{пл}}}{S_{\text{бас}}} \%$	$I_{\text{ах}} / I_{\text{ах}} \%$
Чу - Кечкорю	213,0	5370	4,0	>90
Керекулжур - с. Серебряные Кумбели	27,3	1940	2,9	>90
Джуангарик - устье	30,0	2240	1,3	>90
Чон-Кемин - устье	111,6	1800	6,0	85
Актерек - МТС	25,2	585	1,2	90
Тохар - устье р. Коцал	20,1	285	6,8	80
Кызылкурганчик - Коч-Джал	6,6	107	8,0	60
Джалырчай - с. Михайловка	109,7	2080	5,3	50

Примечание. $S_{\text{пл}}$ — площадь водосбора; $S_{\text{бас}}$ — площадь бассейна до самого верхнего стока.

абиации на ледниках. Для других стоков на реках Средней Азии, которые не вошли в табл. 5.4 и приведенные в табл. 5.4, оценки вкладов $I_{\text{ах}}$ и следовательно возможности долгосрочных прогнозов V_M и V_m , по формулам (5.19) — (5.20) легко устанавливаются с помощью зависимости $I_{\text{ах}} = f\left(\frac{S_{\text{пл}}}{S_{\text{бас}}}\right)$ из рис. 3.2.

Из экспониций в нашем распоряжении данных о суммарном таянии и ледниковом стоке на наиболее подходящих для оценки параметров моделей прогноза (5.19) и (5.20) являются многолетние ряды объемов V_M и V_m , полученные в бассейнах реч. Зеравшан (Маттия) и Псекем. Уточненный после интеграции состав индекса баланса I_B для ледниковых бассейнов р. Псекем включает сумму осадков за октябрь—июнь, сумму средних месячных температур воздуха за май—сентябрь и сумму баллов общей облачности за май—сентябрь.

В бассейне р. Псекем в качестве аргумента эмпирических формул (5.19) и (5.20) взята сумма осадков за октябрь—май, которая, как видно из рис. 5.9, образует достаточно тесную связь с $Z_{\text{ макс}}$ при $Z_{\text{ макс}} = f(I_B)$.

Результаты построения зависимостей V_M , (I_{x-y} и V_m (I_{x-y})) для бассейна р. Псекем за 1937—1970 гг. представлены на рис. 5.10. Путем подбора аппроксимирующих выражений для этих связей получены такие эмпирические формулы (V_m в млн. т):

$$\hat{V}_M = 96 + 651,7e^{-0,0117I_{x-y}}, \quad (5.21)$$

$$\hat{V}_m = 2276,4e^{-0,0259I_{x-y}}, \quad (5.22)$$

коэффициенты корреляции которых для линеаризованных переменных соответственно 0,70 и -0,87.

Независимая проверка эмпирических уравнений (5.21) и (5.22) по данным расчета V_m и V_M в бассейне р. Псекем за 1971—

1976 гг. показала, что значения ошибок прогнозов не превышали допустимого предела соответственно в трех и четырех случаях из шести.

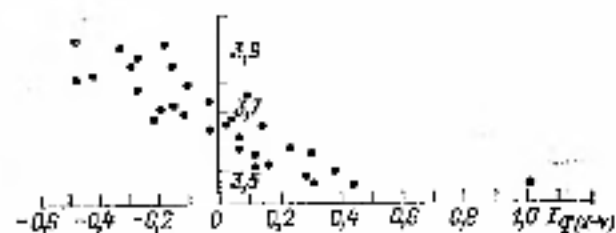
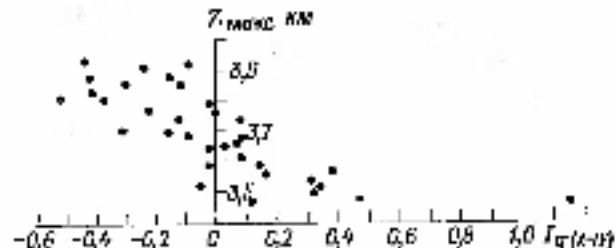


Рис. 5.9. Зависимость максимальной высоты снежной скопинки в ледниках бассейна р. Псекем от суммы осадков за meteorologicheskiy Psekem.
Значок определена при уточненном составе индекса баланса (I_B).

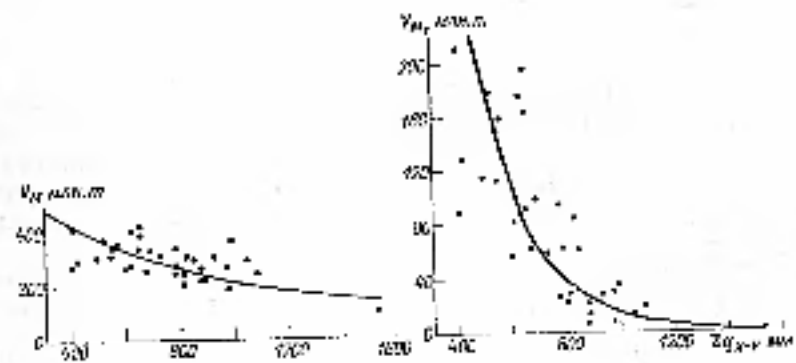


Рис. 5.10. Зависимости объемов V_M и V_m суммарного таяния ледников в бассейне р. Псекем от суммы осадков за сентябрь—май за meteorologicheskiy Psekem.

Полученную оправдываемость прогноза V_M и V_m в бассейне р. Псекем следует признать удовлетворительной, учитывая, что об данные об одних только осадках за октябрь—май прогнозировались объемы суммарного таяния ледников и ледникового стока,

которые зависят также от метеорологических условий летнего периода. Исследование короткую зависимость $Z_{\text{max}} = f(q_{x-y})$ на рис. 5.9 в принципе сдвиг ли возможно, чтобы замещающие осадки полностью сбрасывали условия к объемам таяния ледников в течение мая—октября.

Сходные результаты были получены для прогноза V_M , по схеме (5.20) в бассейне р. Зераашан (Матча), где, как следует из рис. 5.11, также существует зависимость V_M (q_{x-y}). Аналогичный вид этой зависимости (V_M , в млн. м³):

$$V_M = 8705,6e^{-0,004q_{x-y}}$$
(5.23)

Коэффициент линейной корреляции после логарифмирования функции равен 0,82. Аналогичная по форме зависимость объема ледникового стока от суммы осадков в бассейне р. Вахш приведена в работе [3].

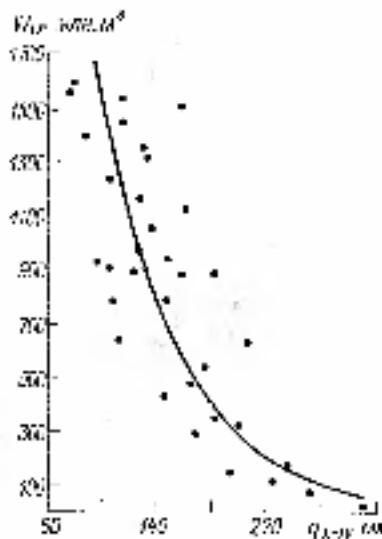


Рис. 5.11. Зависимость между среднеквадратичными стоками в бассейне р. Зераашан и суммами осадков за октябрь—май, определенные на метеорологической станции Джалгауз (q_{x-y}).

Паряду с одноФакторными формулами (5.19) и (5.20) для прогноза V_M и V_H , рассмотрены возможности построения уравнений множественной регрессии, в которые, помимо суммы осадков за октябрь—май, входят другие предикторы. В качестве примера назовем сумму средних месячных температур воздуха и давление по столу за период, предшествующий спланированию прогноза.

В частности, для Гимринской области в бассейне р. Псеком получено следующее уравнение нормализованной регрессии:

$$n_{V_M} = 0,149n_{a_{III-V}} - 0,812n_{q_{x-y}} + 0,032n_{p_y}, \quad (5.24)$$

где $n(x)$ — квантили нормированной нормальной функции распределения соответствующих первичных; a_{III-V} — сумма средних месячных температур воздуха за март—май; q_{x-y} — средний за май расход р. Псеком в районе гидропоста Карагаштугай. Сводный коэффициент корреляции уравнения (5.24) равен 0,825. Проверка уравнения (5.24) на независимых материалах дала такие же результаты как и в случае расчета V_M по формуле (5.22).

Регрессионный анализ предикторов для V_M в бассейне р. Зераашан, аналогичных тем, которые вошли в уравнение (5.24), был выполнен сначала для части (1943—1961 гг.), а затем до всему имеющемуся ряду V_M , т. е. за 1943—1977 гг. При использовании короткого ряда данных для прогноза V_M (в км³) получена одноФакторская формула

$$\hat{V}_M = 1,29 - 0,005q_{x-y} \quad (5.25)$$

и

$$\hat{V}_M = 1,15 - 0,004q_{x-y}, \quad (5.26)$$

если параметры эмпирической формулы $\hat{V}_M = f(q_{x-y})$ оценивать на основе всего ряда данных. Как видно, эмпирические коэффициенты в формуле (5.26) изменились неизначительно после добавления в выборку V_M , к q_{x-y} новых данных за 14 лет. Устойчивость этих параметров подтверждают также приведенные в табл. 5.5 результаты проверки формулы (5.25) на независимых данных.

Подводя итоги впервые вышененного для всех бассейнов рек Средней Азии исследование возможностей долгосрочного прогноза годовых объемов суммарного таяния ледников и ледникового стока, отнесим следующие результаты.

1. Определены речные бассейны, где эффективным критерием прогностических уравнений является сумма замещающих осадков за соответствующих метеорологических станциях. В остальных случаях долгосрочный прогноз V_M и V_H с помощью уравнений

Таблица 5.5
Проверочные прогнозы V_M (в км³) в бассейне р. Зераашан по формуле (5.25)

Год	V_M , по модели выбора	\hat{V}_M по формуле (5.25)	$\Delta - \hat{V}_M$, V_M
1954	0,207	0,185	0,148
1955	0,103	0,203	0,705
1956	0,237	0,285	0,728
1957	0,896	0,625	-0,271
1958	0,366	0,375	-0,231
1959	0,020	0,060	0,000
1970	0,061	0,135	0,074
1971	0,480	0,443	-0,090
1972	0,238	0,470	0,226
1973	0,394	0,286	-0,229
1974	0,320	0,550	0,230
1975	1,031	0,895	-0,140
1976	0,610	0,665	0,046
1977	0,545	0,370	-0,175

Проверяется. Критерий оправдываемости прогноза является условие проверы A величины $0,674n_{V_M}$, равной 0,25 км³. Количество случаев $|\Delta| \leq 0,25$ км³ составляет 86 %.

множественной регрессии невозможен без учета метеоусловий периода абляции ледников. Эти бассейны перечислены в приложении к работе.

2. Установлено, что подобрать предикторы в уравнение множественной регрессии для прогноза объема ледникового стока гораздо легче, чем для объема суммарного таяния ледников. Причина здесь в том, что все предикторы, пригодные для прогноза

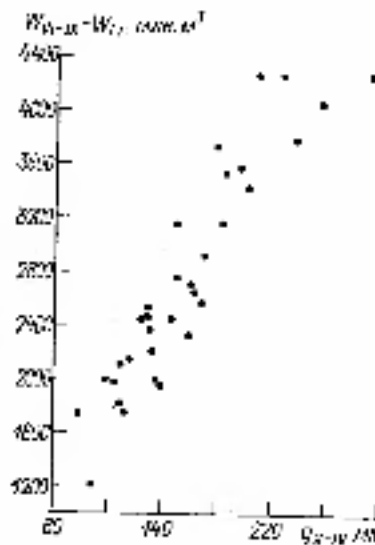


Рис. 5.12. Зависимость между величинами стоков $(W_{M1}-W_1)$ и бассейне р. Зеравшан и суммами осадков за октябрь—апрель на метеорологической станции Джуз (см. табл.).

V_M , не имеют никакого эффекта при предсказании возможного выпадения летнего снега, таяние которого может составлять значительную часть объема V_M .

3. Сравнение зависимостей объема ледникового стока от суммы осадков (см. рис. 5.10, 5.11) и связи между стоках вегетационного периода и зимне-весенними осадками для рек снегового питания показывает, что в первом случае эти связи обратные, а во втором — прямые. Из этого следует, что на реках со снегово-ледниковым питанием прогноз стока вегетационного периода представляется собой сумму результатов расчета по двум независимым уравнениям: а) для снеговой составляющей, б) для ледниковой составляющей.

Для того чтобы получить такие уравнения, необходимо рассчитать временной ряд $V_M(T)$, определить снеговую сплошивающую стоки (W_M), построить для V_M и W_M зависимости от суммы осадков за зимне-весенний период.

Примеры построение двух таких зависимостей для прогноза объема стока за июнь—сентябрь в бассейне р. Зеравшан по данным об осадках за октябрь—апрель на метеостанции Джуз приведены на рис. 5.11 и 5.12.

4. В ряде бассейнов рек Средней Азии хорошую оправданность прогнозов ледникового стока с многолетней заблаговременностью обеспечивают уравнения авторегрессии 1-го и 2-го порядков. Необходимым условием получения таких уравнений является устойчивая циклическость временных рядов $V_M(T)$. По всей вероятности, в Средней Азии не все многолетние ряды годовых объемов ледникового стока удовлетворяют этому требованию.

Выходы

1. Коэффициенты вариации (C_v) ледникового стока в целом для бассейнов колеблются в пределах 0,4—0,9. Наибольших значений многолетняя изменчивость ледникового стока ($C_v > 1,0$) достигает в бассейнах рек Бартанг, Гунт, Шахдара. Изменчивость объемов суммарного таяния ледников исходит меньше, чем для ледникового стока. Выполненные для бассейнов рек Сырдарья и Амударья расчеты C_v засух осадков, сезона снежного покрова, суммы летних температур воздуха и общей облачности на высотах, близких к границе тяжелой области, показали, что первоисточником достаточно высокой изменчивости V_M и V_M является вариация того же порядка суммы засых осадков и количества снежного покрова. Заметный вклад в вариацию V_M и V_M вносят также летние осадки и условия поступления суммарной радиации. Все эти факторы обуславливают высокую изменчивость продолжительности периода таяния льда, интенсивности таяния и гляциальных областей и в конечном счете объема ледникового стока.

2. Пространственная вариация продолжительности периода таяния льда к объемам ледникового стока в бассейнах рек Средней Азии хорошо описывается восходящей экспоненциальной функцией средней изолированной высоты центров асценций. Такой вид функции объясняется стремлением к нулю средней продолжительности периода таяния льда и, следовательно, объема ледникового стока по мере возрастания абсолютной высоты тибетской области.

3. Полученные автором аналитические выражения для расчета коэффициентов вариаций ледникового стока и продолжительности периода таяния льда, средних многолетних величин вклада ледникового питания в головной и сезонный сток рек Средней Азии и относение коэффициентов асимметрии и вариаций позволяют восстановить многолетний ряд объемов ледникового стока в любом бассейне Средней Азии, не проходя расчетом по региональной модели процесса суммарного таяния ледников.

Важным аспектом использования формул (5.3)—(5.6) является карттирование распределения по площади вклада ледникового питания в головной сток рек и коэффициентов вариации ледникового стока (см. приложение IV).

4. В результате анализа нормализованных интегральных разностных кривых установлены отличия в продолжительности многолетней и многогодичной фаз в многолетнем режиме суммарного таяния ледников и ледникового стока на Заилий-

ской Алатау по сравнению с Памиром и Гиссаро-Алаем. Важным для водопользования свойством многолетних колебаний ледникового стока в бассейнах рек Средней Азии является одновременность резких паводков на нетривиальных разностных кривых.

5. Для настоящего времени возможны повышение качества долгосрочных прогнозов водности вегетационного периода в бассейнах рек с снегово-ледниковым и ледниково-снеговым питанием из-за отсутствием регионального подхода к решению данной проблемы и недостатком информации о многолетних режимах ледникового стока.

Хотя ледниковое питание реки формируется от таяния многолетнего льда и фирна, сезонные твердые осадки текущего года из ледников оказывают на неизменную $W_{\text{л}}$ сильное влияние. Так, при прочих равных условиях обильная зимняя аккумуляция сокращает период таяния льда, и наоборот, а частые летние снегопады уменьшают объем ледникового стока. Из сказанного следуют такие основные выводы:

- ледниковый сток связан с величиной сезона (или годовой) аккумуляции обратной зависимостью;

- объем ледникового стока, подобно общему стоку в бассейне, является функцией характеристики аккумуляции и абляции;

- характеристика аккумуляции в гидрологических областях представляется собой потенциальный предиктор для статистического прогноза $W_{\text{л}}$ в бассейнах с преобладанием выходом индекса аккумуляции в описание дисперсии стока за тройку сентябрь — октябрь.

В приящие испытывание засух-всеснежных осадков для прогноза $Z_{\text{мин}}$ и $W_{\text{л}}$ возможны во всех бассейнах рек Средней Азии, где обновление составляет не более 10 % от площади, занимаемой гидрометрическими створами. Этот вывод наименее однозначно обосновывается тем, что по ходу возрастания относительной площади плавней уменьшается вклад ледникового питания в общий сток и его многолетия. Изменчивость все больше зависит от колебания абляции, нежели аккумуляции.

Таким образом, чем дальше по высоте от ледников находятся в бассейне гидрометрический створ, тем легче прогнозировать один и тот же объем ледникового стока, поскольку упрощаются возможности использования обратной связи между ледниковым и снеговым питанием реки. А снеговое питание также несет связь с засухами-весенними осадками.

В конечных счетах повышение качества долгосрочных прогнозов водности вегетационного периода в бассейнах рек с снегово-ледниковым и ледниково-снеговым питанием, где выражается также условие $b_{\text{лд}} > b_{\text{сл}}$, возможно путем разделенного прогноза снеговой и ледниковой составляющих стока.

6. В бассейнах рек Средней Азии установлено отсутствие зависимости между объемами U_m и $W_{\text{л}}$ за любые смежные годы. Важнейшая в ряде случаев закономерность повторения через 6 лет никнов положительной и отрицательной корреляции является основой

для прогноза $W_{\text{л}}$ с шести- и четырехлетней заблаговременностью по уравнению авторегрессии 1-го и 2-го порядков.

Глава 6

Численное моделирование искусственного воздействия на таяние ледников

6.1. Проблема увеличения водоотдачи ледников в условиях Средней Азии

Известно, что ежегодная обеспеченность водой поглавий культур в течение вегетационного периода в республиках Средней Азии существенно зависит от сезона и стеконакопления в интервале высот от 2000 до 4000 м. Поэтому в годы с лебеским количеством заснеженных осадков в условиях жаркого и сухого южного лета наблюдается острая нехватка воды для орошения и удовлетворения нужд других потребителей (посевление, гидроэнергетика и промышленность). Именно в это время большое значение приобретает проблема получения дополнительной влаги.

Потенциальными источниками такой влаги являются ледники, многолетние снежники и фирновые поля, расположенные на больших высотах. Увеличить интенсивность процесса их естественного стаяния можно, создав более благоприятные условия для поглощения солнечной энергии, так как обычно довольно значительная доля коротковолновой радиации отражается обратно в атмосферу.

Этот вывод хорошо известен и, совершившись бесспорен. Однако простая комбинация факта усиления таяния после искусственно стимулирования отрицательной способности снежной или ледовой поверхности еще недостаточна для оперативного решения вопроса о восполнении недостатка воды в засушливые годы. Необходимо точно представить себе эффективность намечаемого мероприятия, его реальнаяность, а также возможные последствия ускоренной сработки многолетних запасов снега и льда и регressiveную фазу развития современного горного биоценоза.

Отдельные попытки [99, 110, 229] опровергли потенциальный дополнительный объем таяния ледников при условии прохождения искусственного воздействия в пределах некоторого кругового речного бассейна хотя и упоминают результаты экспериментальных работ по усилению таяния, содержат ряд уточнений и главы обоснования положений. Наиболее существенными недостатками являются:

- весьма приближенное описание процесса таяния и спреключение его факторов в течение интервала времени (около 2–2,5 месяца), требующегося для получения достоверного результата от воздействия;

— использование в расчетах дополнительного объема таяния приоритетных или произвольных входных данных о продолжительности и эффективности однократного запыления поверхности ледников;

— отсутствие рекомендаций по оптимизации методики искусственного воздействия в экологическом смысле и в плане минимизации вредных и необратимых последствий для существования ледников.

Для построения численной модели искусственного воздействия на таяние и ее программной реализации на ЭВМ, помимо моделирования процесса таяния на ледниках, необходимы решения следующих вопросов:

а) обоснование основных положений методики искусственного воздействия (речь, место, оптимальная технология, критерий целесообразности эксперимента);

б) оценка влияния запыления на физические свойства деятельной поверхности снега и льда и комплексная характеристика их изменчивости в пространстве и со временем;

в) определение функции, описывающей интенсивность таяния при различных формах запыления поверхности ледниковых;

г) учет влияния ледниковых систематов на эффективность искусственного воздействия;

д) расчет движения сезонной спутниковой траектории на ледниках при условии запыления их языков;

е) реализация принципиальных пожеланий требования о минимизации отрицательных последствий от искусственного воздействия для естественного и антропогенного режима ледников.

Выполненные в работе исследование проблемы уменьшения водонапора ледников Средней Азии включает:

— обобщение результатов соответствующих теоретических и экспериментальных работ;

— изложение принятых в модели условий и аналитических выражений, обеспечивающих расчет эффекта регионального воздействия с учетом перечисленных выше требований;

— анализ результатов отнесенного моделирования искусственного воздействия на таяние ледниковых в одном из бассейнов Средней Азии.

1. Проблема искусственного усиления таяния снега и льда в горах имеет ярко выраженный прикладной характер, поэтому выбор места и времени проведения воздействия, очевидно, в существенной мере обусловлен требованиями конкретного потребителя. Поскольку в условиях Средней Азии наиболее значительными по масштабу и важными в народнохозяйственных отраслях являются потребности в воде сельского хозяйства, промышленности, гидроэнергетики и населения, возможности осуществление искусственного воздействия на таяние рассматриваются в работе применительно к назначению потребителем.

Единственным объектом воздействия на таяние, представляющим потенциальную практическую значимость, являются горные

ледники. В течение периода мае—октября суммарный объем таящих ледяшек складывается из объемов таяния зимнего снега, льда и старого фирна. В общую сухому входит также таяние летнего снега, то применительно к проблеме искусственного воздействия ледяной снег, вышедший за запыленную поверхность, следует рассматривать [60, 62, 99, 110, 169, 222, 220] как фактор, так называемый устрашающий эффект воздействия или значительно снижающий [12, 260] его.

В настоящее время имеется о целесообразности запыления поверхности открытого льда [5, 12, 60, 99, 110, 135, 220, 229], имеющаяся облегченная фирмой величина:

— значительной естественной запыленности и соответствующих значений альбедо льда;

— быстрого смывания талой водой частицы запыляющего вещества с поверхности льда и восстановления естественного альбедо льда.

Таким образом, на леднике потенциальны пригодными для запыления остаются птицы области питания в зимнем снегу, когда он покрывает весь ледник.

По нашему мнению, не следует проходить усиление таяния зимнего снега и фирна или только фирна в областях питания ледников, как предлагается в работах [4, 5, 12, 140], по следующим соображениям:

а) исходя вероятности того, что ускорение против обычного расходование эпиголистных засадов фирна — источника существенного повреждения ледников — может привести к необратимой деградации ледников. Эта опасность увеличивается потому, что необходимость в усилении таяния ледников возникает в маловодные годы, когда беда вспыхнет в областях питания ледников отрицательный уже вследствие естественного преобладания абляции над аккумуляцией;

б) модуль стока из области питания ледника существенно меньше (в 2–3 раза) модуля стока из области аблации;

в) доставка и распыление десятков тысяч тонн запыляющего вещества в области питания ледников на высоты более 4000–5000 м над уровнем моря неподъемно столкнется со сложными техническими проблемами, если ориентироваться на применение самолетов, или потребует огромного количества вертолетов, имеющих ограниченную грузоподъемность.

Что касается времени проведения искусственного воздействия, то по этому вопросу существует две различные точки зрения:

а) запыление ледников следует проходить весной в апреле—мае, рассчитывая на сохранение эффекта от воздействия до сентября—октября [4, 5, 60];

б) искусственное воздействие на таяние должно быть приурочено к времени максимальной потребности в воде, т. е. к июлю—августу [140] или к июлю—августу [12].

В принципе, первый вариант представляется более выгодным, поскольку помимо прочего обеспечивает удлинение периода таяния

льда в области сублипции, где значение естественного альбедо и коэффициент стока практически равны единице.

Учитывая необходимость исключения от искусственного воздействия рентабельных результатов для крупных потребителей, оговаривающих требования к зачернению материала, помимо наличия его в требуемом качестве, являются: деформация, высокая способность к устойчивому уменьшению альбедо, отсутствие вредных последствий для природной среды.

Обобщая итоги экспериментов и приведенных расчетов [4, 60, 134, 135, 214, 222, 260], содержащихся в упомянутых здесь работах, приходит к выводу, что более всего перечисленным требованиям отвечает угольная пыль. В частности, по данным А. А. Крейтера [135], относительные показателиская способность угольной пыли равна 0,95, серого песка 0,76, чернозема 0,66, глины 0,39.

Недостатком угольной пыли как зачерняющего материала является плохая смачиваемость, которая несколько снижает [214] суммарный эффект воздействия. В этом отношении преимущество перед угольной пылью обладает размолотый черный шлак [214], который, как показали эксперименты [12, 135, 214], наряду с угольной пылью может быть использован в качестве зачерняющего материала.

2. Решение вопроса о норме зачернения при проведении искусственного воздействия на таяние с одной стороны определяется вполне логичным стремлением к максимальной эффективности мероприятия, с другой — существует некоторый разумный предел качества льда, выше которого реализация воздействия в производственном масштабе становится технически невозможной. Так, например, В. Л. Шульца [220], в случаях, когда погода, где планируется воздействие, складывает сини квадратных километров, вряд ли можно всерьез говорить о нормах защаления более 25 т/км².

По ориентировочным расчетам А. С. Щетининова [229], для усиления таяния селников в бассейне р. Пекем на глубине 121 км² в течение июля—августа с учетом потерь при запылении необходимо применить 118 тыс. т угольной пыли, то есть 88 тыс. т на зачернение льда и 20 тыс. т на зачернение снега. Для распыление этого громадного количества пыли потребуется 54 тыс. вертолето-часов и 102 вертолета. Даже если ограничиться защалением однотипного снега, техническое осуществление такого проекта искусственного воздействия представляется весьма сомнительным.

По всем исследованным, занимавшимся вопросами искусственного воздействия на таяние, самые низкие нормы для зачернения снега на леднике (5 и 10 т/м²) приводят Г. А. Авсюк [4, 5]. По результатам экспериментов в физико-области ледника Медведевского, к выводам Г. А. Авсюка присоединяется также А. Б. Бажев [12].

Отличие работы в конце апреля—начале мая на сезонном снеге В. Мехатана, Дж. Меймана и Б. Гуллема [261] с различными нормами и видами зачерняющих материалов показало, что оптималь-

ный эффект с учетом расходов был достигнут при норме угольной пыли 34,4 т/м².

Эксперименты В. Л. Шульца с соавторами [222] в июле—августе на снежнике в бассейне р. Алаудын выяснили, что норма зачернения порядка 5–10 т/м² дает плавание таяния до 20 % и более, если начальное альбедо снега составляет 0,45 и более. В работе [222] содержится также высокий вывод о большом влиянии естественной засыпки снега на эффективность применяемых норм зачернения.

Соответствующие материалы по благопригодному ходу альбедо поверхности ледника, содержащиеся в разделе 4.1, показывают, что время этого процесса имеет максимум в июле—августе и возрастает к апрелю и октябрю.

Обстоятельство исследования в лабораторных условиях эффективности влияния различных норм запыления на таяние ледяного покрова можно видеть по работе Е. Н. Цыбина [214].

Выход. Цыбина относительно эффективности различных норм зачернения вещества ссылаются к следующему:

а) чем меньше норма зачернения, тем продуктивнее будет работать каждая частица зачерняющего вещества. В то же время, чем больше норма зачернения, тем быстрее тает снег и тем большее количество талой воды можно будет получить с той же частицей в единицу времени;

б) наиболее благоприятными для мероприятий по искусственному усилению таяния следует считать температуры воздуха, близкие к 0°C;

в) при самых нормах зачернения фактическое усиление таяния в большинстве случаев превышает 50 % превосходит результат, ожидаемый за счет уменьшения альбедо.

По мнению Е. Н. Цыбина [214], И. А. Зотикова [277] и А. Б. Бажева [12], это дополнительное таяние обусловлено тепловым воздействием на лед или снег самих частиц пыли, если они расположены друг от друга не ближе радиуса распространения теплового воздействия.

Однако пока неясно, как перейти от лабораторных данных с постоянными параметрами внешних условий (температура радиации, скорость ветра, относительная влажность воздуха) к общим формулам или зависимостям, описывающим эффект воздействия с учетом изменчивости всех метеорологических характеристик. В связи с этим перечисленные здесь выводы Цыбина в численной модели искусственного воздействия на таяние не используются.

Графическое изображение экспериментальных данных по вопросу об эффективности влияния различных норм запыления на альбедо снега и льда представлено на рис. 6.1, взято из работы автора [110]. Из этого графика следует, что эффективность действия запылителя растет намного медленнее, чем увеличивается его концентрация на 1 м² поверхности. Так, если принять изменение альбедо при зачернении 10 т/м² за единицу, то увеличение нормы угольной пыли в 10 раз даст прирост A_{L_2} примерно в 3,5–4 раза.

А 30-кратное увеличение концентрации загрязнения приводит к возрастанию ΔA_c всего в 7–8 раз.

Таким образом, учитывая имеющиеся оценки эффективности и целесообразности применения различных норм зачернения снега, для численных экспериментов по модели искусственного воздействия на таяние следует ограничиться диапазоном от 5 до 100 г/м².

При назначении или выборе нормы искусственного воздействия на таяние необходимо учитывать неизбежные потери угольной пыли в процессе разбрасывания ее с самолетов или вертолетов. Результаты запыления снежного покрова в горах на площади 24 гектара с самолета АИ-2 сельскохозяйственной авиации показаны на рисунке 6.1.

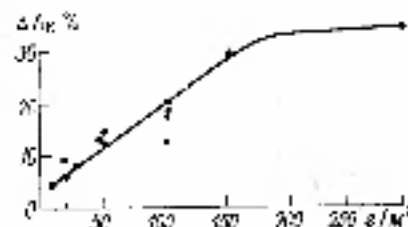


Рис. 6.1. Изменение объема ледника (ΔA_c) в зависимости от нормы запыления (g/m^2).

зали [131] следующее: а) средняя концентрация угольной пыли на поверхности снега составила 34,6 г/м², или 60 % от запланированной нормы 50 г/м²; б) пыль распределилась на склонах весьма неравномерно.

Как видно, потеря при распылении достаточно существенны, что выывает необходимость дополнительного расходования угля для получения требуемой концентрации на поверхности ледников.

Эксперименты, выполненные многими исследователями [5, 12, 62, 136, 134, 135, 222, 261, 277], показали, что существенное влияние на искусственное усиление таяния оказывает фракционный состав загрязнителя. Как было сказано, наибольший эффект может быть получен, если для зачернения снега использовать угольную пыль или тончайший шлак с диаметром частиц от 0,1–0,2 мм до 0,4–0,5 мм.

В работе [110] показано, что суточная интенсивность таяния в течение периода абляции имеет вполне определенные пределы, зависящие от географических координат района оледенения. В результате экспериментов установлено, что в большинстве случаев искусственное усиление таяния отличается от естественного не более чем в полтора раза. Поскольку в маловодные годы дефицит воды для крупных потребителей составляет от нескольких сот миллионов кубометров [110] до нескольких кубокилометров [220], ощущаемый эффект от искусственного воздействия на таяние ледников в принципе может быть получен только, если период усиленного таяния составляет не менее 2–3 месяцев.

Для того чтобы в течение всего этого времени обеспечивать усиленное таяние на определенном заранее выбранном уровне, необходимо

жодно периодически повторять запыление ледников. Количество циклических запылений зависит от ряда функций: ослабления эффекта воздействия, принятого экономичного уровня эффекта, технико-экономических возможностей, интенсивности выпадения снега в течение периода воздействия на таяние.

4. Существенной частью проблемы искусственного воздействия на таяние является, по мнению мыслью, всестороннее обоснование целесообразности мероприятия. Такое обоснование должно включать: а) тематическое и экономические расчеты и предварительную оценку реальнойности мероприятия с учетом реальных потребностей воды в маловодные годы; б) комплекснуюоценку возможных последствий от направленного воздействия на режим ледников; в) установление минимизации возможных отрицательных последствий для естественного режима ледников в результате искусственного усиления их таяния.

Отметим, что перечисленные вопросы пока не были рассмотрены специалистами достаточно полно.

Ориентировочные определения потенциального дополнительного объема стока, получаемого в результате усиления таяния ледников в пределах отдельных бассейнов [99, 110, 229] и в целом для Средней Азии [140, 220], показывают, что при сделанных в расчетах допущениях мероприятие является либо недостаточно эффективным и экономически нецелесообразным, либо «последствия непригодны в качестве альтернативы или крупного дополнения к существующим проектам крупномасштабного регулирования стока» [140, с. 15].

Что касается опаски возможных последствий для режима ледников от искусственного усиления их таяния, то жалоб гидрологов по этому вопросу диаметрально противоположны. Так, Г. А. Лисюк считает, что «искусственное усиление таяния ледников можно применить эпизодически – в особенно засушливые годы, без всякого ущерба для естественного хода эволюции современных ледников» [4, с. 88]. Он же полагает, что на отдельных ледниках, учитывая «нерегулируемость» ледников, возможно в определенных пределах осуществлять систематическое усиление их таяния.

Другие исследователи [110, 140, 229] опаскают возможные последствия усиления таяния более осторожно и менее оптимистически, чем Г. А. Лисюк. Предполагается, что «ускоренное против обычного расходование этих защелков может привести к необратимым последствиям, когда сезонный сплав, лишившийся сдерживавшего таяния оледенения, станет таять быстрее и дефицит пресной воды в июле–августе будет еще больше, нежели в прежнем» [12, с. 137].

По мнению А. С. Щетининова [229], искусственное усиление таяния в фирновых областях в маловодный год приведет к потерю четырехдневной величины питания, для восстановления которой необходимо получение в течение ближайших четырех лет восемь летней нормы, что маловероятно. В конечном счете даже после

однократного усиления таяния ледников могут начать интенсивно деградировать.

К аналогичному выводу пришел и А. Н. Кречко [140], который обратил также внимание на притягательные последствия смещения вверх границ между зонами в результате вскрытия ледников.

В целях минимизации возможных притягательных последствий усиления таяния ледников в самой общей форме назовем [110, 140]: создание покрова морены на ледниках, увеличение сплошности путем регулирования потового переноса снега репетиционными заборами, искусственное увеличение осадков для восстановления запасов льда. Детальных разработок или расчетов по перечисленным предложением не имеется.

6.2. Методические основы численного моделирования оптимального воздействия на таяние ледников

На основе анализа показателей внутритодового режима таяния ледников и многолетней изменчивости объемов ледникового стока в гляциальных областях Средней Азии автором сформулированы следующие основные положения оптимального метода китчен-фикации таяния [119, 129].

1. Искусственное увеличение площади ледников следует проводить только в годы, когда максимальная высота сезонной снеговой границы на ледниках близка к средней многолетней. Это условие обеспечивает непревышение экстремальных при естественном режиме суммарных объемов таяния.

2. Мероприятия необходимо проводить только в апреле—начале мая на площади языков ледников с тем, чтобы ускорить сход зимнего снега с поверхности льда. Эта рекомендация сохраняет изолированные области питания ледников и обеспечивает искусственное удлинение периода таяния на плоскости с достаточно низким естественным яльбено и максимально благоприятных условиях стока.

Есть основания полагать, что дополнительное изъятие стока из гляциальной области, не превышающее максимальной амплитуды его естественных колебаний, неизбежно приведет к отрицательным непрерывным последствиям в режиме снегошения. Этот вывод основан на рассматриваемых в предыдущей главе свойствах автокоррелирующих функций процессов $V_m(t)$ и $V_{\text{л}}(t)$, где, в частности, выявлено отсутствие закономерности в чередовании обеспеченности объемов суммарного таяния V_m и $V_{\text{л}}$, при шаге времени от 1 до 5 лет. Из этого следует, что в будущем один за другим годах, равновероятны отклонения любой амплитуды и знака от среднего.

Многолетняя изменчивость годовых и среднегодовых средних за 6 лет объемов суммарного таяния V_m и $V_{\text{л}}$, в бассейне р. Пекем показана на рис. 6.2. Как видно, в многолетнем режиме таяния гляциальной области наблюдаются отдельные годы и целые периоды, когда годовые объемы суммарного таяния не превышают

средних многолетних значений. Поскольку некоторые из этих лет в бассейне р. Пекем относятся к числу малогодовых или с понижкой водностью, представляется вполне целесообразным путем искусственного воздействия на таяние увеличить объем стока с языком ледника от средних в близких к них значениях до максимальных из всех определенных ранее для естественных условий. Можно предположить, что в отличие от выдвинутых ранее предложений [4] этот вариант вынуждения дополнительного объема ледникового стока,

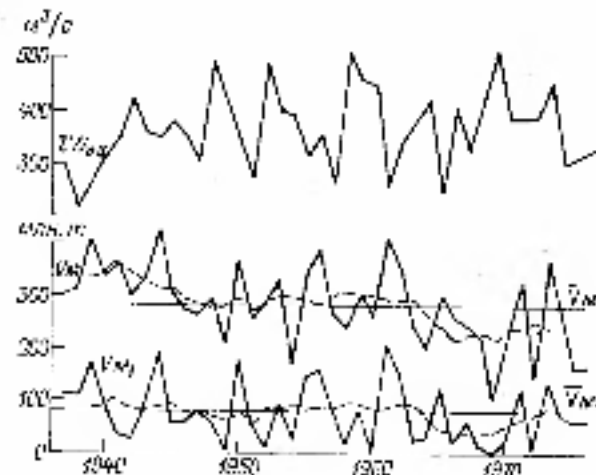


Рис. 6.2. Многолетняя изменчивость стока $(\Sigma V_{\text{ут-тг}})$ р. Пекем в чарте Карлагитусай (сумма средних объемов расходов за VI-IX) и объемов суммарного таяния ледников V_m и ледникового стока $V_{\text{л}}$ в этом же бассейне.

Примечание: линии показывают скользящее среднее по 6-летним интервалам.

в котором задано превышение максимальных значений V_m , при обычных режимах таяния, окажется наиболее безвредным для дальнейшего существования ледников.

В качестве примера доказуем: однотипно-двуразовство искусственного увеличения объемов стока с площади языков ледников S_d на всем период 1964—1974 гг., когда в бассейне р. Пекем отмечено 3 минимальных года, а суммарное таяние на ледниках оказалось ниже средних многолетних значений.

Принципиальным реализуемым способом частичного восполнения дефицита стока в годы с понижшей и чрезвычайной водностью второй половины негетацационного периода является искусственное удлинение продолжительности периода таяния льда на площади S_d . А это, как показывает сравнение 1947 и 1961 гг. в табл. 6.1, приведет к существенному увеличению ледникового стока.

Ледниковый сток в бассейне р. Пеки при различных значениях суммарного таяния

Характеристики года по утеплению таяния	Объем таяния ПДА	$\frac{W_{\text{т}}}{(W_{\text{т}} - W_{\text{т}}^*)}$	Коэффициент эвакуационного стока				$\frac{W_{\text{т}}}{W_{\text{т}}^*}$	$\frac{W_{\text{т}}}{W_{\text{т}}^*} \cdot \eta$	$\frac{W_{\text{т}}}{W_{\text{т}}^*} \cdot \zeta$	$\frac{W_{\text{т}}}{W_{\text{т}}^*} \cdot \varphi$	$\frac{W_{\text{т}}}{W_{\text{т}}^*} \cdot \psi$	
			$W_{\text{т}}$	$W_{\text{т}}^*$	$W_{\text{т}}^*$	$W_{\text{т}}^*$						
Максимальный	У. М.	1044	683,7	103,3	235,1	111,3	145,4	50,7	67,9	32,1	54,7	31,0
	У. А.	1061	478,2	210,5	247,3	107,0	160,0	60,1	70,6	29,4	71,3	44,0
Средний	У. А.	1052	981,4	13,7	100,7	40,1	140,8	9,4	71,5	26,5	16,0	1,6
	У. М.	1047	376,5	82,1	146,8	54,3	201,6	40,7	72,8	27,2	35,0	14,2
Минимальный	У. М.	1030	824,2	9,2	15,1	0	15,1	1,3	100	0	1,8	0,02
	У. А.	1030	824,2	9,2	15,1	0	15,1	1,3	100	0	1,8	0

Причесанко. $W_{\text{т}}$ — суммарный сток рек в эвакуационном речеводорожнике; $W_{\text{т}}^*$ — сток от таяния льда в фронте; η — сток от таяния снега в языках ледников и от таяния в плавучих облаках;

Требуемый результат может быть достигнут, если, начиная с апреля, искусственно ускорить стайание зимнего снега на площади S_2 путем зачерпывания поверхности утоляющей пыли. Эффективность данного метода получения дополнительного объема ледникового стока с площади S_2 зависит от объема зимней аккумуляции снега на языках ледников и интенсивности весенне-летних снегопадов. Судя по рассчитанным автором [119] датам начала и конца периода таяния льда в бассейне р. Пеки, продолжительность этого периода в предыдущем случае может быть увеличена на 2—2,5 месяца.

После схода зимнего снега дальнейшее ускорение таяния на площади S_2 не имеет смысла из-за некоторого естественного альбедо льда и быстрого смыкания утоляющей пыли талой водой.

Таким образом, получение дополнительного объема ледникового стока, не превышающего естественной амплитуды годовых сумм таяния на языках ледников, будет обеспечено только за счет удлинения периода штепенчатого таяния на площади S_2 и беспрепятственного пропускания талой воды в русло реки.

Как видно, достоинства этого способа состоят в следующем:

- почти не затрачиваются области таяния ледников;
- мероприятие проводится на площади с максимальными благоприятными условиями стока талой водой;
- временное нанесение на поверхность зимнего снега утоляющей пыли не дает вторичного эффекта и последействия на следующий год между смыканием утоляющей пыли с поверхности льда и высокой естественной загрязненности языков ледников [24, 63, 112];

т) искусственное удлинение периода таяния льда предлагается проводить только в годы, когда $Z_{\text{т}}^{\text{мин}}$ сезона снега на ледниках близка к средней многолетней высоте трапеции области лаганий. Причины указанной возможности прогноза $Z_{\text{т}}^{\text{мин}}$ с необходимой заблаговременностью рассмотрены в разделе 3.1.

Методика расчетов внутригодового (май—октябрь) хода объемов таяния зимнего и летнего снега, открытого льда, льда под морской и старого фирна для всего множества ледников в пределах некоторого бассейна детально изложена в настоящей работе. По мнению автора, региональная физико-статистическая модель процесса суммарного таяния ледников является вполне подходящей основой для разработки численной модели искусственного воздействия.

Ориентировочные оценки [5, 12, 99, 222, 220, 229] эффективности искусственного воздействия на таяние в очень приближенной и условной форме включали также данные летних снеготаящиков. Классически случалось с твердыми осадками и их интенсивностью, как правило, были заданы произвольно, поэтому полученные выводы имеют недостаточно обоснованный характер.

В модели искусственного воздействия на таяние расчет влияния летних снегопадов на эффективность запущение ледников выполняется по методу, описанному в разделе 3.3, путем отображения в координатах x , t слоеев выпадения и таяния летнего снега.

Рассмотрим, как отражается нашеение зачиряющейся материала на свойствах деятельной поверхности ледника и на структуре теплового баланса альбено.

Параллельные градиентные измерения на затененной и контрольной площадках выявили [137, 169] заметные отличия между ними в значениях температуры воздуха и упругости водяного пара в призедниковых сносях. По данным наблюдений В. А. Маркиша на леднике Ортотер (хребет Терский Алатау) «в сносе 0,5–2 м разность температур на зачиряющейся площадке в среднем была на 0,12°C больше, чем на контрольной. Ц отдельные сроки эта разница достигала 0,5–0,7°C, и даже 1°C. Наибольшей она была в омоложенное время» [169, с. 155].

Аналитические результаты получили А. А. Крейтер и А. А. Тихановская [137] по измерениям на леднике Баркрак (Западный Тянь-Шань).

В работе автора [102] показано, что даже при исключительных градиентах температуры воздуха и упругости водяного пара изменения к теплообмену могут возрастать в 1,6 раза, если параметр широковатости зачиряющей поверхности увеличивается от 0,6 до 2 см. А заметное возрастание изрезанности поверхности ледника и средней высоты микронесправностей после зачиряния отмечают все авторы, изучавшие вопрос об успешном таянии.

В работе [102] обращается внимание также на то, что искусственное запыление поверхности ледника вероятнее всего вызывает уменьшение эффективного поглощения.

К сожалению, современное состояние изученности всех других, кроме альбено, изменений теплового баланса альбено после запыления пока недостаточно для того, чтобы получить необходимые зависимости и формулы, которые следовало бы отложить в численную модель искусственного воздействия на таяние ледников.

Как следует из выражения (2.97), дополнительно поглощаемая коротковолновая радиация (ΔB_k) зависит от напряжения суммарной солнечной радиации (Q_s) и от того, насколько удается понизить естественную отражательную способность поверхности ледника

$$\Delta B_k = Q_s (A_k - A_{\text{ss}}), \quad (6.1)$$

где A_{ss} — альбено зачиряющей поверхности. Фактически величина ΔB_k целиком зависит от разности $A_k - A_{\text{ss}} = A_{\text{ss}}(1 - f)$, которую будем далее считать характеристикой эффективности искусственного воздействия на таяние, т. е.

$$\frac{A_k}{M} = f(A_{\text{ss}}), \quad (6.2)$$

где M — интенсивность таяния запыленной поверхности ледника.

В принципе интенсивность таяния запыленной поверхности ледника может быть определена двумя различными способами.

Во-первых, на основе (6.1), поскольку для построения числовой модели необходимо знать, что искусственное по-

множество интенсивности таяния зависит только от измерения альбено. Тогда, по аналогии с (2.98)

$$\frac{M_k}{M} = \frac{1 - A_{\text{ss}}}{1 - A_k}, \quad (6.3)$$

откуда

$$M_k = M \frac{1 - A_{\text{ss}}}{1 - A_k}. \quad (6.4)$$

Исследования показали [137, 277], что необходимые для численного моделирования значения ΔA_k или A_{ss} могут быть определены аналитически. В частности, рассматривая поверхность зачиряющего снега как слой хлопкой среды, А. А. Крейтер и А. А. Тихановская [137] для расчета A_{ss} претерпела такую формулу:

$$A_{\text{ss}}(n) = \frac{A_k(\infty)[A_k(\infty)A_k(0) - 1] + [A_k(\infty) - A_k(0)]e^{-\alpha n}}{A_k(\infty)A_k(0) + [1 + A_k(\infty)[A_k(\infty) - A_k(0)]e^{-\alpha n}]}, \quad (6.5)$$

где

$$E = \frac{1 - [A_k(\infty)]^2}{A_k(\infty)}; \quad (6.6)$$

n — норма зачиряния (м^{-1}); $A_k(0)$ — альбено незачирявшего снега; $A_k(\infty)$ — альбено предельно зачиряющего снега; α — постоянная величина, характеризующая данную фракцию пыли.

В результате проверки формулы (6.5) на фактическом материале установлено [137], что точность вычисления $A_{\text{ss}}(n)$ достаточно для определения эффективности зачиряния.

Расчет A_{ss} может быть выполнен также по уравнениям

$$A_{\text{ss}} = A_k - (A_k - A_m)\left[1 - \left(1 - 6\frac{G}{d\gamma_m} \frac{1}{n}\right)^n\right], \quad (6.7)$$

$$n = 6GF/\pi d^2 \gamma_m, \quad (6.8)$$

или

$$A_{\text{ss}} = A_k - (A_k - A_m)\left(1 - \exp - 6\frac{G}{d\gamma_m}\right), \quad (6.9)$$

которые были получены И. А. Зотиновым и Г. П. Монсеевым [277]. Здесь A_m — альбено естественной поверхности; A_m — альбено зачиряющего материала; d — диаметр частиц загрязнителя, G — норма запыления; F — загрязненная площадь; γ_m — плотность зачиряющего материала. Выполненные для сравнения вычисления A_{ss} по формулам (6.5) и (6.9) дали сходные результаты.

Во вторых, полагая, что при искусственном воздействии на таяние ледника на его поверхность образуется слой запыленной средней толщиной k_k :

$$k_k = \frac{G}{\rho},$$

где G — норма запыления; ρ — плотность угля или другого материала. Тогда расчет M_2 может быть выполнен по формуле (2.104), так как запылившее вещество и морена как факторы таяния считаются только параметрами.

Более обоснованная по сравнению с (6.4) схема M_2 по формулам, предложенным И. А. Золиковым и Г. П. Монсесовой [277]

$$M_2 = M \frac{1 - A_{\text{кн}} - U}{1 - A_{\text{кн}} - U}, \quad (6.10)$$

$$U = (Q_{\text{в}} + Q_{\text{с}} + Q_{\text{ж}})/Q_{\text{в}}, \quad (6.11)$$

не может быть использована в нашей модели искусственного воздействия на таяние ввиду недостатка соответствующих данных для расчета $Q_{\text{в}}$, $Q_{\text{с}}$ и $Q_{\text{ж}}$ ($Q_{\text{ж}}$ — поток тепла, расходуемый на нагревание глубинных слоев снега и льда) в масштабе речного бассейна и неизвестны сведения об изменении потоков $Q_{\text{в}}$, $Q_{\text{с}}$ и $Q_{\text{ж}}$ после замылки ледника.

Метод расчета потока тепла, поступающего на поверхность раздела морсса (слой замылки) — поверхность ледника, был разработан Ю. М. Денисовым [54]. При этом мылья морсса рассматривалась как многофазная и многокомпонентная среда. В результате было определено выражение функции $M_2 = f(A_{\text{кн}})$ при различных фракциях состояния угольной пыли и относительной покрытости поверхности ледника. Метод Денисова также не используется в нашей модели по тем же причинам, что и предыдущий.

Формулы (6.5) — (6.6) или (6.9) позволяют определять в модели искусственного воздействия на таяние альбедо замылкой поверхности ледника $A_{\text{кн}}$ только в день приведения воздействия. С течением времени эффект воздействия εf при норме n г/м² на альбеное поверхности ледника $A_{\text{кн}}$ ослабевает вследствие того, что в формуле для эффекта воздействия

$$\varepsilon f(n, z, t) = A_{\text{кн}}(z, t) - A_{\text{кн}}(z, 0) \quad (6.12)$$

при отсутствии летних снеготаяний $A_{\text{кн}}$ является убывающей, а $A_{\text{кн}}$ — изображающей функцией времени t . Был эмпирических функций $\varepsilon f(n, t)$, полученных по наблюдениям А. А. Крейтера [135] на леднике Имат, представлен на рис. 6.8.

Обработка данных А. А. Крейтера [135] по изученности $\varepsilon f(n)$ во времени показывала, что функция $\varepsilon f(n, t)$ хорошо аппроксимируется экспонентой

$$\varepsilon f(n, t) = R_n e^{-K_n(n)t}, \quad (6.13)$$

где $R_n = A_{\text{кн}} - A_{\text{кн}0}$ в день замылки, а зависимость коэффициента K_n от нормы замылки n имеет следующий вид:

$$K_n(n) = \frac{1}{9,39 + 0,15n}. \quad (6.14)$$

При условии, что размер фракций угольной пыли равен примерно 0,25 мм. Значения $A_{\text{кн}}$ и $A_{\text{кн}0}$, необходимые для определения R_n при $t=0$, т. е. на дату замылки, получаются по формулам (6.5) или (6.9) и схеме (4.36).

С целью выяснения вида зависимости $\varepsilon f(n, t)$ для размера фракций угольной пыли 0,5—1,0 мм в марте—апреле 1980 г. в бассейне р. Дукант были выполнены необходимые измерения альбеноа и запыленной поверхности снега. Экспериментальные

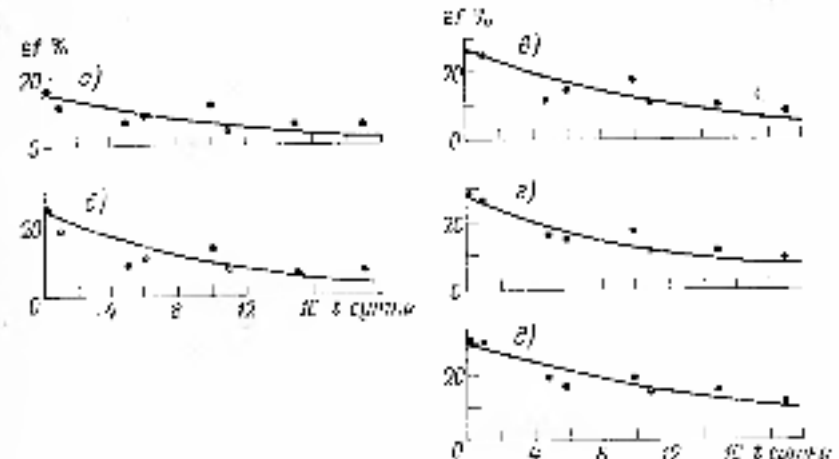


Рис. 6.8. Изменение во времени эффекта воздействия (εf) при различных нормах угля (г/м²): а — 10, б — 20, в — 30, г — 50.

По наблюдениям А. А. Крейтера на леднике Имат.

плотностью размером 1 м² располагались на поверхности, близкой к горизонтальной, на высоте 2,0 м над уровнем моря. Замыление снега производилось сортированной угольной пылью нормами δ , 10, 20 и 40 г/м². Временной ход эффекта воздействия представлен на рис. 6.4.

Как видно, и для другого размера фракций угольной пыли зависимость $\varepsilon f(n, t)$ имеет экспоненциальный характер, и связь коэффициента $K_n(n)$ с нормой затирания выражается формулой, аналогичной (6.14), но уже с иными параметрами

$$K_n(n) = \frac{1}{7,11 + 0,26n}. \quad (6.15)$$

В модели искусственного усиления таяния ледников зависимость (6.13) используется также для определения даты повторного замыления свежего покрова в интервале высот от нижнего конца ледника до средней многолетней высоты фирновой границы.

Критерием в данном случае является первая дата в течение расчетного периода, когда выполнено условие

$$\varepsilon f(Z_{\text{кн}}, t) < \lim \varepsilon f, \quad (6.16)$$

где ζ_0 — заданное третичное значение эффекта; Z_k — текущая отметка штормала высоты на леднике, где производится замерение снега. Общее количество повторений воздействия в модели — не более трех. Если эффект, достигнутый после замерения некоторой нормой, превышало меньшее заданного предела, заполнение повторяется увеличением количеством угольной пыли. Увеличение ведет начальному значению нормы.

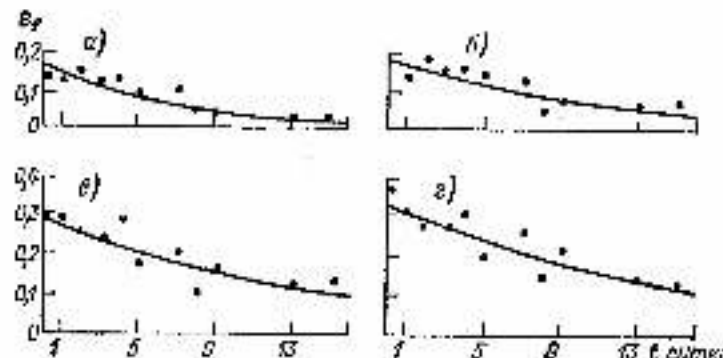


Рис. 6.4. Изменение во времени эффекта запыления поверхности снега горячепропиткой угольной пылью ($\rho = 0$: $\sigma = 10$, $\sigma = 20$, $\sigma = 40$).

При замедлении акции в бассейне р. Джуза, фактический состав засыпки пыли $\rho = 1.0$ кг.

В модели предусматрено также, что последнее замерение должно быть не позже чем на 15 дней до даты начала таяния льда на высоте Z_k в естественных условиях.

При повторном зачернении поверхности снега на ледниках расчет $A_{kk}(t)$ по-прежнему выполняется по формуле (6.5). Однако вместо $A_k(t)$ в этом случае берется альбедо ранее загрязненного снега с учетом изменившегося $\zeta'(n, t)$. Иначе говоря, для повторного загрязнения

$$A_k(0) = A_k(z, t) - \zeta'(n, z, t). \quad (6.17)$$

В модели задано, что повторное воздействие на тающие снега производится на той же площади, как и первоначальное, даже если часть площади из-за ледника покрыта выпавшим за день до воздействия или несъятой летней снегом.

Для оценки последствий выпадения весенне-летних снегопадов на эффект искусственного воздействия пришла следующая схема:

а) в течение всего времени замерзания свежевыпавшего снега на леднике эффект загрязнения $\zeta'(n, z, t)$ равен нулю;

б) сразу после смыкания свежевыпавшего снега $\zeta'(n, z, t)$ равен тому значению, которое было рассчитано по формуле (6.13) за день до снегопада;

в) альбедо свежевыпавшего снега $A_n(z, t)$ после окончания снегопада равно 80 %, далее изменение $A_n(z, t)$ определяется по методу Е. Б. Трофимовой (202);

г) для определения продолжительности замерзания свежего снега на леднике рассчитывается баланс накопления и таяния твердых атмосферных осадков, при этом распределение общности свежевыпавшего снега в зависимости от высоты местности вычисляется по формуле (4.43).

Расчет движения сезонной снеговой границы $Z_{\text{тек}}(t)$ на леднике в течение периода таяния льда при отсутствии летних снегопадов выполняется по формуле

$$Z_{\text{тек}}(t) = Z_{\text{тек}}(t-1) + \Delta z(t) \beta_d, \quad (6.18)$$

где

$$\beta_d = \frac{M_d}{M} = \frac{1 - A_{0d}}{1 - A_k}, \quad (6.19)$$

а $\Delta z(t)$ характеризует величину подъема снеговой границы за сутки.

Коэффициент β_d введен в формулу (6.18) для того, чтобы учесть ускоренное в сравнении с естественными течения замерзшего снега с т. ч. следовательно, более быстрый подъем по леднику сезонной снеговой границы.

6.3. Результаты численного моделирования искусственного воздействия на таяние ледников

Численные эксперименты по модели искусственного воздействия при различных нормах загрязнения в отеле зимнего снега на таяниях ледников были проведены за многолетний период (1937—1976 гг.) для следования и бассейна р. Пскем. Общая площадь областей облучения на ледниках в этом бассейне составляет 60,5 км².

Начальным этапом моделирования искусственного воздействия на таяние является определение дат обнажения концов ледников $d_{\text{обн}}$ и гибания льда после схода замерзшего зимнего снега. Результаты расчета $d_{\text{обн}}$ в бассейне р. Пскем после зачернения зимнего снега на ледниках различными нормами угольной пыли в годы с небольшим количеством зимне-весенних осадков (1938, 1950 гг.), экстремальными (1961, 1969 гг.) и средними (1952 г.) по условиям таяния представлены в табл. 6.2 и 6.3. Данные об изменениях дат начала таяния льда после искусственного воздействия на ледники в бассейне р. Пскем за весь многолетний период приведены в работе по теме IV.29.03. глава НИР и ОКР Госгидромета. (№ гр 78046626, Ташкент, 1980. Гидрометфонд УзССР).

На анализе изменения сроков начала таяния льда, полученных путем моделирования замерзания, можно сделать следующие выводы.

1. Даты схода зимнего снега на концах ледников становятся более ранними по мере возрастания нормы загрязнения. Эта зависимость, как показано на рис. 6.5, является линейной. Основные

Таблица 6.2

Изменение дат начала таяния льда после замыкания зимнего снега на реках
ледотропов в бассейне р. Пекем (даты в днях)

Год, январь-сентябрь или янв.-сент., дни	Весенн. даты по реконс.	Фракция шебня, мк	Нормы замыкания, дни							
			6	10	20	30	40	50	60	70
1938	1.06	0,25	13/3	17/3	20/2	20/1	21/1	21/1	22/1	—
	1.06		13	17	20	20	21	21	22	—
	2.06		13	14	20	21	21	22	22	—
	14.06		13	18	21	23	24	25	25	—
	29.06		13	19	24	25	26	26	27	—
1939	1.06	0,5-1,0	12/3	13/3	17/2	19/2	20/1	20/1	20/1	—
	1.06		12	13	17	19	20	20	20	—
	2.06		12	12	14	18	20	20	20	—
	14.06		13	13	16	19	19	21	23	—
	29.06		10	13	19	22	23	24	25	—
1950	7.06	0,25	7/3	7/2	8/1	13/1	17/1	21/1	21/1	—
	7.06		7	7	8	13	17	21	21	—
	8.06		7	8	8	14	14	18	22	—
	17.06		9	11	12	14	14	15	15	—
	29.06		6	11	15	16	17	21	21	—
1952	11.07	0,25	8/3	11/3	14/3	14/2	15/1	15/1	16/1	—
	11.07		8	11	14	14	15	15	16	—
	12.07		7	11	14	14	15	15	16	—
	12.07		6	11	13	14	19	20	20	—
	23.07		12	12	15	13	15	17	22	—
1953	30.06	0,25	10/3	11/2	12/1	13/1	14/1	14/1	14/1	—
	30.06		10	11	12	13	14	14	14	—
	30.06		7	10	11	12	13	13	13	—
	4.08		5	5	6	7	9	10	11	—
	21.06		16	18	19	20	21	21	21	—
1959	12.08	0,25	6/3	7/3	20/3	22/3	23/3	23/3	25/2	—
	12.08		6	7	20	22	23	23	25	—
	16.08		4	8	23	25	25	26	27	—
	16.08		4	7	14	19	21	21	22	—
	20.08		—	—	57	66	64	65	75	—

Примечание: 1. Результаты, приведенные в таблице, получены при $\beta_1 \approx 0,20$; 2. Расчеты дат начала таяния льда для и их изменения после воздействия приведены для каждого года по пяти районах гидрографической области в бассейне р. Пекем; 3. Знак «тире» во второй хронике означает отсутствие таяния льда в 4-м и 5-м районах гидрографической области. Изменение для этого случая определено отсутствием таяния расчитанного периода — III пятилетия; 4. Число после дробной черты в хронике перво матрицами означает количество повторений воздействия; 5. Месячные суммы седимов для IV-VII соответствуют уровням 2,5 км.

Таблица 6.3

Даты начала таяния льда в повторных выпадениях при моделировании искуственного воздействия на течение Медведевка в бассейне р. Пекем ($\beta_1 = 0,20$)

Год 1952 г.	1953 г.	1954 г.	1955 г.	1956 г.	1957 г.	Годы выпадения льда				
						1	2	3	4	
5	1.04	21.04	3.05	1.04	2.04	14.05	1.04	31.05	2.06	0.01
10	1.04	3.05	9.05	1.04	8.05	—	1.04	3.00	16.05	1.04
15	1.04	7.05	—	1.04	16.05	—	1.04	22.05	1.04	—
20	1.04	9.06	—	1.04	—	—	1.04	24.06	1.04	—
25	1.04	12.05	—	1.04	—	—	1.04	19.06	—	—
30	1.04	—	—	1.04	—	—	1.04	20.06	—	—
40	1.04	—	—	1.04	—	—	1.04	24.06	—	—
50	1.04	—	—	1.04	—	—	1.04	25.06	—	—
75	1.04	—	—	1.04	—	—	1.04	—	—	—

Примечание. Теряе значение отсутствует необходимость в повторении пятилетий. Т. е. $\beta_1^*(T_{k+1}) > 0,20$.

изменения дат $d_{\text{ль}}$ наступают до конца замыкания в 40–50 г/м². Далее, начиная до 100 г/м², прирост $\Delta d_{\text{ль}}$ в большинстве случаев не превышает одного дня. Таким образом, очевидна безреактивность применения нормы замыкания более 50 г/м².

2. Наиболее яркий эффект от искусственного воздействия на ускорение схода льда из-за снега в удлинении периода таяния льда (примерно на месяц и более) был получен в 1938, 1946, 1951 и 1956 гг. В остальных случаях частые весенне-летние снегопады существенно ослабляли влияние замыкания льда на ускорение

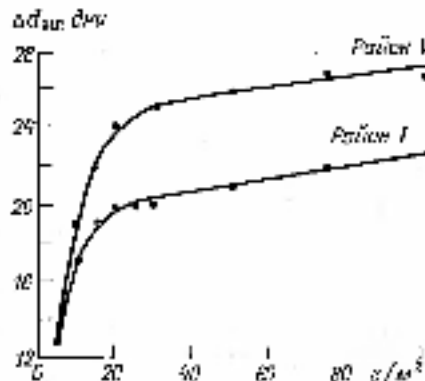


Рис. 6.5. Разница между датами начала таяния льда (dль) до и после запыления ледяной поверхности р. Некем различными количествами угляной пыли.

его становления. Из этого следует малая рентабельность искусственного воздействия на таяние ледников в бассейнах рек с большим количеством весенне-летних осадков.

3. Как и следовало ожидать, применение угольной пыли с более крупным размером частиц снижает эффективность воздействия для норм от 5 до 30 г/м². По мере увеличения нормы замыкания разница в датах для фракций 0,25 и 0,5–1,0 мкм становится все менее заметной. Этот вывод делает допустимым использование либо воздействия на таяние угольной пыли с разнообразным фракционным составом.

4. Как видно из табл. 6.2, где существенные даты начала таяния льда и их изменение после запыления приведены для возраставших по высоте типов «средних ледников» в районах гляциальной области бассейна р. Некем, эффект воздействия усиливается с увеличением высоты. Причина этого явления обуивается тем, что на больших высотах велико естественное альбедо и, следовательно, эффект запыления более значителен

$$ef(n, z, t) = A_n(z, t) - A_{n0}(z, t).$$

Отмеченная закономерность в изменении дат $d_{\text{ль}}$ нарушается во время выпадения весенне-летнего снега и его последующего таяния, когда $ef(n, z, t)$ становится равным нулю. Влияние летних снегопадов на $ef(z, t)$ при повторном запылении подтверждено рис. 6.6, где показаны распределения по высоте естественного альбедо

$A_{n0}(z, t_0)$ и эффекта $ef(z, t_0)$ за день до повторения запыления, альбедо замыкенной поверхности $A_{n0}(z, t_0)$ и эффекта $ef(z, t_0)$ после повторного воздействия 3 июня 1970 г.

Значения $ef(z, t_0)$ были равны нулю в интервале 3,6–3,8 км, потому что на этих высотах еще не стартал ранее выпавший ледяной снег, а в интервале 3,8–3,9 км потому, что в момент времени t_0 на этих высотах выпал свежий ледяной снег.

Повторное запыление во всем интервале 3,3–3,9 км привело к тому, что несмотря на наименьший прирост ef за время $t_1 - t_0$ на высотах 3,6–3,9 км в целой распределение $ef(z, t_1)$ характеризуется уменьшением эффекта воздействия на этих высотах.

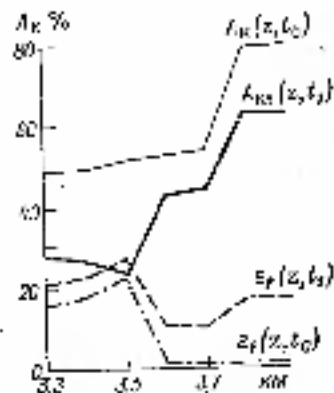


Рис. 6.6. Распределение по высоте альбедо A_n с запылением поверхности A_{n0} и эффекта воздействия ef перед (t_0) и после (t_1) повторного воздействия.

Бассейн р. Некем, 3 июня 1970 г.

Несимметричное повторение описанного явления приводит к отрывистым выпадам таяния в изменениях $d_{\text{ль}}$ в зависимости от высоты.

Отклонения от закономерности изменения $d_{\text{ль}}$ с высотой связаны также с разновременностью дат начала таяния льда в районах гляциальной области при отсутствии замыкания. Как видно из табл. 6.2, разница во времени между датами $d_{\text{ль}}$ для 1-го и 5-го районов в бассейне р. Некем составляет от 1–2 недель до месяца. Следовательно, таяние замыкенного снега на выше расположенных ледниках идет в иных метеорологических условиях (осадки, температура воздуха, солнечная радиация) по сравнению с нижерасположенными и это, в свою очередь, влечет за собой изменение $d_{\text{ль}}$ с высотой.

5. С формальной точки зрения наибольшее изменение $d_{\text{ль}}$ в бассейне р. Некем было получено в 1954 и 1969 гг. Исследуя это, неоднозначность искусственного воздействия на таяние ледников именно в эти годы очевидна по следующим соображениям: во-первых, оба года относятся к многоходовым, особенно 1969 г., когда дефицит воды отсутствует; во-вторых, для получения значительного результата от воздействия на таяние важно не только увеличение продолжительности периода таяния льда, но и общая его

лника. Так, в 1938 г. после моделирования запыления нормой 50 г/м² суг стока равной в б-м районе 120 л/с/м, а в 1954 г.— 62 л/с/м, т. е. самой величине ΔV_{M_1} .

6. В табл. 6.2 и 6.3 прослеживается четкая связь количества повторений запыления и продолжительности эффекта однократного воздействия на уровень не ниже 0,20 с нормой запыления и интенсивностью выпадения весенне-летних снегопадов.

Если не придавать во внимание обильные осадки в многоводные годы, когда нет необходимости в искусственном увеличении объема ледникового стока, то достаточный для производственных нужд эффект воздействия обеспечивает однократное запыление при норме 30 г/м². С учетом потери угольной пыли приемах окончательное значение нормы к 50 г/м². В этом случае расход угольной пыли на все ледники бассейна р. Пекем составляет окруженно 3 тыс. т, что в 35 раз меньше для искусственного воздействия на таяние ледников в том же бассейне по проекту А. С. Шетышевова [229].

Основным итогом численного моделирования искусственного воздействия на таяние ледников являются оценки потенциального длительного объема ледникового стока в годы различные по видоносности и метеорологическим условиям периода абразии.

Сводные результаты за 1937–1976 гг. численного моделирования искусственного воздействия при норме угольной пыли 50 г/м² на таяние ледников в бассейне р. Пекем и оценки дополнительных объемов ледникового стока относительно объемов V_M суммарного, таяния и W стока р. Пекем (г/п Караганитугай) за июнь–сентябрь показаны на рис. 6.7. В табл. 6.4 приведены абсолютные и относительные оценки составляющих дополнительного объема ледникового стока в годы характерные по водоотдаче из глинистой области. На основе этих материалов сделаны следующие выводы.

1. Однократное искусственное усиление таяния зимнего снега на припадки языков ледников в бассейне р. Пекем в годы, когда объемы таяния льда под морской, открытого льда и старого фьра V_M близки к средним многолетним, позволяет увеличить объемы таяния V_M на 80–130 %; при этом объем стока р. Пекем (г/п Караганитугай) возрастает на 7–23 %.

2. В маловодные годы объем стока с запыляемой шапкой языков ледников в бассейне р. Пекем может быть увеличен на 30–60 %; при этом общий сток р. Пекем за июнь–сентябрь возрастает на 7–17 %.

3. Весьма характерны результаты искусственного воздействия на таяние в многоводные, обильные осадками годы. Увеличение объемов таяния V_M в бассейне р. Пекем составило от 0,4 до 280 %. Однако, как и следовало ожидать, шапка дополнительного ледникового стока и питание реки в такие годы оказалось несущественным — от 0,02 до 4 %. Причина здесь в том, что, несмотря на огромный относительный прирост объема V_M , малыми являются абсолютные значения объемов V_M , и их роль в суммарном стоке рек в многоводные годы.

Таблица 6.4

Результаты численного моделирования искусственного воздействия на таяние ледников в бассейне р. Пекем в годы, когда сток с припадки языков ледников в среднем многолетии (1937, 1958, 1966, 1971, 1974 гг.) и экстремальный (1934, 1950, 1961 гг.) различен

Год	Березо- вый период, г/м ²	Составляющие на 4-й годок, %		$\frac{\Delta V_{M_1}}{\Delta V_M}$	$\frac{\Delta V_{M_1}}{\Delta V_W}$	$\frac{\Delta V_{M_1}}{\Delta V_{M_1}}$	$\frac{\Delta V_{M_1}}{\Delta V_{W_1}}$
		ΔV_{M_1} , м ³ /с	ΔV_{W_1} , м ³ /с				
1937	0	14,77	71,33	3,50	70,44	24,3	73,9
	50	13,38	127,40	4,46	166,04	89,39	79,4
1950	0	12,19	68,86	3,48	94,47	17,8	97,5
	50	26,86	134,27	5,67	166,30	17,7	71,3
1965	0	15,72	95,41	16,92	128,05	160,61	11,0
	50	42,35	272,86	32,47	273,96	96,42	91,2
1971	0	14,36	99,18	9,80	123,94	3,0	5,8
	50	17,16	185,86	15,16	218,38	70,30	73,4
1974	0	10,28	61,45	4,62	172,72	102,43	72,9
	50	112,26	112,89	8,64	261,07	20,0	15,3
1979	0	18,49	132,56	25,10	176,27	10,1	58,1
	50	30,71	207,36	40,7	274,70	64,75	63,9
1984	0	21,68	144,44	30,23	195,32	261,07	10,1
	50	31,63	185,8	40,64	261,07	178,20	58,4
1986	0	21,73	129,61	27,94	178,20	36,01	53,9
	50	35,77	159,97	36,01	296,65	120,46	117,11
1991	0	22,44	135,80	32,05	205,99	251,92	46,38
	50	20,20	251,92		327,99		

Причины же ΔV_{M_1} , ΔV_{W_1} , ΔV_M — разности между спутниковым объемом ледника и его исходным, $U_M(0)$ и U_M — соответствующий объем ледника в дополнительном стоке в искусственный усилительного.

4. Изменение дат начала таяния льда на 10—20 дней в сторону более ранних оказалось достаточным для получения высокие ступени прироста ледникового стока в годы, когда объемы V_m ,

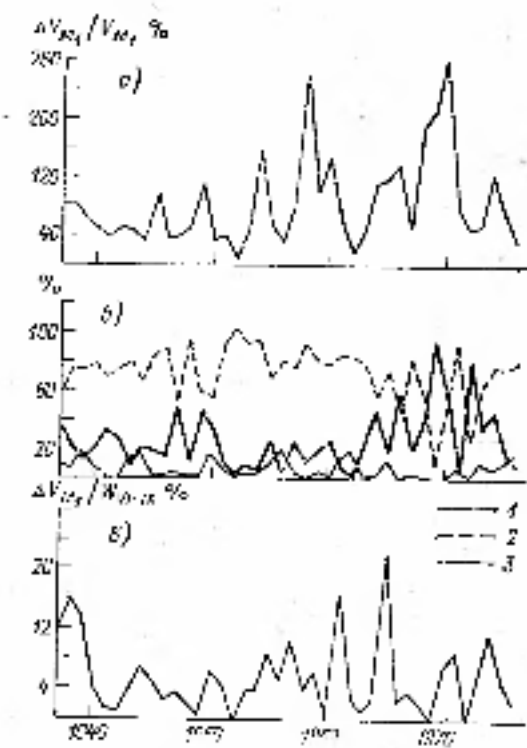


Рис. 6.7. Относительные характеристики дополнительного объема ледникового стока и его составляющих, полученные по результатам моделирования искусственного воздействия на таяние ледников в бассейне р. Пскем.

a — коэффициент ледникового осадка за исключением речевого; б — показатели дополнительных объемов ледникового стока; в — показатели дополнительного объема ледникового стока в общий сток бассейна р. Пскем за июль—сентябрь.

1 — лед. под. морской; 2 — лед. 3 — фарс.

близки к средним многолетним значениям; при этом суммарный сток с языками ледников в естественных условиях вместе с дополнительным после искусственного воздействия не в один случае не превысил максимального значения V_m , за 1937—1976 гг. Таким образом, следует считать доказанной возможность получения значимого в производственном масштабе результата от искусственного воздействия на таяние ледников при условии минимума вредных последствий для их естественного режима.

5. Подавляющая часть дополнительного объема ледникового стока образуется за счет увеличения периода таяния льда иллюзии и открытого льда. Прирост объемов таяния старого фирна, как видно из рис. 6.7, весьма непрекращающий нуллю. Это обусловлено методом и членением модели искусственного воздействия на таяние также является фактором, способствующим минимизации вредных последствий для естественного режима ледников.

6.4. Прогноз дополнительного объема ледникового стока и предварительная оценка экономической эффективности искусственного воздействия

Относительные оценки результатов усиления таяния ледников в бассейне р. Пскем в группах лет, когда объемы V_m , при отсутствии воздействия были близки к средним многолетним или экстремальным значениям, оказались довольно приемлемыми (см. табл. 6.4).

Для выяснения причин этих различий рассмотрим представленные в табл. 6.5 некоторые показатели метеорологических условий периода таяния и другие сведения в характерные по значениям V_m , годы.

Как видно из табл. 6.5, при отсутствии воздействия различия между группами лет по объемам ледникового стока, как правило, обусловлены предикторами показателем метеорологических условий. Так, в годы, подготовленные к началу лета бассейна р. Пскем (1949, 1952, 1958, 1960, 1969), средняя за июнь—сентябрь температура воздуха ($\bar{t}_{\text{июль—сентябрь}}$), суммы за июль—сентябрь баллов общей облачности ($\Sigma \text{Сум-ых}$), левые по относительной ($\Sigma h_{\text{отн-ых}}$) и абсолютной влажности воздуха ($\Sigma e_{\text{отн-ых}}$), суммарному за октябрь—июнь накоплению осадков ($\Sigma q_{\text{окт-июн}}$) в большинстве случаев ниже нормы, а в средние по значениям V_m годы — близки к норме.

Если же проанализировать изменчивость $\bar{t}_{\text{июль—сентябрь}}$, $\Sigma \text{Сум-ых}$, $\Sigma h_{\text{отн-ых}}$, $\Sigma e_{\text{отн-ых}}$, $\Sigma q_{\text{окт-июн}}$ внутри каждой группы, то оказывается, что заметнее всего колеблются суммы баллов общей облачности за июль—сентябрь и значения осадков за сентябрь—июнь.

Последнее обстоятельство наилучше существенно, так как позволяет предполагать наличие зависимости между возможным притоком стока в бассейне за счет искусственного воздействия на таяние ледников и суммами осадков за октябрь—апрель, октября—май, штиль—июнь. Естественно, в других бассейнах циркуляция осадков может быть иной.

Эта практическая важная зависимость действительно имеет место и, как показано на рис. 6.8, теснота ее вполне достаточна, чтобы уже в начале мая, располагая данными об осадках на метеостанции Пскем, предсказать возможный дополнительный приток стока ΔW в бассейне после запыления весной три горы 50 г/м² зимнего снега на площади языков ледников.

Показатели метеорологических условий (по данным Метеостанции Пскем) Результаты и методика искусственного интеллекта на базе реки Лехнина в бассейне р. Пскем

Год	\bar{H}_{V-I-X}	ΣQ_{V-I-X}			ΣQ_{V-I-X}			$V_{M_3} (\text{м})$ месяц	Данные по расходу гидравлическим объемом (м ³ /сек) при норме подачи 30 л/сек район					ΔV_{M_1} ΣQ_{V-I-X} %		
		1	2	3	4	5	6		8	9	10	11	12	13	14	
1957	18,0	254	19	123	25,8	546	785	89,6	150	15	16	20	14	85,3	10,7	
1958	18,9	218	27,5	123	23,9	864	803	1204	121	12	12	24	24	97,5	6,8	
1959	19,0	275	233	113	25,5	465	670	632	123,3	15	15	15	15	117,6	22,6	
1961	18,2	233	—	—	—	103	23,1	620	933	127,3	97	9	8	14	77,1	9,3
1969	19,6	147	122	174	20,2	67	108	650	626	196,3	161	15	10	12	58,1	14,2
1944	20,1	122	174	174	22,7	108	540	471	176,2	211	21	18	17	33,9	7,1	
1960	19,1	160	174	174	106	23,8	421	378	210,1	14	13	15	15	32,3	6,6	
1961	19,0	174	—	—	—	—	—	—	—	—	—	20	20	35,6	17,2	
1940	17,4	222	122	122	24,8	935	739	651	121	11	10	11	11	110,5	0,7	
1952	16,7	249	122	122	27,1	1080	961	931	151	15	15	15	15	88	6,1	
1958	17,7	266	122	122	26,9	1137	982	966	171	17	18	20	20	238,9	3,5	
1960	17,7	204	124	124	25,2	986	1024	131	131	13	19	17	17	142,9	0,9	
1959	17,5	172	—	—	—	1582	1773	62	207	93	26	21	21	65	0,4	

Примечание: 1. \bar{H}_{V-I-X} — средняя температура плюща за VI—IX; ΣQ_{V-I-X} — сумма годового объема областности за VII—IX; ΣQ_{V-I-X} — сумма областности за VI—IX; ΣQ_{V-I-X} — сумма областков $V_{M_3}(t)$ — суммарное течение реки под инфильтрацией, открытого дна и фильтрации при отсутствии топографической структуры за VI—IX; ΔV_{M_1} — относительный объем дополнительного объема.

2. Средне-месячные по эвапорации квазиороговеческие топографические за 1957—1975 гг. составляют: $\bar{H}_I = 792 \text{ мм}$, $\bar{Q}_{V-I-X} = 67 \text{ м}^3/\text{сек}$.

3. График на рисунке 6.6 показывает зависимость ΔW от суммы осадков в районе Пскема за октябрь—апрель.

Средне-месячные по эвапорации квазиороговеческие топографические за 1957—1975 гг. составляют: $\bar{H}_I = 792 \text{ мм}$, $\bar{Q}_{V-I-X} = 67 \text{ м}^3/\text{сек}$.

Поэтому можно считать, что зависимость $\Delta W = f(\Sigma Q)$ возрастает, что позволяет по формуле

$$\Delta W = 127,3e^{-0,0489X-V}, \quad (6.20)$$

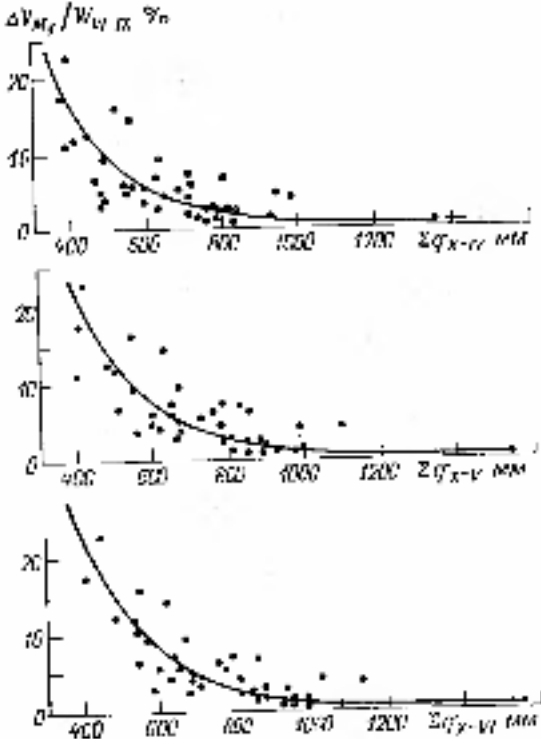


Рис. 6.6. Зависимость дополнительного объема подземного стока (в % к стоку р. Пскем за октябрь—апрель) от суммы осадков на метеорологической станции Пскем. Точность связи возрастает по мере увеличения периода суммирования.

100 \bar{Q}_{X-VI} — сумма осадков на метеорологической станции Пскем за период октября—апрель. Коэффициент корреляции для уравнения (6.20) равен 0,78.

По мере увеличения периода суммирования осадков теснота зависимости $\Delta W = f(\Sigma Q)$ возрастает, что позволяет по формуле

$$\Delta W = 199,4e^{-0,0489X-V}, \quad (6.21)$$

получить более точную оценку ΔW для бассейна р. Пскем по данным об осадках на метеостанции Пскем за октябрь—июнь. Коэффициент корреляции для уравнения (6.21) равен 0,84.

В качестве примера предварительного расчета экономической эффективности искусственного воздействия на таяние ледников в бассейне р. Некем данные для 1957, 1963 и 1974 гг. По условиям водопоставленности за июнь—сентябрь 1965 г. является экстремально маловодным (объем стока за июль—сентябрь на г/п Карамагутай составил 647,6 млн. м³). Достаточно близок к стоку 1965 г. объемы стока за июнь—сентябрь 1957 г. и 1974 г. (соответственно 712,4 и 795,0 млн. м³).

Суммарные объемы ледникового стока $V_{л}$, в естественных условиях, включающие объемы таяния льда под мореной, открытое льда и старого фриза, в 1957 г. оказались близких к среднему многолетнему значению, а в 1965 г. несколько выше.

Площадь областей абляции ледников в бассейне р. Некем составляет 60,5 км². При норме 50 г/м² расход угляной пыли на однократное замыкание составляет 3020 т.

При удалении базового квадрата от района работ на расстояние 600 км для циркуляции этого количества пыли на поверхность ледников потребуется 336 вертолето-дней по 7 ч каждый; и всего 2350 ч. Таким образом, необходимы не менее 34 вертолетов, в течение 10 дней работы. Количество вертолетов должно удвоиться, если увеличить допустимую санитарную норму налета часов.

Общая стоимость авиаработ на вертолете МИ-8 при загрузке 1,5 т на 1-часовой полет по маршруту г. Чирвах — бассейн р. Некем составляет 1,090 млн. руб.

Стоимость угольной пыли, вылютая расходы на уголь, перевалку, погрузку, транспортировку, тару равна 0,110 млн. руб. За счет непредвиденных расходов округлим сумму затрат до 1,5 млн. руб. Вероятно, эта сумма является ожидаемым пределом возможных затрат, если учесть отсутствие жесткости и опыта проведения замыкания ледников в производственном масштабе.

Численное моделирование искусственного воздействия при норме 50 г/м² на таяние ледников в 1957, 1964, 1974 гг. показало, что возможный дополнительный объем ледникового стока в эти годы спектрировал бы соответственно 76,44, 150,63 и 96,42 млн. м³.

При условии использования всей дополнительной воды для выращивания хлопчатника, биологической норме 10 000 м³/га за vegetационный период, средней урожайности хлопка 30 ц/га на площадях 7640, 15060 и 9640 га, пропорции за счет искусственного воздействия, в 1957, 1965, 1974 гг. мог быть получен урожай 22 700, 45 000 и 28 900 т. При средней стоимости 400 руб. за 1 т хлопка [229] общая стоимость урожая на указанных площадях составляет по годам 9,600; 18,0 и 11,56 млн. руб.

Таким образом, при благоприятных условиях проведения искусственного воздействия коэффициент экономической эффективности в 1957, 1965 и 1974 гг. оказался бы равным 6,1; 12 к 7,7 млн. руб., а общие суммы дивидендов соотносились 7,65; 16,5 и 10,05 млн. руб.

Выполненные здесь предварительные расчеты на примере бассейна р. Некем показывают, что искусственное воздействие не таяние ледников, проведение при условии минимизации отрица-

тельных последствий для естественного режима ледников, оказывается экономически вполне рентабельным.

Выходы

1. Численная модель искусственного воздействия на таяние ледников и условиях Средней Азии разработана с учётом требований о минимизации возможных отрицательных последствий для естественного гидрологического режима гляциальных областей. В модели дополнительная толщина ледников обеспечивается путем замещения в апреле — час заминного снега на языках ледников и ускорения его схода, уменьшения периода таяния льда, используя естественное альбидо в качестве этого увеличения объема $W_{лт}$. Основой для создания модели искусственного воздействия на таяние послужила рассмотренная в главах 1—4 работы физико-статистическая региональная модель процесса суммарного таяния ледников.

Модель искусственного увеличения подтопки ледников включает решения следующих вопросов:

а) определение оптимальной технологии воздействия (место и время, норма угляной пыли, критерий допусимости и целесообразности мероприятия);

б) определение функции, определяющей интенсивность таяния при различных нормах защищения поверхности ледников;

в) расчет изжигания по времени эффекта воздействия для различных норм и фракционного состава угольной пыли;

г) учет влияния летних спекиев на эффективность искусственного воздействия;

д) расчет движения сезонной снеговой границы на ледниках после замыкания снега в областях абляции.

2. Численные эксперименты по модели искусственного воздействия на таяние при различных нормах замыкания были проведены для обледенения в бассейне р. Некем за 1937—1976 гг. Отмечены ряд методических важных результатов:

— установлено, что заметный прирост продолжительности периода таяния льда после замыкания снега на ледниках наблюдается до норм замыкания 40—50 г/м²;

— по мере увеличения нормы замыкания становятся все менее заметной разница в датах начала периода таяния льда ($\Delta t_{лт}$) при использовании угольной пыли с диаметром частиц 0,25 и 0,5—1,0 мм;

— замедленность нарастания $\Delta t_{лт}$ с высотой парашютов из-за различий в интенсивности выпадения и становятся лучше снега;

— годы, когда суммы зимне-весенних осадков, летних температур воздуха и баллов общей облачности близки к средним многолетним опеченим, для осуществления эффективного искусственного воздействия на таяние достаточно однократного замыкания снега на ледниках.

3. Искусственное увеличение водоснабжения ледников в бассейне р. Пескем при условии минимума предельных показателей позволяет увеличить объем ледникового стока на 80—130 %. При этом суммарный сток р. Пескем (г/и Каракептугай) возрастает на 7—23 %. Подавляющая часть дополнительного объема $W_{\text{ст}}$ образуется за счет увеличения продолжительности периода таяния льда под морской и открытого льда. Прирост объемов таяния старого фирса весьма невелик или равен нулю. Ориентировочная оценка экономического эффекта от искусственного воздействия на таяние показывает, что при условии использования всей дополнительной воды для орошения хлопчатника возможно получение прибыли от 6 до 12 руб на 1 руб расхода.

4. Широкое практическое значение имеет разработанная автором методика прогноза возможного дополнительного объема ледникового стока, образующегося от искусственного воздействия на таяние всего множества ледников в бассейне. Предыдущий в данном случае, как и для прогноза $W_{\text{ст}}$ в существующих условиях может быть только сумма экине-весенних падений. Следовательно, для получения соответствующих расчетных формул необходимо, чтобы предупредить роль в описание многолетней изменчивости $W_{\text{ст}}$, $Z_{\text{мн}}$. I_0 и конкретном бассейне принадлежала индексу акумуляции. Кроме того, с помощью членений модели искусственного воздействия в этом же бассейне следует рассчитать многолетний ряд дополнительных объемов $W_{\text{ст}}$, который затем используется для определения параметров прогностического уравнения.

Заключение

1. Преобладающая часть современных проблем и задач, решаемых гляциогидрометеорологическими измерениями и определением режима ледников, который в зависимости от цели и уровня обобщения исходной информации рассматривается в внутрисуточном, внутригодовом, многолетнем и палеогляциологическом временных аспектах. При этом объектами исследования являются составляющие режима в отдельном пункте на леднике, на всей площади отдельного ледника, в множестве ледников с различной иерархией. В число объектов ледниковой гидрометрии включают также бассейн ледника [10, 106, 184].

По достаточно очевидным причинам основная масса непосредственных гляциогидрометеорологических измерений относится к внутригодовой ход элементов режима в отдельных пунктах на ледниках и значительно меньшая ее часть характеризует многолетний режим ледников в целом в ледниковых бассейнах.

Как правило, измеренные значения элементов режима определены получены на весьма ограниченном количестве отдельных ледников и передко недостоверны по времени и по составу показателей. Все это весьма усложняет использование результатов измерений для оценок режима определения в целом для хребтов или речных

бассейнов. Попытки замены оценок режима для всей совокупности ледников, образующих иерархический комплекс, наблюдениями за единичными «репрезентативными объектами» оказались бесплодными, как справедливо отмечается в [95], прежде всего из-за отсутствия однозначного определения репрезентативности.

2. Сводные данные о режиме ледниковых комплексов прежде всего необходимы в гидрологии, поскольку для прогнозов стока и планирования водных ресурсов в бассейнах с ледниково-стационарным питанием рек необходимо учитывать суммарное таяние снега и льда в гляциальных областях. Приведем некоторые примеры.

Анализ многолетнего ряда стока р. Ронк за vegetационный период, исполненный Л. Кассером [247], показал, что сокращение относительной площади таяния в этом бассейне за 92 года с 17,9 до 13,6 % привело к значимому ухудшению качества расчетов стока за апрель сентябрь.

Большое практическое значение расчетов и прогнозов режима таяния ледников наглядно показано У. Тентборио [196] при анализе экономической эффективности водопользования в бассейне р. Колумбия (США), где оледенение составляет всего 0,4 % общей площади. Несмотря на малое относительное значение $S_{\text{лд}}$ традиционный прогноз потенциального объема таяния и ледникового стока позволяет планировать здесь получение избытка гидроэлектроэнергии и дополнительную прибыль в 9 млн. долларов.

Пример практической разработки прогнозистической схемы для оптимизации работы насосной станции в бассейне, где находится ледник, приведен в работе Г. Дайера [238]. Схема Дайера включает: расход воды, температуру воздуха, солнечную радиацию, снег и высоту снежной линии.

Существенную изменчивость стока с площади оледенения и зависимость его от ежегодного баланса акумуляции и таяния на ледниках иллюстрируют результаты, полученные Г. Эстреком [275] для бассейна ледника Нигардсбреен ($S_{\text{бас}}=64 \text{ км}^2$, $S_{\text{лд}}=47 \text{ км}^2$). Здесь при положительном годовом балансе оледенения фактический ледниковый сток оказался на 20 % меньше, а в том с отрицательным балансом на 30 % больше, чем сток, вычисленный в предположении стационарности режима ледников.

Таким образом, необходимым к достаточным усилением для получения ежегодных оценок $W_{\text{ст}}$ и данных о возможном применении для ледникового питания рек является систематический расчет к приносимым элементам режима гляциальных областей.

3. Современное описание в бассейнах рек Средней Азии и других горных стран состоит из десятков и сотен ледников различного размеров и форм. Наряду с изучением режима отдельных объектов, основной проблемой гляциогидрометрии является получение оценок, характеризующих элементы режима всего множества ледников или гляциальной области в пределах некоторого бассейна реки. Определение внутригодового и многолетнего режима гляциальных областей, естественно, должно учитывать все основные особенности и закономерности процессов акумуляции

к аблажи, установленные на отдельных ледниках. Это положение представляет собой научную основу разработанного автором метода расчета суммарного таяния ледников как одного из элементов режима гляциальных областей Средней Азии.

Региональная постановка проблемы потребовала соответствующего теоретического обоснования, уточнения и развитие известных положений, разработки новых методов для описание процесса таяния на всей площади дискретного множества ледников. Физико-статистическая модель процесса суммарного таяния ледников в ледникового стока, разработанная автором для расчета внутреннего и многолетнего гидрологического режима следснения Средней Азии, включает следующие основные положения:

- статистическую модель гляциальной области;
- способы расчета интенсивности таяния снега, открытого льда и льда под морозом;
- модель движения сезонной снеговой границы по леднику, отражающую внутритиповой режим аккумуляции абляции и гляциальных областях;
- определение продолжительности периода таяния льда и формирования стока на ледниках;
- методы определения и расчета пространственно-временной изменчивости метеорологических характеристик (сезонная радиация, температура воздуха, облачность, осадки), определяющих интенсивность таяния снега и льда;
- методы определения ледникового стока и ледникового питания рек Средней Азии.

Исходной информацией для расчета суммарного таяния ледников и ледникового стока в конкретном бассейне являются стандартные измерения температуры воздуха, осадков и общей облачности на метеорологических станциях и данные по морфометрии ледников из Каталога ледников СССР.

В постановке проблемы и ее решении не предусмотрено расчет испарения с поверхности ледников в течение периода аблажи. Хотя необходимые для реализации методы оценки интенсивности и суммарного испарения имеются [101, 152, 268], сказали это с недостатком целесообразности измерений для определения параметров региональных эмпирических формул.

Особенность рассматриваемой в работе проблемы состоит в том, что сведения о режиме таяния и стока в гляциальных областях можно получить только расчетным путем. Это предъявляет высокие требования к обоснованности всех этапов расчета и позволяет сконструировать методом расчета и прогноза внутреннего и многолетнего режима элементов водно-ледового баланса в гляциальных областях крупной научно-прикладной проблемой гляцио-гидрологии, имеющей ряд существенных отличий от аналогичных задач для малоледниковых частей бассейнов. В качестве примера позовек линейность следснения, значительную вариацию по высоте изыма и фронтовых областей, асинхронность гидрологического режима ледников, различные обратные связи между опреде-

ляемых и окружающей средой, специфику процессов аккумуляции и таяния на ледниках.

4. На основе анализа и обобщения результатов расчета внутреннего хода и многолетнего резерва сплавляющихся $V_{\text{ж}}$ и $W_{\text{ж}}$ в специальных областях Средней Азии автором получены новые выводы, разработаны методы расчета и прогноза характеристик режима суммарного таяния ледников и ледникового стока. Отметим наиболее важные.

а. В бассейнах рек Сырдарья и Амударья определена зависимость индексов аккумуляции и абляции для описания многолетней изменчивости $Z_{\text{ж}}$ и ледникового стока.

б. Получены региональные зависимости и формулы для определения вклада ледникового питания в годовой и сезонный сток рек Средней Азии и Кавказа. В бассейнах рек Сырдарья и Амударья определена доля ледникового питания, построены карты распределения вклада ледникового питания в годовой и сезонный сток рек.

в. Определены статистические параметры (середнее, коэффициент вариации, отношение C_a/C_s), авто- и кросскорреляционные функции многолетних рядов суммарного таяния ледников и ледникового стока в бассейнах рек Средней Азии. Установлено, что пространственная изменчивость изоэффективов вариаций $W_{\text{ж}}$ и $T_{\text{ж}}$ хорошо описывается возрастающими экспоненциальными функциями среднейзвешенной высоты хребтов ледников. Построена карта распределения изоэффективов вариации ледникового стока в бассейнах рек Памиро-Алая.

Результаты, приведенные в цп. б и в, позволяют в любом водооборе упрощенным методом восстановить кривые распределения объемов ледникового стока и его вклада в питание реки.

г. Изложено общее решение задачи о долгосрочном прогнозе видоизменности вегетационного периода на реках со снегово-ледниковым и ледниково-снеговым циклом. Получены зависимости и формулы для дальнего прогноза снеговой и ледниковой составляющих стока в бассейне.

д. На основе региональной физики статистической модели суммарного таяния ледников и ледникового стока разработана численная модель оптического искусственного воздействия на таяние всего множества ледников в бассейне. В модели искусственного воздействия учтены различные возможные отрицательные последствия для гидрологического режима следснения и затраты на уничтожение водоотдачи ледников. Разработан также метод прогноза линейного объема ледникового стока исмущасного при воздействии на тающие ледники.

5. Исследование возможностей применения метода расчета суммарного таяния по всей территории следснения Средней Азии показало приемлемость его для современных условий режима в большинстве гляциальных областей.

Недостаток метода и погрешности расчета сняты в основном с ограниченностью знаний и информации о гидрологических процессах в высокогорных зонах и на ледниках. Здесь следует

назвать; ограниченность размерности (высоты, время) решения задачи, невозможность корректного обоснования и детализации способов пространственно-временной экстраполяции и интерполяции осадков, температуры воздуха в облачности в горах. Есть основания полагать, что определенная часть погрешностей, возникающих вследствие использования приближенных решений, компенсируется при суммировании результатов расчета таяния за месячные интервалы времени.

По мнению автора, дальнейшее совершенствование методики определения режима гляциальных областей может быть достигнуто при включении в расчетную схему ряда оперативных исходных данных, получаемых с помощью спутников. Назовем здесь сведения о движении сезонной снеговой границы, отечек альбедо поверхности снега и льда, уточненные данные о распространении морены на ледниках и об изменениях количества и площади ледников.

ПРИЛОЖЕНИЯ

Приложение I

Морфометрические характеристики последенения, паклад I_{do} и долин ледникового института в годовом стоке рек Средней Азии

Название речного бассейна	B_{do} км ²	S_{do} км ²	$Z_{\text{т.н.до}}$ км	$\frac{S_{\text{do}}}{S_{\text{вс.}}}$	$B_{\text{вс.}}$ $I_{\text{do}} \%$	$\frac{W_{\text{do}}}{W_{\text{вс.}}}$
---------------------------	------------------------------------	------------------------------------	---------------------------	----------------------------------------	----------------------------------------	----------------------------------------

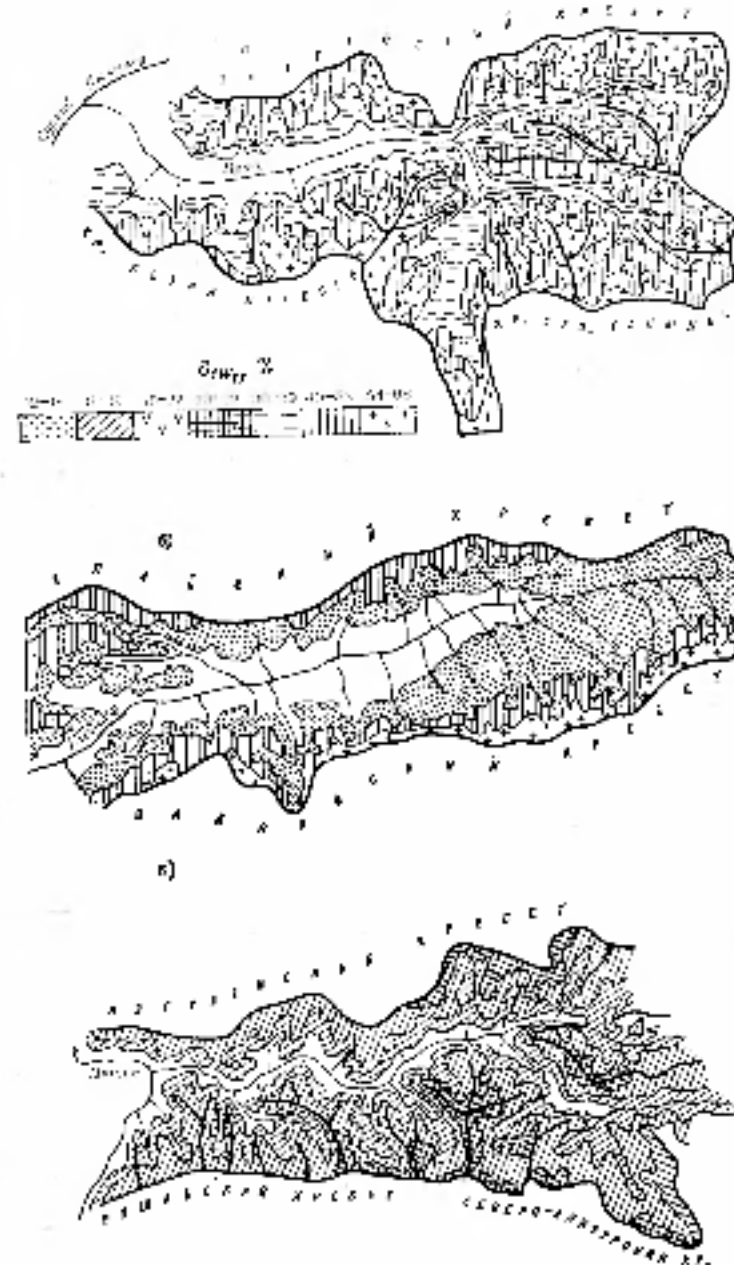
Бассейны рек Талас, Чу, Сарыдагас и оз. Иссык-Куль

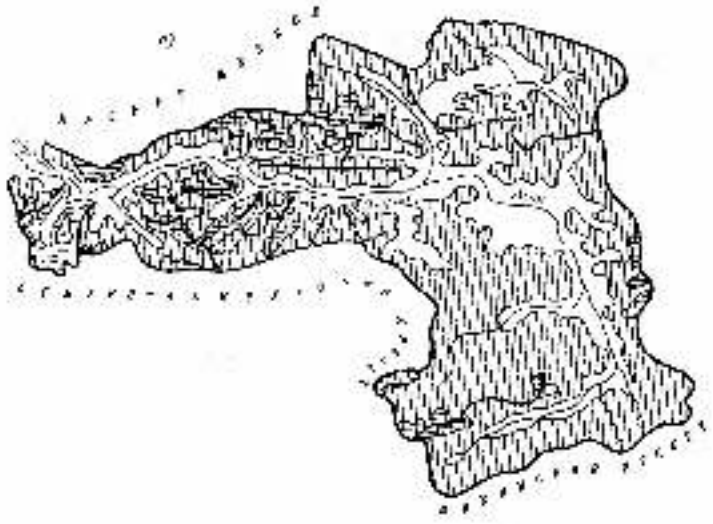
Аксу	2720	44,0	2,410	1,6	<10	≤13
Куркунку — с. Чолкурган	454	30,4	2,870	8,7	44	27
Карыбуга — ул. Коксай	797	25,2	2,570	3,2	<10	≤13
Урнаэрл — с. Озыбарыево	1120	35,8	2,670	3,2	<10	≤13
Талас — с. Карабой	2450	30,0	2,680	1,2	<10	≤13
Талас — с. Гроцьево	9800	120,7	2,200	1,3	<10	≤13
Чаликчишы — Чолгапты	107	16,7	3,040	10,0	52	30
Карабелты — с. Сосимова	577	20,0	2,910	3,6	<10	≤13
Айсу — с. Чинарлы	426	35,3	3,060	8,3	42	26
Сукадыч — п. Белеборек	351	57,6	3,110	16,3	72	41
Джалемаш — с. Чиназево	158	12,1	2,680	7,9	40	26
Алашедин — устье р. Чолкурган	317	74,2	3,260	23,4	82	50
Испильата — с. Кирменка	346	71,8	3,180	13,2	65	36
Кербати — лесной кордон	256	19,9	2,930	7,8	36	24
Шамси — лесной кордон	407	31,0	2,940	6,8	20	18
Чу — Кочкорка	5370	218,0	2,840	4,0	<10	≤13
Каракулжур — п. Сарыбутак	1240	27,3	3,190	2,2	<10	≤13
Джуанарып — Кукбель	2240	30,0	3,100	1,3	<10	≤13
Чонкемчиб — устье	1890	111,6	3,010	5,9	15	16
Кичинемчи — с. Ильинка	215	152,0	2,680	70,8	98	75
Чу — Бурундайский морт	9370	948,1	2,890	10,1	92	30
Актерек — МТС	596	25,2	2,610	4,2	<10	≤13
Актерек — с. Коксай	343	46,1	3,170	13,3	63	36
Токтор — с. Токтор	243	34,9	3,350	14,3	63	38
Токтор — устье р. Коксай	295	20,1	3,200	6,8	20	18
Барекчи — устье р. Селек	346	35,1	3,480	10,4	55	32
Чонджаракташлык — лесопилод	128	13,1	3,520	10,2	63	31
Кичикаргичин — К. Джар-	107	8,6	3,190	6,0	40	26
тычак						
Актерек — с. Актерек	40	6,7	3,050	15,6	71	40
Джуунку — устье р. Джуункучук	516	49,2	3,290	9,5	60	29
Чончымыс — лесной кордон	302	44,3	3,220	14,7	68	38
Джети-Юз — лесопилод	330	34,5	3,130	10,4	55	32
Каракол — устье р. Кашкасу	326	39,6	3,620	18,3	75	43
Акту — устье	210	70,3	3,470	28,5	89	50
Түркчель — лесозавод	330	34,4	3,410	10,4	55	32
Джигитлин — с. Михайловка	2090	100,7	2,840	5,3	10	16
Чонаксу — с. Григорьевка	309	65,6	3,410	21,2	79	47
Чолпонаты — с. Чолпонаты	111	10,3	3,300	9,3	49	29
Чонисай — с. Куртное	77	6,1	3,470	7,9	40	25
Альшибай — с. Альшибай	2260	406,6	3,600	17,8	75	43
Кубасо — устье	817	216,6	3,850	26,5	85	51
Сарыдакас — ниже устья	2800	584,8	3,040	20,9	79	47
р. Куйлю						
Ильинчик — устье	1750	948,1	4,380	54,1	96	70

Бассейн р. Сардарын

Покек — устье	2230	127,8	2,600	4,5	<10	≤13
Чатыл — устье р. Терс	4240	49,1	2,780	1,1	<10	≤13
Чатыл — с. Чарвак	7110	51,2	2,610	0,7	<10	≤13
Карахол аюп — устье	1180	60,7	3,170	5,1	10	15

Река — киргизская	$S_{\text{баск}}$ км ²	$S_{\text{рн}}$ км ²	$\zeta_{\text{рн-баск}}$ км	$S_{\text{рн}}/S_{\text{баск}}$	Водох. Ab %	$\frac{W_{\text{рн}}}{W_{\text{баск}}}$
Кокчесорсай — выше устья р. Каракол	2 410	30,2	2,930	1,3	<10	<13
Кокчесорсай — к. Арыл	5 290	94,0	2,920	1,8	<10	<13
Чильчи — 5,5 км выше устья р. Б. Чичкан	908	10,7	2,890	1,2	<10	<13
Узусакмат — устье р. Устасай	1 790	15,3	2,360	0,9	<10	<13
Оспарча — выше устья р. Оспары	817	10,6	2,210	1,3	<10	<13
М. Нарын — устье	3 870	344,7	3,500	8,9	45	27
Алабуга — к. Коштобе	3 710	119,3	3,710	3,2	<10	<13
Нарын — т. Нарын	10 500	1245,9	3,570	11,9	61	34
Куррабай — с. Гульча	2 010	15,8	3,010	0,8	<10	<13
Тар — к. Чалма	3 640	63,0	2,810	1,6	<10	<13
Коргонудайсаи — к. Акташ	907	23,5	3,230	2,6	<10	<13
Кофайрат — с. Усокорин	2 220	102,2	3,220	4,6	<10	<13
Киргизата — к. Киргизата	298	31,4	3,240	10,5	55	32
Албура — х. Палан	2 260	113,9	3,130	5,0	<10	<13
Лису — ущ. Джалык	712	23,3	2,500	3,3	<10	<13
Хонжабельиратай — в. Акчаркай	1 740	51,9	2,800	3,0	<10	<13
Исфара — Тангарпорук	1 560	129,7	3,170	8,3	41	25
Сок — в. Сарыкадыл	2 490	253,4	3,480	10,2	52	30
Шакимардан — к. Наумлаг	1 300	47,7	2,020	3,7	<10	<13
Арсыс — кла Юсупсай	4 080	85,8	1,050	0,9	<10	<13
Бассейн р. Амудары						
Мунку — Давлесар	6 550	2121,0	3,540	31,5	88	58
Обикказар — Сайтюр	1 090	171,5	3,910	16,6	73	42
Обыхынтоу — Сандыр	1 580	433,4	3,990	23,0	82	50
Обыхынтоу — Тавалыцара	5 390	712,0	3,990	13,2	65	36
Яксудек — Мограны	1 940	361,9	3,920	15,6	73	43
Взыч — Панк	1 920	352,0	3,780	16,3	76	44
Кудары — устье	4 500	622,0	4,480	18,8	56	37
Биртаян — в. Токтамык	3 420	73,9	4,491	2,4	<10	<13
Боззат — в. Барзакан	100	15,5	4,460	15,5	70	30
Ляявтар — устье	335	58,8	4,670	15,7	71	40
Шахдары — Хабос	4 180	171,1	4,180	4,1	<10	<13
Гүнт — Адакур	2 800	27,3	4,410	0,9	<10	<13
Обихумбай — устье	708	12,3	3,260	1,7	<10	<13
Гүнт — с. Хорх	13 700	634,2	4,170	4,6	<10	<13
Сардайкепе — х. Рамет	1 191	32,4	2,890	2,7	<10	<13
Варзоб — Гушары	716	36,1	3,050	5,0	10	18
Эндэвэ — Зидын	181	10,7	3,130	5,9	11	16
Сакын — Сиака	170	12,3	3,300	7,0	23	19
Сорье — Ракит	1 260	30,9	2,820	2,5	<10	<13
Каффирканы — Синэр	3 040	64,4	2,647	2,1	<10	<13
Сарбес — Гаптымалык	1 760	105,0	3,140	6,0	11	16
Нынтухуль — в. Яркакар	531	61,8	3,310	11,0	59	33
Кинадасу — Дембрени	8 370	649,0	3,540	7,7	34	23
Кыныхуу — с. Даршуткурган	5 690	822,6	4,500	9,2	52	30
Листинчыра — выше устья р. Тур	350	56,5	4,170	16,1	71	40
Зеравшан — к. Дехана	780	226,6	3,820	29,0	87	55
Зеравшан — устье р. Фейзарын	4 650	479,2	3,330	10,3	56	32
Зеравшан — Душук	10 280	655,7	3,100	6,4	20	16
Фавдарык — устье	3 230	123,6	3,270	3,8	<10	<13
Ятиоб — к. Ташфон	1 490	33,7	3,350	2,3	<10	<13
Хазыркын — с. Летопись	170	26,1	3,650	15,3	70	39
Сарычай — устье	537	43,6	3,490	8,1	43	26
Мелган — х. Суджина	1 100	10,3	2,860	0,9	<10	<13





Распределение по локациям вод среднего и нижнего альянсового поглощения в годичном стоке рек Мусы (а), Кызылсу (б), Байтагы (в), Кулара (г) и Муртаб (д).

Приложения ГГ

Природный сток в бассейнах рек Малый Аккеминка, Аккемин, Пекем, Усфара при различных уровнях супиарного таймыра

Водоем	Даты измер.	Средний годовой сток, м ³	Характер годового стока, мес. %			$\frac{W_{\text{р}} \Phi_{\text{р}}}{W_0} \cdot 100$	$\frac{W_{\text{р}}}{W_0} \cdot 100$	$\frac{W_{\text{р}} - W_0}{W_0} \cdot 100$
			W _р %	W ₀ %	W _р %			
р. Альянтара	Максимальная	1944	6,0	9,0	8,3	17,3	39,9	52,0
	Средняя	1971	3,4	9,7	4,4	14,1	24,1	63,8
	Минимальная	1955	2,8	4,4	5,0	9,4	20,6	46,8
	Максимальная	1972	1,1	9,9	3,0	5,9	18,6	49,2
	Средняя	1958	0,4	1,9	4,1	6,0	6,7	34,7
	Минимальная	1980	0,6	67,6	24,8	92,4	48,3	73,2
	Средняя	1970	17,8	45,5	27,4	72,0	24,4	62,4
	Максимальная	1971	20,3	47,1	26,4	73,5	27,6	64,1
	Минимальная	1972	20,1	48,0	21,3	64,3	31,0	66,9
	Средняя	1988	6,1	49,9	35,8	84,8	7,2	67,8
								42,2

Городчи	Водоток	Объем таяния и стока	Годы	Коэффициент ледникового стока, млн. м ³				$\frac{W_{\text{л}}}{W_0} \cdot k$	$\frac{W_{\text{л}}}{W_0} \cdot k$	$\frac{W_{\text{л}}}{W_0} \cdot k$
				W _л	W _л	W _л	W _л			
1	2	3	4	5	6	7	8	9	10	11
р. Пясчек	V _M	V _M	1944	196,1	235,1	111,1	346,4	50,7	67,9	32,1
	V _N	V _N	1961	210,5	247,3	101,0	350,3	60,1	70,6	29,4
	V _M	V _M	1962	25,4	100,7	40,1	140,8	18,8	71,6	28,5
	V _M	V _M	1947	82,1	145,8	54,6	201,6	40,7	72,8	27,2
	V _M , V _M	V _M	1969	0,2	15,1	0	15,1	1,3	10,0	0
р. Ирафор	V _M	V _M	1961	154,3	113,1	99,0	412,1	37,4	70,0	24,0
	V _M	V _M	1967	189,3	272,4	96,4	368,8	45,9	73,0	26,1
	V _M	V _M	1958	12,6	202,0	68,6	280,6	35,5	77,6	22,5
	V _M	V _M	1965	66,7	217,6	57,6	275,2	24,2	70,1	20,9
	V _M	V _M	1969	3,1	123,6	32,4	155,9	2,0	79,2	20,8
Манназинская	V _N	V _N	1970	2,1	135,3	49,1	184,4	1,2	73,4	20,6

График чарг. W_л — сток от таяния льда и снега, W_л — сток от таяния снега и льда на склонах ледника, W_л — сток от таяния на площади S_л области питания, W_л — суммарный сток от гашения ледниковой области.



Коэффициенты поглощения ледникового стока в бассейне рек Памира-Алая.

Список литературы

1. Абальин Т. С. Некоторые вопросы расчета гидрографии горной реки.—Математика и гидрология, 1976, № 7, с. 56—59.
2. Абальин Т. С. Ледниковая остаточная стока р. Вахт.—Труды Гидрометцентра СССР, 1980, вып. 223, с. 8—17.
3. Абальин Т. С., Калачев А. В., Капустин В. Г. О расчете талого стока горной реки с использованием коэффициента стока (по линейке наблюдений и опытных пикетажных бассейнов р. Варзоб).—Труды Гидрометцентра СССР, 1974, вып. 108, с. 68—73.
4. Абсюль Г. А. Искусственное усиление талых ледяных снегов горных гедников.—Труды ИАН СССР, 1963, вып. 56, с. 5—43.
5. Апекин Т. А. Искусственное усиление талых горных ледников с учетом увеличения стока рек Средней Азии.—Изв. АН СССР. Сер. геогр., 1962, № 5, с. 83—89.
6. Ахсарки Н. Н., Абракамов Н. М., Колонадис В. Г. Анализ пространственно-временной изменчивости метеорологических факторов стока рек Средней Азии в экстремальные по водности годы.—Труды САРИГМИ, 1973, вып. 3(4), с. 51—92.
7. Алексеев Г. А. Объективные методы изысканий в гидрологизации корреляционных связей.—Л.: Гидрометиздат, 1971.—163 с.
8. Алексеев Г. А. Методы оценки снутайных параметров талого ледника Центрального Кавказа.—Л.: Гидрометиздат, 1975.—56 с.
9. Архипов П. П. Тектонической базы поверхности ледниковой Средней Азии (ледники Ферганы, Зеравшанской, Пиралы).—Гляциологические исследования, 1964, № 12, с. 120—125.
10. Архипов П. П., Дроzdov О. А. О глине талых ледяных снегов с близким горотоксилитовым радиоактивным изотопом на ледниках Средней Азии (Ферганы, Зеравшанской, Пиралы).—В кн.: Успехи гляциологии. Брунен, 1969, с. 99—104.
11. Архипов О. М., Гетгер М. И. Решет и распределение дат образования и разрушения узлового снегового склона на территории Памиро-Алая.—Труды САНИИ, 1962, вып. 95(176).
12. Бажев А. Б. Закономерности явления искусственных замыканий горных ледников.—Материалы гляциологических исследований. Хроника. Обсуждение, 1973, № 21, с. 124—135.
13. Бекетов Д., Пирасл А. Инженерные и ледниковые структуры прошлого.—М.: Мир, 1974.—463 с.
14. Богданова Л. Ф., Гетгер М. И. Статистический анализ и учет влияния орографии при расчетах осадков на Тянь-Шане.—Труды САРИГМИ, 1975, вып. 25(106), с. 116—143.
15. Боке Д., Джебанс Г. Анализ временных рядов, процессов и управление.—М.: Мир, 1974, вып. 1, 2.—403 с.—195 с.
16. Борискова И. И. О некоторых гидрометрических изменениях сгущающихся ридиков, имеющихся в теплостое бассейнах горных районов.—Труды ГТО, 1965, вып. 479, с. 186—198.
17. Борискова Л. Н. Математическое моделирование формирования снегового покрова и расчет поступления воды на поверхность горных бассейнов.—Труды САРИГМИ, 1968, вып. 39(54), с. 37—43.
18. Борискова Л. Н., Денисов Ю. М. Модель поступления воды на поверхность горного бассейна и некоторые результаты ее проверки на бассейнах рек Западного Тянь-Шаня.—Труды САРИГМИ, 1970, вып. 52(67), с. 3—20.
19. Бажинов А. Н. К расчету стоков снега ледника на горном подибре.—Математика и гидрология, 1966, № 4, с. 46—49.
20. Бажинов А. Н. Точка определения снегозапаса в горном бассейне.—Труды ЦГП, 1966, вып. 148, с. 143—149.
21. Вентцел Е. С. Теория вероятностей.—М.: Наука, 1964.—576 с.
22. Виноградов В. Б. Гляциальные прорывные плодородия и снегово-тиоб.—Л.: Гидрометеиздат, 1977.—154 с.
23. Владимиров Л. А., Джихакишев А. И., Зикарапшиев Н. Н. и др. Гидрологические карты Большого Кавказа для Атласа гляциальных ресурсов мира.—Материалы гляциологических исследований. Хроника. Обсуждение, 1981, № 40, с. 116—127.
24. Вязаные залежи застывших ледников в пониженной части склонов горных ледников Средней Азии. Л. Долгушин, И. М. Лебедева, Г. Б. Огинская, О. В. Роготина.—Материалы гляциологических исследований. Хроника. Обсуждение, 1972, № 20, с. 108—115.
25. Веденова М. В., Крейгер А. А., Тихоновская А. А. Опыт расчета объема талых вод с поверхности ледников.—Труды САРИГМИ, 1975, вып. 27(108), с. 54—61.
26. Волкович А. П. Типы баланса поверхности высокогорных ледников и ледяной берегов.—М.: Наука, 1966.—148 с.
27. Волощук А. П. Изучение горных ледников южного склона Центрального Кавказа.—Материалы гляциологических исследований. Хроника. Обсуждение, 1976, № 26, с. 56—67.
28. Гайдаров А. К. Радиационный и тепловой баланс ледников горного подибара.—Гляциологические исследования, 1962, № 13, с. 97—105.
29. Гейгер М. И. О статистической структуре листа снега в Средней Азии.—Труды САРИГМИ, 1973, вып. 3(4), с. 100—107.
30. Гейгер М. И. Снежные ресурсы Памиро-Алая.—Труды САНИИ, 1963, вып. 106(180).
31. Гетгер М. И., Глазарян Г. Е., Емельянов Ю. Н. Выявление неизвестных элементов пригодности распределения осадков в горных бассейнах.—Труды САРИГМИ, 1972, вып. 62(77), с. 30—38.
32. Глазарян Г. Е. Абсолютные нормы изотопных информационных процессов, происходящих в верховых горных ледниках.—Метеорология и гидрология, 1969, № 2, с. 71—77.
33. Глазарян Г. Е. Флюксы снега садятся в гирях в зависимости от аргентинской температуры воздуха.—Метеорология и гидрология, 1970, № 1, с. 35—34.
34. Глазарян Г. Е., Аюткин Н. В. Время наступления накопления снега на территории Средней Азии.—Труды САРИГМИ, 1978, вып. 69(106), с. 43—50.
35. Глазарян Г. Е., Гетгер М. И. Ошибки при расчете снегосвалочных в горах, вызванные неучетом изменений внутреннего распределения снега с пиками местности.—Труды ГГИ, 1972, вып. 107, с. 50—63.
36. Глазарян Г. Е. О моделировании стока с ледником.—Труды САРИГМИ, 1977, вып. 45(126), с. 37—41.
37. Головков Р. Г., Днепров К. Ш., Егорова Н. Д. Основные факторы ледниковых динамики Шекспирского в хребте Западный Алатау. Гляциологические исследования в период МГГ. Западный и Центральный Алатау. Алтай. Вып. 4. 1984, с. 103—110.
38. Головкова Р. Г., Рахимжанова Г. А. К вопросу о генезисе и геоморфическом развитии Центрального Тянь-Шаня.—Гляциологические исследования в Казахстане.—Вып. 6. 1965, с. 65—62.
39. Голубковский Н. А., Гресянцева М. Г. Ледники Шахрия и бассейн их массы за последние 20 лет.—Материалы гляциологических исследований. Хроника. Обсуждение, 1966, № 14, с. 276—281.
40. Голубев Г. Н. Гидрология ледников.—Л.: Гидрометеиздат, 1978.—247 с.
41. Голубев Г. Н. Ледник и речной сток.—Водные ресурсы, 1976, № 6, с. 78—82.

42. Голубев Г. Н., Дюргеров М. Б. Водные массы ледника Джанкулт в 1967—1971 гг. и методы его измерения и расчета.—Материалы гляциологических исследований. Хризика. Обсуждение, 1973, № 21, с. 80—88.
43. Голубев Г. Н., Дюргеров М. Б., Щербакин А. Я. Опыт исследования водного режима снежного покрова на языке ледника Джанкулт с помощью спутниковой измерительной станции.—Материалы гляциологических исследований. Хризика. Обсуждение, 1976, № 27, с. 159—168.
44. Голубев Г. Н., Дюргеров М. Б. Исследование снежных отложений излучающей радиации и температуры.—Материалы гляциологических исследований. Хризика. Обсуждение, 1976, № 26, с. 104—111.
45. Гурдин А. Н. Расчет прямой солнечной радиации на различные ориентации и наклоны поверхности для широты 42°.—В кн.: Материалы по агриметрическому районированию субтропиков СССР. Л.; М.; 1938. Вып. 3, с. 27—42.
46. Давидович Н. В. О вертикальных трансектах температуры воздуха в высокогорье Средней Азии. Материалы гляциологических исследований. Хризика. Обсуждение, 1972, № 19, с. 66—61.
47. Денисов Ю. М. Схематизация. Сб. работ лаборатории Отдела техн. и приклад. наук. 1958, вып. 1, с. 38—55. (Таскын: Изд-во АН УзССР).
48. Денисов Ю. М. Схема расчета гидрографа стока горных рек.—Л.: Гидрометеоиздат, 1966.—103 с.
49. Денисов Ю. М. Модель формирования снежного покрова в горных бассейнах.—Метеорология и гидрология, 1967, № 5, с. 75—81.
50. Денисов Ю. М. Математическое моделирование промежуточного стока горных рек.—Труды САНИИГМИ, 1968, вып. 38(54), с. 30—38.
51. Денисов Ю. М. Методы исследования орбитальных изображений сарматской трансформации.—Труды САНИИГМИ, 1970, вып. 52(67), с. 26—32.
52. Денисов Ю. М. Средние квадраты ошибки выборочного среднего и метод оценивания разницества промежуточного стока каботажей.—Труды САНИИГМИ, 1972, вып. 3(84), с. 114—117.
53. Денисов Ю. М., Боровикова Л. П., Просвирнов Э. К., Коломалов В. Е. К вопросу определения подборок синхронных данных.—Труды САНИИГМИ, 1979, вып. 61(144), с. 31—42.
54. Денисов Ю. М. Метод расчета шлифов коренных отложений на языке ледников.—Труды САНИИ, 1960, вып. 78(152), с. 57—80.
55. Денисов Ю. М., Боровикова Л. Н., Джураев А. А., Булатова И. И. Ресурс таяния снега в льдах.—Труды САНИИ, 1962, вып. 94(170), с. 20—39.
56. Джекинс Е., Ватсон Н. Симметрический анализ и его приложения. Вып. 1.—М.: Мир, 1971.—316 с.
57. Диких А. Н. Благосостояние В. А. Водного искусственно увлажнения таяния ледников на Тянь-Шане.—В кн.: Работы Тянь-Шанской физико-географии, 1965, вып. 11, с. 14—26.
58. Диких А. Н. Бюджет ледников северного склона хребта Терекской Азии (на примере ледника Карабатай).—В кн.: Некоторые замечательные гидрологические Тянь-Шань. Фрунзе, 1971, с. 16—29.
59. Диких А. Н., Михайлова Б. Н. Режимы ледников в водной балансе северного склона хребта Терекской Азии.—М.: Иллюстра, 1976, —181 с.
60. Долгушин И. Л., Киммерих Х. О., Креине А. Н. и др. Полевые исследования по теме «Разработка научных основ искусственного усиления таяния ледников Средней Азии».—Материалы гляциологических исследований. Хризика. Обсуждение, 1965, № 11, с. 5—10.
61. Долгушин И. Л., Осколова Е. Б., Ротструва О. В. Морфометрическая характеристика современных ледников гор Средней Азии.—Материалы гляциологических исследований. Хризика. Обсуждение, 1972, № 20, с. 169—184.
62. Долгушин И. Л., Осколова Е. Б., Ротструва О. В. Опыты по искусственному усиению таяния снега и льда радиационным методом.—Материалы гляциологических исследований. Хризика. Обсуждение, 1976, № 27, с. 187—195.
63. Дроzdov О. А. Термопарой баланс ледниковой поверхности ледника Федченко. Материалы гляциологических исследований. Хризика. Обсуждение, 1964, № 10, с. 227—235.
64. Дроzdov О. А., Кауль В. П., Мосолова Г. И. Особенности метеорологического режима горных ледников Средней Азии в летний период (район Памиро-Алая).—В кн.: Ученые советские гляциологии. Фрунзе, 1968, с. 100—107.
65. Дроzdov О. А., Мосолова Г. И. Влияние температуры и солнечной радиации на таяние ледников в зависимости от метеорологических условий.—Гляциология и гидрология горных стран, 1973, № 24, с. 133—139.
66. Дроzdov О. А., Мосолова Г. И. Корреляция в пространстве, во времени и в годовом ходе, возможность их использования в климатологии и гляциологии.—Материалы гляциологических исследований. Хризика. Обсуждение, 1973, № 22, с. 91—95.
67. Дроzdov О. А., Мосолова Г. И. Исследование факторов таяния ледников в различных временных масштабах.—Вестник УГУ, 1977, № 16, с. 115—121.
68. Душкин М. А. Формирование современных ледников на южном склоне Балыктин Актура.—Гляциология Алтая, 1964, вып. 3, с. 101—114. (Изд. Томского ун-та).
69. Душкин М. А. К вопросу измерения морозного покрова на языках ледниковых ледников в Центральном Алтая.—Гляциология Алтая, 1970, вып. 6, с. 136—142. (Изд. Томского ун-та).
70. Дюргеров М. Б., Фредерик В. С. Расчет поверхности ледника (на примере горно-алтайского ледника Джанкулт).—Материалы гляциологических исследований. Хризика. Обсуждение, 1972, № 20, с. 161—166.
71. Дюргеров М. Б. Ошибки определения поверхности ледника льда в тонке.—Материалы гляциологических исследований. Хризика. Обсуждение, 1972, № 20, с. 145—151.
72. Дюргеров М. Б., Фредерик В. С. Расчет поверхности ледника горно-алтайского бассейна.—Материалы гляциологических исследований. Хризика. Обсуждение, 1973, № 22, с. 112—116.
73. Дюргеров М. Б. Изучение пространственной статистической структуры льда поверхности ледника тиранского ледника.—Материалы гляциологических исследований. Хризика. Обсуждение, 1976, № 26, с. 140—144.
74. Емельянов Ю. П. Гляциологические исследования по программе международного гидрологического десятилетия по леднику Абрамова.—Труды САНИИГМИ, 1970, вып. 56(71), с. 1—10.
75. Емельянов Ю. П., Жиганов В. А., Ноадрихин В. К. О частотности измерений снегозадела на горных ледниках.—Материалы гляциологических исследований. Хризика. Обсуждение, 1976, № 26, с. 239—245.
76. Иванов Ю. Н./Овьедо, ред. Ресурсы поверхности вод СССР. Том 14.—Средняя Азия. Вып. 1—Бассейн р. Кызылары.—Л.: Гидрометеоиздат, 1971.—472 с.
77. Илерокова М. И. Исчарение со снежного покрова на хребте Терекской Азии-Тау. В кн.: География снежного покрова. М., 1960. Изд. АН СССР, с. 161—174.
78. Ильин И. А. Материалы о высокогорном условии формирования ледников в областях ледников. Изв. ВГО, 1954, т. 86, вып. 2, с. 108—168.
79. Ильин И. А. Водные ресурсы Ферганской долины. Л.: Гидрометеоиздат, 1959.—246 с.
80. Ильин И. А./Овьедо, ред. Ресурсы поверхности вод СССР. Том 14.—Средняя Азия. Вып. 1—Бассейн р. Сырдарьи.—Л.: Гидрометеоиздат, 1960.—436 с.
81. Каган Р. Л. К оценке генерализованности складчатых ледников.—Труды ГГО, 1966, вып. 181, с. 22—34.
82. Каган Р. Л., Полянщук А. П. О качестве преобразования срезной пеленки по дискретным данным.—Труды ГГО, 1972, вып. 288, с. 95—119.
83. Казаковка Д. И. Основы теории случайных функций и ее применение в гидрометеорологии.—Л.: Гидрометеоиздат, 1971.—268 с.

84. Казанский А. Б. Термический слой и альбумин поверхности льда ледника Федоренка. ДАН СССР, 1960, т. 134, № 4, с. 806—815.
85. Казанский А. Б. Термический слой и альбумин поверхности ледника. — В кн.: Илл. Федоренка. Ташкент, 1962, с. 152—160.
86. Казанский А. Б., Колесников В. Н. О тающим балансе ледников Федоренка. — Изв. АН СССР. Сер. геофиз., 1960, № 4, с. 570—589.
87. Катесник С. В. Очерки гляциологии. М.: География, 1963.—550 с.
88. Князев Б. А. О таянии льда под деревянной покровкой. — Труды САНИГМИ, 1987, вып. 30(45), с. 19—26.
89. Князев Б. А. Современные изменения льда с деревянной и бассейной сырьем. — Труды САНИГМИ, 1974, вып. 12(93) — 77 с.
90. Краткое описание ледников СССР. Том 43, вып. 2, ч. 1 (Сост. Е. Н. Белов, Р. В. Кондин). — Л.: Гидрометеоиздат, 1967.—78 с.
91. Краткое описание ледников СССР. Том 8, вып. 1, ч. 2—5 (Сост. Л. И. Меркулович и др.). — Л.: Гидрометеоиздат, 1975.—85 с.
92. Краткое описание СССР. Том 8. Северный Кавказ, ч. 10 (Сост. В. П. Цекан, С. А. Дробинец). — Л.: Гидрометеоиздат, 1977.—69 с.
93. Котнерих Л. О. Роль ледников в стоках рек Средней Азии. — Материалы гляциологических исследований. Хроника. Обсуждения, 1972, № 20, с. 82—94.
94. Котнерих Л. О. Сток ледниковых Памира и Пакистана. — Изв. АН СССР. Сер. геогр., 1974, № 5, с. 88—94.
95. Кабуэльская программа научного изучения хребта Кундуколь/П. А. Шумский, А. П. Водопьянов, Б. М. Котников, В. М. Минаков. — Материалы гляциологических исследований. Хроника. Обсуждения, 1973, № 22, с. 227—238.
96. Каплан И. В. Современное в древнем глетчере бассейна р. Терса. — В кн.: Материалы Камчатской экспедиции по программе МГГ. Том 1. Харьков, 1960, с. 7—88.
97. Кондратьев К. Я. Актометрия. Л.: Гидрометеоиздат, 1963.—801 с.
98. Коновалов В. Г. Метод измерения альбумина ледника. — Изв. ВГО, 1963, т. 25, № 2, с. 174—177.
99. Коновалов В. Г. Искусственное усиление таяния снега и льда в горах. — Изв. ВГО, 1963, т. 25, № 4, с. 330—338.
100. Коновалов В. Г. Расчет суммарной радиации, коротковолнового излучения в альбумине ледника в любой горной лодынь. — Материалы гляциологических исследований. Хроника. Обсуждения, 1967, № 12, с. 79—84.
101. Коновалов В. Г. О применении уравнения Бозена для расчета теплосодержания и влагосодержания ледника. — Материалы гляциологических исследований. Хроника. Обсуждения, 1967, № 12, с. 236—238.
102. Коновалов В. Г. Изменение тающего баланса альбумина в своей поверхности снега и льда под действием искусственного засорения. — Труды САНИГМИ, 1967, вып. 30(45), с. 51—57.
103. Коновалов В. Г. Изучение альбумина ледников Средней Азии. — Изв. ВГО, 1968, № 4, с. 306—320.
104. Коновалов В. Г. О роли альбумина в балансе льда горного ледника. — В кн.: Ученые съездов гляциологии. Фрунзе, 1968, с. 238—243.
105. Коновалов В. Г. Проблема классификации и пространственная изменчивость альбумина однопородной поверхности ледников в период таяния. — Труды САНИГМИ, 1969, вып. 44(60), с. 112—117.
106. Коновалов В. Г. Продолжительность периода таяния в леднико-выводных реках Средней Азии. — Материалы гляциологических исследований. Хроника. Обсуждения, 1969, № 16, с. 137—143.
107. Коновалов В. Г. Роль альбумина в балансе и эволюции горных ледников. — Изв. ВГО, 1969, № 4, с. 296—306.
108. Коновалов В. Г. Измерение альбумина ледника на склоновой пло-щадке. — Труды САНИГМИ, 1970, вып. 50(71), с. 125—126.
109. Коновалов В. Г. О средних параметрах альбумина ледников в период таяния. — Труды САНИГМИ, 1972, вып. 65(80), с. 111—122.
110. Коновалов В. Г. Альбумин ледников Средней Азии. — Л.: Гидрометеоиздат, 1972, 137 с.
111. Коновалов В. Г. Определение суммарной избыточной радиации расчетами методом. — Труды САНИГМИ, 1972, вып. 11(62), с. 6—14.
112. Коновалов В. Г. Расчет на ЭВМ гипсокартий альбумина ледников в водохранилищах горных рек. — Труды ЗапГИГМИ, 1974, вып. 58(64), с. 130—135.
113. Коновалов В. Г. Реконструкция в прошлом максимальной ледяной снеговой таяния из погорельского ледника. — Труды САНИГМИ, 1975, вып. 26(107), с. 118—126.
114. Коновалов В. Г. Расчет на ЭВМ времени таяния и захода солнца для предполагаемого набора пунктов на территории горного ледника. — Труды САНИГМИ, 1975, вып. 27(108), с. 19—26.
115. Коновалов В. Г. Эмпирические формулы для расчета таяния ги-делинок. — Труды САНИГМИ, 1978, вып. 44(125), с. 41—55.
116. Коновалов В. Г. Методы изучения снеговой границы в ледниках в течение зимних месяцев. — Труды САНИГМИ, 1978, вып. 64(145), с. 136—138.
117. Коновалов В. Г. Обобщение морфозоогических характеристик сне-голиний в отдельных водохранилищах. — Труды САНИГМИ, 1979, вып. 63(144), с. 68—77.
118. Коновалов В. Г. Таяние и таине в гляциальных областях. — Труды САНИГМИ, 1976, вып. 63(144), с. 51—83.
119. Коновалов В. Г. Расчет в прошлом таяния ледников Средней Азии. — Л.: Гидрометеоиздат, 1976.—280 с.
120. Коновалов В. Г. Исследование спутниковыми информацией в гла-циатическом щите: формирование снежного покрова в горах. — Труды САНИГМИ, 1975, вып. 71(152), с. 3—19.
121. Коновалов В. Г. Физико-геостатистическая модель процесса супер-таяния в гляциальной области. — Труды САНИГМИ, 1982, вып. 84(163), с. 3—26.
122. Коновалов В. Г. Альбумин и прогноз результатов искусственного по-действия на темные ледники. — Труды САНИГМИ, 1969, вып. 90(180).
123. Коновалов В. Г. Статистический метод калькульации областей для расчета суммарного таяния ледников. — Труды САНИГМИ, 1984, вып. 106(186).
124. Коновалов В. Г. Исследование концентраций погодных явлений вы-зывающих таяние в гляциальных областях Средней Азии. — Труды САНИГМИ, 1984, вып. 107(188).
125. Коновалов В. Г., Чиркова А. А. Изучение пространственной закономерности интенсивности и времени снегового снежного покрова в горах. — Труды САНИГМИ, 1970, вып. 51(66), с. 32—40.
126. Коновалов В. Г., Гильяков Ю. П. Опыт применения сум-марного таяния на ледниках Средней Азии. — Труды САНИГМИ, 1975, вып. 27(108), с. 47—53.
127. Коновалов В. Г., Боровикова Л. Н. О возможности расчета таяния снега и льда в горах Средней Азии со знанием о температуре воздуха. — Труды САНИГМИ, 1977, вып. 53(134), с. 41—51.
128. Коновалов В. Г., Боровикова Л. Н. Модель формирования снега в бассейнах горных водосборов. — Материалы гляциологических исследований. Хроника. Обсуждения, 1960, вып. 39, с. 49—54.
129. Коновалов В. Г., Орлова Л. М. Численное моделирование вс-кристаллического воздействия на таяние ледников Средней Азии. — Труды САНИГМИ, 1963, вып. 91(172), с. 102—117.
130. Корзун В. И. Закон о воде в СССР. — Метэнергомизи-н в гидрологии, 1972, № 6, с. 3—11.
131. Королев А. Н. Распределение тающей льги на склонах дави-тельства при затяжном снегопаде. — Материалы гляциологических исследований. Хроника. Обсуждения, 1964, вып. 10, с. 279—281.
132. Королев В. М. Свежий лесной и ледник. — Л.: Гидро-метеоиздат, 1966, 478 с.
133. Крамп Б. Г., Фрейнел Ф. С. К организацию приходений на столовой плоскости. — Материалы гляциологических исследований. Хроника. Обсуждения, 1972, № 20, с. 208—201.

134. Крейтер А. А. Применение изолированной угольной шумки при реконструкции здания снега.—Материалы гляциологических исследований. Хроника. Обсуждение, 1965, № 11, с. 270—271.
135. Крейтер А. А. Усиление таяния и характер снежных физических процессов при искусственном заложении снега и льда в торах Средней Азии.—Автореф. дис. на соиск. учен. степени канд. наук. Ташкент, 1969.—28 с.
136. Крейтер А. А., Тихановская Л. А. Износение таяния и влагосборка на ледниковой поверхности под действием искусственного заложения.—Материалы гляциологических исследований. Хроника. Обсуждение, 1964, вып. II, с. 277—278.
137. Крейтер А. А., Тихановская Л. А. Об искусственном износении замерзшего снега.—ДАН УзССР, 1967, № 6, с. 31—36.
138. Кренке А. Н. Гляциологические условия существования ледников и формирования ледниковых явлений. Метрология в гляциологии. Вып. I.—М.: Изд-во БИГИИ, 1971, с. 168—207.
139. Кренке А. Н. Гляциологические условия существования современного отложения Средней Азии.—Изв. АН СССР. Сер. геогр. 1973, № 1, с. 19—33.
140. Кренке А. Н. Ледниковый сток в речи Средней Азии и возможности его регулирования.—Водные ресурсы, 1980, № 3, с. 6—19.
141. Кренке А. Н. Массообмен в ледниковых системах на территории СССР.—Л.: Гидрометеознак, 1969.—267 с.
142. Кренке А. Н., Ходаков В. Т. О связи поверхности таяния ледников с температурой воздуха.—Материалы гляциологических исследований. Хроника. Обсуждение, 1966, № 12, с. 153—161.
143. Кренке А. Н., Ретивцева О. В. Новые акумуляции для ледника Южной части Центральной Азии и использование их в расчетах стока.—Изв. АН СССР. Сер. геогр., 1979, № 2, с. 100—107.
144. Крупнейшие ледники Средней Азии: геология Федченко и Зеравшанской Оз. ред. Л. К. Давидсон.—Л.: Изд-во УзУ, 1967.—262 с.
145. Кузькин П. П. Температурный режим в бассейнах рек Зеравшана и Яксоб.—В кн.: Труды ледниковых экспедиций. Вып. 5. Л., 1936, с. 167—245.
146. Кузькин П. П. Процессы заложения, обрастания и стока ледников в бассейне р. Зеравшана.—Труды ГГИ, 1948, вып. 3(57), с. 91—160.
147. Кузькин П. П. Процесс занятия снежного покрова.—Л.: Гидрометеознак, 1961.—245 с.
148. Курбатова В. П. О распределении температуры воздуха в горной лесопарке.—Труды САРНИИМИ, 1974, вып. 10(91), с. 108—111.
149. Кучинец Л. С. Математическое моделирование речного стока.—Л.: Гидрометеознак, 1972.—190 с.
150. Лебедев И. М. Типичные виды ледника Дутана и возможности искусственного усиления его таяния.—В спр. Термовой в водном режиме снега и ледниковых талей. М., 1965, с. 187—192.
151. Лебедев И. М. Исследование ледников Средней Азии.—Материалы гляциологических исследований. Хроника. Обсуждение, 1979, № 20, с. 102—104.
152. Лебедев И. М. Изменение поверхности с ледниками Средней в Центральной Азии (возможность измерений в расчетах).—Материалы гляциологических исследований. Хроника. Обсуждение, 1976, № 26, с. 119—129.
153. Ледник Тургень Ахсу/Оз. ред. Р. Д. Забирев.—Фрунзе: Изд., 1976.—106 с.
154. Ледник Федченко/Оз. ред. В. Л. Шульц. Типология. Изд-во АН УзССР, 1962.—192 с.
155. Ледник Джанкулат/Оз. Г. Н. Гиаубек, М. Т. Дворгеров, В. А. Марков и др.—Л.: Гидрометеознак, 1978.—183 с.
156. Ледник Абреки.—Л.: Гидрометеознак, 1950.—206 с.
157. Ля Руа Г. д'Ю. Э. История климата с 1000 года. Пер. с франц.—Л.: Гидрометеознак, 1971.—276 с.
158. Ляпин Ю. Н. Термографический градиент и расчет температуры воздуха над ледниками поверхностью.—Труды САРНИИМИ, 1975, вып. 27(105), с. 34—46.
159. Ляпин Ю. Н. Процессы обрастания и эродации сток ледниками Средней Азии.—Автореф. дис. на соиск. учен. степени канд. геогр. наук. М., 1975, с. 33.
160. Лопухин Е. А. Исследование радиоактивных изотопов в торях.—Изв. АН УзССР. Сер. физ.-мат. науки, 1960, № 5, с. 64—76.
161. Макаревич К. Г. Тянь-Шань. Западно-Казахстанский Алатау. Общее описание исследований.—М.: Изд. БИГИИ, 1962.—87 с.
162. Макаревич К. Г. Баланс массы континентальных ледников в Западном Алатау.—В кн.: Гляциологическое исследование в Казахстане. Алма-Ата, 1966, вып. 6, с. 92—92.
163. Макаревич К. Г., Вилесов Г. Н. Результаты наблюдений над снежным покровом на Туруксусских ледниках в Западной Алатау.—Изучение ледниковых и ледниковых районов, 1961, вып. 1, с. 169—184.—Изд-во АН СССР.
164. Макаревич К. Г., Вилесов Г. Н. и др. Гляциометеорологические результаты, баланс массы и избыток аморфности горных ледников Туруксуса.—В кн.: Рожки ледников и снежных лавин Казахстана. Алма-Ата, 1978, с. 96—109.
165. Макаревич К. Г., Плакунов Н. Н. и др. Оледенение Западного Алатау.—М.: Наука, 1969.—257 с.
166. Макаревич К. Г., Шабланов Н. Ф. Активная льда и сток с маловодных ледников в 1963—67 гг.—В кн.: Тянь-Шань и годный разрыв ледников Казахстана. Алма-Ата, 1969, с. 149—157.
167. Макаревич К. Г., Шабланов Н. Ф., Вилесов Г. Н. Особенности ледника Туруксуса из области акумуляции Центрального Туруксусового ледника.—В кн.: Рожки ледников Казахстана. Алма-Ата, 1971, вып. 9, с. 42—71.
168. Макаревич К. Г., Шабланов Н. Ф. Акумуляция, абразия и сток с маловодных ледников и бедарей их массы (по наблюдениям в период МГД).—Труды САРНИИМИ, 1974, вып. 14(6), с. 63—70.
169. Маркин В. А. Изменение постепенных талежных балансов при искусственном заложении ледниковой льдины.—Материалы гляциологических исследований. Хроника. Обсуждение, 1965, № 11, с. 151—158.
170. Математическое моделирование процесса стока горных рек.—Л. Н. Борицкая, Ю. М. Денисов, Г. В. Трофимова, И. Д. Шишкова.—Л.: Гидрометеознак, 1972.—161 с.—(Труды САРНИИМИ. Вып. 6(76)).
171. Материалы наблюдений горноледниковой станицы Красильча.—Типология, 1973. Вып. 1. Кн. 1 и 2 (за 1969—1966 гг.).—534 с. Вып. 2. (за 1967—1968 гг.).—100 с.
172. Матуков В. М. Зависимость объема снега от температуры воздуха в горах Средней Азии.—Изв. Узб. фил. ГО СССР, 1963, вып. 7, с. 45—68.
173. Митроханов А. Е. Техника стационарных пачинований.—М.: Наука, 1971.—575 с.
174. Монек А. С., Обухов А. М. Огненные законы турбулентного нестационарного ветрового стока планеты.—Изв. АН СССР. Сер. геофиз., 1954, № 21(151), с. 162—187.
175. Нагапаненко по службе профессоров. Ранд. З. Ч. 1.—Л.: Гидрометеопресс, 1962.—193 с.
176. Некорицеве М. П., Тихановская Л. А. Характеристика аэрометеорологических в радиационных условиях таяния ледника Биссаузеков 1964 г.—В кн.: Борбор аудиенсие Узбекистана и смежных территорий. Ташкент, 1966, с. 26—36.
177. Насулен Ф. Б., Трошкина Р. С. Высотные ледники Центрального Кавказа (за примере ледником Альару с Шахельм).—Труды САРНИИМИ, 1974, вып. 55(64), с. 74—81.
178. Назархан Б. К., Фрайфельд В. Я. Некоторые данные о высотах ледниковых «мертвой» чистки ледника Изыктас.—Работы Тянь-Шанской физ.-геогр. станции, 1968, вып. 1, с. 65—75.—(Фрунзе: Изд.).
179. Овсянникова Е. С., Чанышевой О. И., Субботиной. Л.: Гидрометеознак, 1977.—335 с.
180. Плакунов Н. Н. Современные изменения в Западном Алатау.—Алма-Ата: Изд-во АН КазССР, 1968.—312 с.
181. Питерсон У. С. Б. Физика ледников.—М.: Мир, 1972.—311 с.

182. Петровская М. А., Чакышева С. Г., Субботина О. И. О кластике выпадения програффиг на неогляциальные процессы Средней Азии. — Труды САРИИМи, 1974, вып. 10(91), 1974, с. 3—40.
183. Попов Е. Г. Термодинамические и интенсивность снегостанции. — Труды ЦГИС, 1968, вып. 9(86), с. 3—62.
184. Проблемы гидромеханики ледниковых и ледянистых районов Г. А. Ахсан, В. М. Котлеков, Б. Г. Ходаков, Г. Н. Голубев. — Водные ресурсы, 1973, № 2, с. 3—20.
185. Ревинкин В. С., Галаков В. И., Голенищев В. П. Гидродинамические факторы Альта. — Тезисы Изв-во Томского ун-та, 1979, 207 с.
186. Режимы таяния Северного Тянь-Шаня в аномально засушливый период К. Г. Макаревич, Е. П. Бычкова, П. Ф. Шабанин и др. — Тез. докт. VII Всесоюз. конф. гидрол., Тюмень, 1982.
187. Сивков С. И. Методы расчета характеристик радиационной радиации. — Л.: Гидрометеоиздат, 1968.—212 с.
188. Соседев И. С. Методика территориальных подглобализационных обобщений схем. — Алма-Ата: Наука, 1976.—152 с.
189. Справочник по климату СССР. Вып. 30. Ч. 1.—Л.: Гидрометеоиздат, 1966.—62 с.
190. Справочник по климату СССР. Вып. 31. Ч. 1.—Л.: Гидрометеоиздат, 1966.—65 с.
191. Справочник по климату СССР. Вып. 32. Ч. 1.—Л.: Гидрометеоиздат, 1966.—51 с.
192. Справочник по климату СССР. Вып. 19. Ч. 1.—Л.: Гидрометеоиздат, 1966.—74 с.
193. Субботина О. И. Влаговые програффии на температурный режим горных средней Азии.—Л.: Гидрометеоиздат, 1971.—122 с. (Труды САРИИМи. Вып. 59(71)).
194. Судаков П. А., Винников Е. Е. Режим снежного покрова и его распределение по мицеллантским ледникам. Гляциологические исследования в период МГГ, 1962, вып. 2, с. 99—114. — (Изд-во АН КазССР).
195. Сунаровков В. С. Факторы таяния ледников в бассейне р. Ала-арча. — Работы Тянь-Шанской физико-географической станции, 1965, вып. 11, с. 36—45. — (Фрунзе: УзГИ).
196. Тонгборн Х. Доля ледникового стока в формировании гидрологических ресурсов рек Кыргызстана. — Материалы гляциологических исследований. Хрущев, Обсуждение, 1960, № 36, с. 62—66.
197. Тельновский и вещественный баланс ледника Абракова в 1967—71 гг./ А. А. Абдиров, З. А. Германова, Ю. Н. Гамзалиев, В. К. Исайджанов. — Труды САРИИМи, 1974, вып. 11(95), с. 36—48.
198. Тихоновская Л. А. Вопросу о таянии льда при морозном ветре. — Труды САРИИМи, 1970, вып. 06(71), с. 97—108.
199. Тихоновская Л. А. Некоторые вопросы изменения радиогравитационного баланса на замерзшей поверхности тела. — Труды САРИИМи, 1970, вып. 06(71), с. 12—96.
200. Тихоновская А. А. Влияние солнечного излучения на кристаллизацию ледяного баланса ледниковой поверхности. — В кн: Современные следствия в гляциологии р. Зеравшан. Ташкент, 1972, с. 30—52.
201. Трофимов Л. С., Ходаков Б. Г. и др. Особенности Урала. — М.: Наука, 1966.—305 с.
202. Трофимов Л. С. Метод расчета отражавшей способности снега гляциология. — Труды САРИИМи, 1970, вып. 02(67), с. 21—25.
203. Фатеев В. Н., Пеполь Н. Н. Некоторые черты режима и динамики ледников Альта, построенный в хребте Кунгей Ала-Тау. — Гляциоклиматология горных стран, 1973, № 24, с. 111—114.
204. Фихтельбауэр Г. М. Курс дифференциального и интегрального исчисления. Ток 2. М.: Физматлит, 1969.—807 с.
205. Фрейдлип В. С. Применение функций вспомогательных для расчета гидротрасфа схема с графика пологоподъемных ледников Джексон. — Материалы гляциологических исследований. Хрущев, Обсуждение, 1971, № 18, с. 62—91.
206. Хан Г., Шапиро С. Статистические методы в инженерных задачах. — М.: Мир, 1966.—395 с.
207. Ходаков В. Г. О зависимости суммарной областной ледяной от температуры воздуха. — Метеорология и гидрология, 1965, № 7, с. 48—56.
208. Ходаков В. Г. Расчет областей под слоем льготы. — Материалы статистических исследований. Хрущев. Обсуждение, 1972, № 24, с. 106—107.
209. Ходаков В. Г. Особенности формирования ледяного цикла пульсирующего ледника Кызыл. — Материалы гляциологических исследований. Хрущев. Обсуждение, 1974, № 24, с. 116—126.
210. Ходаков В. Г. Водно-ледовый баланс района современного и древнего оледенения СССР. — М.: Наука, 1978.—191 с.
211. Чомах В. Ш. Материалы гляциологических исследований. Карабас, Ергинский хребет. Баасар-дюзен 1051 63 п. — Тбилиси: ФОЛ УГМС ГрупССР, 1964.—545 с.
212. Чомах В. Ш. Учет ледниковых коэффициентов при расчетах эвапорации стока ледника. — Материалы гляциологических исследований. Хрущев. Обсуждение, 1976, № 25, с. 77—83.
213. Чомах В. Ш. Присутствие в флювиальных потоках ледников (Метод изучения с помощью термозондирования). — М.: Изд-во АН СССР, 1962.—94 с.
214. Чомах В. Ш., Пыккин Г. А. Результаты лабораторных экспериментов по искусственному усилению таяния льда шелдом затвердения. — Материалы гляциологических исследований. Хрущев. Обсуждение, 1968, № 14, с. 167—179.
215. Чиркасов П. А., Ершевбеков Т. Гидрологический градиент температуры воздуха на северном склоне Джунгарского Ала-Тау в погодный период. — В кн: Синоптика ледника и ледильни Казахстана, 1977, с. 122—133.
216. Чиркасов П. А. Радиогравитационный баланс физической поверхности горного ледника в период таяния. — Алма-Ата: Иллюра, 1980.—143 с.
217. Чертанов С. П. Наблюдения над режимом ледника Фиджинса. — Труды ТГУ СССР, 1968, вып. 1, с. 76—84.
218. Чистиков В. Б. Модель расчета хода водонапора ледника широковато-конического ледника Джулье под действием миграции комплекса в период таяния. — Труды КаСПИИМи, 1977, вып. 38, с. 88—96.
219. Чирногоров В. Н. Аэрофотосъемка снегового покрова в горных районах Сибири гидрологических целей. — Л.: Гидрометеоиздат, 1966.—127 с.
220. Шульц В. Л. Исследование таяния снега в горах Средней Азии. — Метеорология и гидрология, 1963, № 5, с. 38—41.
221. Шульц В. Л. Режим Средней Азии. — Л.: Гидрометеоиздат, 1965.—691 с.
222. Шумейко П. А. Основы структурного ледотделения. — М.: Изд-во АН СССР, 1965.—119 с.
223. Шегединов О. П. Исследование р. Средней Азии. — Ташкент: Над-во СамГУ, 1960.—244 с.
224. Шегединов А. С. Абсолютные показатели ледяного покрова Райгородского. — Труды САРИИМи, 1966, вып. 27(42), с. 24—24.
225. Шегединов А. С. О тяжести определения среднего уровня Калак ледник. — Труды САРИИМи, 1973, вып. 04(90), с. 94—100.
226. Шегединов А. С. Об определении преобладающей архитектуры ледника. — Труды САРИИМи, 1975, вып. 27(108), с. 27—33.
227. Шегединов А. С. Ледники бассейна реки Пльси. — Л.: Гидрометеоиздат, 1976.—120 с.
228. Шегединов А. С. К вопросу о геоморфологии ледниково-балансового усилителя таяния ледников бассейна р. Сирдарья. — Труды САРИИМи, 1977, вып. 46(126), с. 3—16.
229. Шегединов А. С. Оледенение Гиссаро-Алла. — Л.: Гидрометеоиздат, 1981.—117 с.

231. Anderson E. A. Snow accumulation and ablation model. NOAA Tech. Memo. NWS Hydro-17. Silver Spring, 1973. - 225 p.
 232. Anderson E. A. A point energy and mass balance model of snow cover—NOAA Tech. Report, NWS 19, 1976. - 160 p.
 233. Bengtsson L. Snowmelt estimated from energy budget studies. - Nordic Hydrology, 1976, 7, p. 3-18.
 234. Bowen I. S. The ratio of heat losses by conduction and by evaporation from any water surface.—Phys. Res., 1926, vol. 27, N 6, p. 50-63.
 235. Braithwaite R. J. On glacier energy balance, ablation, and air temperature. - J. Glaciol., 1981, vol. 27, N 97, p. 381-391.
 236. Campbell W. J., Rasmussen J. A. The production, flow and distribution of melt water in a glacier treated as a porous media. - Symp. of the Hydrol. of glaciers, 1973, N 86, p. 11-27.
 237. de la Caissonne A. C. Heat exchange over a melting snow surface. - J. Glaciol., 1974, vol. 13, N 67, p. 55-72.
 238. Dwyer G. The short-range forecasting of discharge from a glaciated region and its use for optimizing the Grand Dixence S. A. pumping plants. - J. Glaciol., 1977, vol. 19, N 81, p. 668-669.
 239. Drzik L. Glacier discharge simulation by ground-water analogue. - Symp. of the Hydrol. of glaci., 1973, N 86, p. 29-40.
 240. Drzik L. Zur Berechnung der Eisablation. Z. Gletscherk. und Glaziologie, 1976, vol. 12, N 1, p. 75-78.
 241. Gottschl A. A simple energy balance model of snow and ice melt. - Progr. Rep. 47, Dec. 1978. Inst. Hydrodyn. and Hydraulic Engng. Tech. Univ., Denmark, p. 3-12.
 242. Guidoumou G., Sigbjarnarson G. Analysis of glacier run-off and meteorological observations. - J. Glaciol., 1972, vol. 17, N 63, p. 303-318.
 243. Hedrick R. L., Filgate B. D., Adamek W. M. Application of environmental analysis to watershed snowmelt. - J. Appl. Meteorol., 1971, vol. 10, N 3, p. 418-429.
 244. Hoinkes H., Wendl G. Der Anteil der Strahlung an der Ablation von Hinterbergen und Kesselwänden (Ötztaler Alpen, Tirol). - Saurier 1968. - Arch. Meteorol., Geophys. und Bioklim., 1968, B 16, N 2-3, S. 195-236.
 245. Hoinkes H. Über Beziehungen zwischen der Messenabilität des Höhenfeuers (Ötztaler Alpen, Tirol) und Beobachtungen der Klimastation Vnrl. - Ann. Meteorol. Neue Folge, 1971, N 5, S. 259-264.
 246. Jensen H., Lang H. Forecasting discharge from a glaciated basin in the Swiss Alps. - In: Proc. Banff Symp.: The role of snow and ice in hydrology. UNESCO-WMO-IASH, 1972, Vol. 2, p. 1047-1064.
 247. Kasser P. Influence of changes in the glaciated area of summer runoff in the Porte du Sera drainage basin of the Rhône. - Symp. of the Hydrol. of glaci., 1973, N 86, p. 221-225.
 248. Kasser P. Fluctuation of glaciars 1966-70. - Paris, IASH, 1973. - 358 p.
 249. Kasser P. Fluctuations of glaciars 1969-85. A contribution to the IHD—Belgium, Unesco, IASH, 1987. - 160 p.
 250. Kerler C. M. Relationship between climate, ablation and runoff on the Sverdrup Glacier. - Final Report to Arctic Institute of North America, Canada, Montreal, 1964. - 78 p.
 251. Konovalov V. G., Fomichev Yu. N. Estimation of total ablation on Central Asian glaciars. - Symposium UGGL. Neiges et glaces. Actes du colloque de Moscou, juil. 1971. Budapest, 1975. IAHs—IASH, Publication No 104, p. 99-103.
 252. Konovalov V. G. Calculation and prediction of the total glacial melting in watersheds of Central Asia. - J. of Glaciol., 1977, vol. 19, N 81, p. 677-686.
 253. Konovalov V. G. The application of satellite information in mathematical model of snow cover formation in mountains. - In: Workshop on Remote Sensing of Snow and Soil Moisture by Nuclear Techniques. - 1979, Voss, Norway, p. 131-144.
 254. Konovalov V. G. On methods of regional computation of glacier melting intensity in Central Asia. - Hydrological Aspects of Alpine and High Mountain Areas (Proceedings of the Exeter Symposium, July 1982). IAHs Publ. No 138, p. 209-220.
 255. Krantz H. Energy exchange at air-ice interface. - In: Proc. Banff Symp.: The role of snow and ice in hydrology. UNESCO-WMO-IASH, 1972, Vol. 1, p. 128-164.
 256. Kuhl M. On the computation of heat transfer coefficients from energy balance gradients on a glacier. - J. Glaciol., 1979, vol. 22, N 87, p. 263-272.
 257. Lang H. Variations in the relation between glacier discharge and meteorological elements. - Symp. of the hydrology of glaciars, 1973, N 86, p. 85-94.
 258. Linzene E. T. A simple formula for estimating evaporation rates in various climates, using temperature data alone. - Agr. Meteorol., 1977, vol. 18, N 6, p. 409-424.
 259. Martinec J. Evaluation of air photos for snowmelt-runoff forecasts. - In: Proc. Banff Symp.: The role of the snow and ice in hydrology. Paris, UNESCO-WMO-IASH, 1972, vol. 2, p. 915-920.
 260. Martinec J. Snowmelt-runoff model for stream flow forecasts. - Nordic Hydrology, 1975, vol. 6, N 3, p. 145-154.
 261. Megahan W., Melissau J., Gundell B. The effect of albedo—reducing materials on net radiation at a snow surface. - Bull. of the Internat. Assoc. of Scientific Hydrology, 1976, vol. 15, N 1, p. 69-80.
 262. Meier M. F. Hydraulics and Hydrology of Glaciars. - In: Proc. Banff Symp.: The role of the snow and ice hydrology. Paris, UNESCO-WMO-IASH, 1972, vol. 1, p. 353-370.
 263. McKelvey Zubak U. and Stainley A. D. Canadian glaciars in the International Hydrological Decade Programme. 1965-74. Nro. 1. Sectional Glaciol., British Columbia—Summary of Measurements. - Ottawa, Canada, 1976. Scientific Series N 68—75 p.
 264. Müller F. Fluctuations of glaciars 1970-1973. A contribution to the International Hydrological Programme. Paris, 1977, UNESCO-IASH (ICST). - 209 p.
 265. Nord J. Geographic precipitation in mountainous regions. - In: Proc. Gello Symp. Norway: Distribution of precipitation in mountainous areas. Paris, 1973, Vol. 1, p. 31-60.
 266. Oldfield E. H. and Rossie B. Mathematical models in a melting snowpack at an index plot. - J. Hydrology, 1977, vol. 32, p. 139-163.
 267. Østrand G. Runoff forecasts for highly glaciated basins. - In: Proc. Banff Symp.: The role of snow and ice in hydrology. UNESCO-WMO-IASH, 1972, vol. 2, p. 1111-1129.
 268. Petzold D. E. An estimation technique for snow surface albedo. - Chiribol. Bull., 1977, N 21, p. 1-11.
 269. Reid I. A., Patterson W. S. A. Simple method for measuring the average amount of water produced annually by melting of the ice on a glacier. - Symp. of the hydrology of glaciars, 1973, N 86, p. 215-218.
 270. Sugawara M., Otsaki E., Katayama Y., Watanabe I. Runoff analysis of snow mountainous regions in Japan. - In: Research Notes of the Natl. Res. Centre for Disaster Prevention, Tokyo, 1976, N 17—38 p.
 271. Die Wissenschaftlicher Ergebnisse der Deutschen Spitzbergenexpedition, 1964-1965. - Nationalkomitee für Geodäsie und Geophysik der DDR, Berlin, 1969, Nr. 11/12—98 S.
 272. Woo M. K. A numerical simulation model for snow storage in small coastal basins, southwestern British Columbia. - In: Proc. Banff Symp.: The role of snow and ice in hydrology. UNESCO-WMO-IASH, 1972, Vol. 2, p. 992-1003.
 273. Yoshida T. Field experiment on glacier ablation under a layer of debris cover. - J. Jap. Soc. of snow and ice, 1977, vol. 39, p. 20-21.
 274. Young G. J., and Stanley A. D. Canadian glaciars in the International Hydrological Decade Program, 1965-74, No. 4. Peyto Glacier, Alberta—Summary of measurements. - Ottawa, Canada, 1976. Scientific Series, No. 71, 59 p.
 275. Young G. J. and Stanley A. D. Canadian glaciars in the International Hydrological Decade Program, 1965-74, No. 3. Rain River Glacier, Alberta—Summary of measurements. - Ottawa, Canada, 1976. Scientific Series No. 68—54 p.

276. Young G. J. Streamflow formation in a glacierized watershed in the Rocky Mountains, Canada. Paper presented at: The International Symposium on the Correlation and Prediction of Runoff from Glaciers and Glacierized Areas, Tbilisi, September 1978. 14 p.

277. Zelikov I. A., Molseeva G. P. A theoretical study of ice surface melting influence on melting intensity. In Proc. Banff Symp., The role of snow and ice in hydrology, UNESCO—WMO—IASH, 1972, p. 1410—1419.

278. Zuzel J. G., Goud M. Cox. Relative importance of meteorological variables in snowmelt. Water Res. Research, 1975, vol. 11, N 11, p. 174—176.

Оглавление

Введение	3
Основные условия обозначения	8
Глаза 1. Финансово-статистическая региональная модель процесса таяния для всего множества ледников в бассейне реки	14
1.1. Общая характеристика проблемы и пути ее решения	—
1.2. Статистическая модель связанных областей для расчета суммарного таяния ледников	16
Выводы	27
Глаза 2. Методы расчета интенсивности таяния снега и льда	28
2.1. Уравнение теплового баланса покровных ледников и формулы интенсивности таяния	—
2.2. Линейная регрессионная модель для расчета интенсивности таяния	39
2.3. Дискриминантные эмпирические формулы для расчета интенсивности таяния в гляциальных областях Средней Азии	46
2.4. Расчет таяния льда в снеге и снега в льде Морсвей	56
Выводы	67
Глаза 3. Северная синотопическая граница и внутриглазовий режим аккумуляции и таяния во льдаликах	69
3.1. Реконструкция и линейное максимальное значение синотопической границы во льдаликах	—
3.2. Исследование компонента языка ледника аккумуляции и таяния в гляциальных областях Средней Азии	79
3.3. Модель изменения синотопической границы во льдалике в течение изученного периода	87
3.4. Продолжительность периода таяния и формирование стока во льдаликах Средней Азии	96
Выводы	102
Глаза 4. Методика расчета суммарного таяния во льдаликах и ледниковых стоках	104
4.1. Пространственно-временные пременческих основных материальных характеристик, определяющих интенсивность таяния во льдаликах	—
4.1.1. Целодиапазонный синтезный разделение на поверхности ледника	—
4.1.2. Температура воздуха и осадки	119
4.2. Шаблон регрессионной модели процесса суммарного таяния ледников	127
4.3. Анализ качества результатов расчета суммарного таяния ледников	130
4.4. Таяние в стоках в гляциальных областях	142
Выводы	156
Глаза 5. Многолетний режим суммарного таяния и ледникового стока в бассейнах рек Средней Азии	159
5.1. Пространственно-временная изменчивость суммарного таяния ледников и ледникового стока	—
5.2. Дискриминантные прогнозы суммарного таяния ледников и ледникового стока	167
Выводы	179

Глава 6. Численное моделирование искуственного воздействия на таяние ледников	
6.1. Приближение увеличения подошвы ледником в условиях Средней Азии	181
6.2. Методические основы численного моделирования дополнительного воздействия на таяние ледников	189
6.3. Результаты численного моделирования искусственного воздействия на таяние ледников	197
6.4. Противодействие дополнительного влияния ледниками стока и оценка вариативная оценка экономической эффективности искусственного воздействия	205
Выводы	209
Заключение	210
Приложения	215
Список литературы	224

Издательство «Наука»

Министерство науки и высшего образования Российской Федерации

Государственное бюджетное научно-исследовательское учреждение

«Институт гидрометеорологии и водного хозяйства им. академика Г.И. Бородина»

Министерство образования и науки Российской Федерации

Государственное бюджетное образовательное учреждение высшего профессионального образования

«Лаборатория географии и гидрологии им. профессора В.А. Смирнова»

Министерство образования и науки Российской Федерации

Государственное бюджетное образовательное учреждение высшего профессионального образования

«Лаборатория географии и гидрологии им. профессора В.А. Смирнова»

Министерство образования и науки Российской Федерации

Государственное бюджетное образовательное учреждение высшего профессионального образования

«Лаборатория географии и гидрологии им. профессора В.А. Смирнова»

Владимир Георгиевич Коновалов

Таяние и сток
с ледниками
в бассейнах рек
Средней Азии

ДКР

Редактор Т. Г. Добрунцева. Художник В. В. Выклик. Техн. редактор Т. В. Никова.
Корректор И. В. Жицкова.

Сдано в набор 31.05.85. Подлежит печати 10.09.85. Формат 60×90^{1/4}. Бум. синт.
№ 1. Литературная корректура. Печать гелевая. Печ. л. 16. Кр. отт. 16.12. Уд.-п.л. л. 18.14.
Гарн. 340 а.к. Индекс ГИЗИК. Заказ № 126. Цена в р. 40 к. Гидрометеоиздат. 199063.
Ленинград. 3-я линия, 22.

Ленинградская типография № 8 отдела Трунного Красного знамени Ленинградского
областного «Техническое книгоиздательства». Справочник гидрометеографии при
Гидрометеорологическом институте СССР по зонам изслева, полиграфии и типографии
имени Д.Л. Шостака, Строгановский переулок, 6.